UNIVERSIDADE DE CAXIAS DO SUL – UCS CAMPUS UNIVERSITÁRIO DA REGIÃO DOS VINHEDOS – CARVI ÁREA DO CONHECIMENTO DE CIÊNCIAS EXATAS E ENGENHARIAS CURSO DE ENGENHARIA CIVIL

MARCELO PONTICELLI

VIABILIDADE DA UTILIZAÇÃO DO CONE DE PENETRAÇÃO DINÂMICA PARA
DETERMINAÇÃO DO ÍNDICE DE SUPORTE CALIFÓRNIA DE SOLOS
ESTUDO DE CASO: CAXIAS DO SUL, RS

MARCELO PONTICELLI

VIABILIDADE DA UTILIZAÇÃO DO CONE DE PENETRAÇÃO DINÂMICA PARA DETERMINAÇÃO DO ÍNDICE DE SUPORTE CALIFÓRNIA DE SOLOS ESTUDO DE CASO: CAXIAS DO SUL, RS

Trabalho de Conclusão de Curso – TCC II apresentado à Universidade de Caxias do Sul como requisito parcial para obtenção de grau de Engenheiro Civil.

Orientadora: Prof^a. Ma. Cinthia Cristina Morais Rocha

BENTO GONÇALVES 2025

MARCELO PONTICELLI

VIABILIDADE DA UTILIZAÇÃO DO CONE DE PENETRAÇÃO DINÂMICA PARA DETERMINAÇÃO DO ÍNDICE DE SUPORTE CALIFÓRNIA DE SOLOS ESTUDO DE CASO: CAXIAS DO SUL, RS

Trabalho de Conclusão de Curso – TCC II apresentado à Universidade de Caxias do Sul como requisito parcial para obtenção de grau de Engenheiro Civil.

Orientadora: Prof^a. Ma. Cinthia Cristina Morais Rocha

Apr	ovado em: _	/	/
Banca Examinadora:			
Prof ^a . Ma. Cinthia Cristina Nuniversidade de Caxias do			
Prof. Me. Maurício Schäfer Universidade de Caxias do			
Prof. Dr. Vinício Cecconello)		

Universidade de Caxias do Sul

Para minha esposa Adriana Tolotti.

Se tu não estivesses ao meu lado, a vida não teria sentido, e esta conquista, assim como muitas outras, não teria sido possível.

AGRADECIMENTOS

Ao Prof. Me. Maurício Schäfer, por viabilizar de inúmeras formas a realização deste trabalho; pelos valiosos ensinamentos e conselhos durante toda a graduação, e por ser uma referência para nós, futuros Engenheiros.

À minha orientadora, Prof.^a Ma. Cinthia Cristina Morais Rocha, pela disposição e incansável orientação, guiando meus passos e dando direção, rumo e sentido precisos para este trabalho.

Ao Técnico de Laboratório Matheus Frosi de Brito, pelo valioso auxílio na realização dos ensaios, pelos debates, análises, conjecturas e pelo conhecimento que juntos buscamos durante a realização deste trabalho.

A toda equipe do Laboratório de Engenharia Civil do Campus central, pela calorosa acolhida durante minha estada no laboratório: Cleicimara Ramos Cozen, Isaac Douglas Pereira Benites e Adidaisy Neves Barbosa.

Ao Prof. Dr. Gustavo Ribeiro da Silva, por viabilizar a fabricação do equipamento DCP, indispensável para realização deste trabalho.

Ao Técnico de Laboratório Humberto Salton, pela dedicação, empenho e excelente trabalho na fabricação do equipamento DCP.

Ao Me. Eng. Civil Bruno Susin, por ter me oportunizado, introduzido e orientado meu caminho no fascinante universo da Geotecnia.

À toda equipe da Terraservice Geologia e Engenharia, em especial: Caroline Cichin Spigolon, Caroline Andriolo, Janaina Rizzi Torres, Virgínia Viganó, Pedro Susin, Nério Susin e Gisele Padella, pelo tempo de convívio e aprendizado que fundamentaram as bases para minha atuação profissional.

Aos meus amigos e parceiros de jornada: Maikel William Ferreira, Leonardo Piccoli Bragagnolo, Leonardo Dallé e Renato Siega Júnior, pela garra e dedicação durante a graduação, e pelas muitas risadas e conversas no estacionamento depois da aula.

À minha esposa, Ma. Bióloga Adriana Tolotti, pelo incansável apoio, parceria, incentivo e por estar sempre ao meu lado em cada passo de mais esta etapa.

A todos meus Mestres que, durante toda a graduação, não pouparam esforços, dedicação e empenho nos ensinamentos e na transmissão de conhecimentos.

À Deus, pela bênção da vida e pelas oportunidades de estudo e aprendizagem.

"O solo é o mais antigo, mais usado, mais complexo e mais desconhecido dos materiais de construção."

> Wlastermiler de Senço, Manual de Técnicas de Pavimentação

LISTA DE FIGURAS

Figura 1 - Guia de uso do DCP, Mn/DOT	7
Figura 2 - Ensaio DCP, guia de uso do DCP, Mn/DOT	8
Figura 3 - Molde cilíndrico para execução do ensaio de CBR	18
Figura 4 - Prensa manual de CBR	19
Figura 5 - Prensa automática de CBR	19
Figura 6 - Desenho esquemático do equipamento de DCP	22
Figura 7 - Exemplo de tabela de medição	24
Figura 8 - Exemplo de gráfico de ensaio DCP	25
Figura 9 - Localização da Av. Belvedere	33
Figura 10 - Ponto de ensaio de DCP e coleta do solo, Av. Belvedere	33
Figura 11 - Localização da Estrada Municipal José Dani	34
Figura 12 - Ponto de ensaio de DCP e coleta de solo, E. M. José Dani	35
Figura 13 - Localização da Estrada Municipal Ângelo Ruffato	35
Figura 14 - Ponto de ensaio de DCP e coleta de solo, E. M. Ângelo Ruffato	36
Figura 15 - Esquema geral do Cone de Penetração Dinâmica - DCP	37
Figura 16 - Haste superior	38
Figura 17 - Haste inferior	39
Figura 18 - Detalhamento	40
Figura 19 - Usinagem do martelo	41
Figura 20 - Montagem do DCP	41
Figura 21 - Cone de Penetração Dinâmica - DCP	42
Figura 22 - Secagem prévia de amostras	44
Figura 23 - Processo de destorroamento e peneiramento	45
Figura 24 - Tabela 1, noma ABNT NBR 6457:2024	46
Figura 25 - Tabela 3, norma ABNT NBR 6457:2024	46
Figura 26 - Tabela 5, norma ABNT NBR 6457:2024	47
Figura 27 - Aparelho de Casagrande antes da aplicação dos golpes	50
Figura 28 - Aparelho de Casagrande, ao término do ensaio	50
Figura 29 - Ensaio de Limite de Plasticidade	52
Figura 30 - Amostras nos aparelhos dispersores	54
Figura 31 - Amostra submetida a vácuo	55
Figura 32 - Material retido na peneira de 2,0 mm	58

Figura 33 - Etapa de sedimentação, provetas em banho maria	60
Figura 34 - Tabela de classificação SUCS	65
Figura 35 - Curva granulométrica e diâmetros D10, D30 e D60	67
Figura 36 - Carta de Plasticidade	67
Figura 37 - Tabela de classificação de solos, modelo HRB	69
Figura 38 - Energias de compactação	70
Figura 39 - Tabela 4, cálculo do ISC	75
Figura 40 - Limite de Liquidez, Av. Belvedere	80
Figura 41 - Tabela 1, norma ABNT NBR 9895:2016	84
Figura 42 - Curva granulométrica, Av. Belvedere	85
Figura 43 - Determinação gráfica dos diâmetros D ₁₀ , D ₃₀ e D ₆₀	86
Figura 44 - Classificação SUCS, Av. Belvedere	87
Figura 45 - Carta de Plasticidade	88
Figura 46 - Classificação HRB, Av. Belvedere	90
Figura 47 - Gráfico de ensaio de DCP, Av. Belvedere	91
Figura 48 - Limite de Liquidez, E. M. José Dani	93
Figura 49 - Curva granulométrica, E. M. José Dani	95
Figura 50 - Determinação gráfica dos diâmetros D ₁₀ , D ₃₀ e D ₆₀	96
Figura 51 - Classificação SUCS, E. M. José Dani	97
Figura 52 - Carta de Plasticidade, E.M. José Dani	98
Figura 53 - Classificação HRB, E. M. José Dani	99
Figura 54 - Curva de compactação, E. M. José Dani	100
Figura 55 - Peneiramento para substituição de material	101
Figura 56 - Separação e substituição de material	101
Figura 57 - Gráfico ISC, E. M. José Dani	103
Figura 58 - Gráfico do ensaio DCP in situ, Estrada Municipal José Dani	109
Figura 59 - Limite de Liquidez, E. M. Ângelo Ruffato	111
Figura 60 - Curva granulométrica, E. M. Ângelo Ruffato	113
Figura 61 - Determinação gráfica dos diâmetros D ₁₀ , D ₃₀ e D ₆₀	114
Figura 62 - Classificação SUCS, E. M. Ângelo Ruffato	115
Figura 63 - Carta de Plasticidade, E. M. Ângelo Ruffato	115
Figura 64 - Classificação HRB, E. M. Ângelo Ruffato	117
Figura 65 - Curva de compactação, E. M. Ângelo Ruffato	118
Figura 66 - Gráficos ISC, E. M. Ângelo Ruffato	119

Figura 67 - Gráfico DCP in situ, E. M. Ângelo Ruffato	. 123
---	-------

LISTA DE TABELAS

Tabela 1 - Valores mínimos de CBR e expansão	17
Tabela 2 - Equações de regressão para cálculo do ISC	23
Tabela 3 – Tabela de correlação entre o CBR e o a variação da penetração po	r golpe
	25
Tabela 4 - Normas ABNT aplicáveis aos ensaios	31
Tabela 5 - Locais de ensaios de campo e coleta de solo	32
Tabela 6 - Terminologia de classificação de solos - SUCS	65
Tabela 7 - Umidade higroscópica, Av. Belvedere	79
Tabela 8 - Limite de Liquidez, Av. Belvedere	80
Tabela 9 - Limite de Plasticidade, Av. Belvedere	81
Tabela 10 - Classificação qualitativa de Burmister	82
Tabela 11 - Massa Específica, Av. Belvedere	82
Tabela 12 - Peneiramento grosso e fino, Av. Belvedere	83
Tabela 13 - Resumo da granulometria, Av. Belvedere	84
Tabela 14 - Dados para classificação SUCS	86
Tabela 15 - Ensaio de DCP in situ, Av. Belvedere	91
Tabela 16 - Umidade higroscópica, E. M. José Dani	92
Tabela 17 - Limite de Liquidez, E. M. José Dani	92
Tabela 18 - Limite de Plasticidade, E. M. José Dani	93
Tabela 19 - Massa Específica, E. M. José Dani	94
Tabela 20 - Resumo da granulometria, E. M. José Dani	95
Tabela 21 - Dados para classificação SUCS	96
Tabela 22 - Ensaio de ISC, E. M. José Dani	102
Tabela 23 - Ensaio de DCP, critérios da norma ABNT NBR 17091:2023, E. M	/I. José
Dani	104
Tabela 24 - Ensaio DCP, critérios ASTM D6951/D6951M-09, E. M. José Dani	105
Tabela 25 - Ensaio DCP em corpo de prova de PVC, critério ABNT, E. M. Jos	sé Dani
	107
Tabela 26 - Ensaio DCP em corpo de prova de PVC, critério ASTM, E. M. Jos	sé Dani
	107
Tabela 27 – Resultados de CBR in situ com DCP, Estrada Municipal José Dani	i108
Tabela 28 - Umidade higroscópica, E. M. Ângelo Ruffato	110

Tabela 29 - Limite de Liquidez, E. M. Ângelo Ruffato110
Tabela 30 - Limite de Plasticidade, E. M. Ângelo Ruffato
Tabela 31 - Massa Específica, E. M. Ângelo Ruffato112
Tabela 32 - Resumo da granulometria, E. M. Ângelo Ruffato113
Tabela 33 - Dados para classificação SUCS114
Tabela 34 - Ensaio ISC, E. M. Ângelo Ruffato118
Tabela 35 - Ensaio de DCP, critérios da norma ABNT NBR 17091:2023, E. M. Ângelo
Ruffato
Tabela 36 - Ensaio DCP, critérios ASTM D6951/D6951M-09, E. M. Ângelo Ruffato120
Tabela 37 - Ensaio de DCP em corpo de prova de PVC, critério ABNT, E. M. Ângelo
Ruffato
Tabela 38 - Ensaio de DCP em corpo de prova de PVC, critério ASTM, E. M. Ângelo
Ruffato
Tabela 39 - Resultados de CBR <i>in situ</i> com DCP, Estrada Municipal Ângelo Ruffato
123
Tabela 40 - Resultados comparados de ISC e DCP nos corpos de prova do ISC124
Tabela 41 – Resultados dos ensaios de DCP em corpos de prova com tubo de PVC
125

LISTA DE ABREVIATURAS E SIGLAS

AASHTO American Association of State Highway and Transportation Officials

ABNT Associação Brasileira de Normas Técnicas

ASTM American Society for Testing and Materials

Caltrans California Department of Transportation

CARVI Campus Universitário da Região dos Vinhedos

CBR California Bearing Ratio

CPD Cone de Penetração Dinâmica

CPT Cone Penetrometer Test

cm Centímetro(s)

cm³ Centímetro(s) cúbico(s)

DAER/RS Departamento Autônomo de Estradas de Rodagem do Rio Grande do

Sul

DCP Dynamic Cone Penetrometer

DER/MG Departamento de Edificações e Estradas de Rodagem de Minar Gerais

DER/SP Departamento de Estradas de Rodagem de São Paulo

DNER Departamento Nacional de Estradas de Rodagem

DNIT Departamento Nacional de Infraestrutura de Transportes

ES Ensaio de Laboratório

grama(s) g

g/cm³ gramas por centímetro cúbico

HRB Highway Research Board

IΡ Instrução de Projeto

IΡ Índice de Plasticidade

Índice de Penetração Dinâmica I_{PD}

IS Instrução de Serviço

ISC Índice de Suporte Califórnia

Quilograma kg kΝ Quilonewton kPa Quilopascal

LL Limite de Liquidez

LP

Limite de Plasticidade

LUME Laboratório de Usinagem e Mecânica mm Milímetro(s)
MPa Megapascal

Mn/DOT The Minnesota Department of Transportation

N Newton

NBR Norma Brasileira

SPT Standard Penetration Test

SUCS Sistema Unificado de Classificação dos Solos

USACE United States Army Corps of Engineers

UTM Universal Transversa de Mercator

Vol. Volume

SUMÁRIO

1	INTRODUÇÃO	6
1.1	PROPOSTA DE ESTUDO	10
1.2	Objetivo geral	10
1.3	Objetivos específicos	10
2	FUNDAMENTAÇÃO TEÓRICA	12
2.1	CLASSIFICAÇÕES E CARACTERIZAÇÕES DOS SOLOS	
2.2	ÍNDICE DE SUPORTE CALIFÓRNIA – ISC (<i>CALIFORNIA BEARING R. CBR</i>)	
2.3	CONE DE PENETRAÇÃO DINÂMICA – CPD (<i>DYNAMIC</i> PENETROMETER – DCP)	
2.4	ESTADO DA ARTE DO MÉTODO DCP	27
3	METODOLOGIA DE TRABALHO	31
3.1	IDENTIFICAÇÃO DOS LOCAIS DE COLETA E ENSAIOS IN SITU	32
3.1.1	Avenida Belvedere, bairro São Luiz	32
3.1.2	Estrada Municipal José Dani	34
3.1.3	Estrada Municipal Ângelo Ruffato	35
3.2	FABRICAÇÃO DO CONE DE PENETRAÇÃO DINÂMICA	36
3.3	MATERIAIS E MÉTODOS	43
3.3.1	Preparação das amostras	43
3.3.2	Determinação do Limite de Liquidez	48
3.3.3	Determinação do Limite de Plasticidade	51
3.3.4	Norma ABNT NBR 17212:2025 – Determinação da massa específica	53
3.3.5	Análise granulométrica	56
3.3.6	Classificação dos solos	64

3.3.7	Ensaio de compactação	69
3.3.8	Índice de Suporte Califórnia – ISC	72
3.3.9	Ensaio do Cone de Penetração Dinâmica	75
3.3.10	O Norma ASTM D6951/D6951M – 09: Método de teste padrão para o uso do C	Cone
	de Penetração Dinâmica em pavimentos rasos	77
4	RESULTADOS	
4.1	AVENIDA BELVEDERE	79
4.1.1	Ensaio de umidade	79
4.1.2	Limite de Liquidez	79
4.1.3	Limite de Plasticidade	80
4.1.4	Massa Específica	82
4.1.5	Análise Granulométrica	82
4.1.6	Classificação do solo	85
4.1.7	Ensaio de DCP, Índice de Suporte Califórnia	91
4.2	ESTRADA MUNICIPAL JOSÉ DANI	91
4.2.1	Ensaio de umidade	92
4.2.2	Limite de Liquidez	92
4.2.3	Limite de Plasticidade	93
4.2.4	Massa Específica	94
4.2.5	Análise Granulométrica	94
4.2.6	Classificação do solo	96
4.2.7	Ensaio de compactação	. 100
4.2.8	Ensaio de Índice de Suporte Califórnia	. 102
4.2.9	Ensaio do Cone de Penetração Dinâmica – DCP	. 104
4.2.10	O Análise dos resultados	. 109
4.3	ESTRADA MUNICIPAL ÂNGELO RUFFATO	. 109
4.3.1	Ensaio de umidade	. 110

4.3.2	Limite de Liquidez1	10
4.3.3	Limite de Plasticidade1	11
4.3.4	Índice de Plasticidade1	12
4.3.5	Massa Específica1	12
4.3.6	Análise Granulométrica1	13
4.3.7	Classificação do solo1	14
4.3.8	Ensaio de compactação1	17
4.3.9	Ensaio de Índice de Suporte Califórnia1	18
4.3.10	Ensaio do Cone de Penetração Dinâmica – DCP1	19
4.3.11	Ensaio de DCP <i>in situ</i> 12	22
4.3.12	2 Análise dos resultados12	23
5	CONCLUSÕES E CONSIDERAÇÕES FINAIS12	26
6	SUGESTÕES PARA ESTUDOS FUTUROS12	28
	REFERÊNCIAS12	29
	OBRAS CONSULTADAS1	33
	APÊNDICE A – PLANILHAS DE CÁLCULO, Avenida BELVEDERE1	34
	APÊNDICE B – PLANILHAS DE CÁLCULO, estrada MUNICIPAL JOSÉ DA	.NI
	14	41
	APÊNDICE C – PLANILHAS DE CÁLCULO, estrada MUNICIPAL ÂNGEL	-0

RESUMO

Embora sua aplicação no Brasil seja ainda limitada e não haja consenso entre autores e pesquisadores quanto à sua confiabilidade, o Cone de Penetração Dinâmica tem potencial significativo para ser utilizado como uma ferramenta auxiliar, trabalhando em paralelo com o ensaio de laboratório para determinação do Índice de Suporte Califórnia. Em obras viárias, geralmente de grande extensão e que demandam elevados investimentos, consumo de tempo e de recursos, o Cone de Penetração Dinâmica pode ser poderoso auxiliar para determinação da capacidade de suporte do subleito. A ampla utilização do método em outros países evidencia seu potencial como ferramenta promissora, justificando a realização de estudos mais aprofundados que possam consolidar sua validade e confiabilidade como método de avaliação em contextos de engenharia geotécnica. Para a análise da correlação entre os resultados dos dois métodos, neste estudo foi realizado o ensaio de Cone de Penetração Dinâmica em corpos de prova moldados especificamente para a realização do ensaio de laboratório de determinação do Índice de Suporte Califórnia. Tal procedimento teve como objetivo avaliar resultados obtidos pelos dois métodos em corpos de prova com características idênticas de compactação e teor de umidade, para tentar estabelecer uma possível correlação entre ambos.

Palavras-chave: Cone de Penetração Dinâmica; Índice de Suporte Califórnia; obras viárias; engenharia geotécnica; compactação.

ABSTRACT

Although its application in Brazil remains limited and there is no consensus among authors and researchers regarding its reliability, the Dynamic Cone Penetrometer (DCP) has significant potential to be used as an auxiliary tool, working in parallel with laboratory tests for determining the California Bearing Ratio (CBR). In road construction projects, typically of large scale and requiring substantial investments, time, and resources, the DCP can serve as a powerful aid in assessing the subgrade's bearing capacity. The widespread use of this method in other countries demonstrates its potential as a promising tool, justifying the need for more in-depth studies to establish its validity and reliability as an evaluation method in geotechnical engineering contexts. For the analysis of the correlation between the results of the two methods, this study conducted the Dynamic Cone Penetrometer on test specimens specifically molded for the laboratory determination of the California Bearing Ratio. This procedure aimed to evaluate the results obtained by both methods on specimens with identical compaction and moisture content characteristics, to establish a possible correlation between them.

Keywords: Dynamic Cone Penetrometer; California Bearing Ratio; road works; geotechnical engineering; compaction.

1 INTRODUÇÃO

As investigações relacionadas aos solos possuem uma considerável amplitude de aplicações dentro da Engenharia Civil. A análise rigorosa dos materiais empregados como suporte de estruturas diversas tais como barragens, edificações e pavimentos em geral visa avaliar a adequação entre as cargas às quais serão submetidos e as características do terreno sob o qual se assentam. Pode-se afirmar seguramente que o solo é um componente de todas as obras de engenharia, elevado à condição de material de construção como no caso de barragens e aterros, portanto deve ser alvo de investigações rigorosas para elaboração de projetos e suas execuções devem ser acompanhadas de controles de qualidade sistemáticos e minuciosos.

Especificamente no campo de pavimentação de rodovias, vias urbanas, pisos industriais ou pistas de aeroportos, de acordo com Senço (2007, p. 219), um dos parâmetros de investigação mais aceitos e utilizados para avaliar o comportamento de um solo e dimensionar projetos para composição de bases, sub-bases e demais camadas é o Índice de Suporte Califórnia – ISC, ou simplesmente CBR, sigla do nome em inglês *California Bearing Ratio*, como usualmente é conhecido. A resistência do solo é um dos aspectos primordiais a serem considerados para projetos de pavimentação, sendo avaliada através do índice de CBR, que é usado como parâmetro para o dimensionamento das espessuras das camadas que compõem a estrutura de um pavimento.

O ensaio de laboratório para a determinação do ISC, conforme especificado na norma ABNT NBR 9895:2016, requer aproximadamente sete dias para sua execução, englobando as etapas de coleta do material, preparação das amostras e a fase de submersão dos corpos de prova por quatro dias. Em locais como a região sul do país, é possível que em função de determinadas condições, como a umidade relativa do ar, a umidade do material e as condições do local disponível para secagem podem ocasionar um prolongamento do tempo necessário.

Como alternativa para obtenção ISC, o ensaio do Cone de Penetração Dinâmica (CPD) – ou *Dynamic Cone Penetrometer (DCP)* – desenvolvido na Austrália e posteriormente aprimorado na África do Sul, tem sido amplamente adotado nesses países como uma opção mais simples, rápida e econômica. Nos Estados Unidos, o

método é empregado para a determinação do ISC em obras de pavimentação rodoviária, sendo regulamentado pela instrução normativa D6951/D6951M-09, publicada em 2009 pela *American Society for Testing and Materials – ASTM*. Na Iglaterra, o *Transport Research Laboratory – TRL* desenvolveu um software chamado "UK DCP 3.1" exclusivamente para análise e o processamento dos dados coletados em campo com o equipamento de DCP.

Praticamente desconhecido e pouco utilizado no Brasil, o método de ensaio DCP quando mencionado na literatura, é tratado de forma muito superficial, como o faz Caputo e Caputo (2022, p. 87), que afirmam que a determinação do CBR *in situ* está sujeita a uma série de restrições que limitam a aplicação deste método, embora não especifique quais seriam essas restrições, nem se aprofunde no tema. Outros autores como Thach Nguyen e Mohajerani (2015, p. 180-189) apontam uma estreita relação entre o valor de CBR determinado em laboratório e o obtido *in situ* através do ensaio DCP. Nos Estados Unidos, alguns departamentos de transporte estaduais que utilizam o método, como o *Minnesota Department of Transportation* (Mn/DOT), publicou um guia de utilização do DCP, intitulado "*User Guide to the Dynamic Cone Penetrometer*", apresentado na Figura 1.

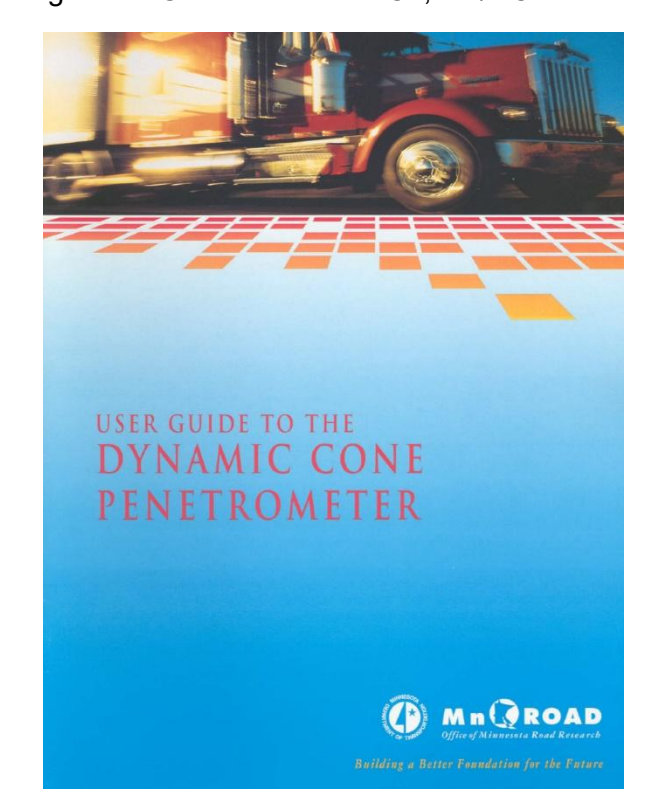


Figura 1 - Guia de uso do DCP, Mn/DOT

Fonte: Minnesota Department of Transportation (c2024)

No parágrafo introdutório do guia, o Mn/DOT (c2024) aponta a finalidade de utilização e as vantagens do método do ensaio DCP:

A medição da resistência do solo *in situ*, bem como a determinação da espessura e localização das camadas subjacentes, pode ser realizada com o uso de um dispositivo portátil e de fácil manuseio chamado *Dynamic Cone Penetrometer* (DCP). Empregado mundialmente, o DCP destaca-se por ser uma ferramenta de baixo custo e facilmente transportável.¹

Bastante abrangente, o guia descreve detalhadamente o método, incluindo ilustrações e imagens que demonstram tanto a utilização do equipamento quanto a execução do ensaio, conforme apresentado na Figura 2.

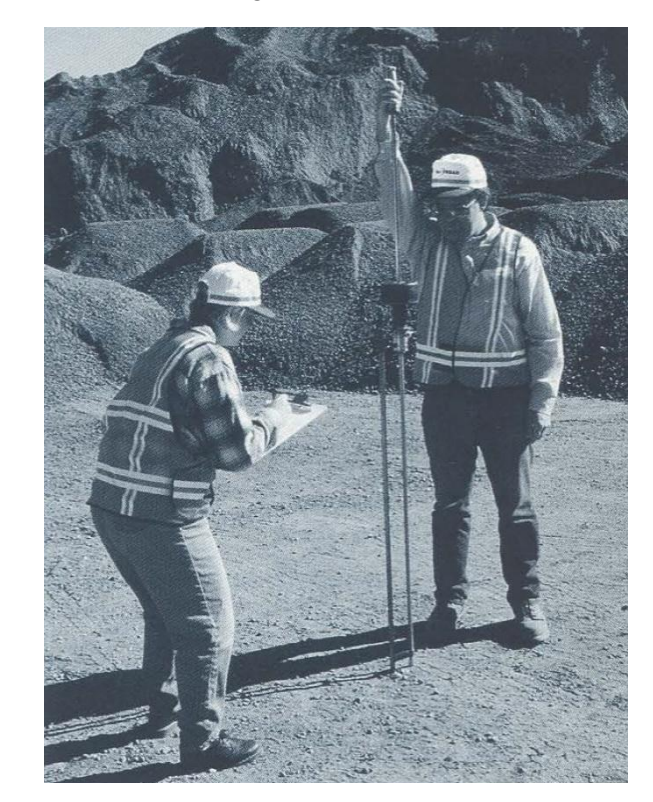


Figura 2 - Ensaio DCP, guia de uso do DCP, Mn/DOT

Fonte: Minnesota Department of Transportation (c2024)

De maneira geral, nota-se que os estudos relacionados ao ensaio DCP realizados no exterior desde a década de 1970, procuraram estabelecer uma relação

-

¹ MINNESOTTA DEPARTMENT OF TRANSPORTATION. **User guide to the dynamic cone penetrometer**. c2024, p. 2. Disponível em: http://www.dot.state.mn.us/materials/researchdocs/User_Guide.pdf. Acesso em: 05 nov. 2024.

matemática entre os valores obtidos nos ensaios *in situ* e em laboratório. Porém, as publicações descrevem essas correlações apenas como "forte" ou "fraca", sem apontar ou estabelecer parâmetros mais claros para correlacioná-las. Além disso, alguns autores afirmam que o ensaio de CBR realizado em laboratório não reproduz as condições em que o solo se encontra no seu estado natural. Nesse contexto, os resultados obtidos *in situ* através do DCP seriam considerados mais representativos da realidade.

O ensaio tradicional de laboratório para obtenção do índice de CBR fornece duas informações imprescindíveis para elaboração de um projeto de pavimentação: a capacidade de suporte de um solo e sua expansibilidade. O ensaio de DCP não fornece a expansibilidade do solo, uma vez que se encontra em estado natural, porém Paige-Green e Van Zyl (2019, p.14) afirmam que o DCP fornece uma aproximação da resistência ao cisalhamento do solo e parâmetros de densidade e umidade, não exigindo que uma ampla gama de propriedades do material seja determinada em laboratório.

Independentemente das divergências entre autores, o propósito fundamental de ambos os métodos é um só: fornecer o Índice de Suporte Califórnia de um solo. O ensaio de laboratório é amplamente consolidado e reconhecido como um método de referência na avaliação das propriedades de suporte de solos utilizados em pavimentação. Sua aplicabilidade é respaldada por décadas de uso e normatização técnica, fornecendo resultados confiáveis e amplamente aceitos entre profissionais da engenharia. Entretanto, algumas limitações práticas, como o tempo de execução para a obtenção dos resultados, a necessidade de infraestrutura laboratorial especializada e os custos associados a estes fatores abrem espaço para que o método do Cone de Penetração Dinâmica desponte como uma alternativa promissora pela facilidade de execução, menor custo e rapidez na obtenção dos resultados em campo. Essas características tornam o DCP uma ferramenta atraente para avaliações preliminares ou complementares, particularmente em projetos onde agilidade e economia de recursos são determinantes.

Apesar de seu potencial, o uso mais amplo e seguro do método do DCP requer estudos aprofundados que busquem respaldar os resultados obtidos em comparação aos resultados dos ensaios de laboratório, de forma a consolidá-lo em uma metodologia confiável e que possa ser tão amplamente aceita para obtenção dos índices de CBR quanto o ensaio de laboratório.

1.1 PROPOSTA DE ESTUDO

A determinação da capacidade de suporte dos solos é essencial na engenharia e, especificamente na área de pavimentos, o ensaio de CBR é o método mais utilizado e consolidado para esta finalidade. A crescente demanda por técnicas mais rápidas e econômicas tem impulsionado o interesse no método do Cone de Penetração Dinâmica (DCP) especialmente no exterior, com ampla aceitação e utilização em larga escala em países como a Inglaterra, Estados Unidos, Austrália e África do Sul, entre outros. A escassez de conhecimento e exploração deste método no Brasil, em contraste com as perspectivas de sua utilização observadas em outros países, configura-se como uma oportunidade de investigação para viabilizar sua aplicação no contexto nacional. Assim, o presente estudo propõe uma análise comparativa entre os dois métodos, com o objetivo de avaliar a confiabilidade, a aplicabilidade e as possíveis limitações do DCP em relação ao ensaio de laboratório para a obtenção do índice de CBR.

1.2 OBJETIVO GERAL

Este estudo tem como objetivo principal tentar estabelecer uma correlação entre os resultados do Índice de Suporte Califórnia – ISC obtidos através do ensaio in situ utilizando o Cone de Penetração Dinâmica – DCP, e os resultados do ensaio de laboratório. Deferentemente de outros estudos realizados anteriormente sobre este assunto, no qual foram feitas tentativas de estabelecer correlações entre os ensaios de campo e os de laboratório, neste trabalho o ensaio com o DCP será feito nos corpos de prova moldados para o ensaio de ISC, de maneira que o material a ensaiado através de ambos os métodos tenha características idênticas.

1.3 OBJETIVOS ESPECÍFICOS

Os objetivos específicos deste estudo são:

- a) fabricar o equipamento de DCP para realização dos ensaios, de acordo com as especificações apresentadas nas normativas nacionais e internacionais;
- b) realizar previamente ensaios de caracterização e compactação das amostras, necessários para realização dos ensaios de ISC e DCP;
- c) realizar o ensaio de ISC, utilizar os mesmos corpos de prova realizar os ensaios de DCP, assegurando que as características do solo ensaiado sejas as mesmas;
- d) realizar a análise dos resultados do ensaio de DCP dentro dos parâmetros definidos pela norma ABNR e pela norma ASTM;
- e) analisar os resultados do ensaio de DCP dentro dos parâmetros definidos pela norma ABNR e pela norma ASTM;
- f) estabelecer uma correlação entre os valores do ISC obtidos *in situ* através do DCP e do ensaio de laboratório;
- g) propor ajustes ou modelos de correlação que possam aumentar a confiabilidade do ensaio DCP como ferramenta de estimativa do Índice de Suporte Califórnia – ISC.

2 FUNDAMENTAÇÃO TEÓRICA

Todas as atividades humanas são fundamentadas na interação com o solo, e conforme assevera Pinto (2006, p. 13), as obras de Engenharia Civil demandam uma análise apropriada do seu comportamento geotécnico. Senço (2007, p. 42) afirma que a definição de solo é uma tarefa árdua, remontando à sua origem a partir de transformações de uma rocha mãe através de processos físicos, físico-químicos e biológicos, resultando em um material com as mais variadas características e comportamentos peculiares.

Toledo, Oliveira e Melfi (2003, p.140) discorrem que no processo de formação do solo as modificações causadas pelo intemperismo, além de químicas e mineralógicas são também estruturais, ocasionando uma reorganização dos minerais formadores do solo entre os diferentes níveis do perfil, com significativas transformações em termos de composição, estruturas e texturas à medida que se distanciam da rocha-mãe.

A Pedologia – ramo das Ciências da Terra que estuda os processos de formação do solo, o considera "um material que evolui no tempo, sob ação dos fatores ativos do ciclo supérgeno (clima, vegetação, topografia e biosfera)" (Toledo, Oliveira e Melfi, 2003, p.157). Pinto (2006 p. 14) complementa que os solos são aglomerados de partículas sólidas com água e ar preenchendo os espaços intermediários e, estando essas partículas de um modo geral livres para deslocarem-se entre si, o comportamento dos solos também depende do movimento destas partículas.

Ao final do século XIX, começaram a surgir obras que demandavam movimentações de volumes cada vez maiores de solo, pois as edificações começaram a ser cada vez mais altas, tornando-se necessárias escavações mais profundas até atingir cotas onde a tensão admissível do solo fosse suficiente para suportar as demandas de cargas provindas da superestrutura. O solo passa então a ser considerado como um material de construção e não apenas como o suporte de uma obra, tal como asseveram Caputo e Caputo (2022, p.77), visto que em obras como aterros, barragens e pavimentos de rodovias o solo é utilizado diretamente na construção. Desta forma, o conhecimento de suas propriedades passou a ser cada vez mais importante e necessário, reforçado por acontecimentos desastrosos como os deslizamentos massivos ocorridos no Corte *Culebra* no Canal do Panamá e rompimentos de barragens nos Estados Unidos em *South Fork* na Pensilvânia, *Tom*

Miller no Texas e Saint Francis na Califórnia, evidenciaram a necessidade de aperfeiçoamento das teorias da Mecânica dos Solos e da Geotecnia, visando manter a integridade e estabilidade das estruturas. Estudos iniciados por Coulomb (1736-1806) e Rankine (1820-1872) e aprimorados por Attenberg (1846-1916), Terzaghi (1883-1963) e Casagrande (1902-1981), entre outros, proporcionaram novos enfoques ao estudo dos solos e seu emprego nas obras de Engenharia Civil.

2.1 CLASSIFICAÇÕES E CARACTERIZAÇÕES DOS SOLOS

A diversidade dos solos é atribuída aos diversos fatores de formação que influenciam sua composição e características próprias. No que tange ao interesse da Engenharia, tornou-se necessário agrupar os solos em categorias com propriedades distintas, com o objetivo de estimar seu provável comportamento e, assim, selecionar a técnica mais adequada para análise do material e sua aplicação nos projetos, de acordo com a finalidade desejada. Pinto (2006, p. 63) ressalta que apesar da validade dos sistemas de classificação ser passível de discussão em função das inúmeras e variáveis características de cada solo, tais classificações se fazem necessárias para a compreensão geral das partes envolvidas em projeto e execução de obras.

Ao longo da evolução dos estudos de Geotecnia e Mecânica dos Solos, foram desenvolvidos e aperfeiçoados ensaios, índices e parâmetros de classificação e caracterização de solos que pudessem fornecer uma linguagem padronizada que, ao mesmo tempo, expressassem características gerais, mas sem descrições detalhadas. Corroborando a afirmação de Pinto (2006, p.62), Das e Sobhan (2019, p. 107) ressaltam que, embora haja atualmente diversos sistemas de classificação de solos, nenhum é totalmente abrangente para caracterizar um solo em todas as suas possíveis aplicações, pelos mesmos motivos indicados por aquele autor. Atualmente, os dois sistemas de classificação de solos mais usados são o sistema desenvolvido pela AASHTO – American Association of State Highway and Transportation Officials e o SUCS – Sistema Unificado de Classificação dos Solos, proposto por Casagrande em 1942 (Das e Sobhan, 2019, p. 113).

Conjuntamente com os sistemas de classificação são empregados ensaios de laboratório e de campo que fornecem informações para serem utilizadas em projetos, dimensionamentos e controle tecnológico dos solos para verificação dos parâmetros necessários a cada tipo de obra. Dentre os ensaios de laboratório, Senço (2007, p.

70) destaca os ensaios de umidade natural, umidade higroscópica, densidades e massas específicas, peneiração, sedimentação, limites de Atterberg (liquidez e plasticidade), contração, saturação e índice de centrifugação.

Para Massad (2016, p. 67), ensaio de campo "[...] pode significar a determinação, no mais breve intervalo de tempo, do grau de compactação e do desvio de umidade em relação à umidade ótima, [...]", dentre os quais cita-se o método de Hilf para o controle de compactação, o método do frasco de areia para determinação da massa específica aparente, além de métodos expeditos para determinação do teor de umidade, como o método do umidímetro ou *Speedy* e o método da frigideira. Desta mesma forma, o ensaio de DCP visa estimar de forma rápida o CBR de um solo, e por ser realizado em in situ, não altera as suas condições naturais. Todos os ensaios e sistemas de classificação têm por objetivo descrever as características dos materiais analisados com a finalidade de adequar os projetos às condições do meio em que estarão situados.

Segundo Pinto, 2006, p. 63, a classificação dos solos permite agrupar os materiais em categorias que compartilham propriedades mecânicas semelhantes, facilitando a escolha adequada para aplicações específicas. Já a caracterização do solo envolve a determinação de parâmetros físicos, químicos e mecânicos, como granulometria, plasticidade, permeabilidade e resistência, que influenciam diretamente o desempenho do solo como fundação ou camada de pavimento. Adicionalmente, a caracterização do solo é crucial para prever e mitigar problemas potenciais, como recalques, deformações plásticas e erosão, que podem comprometer a integridade do pavimento. Essas análises também orientam o uso de técnicas de estabilização, como adição de cimento, cal ou outros aditivos, quando os solos disponíveis no local apresentam propriedades inadequadas. Em suma, a classificação e a caracterização dos solos não apenas fundamentam decisões técnicas no projeto e execução de pavimentação, mas também contribuem para a otimização de recursos e a sustentabilidade das obras, reduzindo retrabalhos e aumentando a vida útil das infraestruturas rodoviárias.

Conforme destacado por Senço (2007, p. 41), no que tange ao dimensionamento de pavimentos, o solo exerce influência em todas as etapas de estudo de um pavimento, mesmo não sendo diretamente empregado nas camadas projetadas, constitui inevitavelmente o elemento de suporte fundamental para toda a estrutura. Desta forma a classificação e a caracterização dos solos desempenham um

papel fundamental no planejamento e execução de obras de pavimentação, sendo etapas indispensáveis para garantir a durabilidade, segurança e custo-efetividade das estruturas rodoviárias. Sendo os solos materiais naturais altamente heterogêneos e com propriedades que variam significativamente de acordo com sua origem, composição mineralógica e condições ambientais, dessa forma, a compreensão das suas características é essencial para prever o comportamento desses materiais quando submetidos às cargas aplicadas pelo tráfego e às variações climáticas.

Na área de projetos de pavimentação o CBR é, indubitavelmente, uma das metodologias mais amplamente reconhecidas para a avaliação do comportamento mecânico de solos, tanto no contexto de sua utilização como fundação de pavimentos quanto como elemento integrante das camadas que compõem essas estruturas (Senço, 2007, p. 219). O ensaio de CBR é realizado em laboratório a partir de uma amostra de solo coletada e preparada para realização do ensaio, e alternativamente há o ensaio de DCP, que é realizado em campo, permitindo estimar o CBR *in situ*, nas condições naturais do solo. Seja por meio de ensaios laboratoriais ou de alternativas *in situ*, como o DCP, o CBR contribui significativamente para a caracterização das condições do solo, possibilitando a adequação do projeto às demandas estruturais e operacionais das camadas de pavimentação.

2.2 ÍNDICE DE SUPORTE CALIFÓRNIA – ISC (CALIFORNIA BEARING RATIO – CBR)

O Índice de Suporte Califórnia – ISC, usualmente designado pela sigla CBR, oriunda do nome em inglês "California Bearing Ratio", é um ensaio desenvolvido em 1929 pelo Engenheiro O. J. Porter do Departamento Transporte da Califórnia – Caltrans para pavimentação de rodovias, posteriormente adaptado pelo Corpo de Engenheiros dos Estados Unidos – USACE para projeto de pavimentos de aeroportos. Desde então tem sido amplamente utilizado como o principal parâmetro para projetos de pavimentações a nível mundial, com normatização internacional elaborada pela American Society for Testing and Materials – ASTM através da norma D1883-16, de acordo com os princípios de padronização estabelecidos pelo Comitê de Barreiras Técnicas ao Comércio da Organização Mundial do Comércio. No Brasil, o ensaio de CBR foi introduzido em 1966 pelo Eng. Murillo Lopes de Souza (DNER, 1981, p. 7) e

atualmente é indispensável para projetos de pavimentação, especialmente para estradas e rodovias.

Normatizado pela norma ABNT NBR 9895:2016 e pela norma DNIT 172/2016-ME, o ensaio de CBR consta como requisito obrigatório nas principais normativas de órgãos estaduais para projetos de pavimentações, a exemplo do capítulo de Investigações Geológico-Geotécnicas da Instrução de Projeto IP-DE-P00/001:2006 do DER/SP (DER/SP, 2006, p.13), no vol. IV do Manual de Procedimentos para Elaboração de Estudos e Projetos de Engenharia Rodoviária do DER/MG (DER/MG, 2022, p. 15) e, especificamente para o estado do Rio Grande do Sul, na Instrução de Serviço para Elaboração de Estudos Geotécnicos – IS-101/21 (DAER/RS, 2001, p. 34) e no Ensaio Laboratorial – EL 009/01 do Manual de Ensaios, vol. 1 do DAER/RS (DAER/RS, 2001, p. 62).

Definido por Caputo e Caputo (2022, p. 85) com sendo a base para o método de dimensionamento de pavimentos flexíveis, o CBR é um ensaio de laboratório que consiste em determinar a capacidade de suporte de um solo e o potencial de ruptura do subleito, no qual o resultado obtido é utilizado para dimensionar as espessuras das camadas de composição de um pavimento.

O CBR expressa a relação percentual entre a resistência à penetração de um pistão padrão em uma amostra de solo moldada em um cilindro metálico na umidade ótima de compactação e à resistência de penetração do mesmo pistão em pedra britada padrão, estabilizada por ajuste granulométrico (Caputo e Caputo, 2022, p.87).

O ensaio também fornece o potencial de expansibilidade do solo, obtido através da submersão dos corpos de prova em água por um período mínimo de quatro dias (ABNT NBR 9895:2016, p. 4). A importância desta verificação reside no fato de que solos potencialmente expansivos podem provocar manifestações patológicas irreparáveis. Além de ambos os resultados serem imprescindíveis para o correto dimensionamento de um pavimento, todas as normativas definem valores aceitáveis para os dois parâmetros, como exemplifica o Manual de Pavimentação do Departamento Nacional de Infraestrutura de Transportes (BRASIL, 2006, p.142), que define valores aceitáveis para os índices de CBR e de expansão de acordo com a função estrutural a ser exercida, conforme demonstrado na Tabela 1.

Tabela 1 - Valores mínimos de CBR e expansão

Camada	CBR	Expansão
	•	
Subleito	≥ 2 %	≤ 2 %
Reforço do Subleito	> que o do Subleito	≤ 1 %
Sub-base	≥ 20%	≤ 1%
Base	≥ 80%	≤ 0,5%

Fonte: Adaptado de BRASIL (2006, p. 142)

Balbo (2007, p. 375) ressalta que o ensaio de CBR foi inicialmente concebido com base em correlações empíricas e teve o gatilho para sua consolidação durante a Segunda Guerra Mundial, que para a construção de aeroportos militares era necessário um critério simples, rápido e eficiente para avaliar a capacidade de suporte dos solos. Desde então tem sido o principal método para o dimensionamento de pavimentos flexíveis e com critérios normativos oficiais, como é o caso do DNIT e da ASTM.

A realização do ensaio inicia-se com a coleta e subsequente preparação da amostra de solo de acordo com a norma ABNT NBR 6457:2024. A amostra coletada deve ser espalhada e deixada para secar ao ar até chegar próximo da umidade higroscópica, algo em torno de 3 a 4 dias, dependendo das condições climáticas. Em seguida são desmanchados os torrões e realizado o peneiramento, onde o solo para o ensaio deverá corresponder à quantidade passante na peneira de 19 mm e retido na peneira de 4,8 mm.

O ensaio de CBR segue as instruções da norma ABNT NBR 9895:2016, utilizando uma quantidade de solo de 50 kg, sendo que deve ser separado em porções de 6 kg para realização do ensaio sem reuso de material. Cada porção deve ser colocada em uma bandeja metálica e com o auxílio de uma proveta de vidro deve ser adicionada água de forma gradativa, revolvendo continuamente o material para homogeneização. A quantidade de água adicionada na primeira amostra deve ser tal que se obtenha um teor de umidade cinco pontos abaixo da umidade ótima presumível. Em seguida a amostra é colocada em um molde cilíndrico com diâmetro de 152,4 mm e altura de 177,8 mm, base perfurada com orifícios de 3,2 mm, cilindro complementar (colarinho) de mesmo diâmetro do cilindro e altura de 60 mm, mais um

disco espaçador metálico com diâmetro de 150,8 mm e altura de 63,5 mm, conforme indicado pela norma ABNT NBR 9895:2016, p. 8 mostrado na Figura 3.

Onficio de 3,2 no prato de base

Vista superior

Vista superior

Onficio de 3,2 no prato de base

Vista superior

Onficio de 3,2 no prato de base

Vista superior

Onficio de 3,2 no prato de base

Vista superior

Onficio de 3,2 no prato de base

Vista superior

Onficio de 3,2 no prato de base

Vista superior

Onficio de 3,2 no prato de base

Onficio de 3,2 no prato de base

Figura 3 - Molde cilíndrico para execução do ensaio de CBR

Fonte: Norma ABNT NBR 9895:2019, p. 8 (c2025)

Cada porção de 6 kg de solo, após a adição do percentual de umidade correspondente ao ponto de ensaio e devidamente homogeneizado em bandejas metálicas com o auxílio de uma desempenadeira dentada é colocado dentro do cilindro em 5 camadas, cada uma compactada com o auxílio de um soquete. O número de golpes aplicados com o soquete é de acordo com a energia de compactação adotada para o ensaio, conforme especificado na Tabela 1 da norma ABNT NBR 7182:2025, p. 6, sendo 12 golpes para energia normal, 26 golpes para energia intermediária e 55 golpes para energia modificada. Com uma pequena porção da amostra restante na bandeja, é realizado o ensaio para determinação da umidade conforme o item 4 da norma ABNT NBR 6457:2024, p. 5. O procedimento então é repetido para obtenção de cinco corpos de prova, que serão colocados em pratos base acoplados com um relógio comparador (deflectômetro) e imersos em água para determinar a expansibilidade do material. O tempo de embebição é de no mínimo quatro dias e as com leituras do deflectômetro são feitas a cada 24h. Após este

período, os corpos de prova são retirados da água, deixados para escoar durante 15 minutos e então são colocados na prensa de CBR para o ensaio de penetração. A Figura 4 mostra uma prensa manual de CBR.

Anel Dinamométrico
Extensômetro 01
Extensômetro 02
Dispositivo CBR

Prensa Manual
Pés emborrachados

Figura 4 - Prensa manual de CBR

Fonte: Biopdi (c2024).

A prensa de CBR também pode ser automática, que garante a precisão dos testes e a padronização dos ensaios, além de eliminar a possibilidade de erro humano e a variabilidade de resultados causada por diferentes operadores. A Figura 5 mostra uma prensa automática de CBR.



Figura 5 - Prensa automática de CBR

Fonte: Solotest (2021).

Utilizando uma prensa manual para realização do ensaio, aplica-se uma carga de aproximadamente 45 N, controlada pelo deslocamento do ponteiro do deflectômetro. A manivela deve ser acionada com uma velocidade de 1,27 mm/min. A partir das leituras do deflectômetro (mm) e das respectivas cargas aplicadas (N) obtém-se a pressão, expressa em MPa e o cálculo do CBR é realizado conforme o item 5.5.3.3 da norma ABNT NBR 9895:2016.

Ao final do ensaio, são obtidos os valores percentuais da expansão de cada corpo de prova através da equação 1.

$$Expansão \% = \frac{leitura final-leitura inicial do deflectômetro}{altura inicial do corpo de prova} \times 100$$
 (1)

O cálculo do CBR correspondente a cada corpo de prova é realizado de acordo com a equação 2, na qual a pressão padrão corresponde a 6,9 MPa para a penetração de 2,54 mm e 10,35 MPa para a penetração de 5,08 mm.

$$CBR = \frac{pressão \ calculada \ ou \ pressão \ corrigida}{pressão - padrão} \times 100$$
 (2)

O percentual final de CBR obtido no ensaio corresponderá ao maior dos valores obtidos nas penetrações de 2,54 mm e 5,08 mm (ABNT NBR 9895:2016, p. 6).

Utilizando a prensa automática, o processo é realizado de forma precisa e segura, com medidas automáticas da carga e penetração, realizando também o cálculo do CBR. A automatização deste ensaio, além de agilizar o processo, garante a padronização e a precisão dos resultados, pois a ausência de intervenção manual reduz a possibilidade de erros (Biopdi, 2023).

2.3 CONE DE PENETRAÇÃO DINÂMICA – CPD (*DYNAMIC CONE PENETROMETER – DCP*)

Na engenharia geotécnica e de fundações, os testes de penetração *in situ* são aqueles em que é realizada uma perfuração no solo utilizando uma haste de aço com ponta cônica que penetra o terreno por percussão através do impacto de um martelo ou de modo contínuo com o auxílio de macacos hidráulicos, sem que haja coleta de

amostras (Fernandes, 2014, p. 101). Dois exemplos bastante utilizados são o *Standard Penetration Test – SPT*, ou ensaio de sondagem simples à percussão (ABNT NBR 6484:2020) e o *Cone Penetrometer Test – CPT*, ou ensaio de penetração de cone *in situ* (ABNT NBR 12069:1991), ambos utilizando a cravação de um amostrador no solo, sendo que o SPT é cravado de forma dinâmica com golpes de martelo e o CPT é cravado de forma estática com o auxílio de um equipamento hidráulico a uma velocidade constante de dois centímetros por segundo.

Conforme Paige-Green e Du Plessis (2009, p. 2), seguindo o mesmo princípio de penetração à percussão de um amostrador no solo, o Cone de Penetração Dinâmica foi inicialmente criado na Austrália em 1956, a partir de um antigo modelo suíço para avaliar a resistência ao cisalhamento do material de um pavimento. Posteriormente foi aprimorado na África do Sul, através de uma série de variantes de diferentes massas de martelo e distâncias de queda, até que em 1970 o dispositivo foi padronizado com uma massa de 8 kg para o martelo e uma altura de queda de 575 mm. O equipamento de DCP consiste em duas hastes metálicas atarraxadas uma à outra, sendo a superior com um diâmetro de 25 mm, com punho, martelo com peso de 8 kg e uma altura de queda de 575 mm. A haste inferior possui um diâmetro de 16 mm com uma régua anexada graduada em 1000 mm, nível de bolha e mais o cone de penetração propriamente dito, com ponta em ângulo de 60°. Em função das parametrizações idealizadas na África do Sul, o equipamento também é conhecido como Cone Sul Africano ou Penetrômetro Sul Africano. A Figura 6 mostra a representação esquemática do equipamento apresentada na norma ABNT NBR 17091:2023, p. 2.

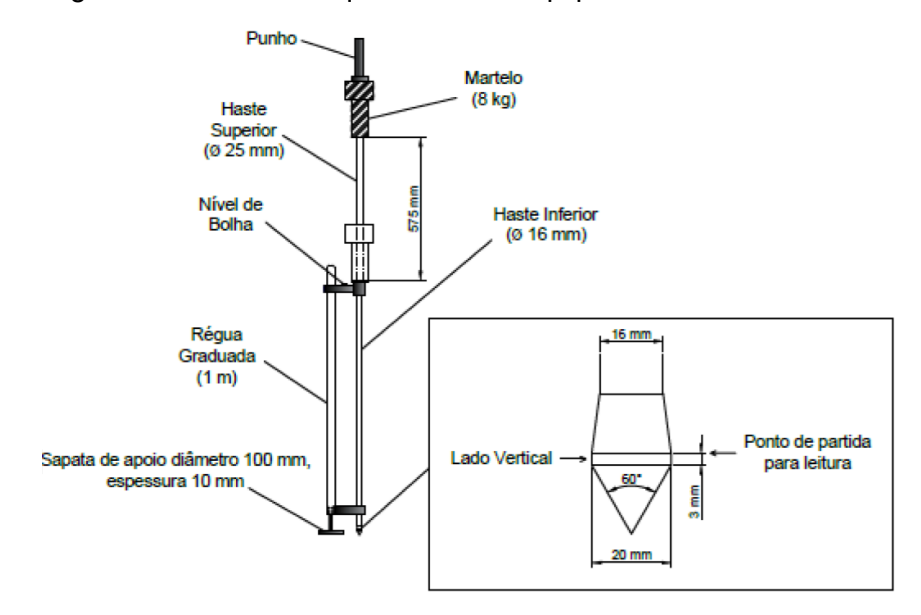


Figura 6 - Desenho esquemático do equipamento de DCP

Fonte: Norma ABNT NBR 17091:2023 (c2024).

O ensaio de DCP é normatizado no Brasil pela norma ABNT NBR 17091:2023, que foi elaborada com base na ASTM D6951/D6951M-09. O ensaio é relativamente simples de ser executado, bastando posicionar o equipamento montado no ponto a ser ensaiado de forma que figue em um ângulo de 90° em relação ao solo, elevar o martelo até a parte inferior do punho para atingir a altura de queda de 575 mm e soltálo em queda livre. Inicialmente, são executados golpes suficientes para a cravação inicial da haste inferior no solo, sendo que os primeiros golpes não são contabilizados, apenas a profundidade inicial é registrada em milímetros na planilha de campo. O ensaio em si é iniciado com a aplicação de golpes sucessivos e a penetração obtida a cada três golpes é registrada na planilha de campo, sempre com as medidas de profundidade em milímetros. A norma ABNT NBR 17091:2023 ressalva que caso haja uma penetração inferior a 2 mm em cinco golpes consecutivos, ou para o caso de uma deflexão do punho em relação à vertical superior a 75 mm, o ensaio deve ser interrompido e recomeçado a uma distância mínima de 30 cm do ponto anterior. Sempre que uma penetração for interrompida por falta de avanço da haste após os golpes sucessivos ou quando o deslocamento for inferior a 2 mm, considera-se que o impenetrável foi atingido ou que a presença de matacões ou pedregulhos no solo estejam impondo resistência ao avanço. Nesses casos, é necessário reiniciar o ensaio a, no mínimo, 30 cm de distância do ponto onde o ensaio foi interrompido.

Ao término do ensaio e com os dados das medições anotados, são realizados os cálculos do Índice de Penetração Dinâmica – I_{PD} conforme a equação 3.

$$I_{PD} = \frac{(pf - pi)}{n} \tag{3}$$

Onde: I_{PD} é o Índice de Penetração Dinâmica;

pf é a penetração final;

pi é a penetração inicial;

n é o número de golpes.

O valor obtido do I_{PD} é utilizado para o cálculo do CBR, de acordo com as equações de regressão formuladas pela ASTM D6951, indicadas na Tabela B.1 da norma ABNT NBR 17091:2023, mostradas na Tabela 2.

Tabela 2 - Equações de regressão para cálculo do ISC

Equações de regressão	Tipo de solo
$ISC = \frac{292}{I_{PD}^{1,12}}$	Solos granulares e solos coesivos, exceto argilas com baixa plasticidade ou altamente plásticas
$ISC = \frac{1}{(0,017019 \times I_{PD})^2}$	Argilas com baixa plasticidade
$ISC = \frac{1}{(0,002871 \times I_{PD})}$	Argilas altamente plásticas

Fonte: Autor, adaptado da norma ABNT NBR 17091:2023

A norma ABNT NBR 17091:2023 também traz no Anexo A um exemplo de tabela de medição e um exemplo de gráfico para os resultados do ensaio de DCP, com valores ilustrativos e fictícios. O exemplo de tabela da norma é mostrado na Figura 7 e o gráfico na Figura 8.

Figura 7 - Exemplo de tabela de medição

			EN	ISAIO I	DCP - CON	IE DE	PENET	RAÇÃO D	INÂM	1ICA	
Local:											
Descrição	do Serviço:									Data:	
Can	nadas:		Оре	erador:		Vala:		Es	pessura d	a base:	
Cálcu	lo DCP	I _{pd} = (Penet		al - Penetra	ção inicial) ÷		aceitáveis /golpe):	BGS: I _{pd} ≤ 6	Solo	: I _{pd} ≤ 17	Areia: <i>I _{pd}</i> ≤ 22
	ENSAIC)		ENSAIG	D II		ENSAIC	III		ENSAIC	IV
Nº de Golpes	Penetração (mm)	Obs	Nº de Golpes	Penetração (mm)	Obs	Nº de Golpes	Penetração (mm)	Obs	Nº de Golpes	Penetração (mm)	Obs
0	30	Penetração inicial	0	35	Penetração inicial	0	40	Penetração inicial	0	38	Penetração inicial
3	45		3	50		3	61		3	60	
6	58		6	71		6	83		6	82	
9	66		9	85		9	103	BGS	9	104	
12	79		12	99	BGS	12	126		12	123	SOLO
15	92		15	112		15	148		15	148	
18	104	BGS	18	130		18	199		18	169	
21	115		21	144		21	243		21	215	
24	130		24	188		24	288		24	260	
27	143		27	250	-	27	337		27	314	
30	155		30	302		30	386		30	367	
33	192		33	363		33	438		33	419	
36	231		36	416	-	36	480	9 6 4	36	478	
39	275		39	477	SOLO	39	529		39	536	
42	310		42	531		42	576		42	588	
45	348		45	582		45	634		45	640	
48	431		48	640		48	680		48	691	
51	470	SOLO	51	697		51	725		51	746	
54	515		54	753					54	799	
57	550										
60	581										
63	613										
66	647										
BGS	I _{pd} calcu (mm/go		BGS	I _{pd} calcu (mm/go		BGS	I _{pd} calcu (mm/go		BGS	I _{pd} calcu (mm/go	
503	GS Valor aceitável: 6 mm/golpe		563	Valor aceit	ável: 6 mm/golpe	Valor aceit		ável: 6 mm/golpe	563	Valor aceit	ável: 6 mm/golpe
	I _{pd} calcu (mm/go			I _{pd} calcu (mm/go			I _{pd} calcu (mm/go			I _{pd} calcu (mm/go	
Solo	ISC (%) 15,61		Solo ISC (%)		Solo	ISC (S		Solo	ISC (S		
		ivel: 17 mm/golpe			ável: 17 mm/golpe			ivel: 17 mm/golpe			ivel: 17 mm/golpe
Areia	I _{pd} calculado (mm/golpe):	Areia	I _{pd} calculado (mm/golpe):		I _{pd} calcu (mm/go		Areia		calculado m/golpe):		
Cicia	Valor aceitá	vel: 22 mm/golpe	Siela		ável: 22 mm/golpe	Areia		ivel: 22 mm/golpe	Siela		ivel: 22 mm/golpe
	EQ	UAÇÃO DE REGR	ESSÃO F	ORMULADA	POR ASTM D695	1 ISC (ÍNE	DICE DE SUP	ORTE CALIFÓRNIA	A) ISC = 2	92/DN ^{1,12}	

Fonte: Norma ABNT NBR 17091:2023

Número de Golpes

0 10 20 30 40 50 60 70

100 200 40 50 60 70

100 200 40 50 60 70

100 200 40 50 60 70

100 200 40 50 60 70

100 200 40 50 60 70

100 200 40 50 60 70

100 200 40 50 60 70

100 200 40 50 60 70

100 200 40 50 60 70

100 200 40 50 60 70

100 200 40 50 60 70

100 200 40 50 60 70

100 200 40 50 60 70

100 200 40 50 60 70

100 200 40 50 60 70

100 200 40 50 60 70

100 200 40 50 60 70

100 200 40 50 60 70

100 200 40 50 60 70

100 200 40 50 60 70

100 200 40 50 60 70

100 200 40 50 60 70

100 200 40 50 60 70

100 200 40 50 60 70

100 200 40 50 60 70

100 200 40 50 60 70

100 200 40 50 60 70

100 200 40 50 60 70

100 200 40 50 60 70

100 200 40 50 60 70

100 200 40 50 60 70

100 200 40 50 60 70

100 200 40 50 60 70

100 200 40 50 60 70

100 200 40 50 60 70

100 200 40 50 60 70

100 200 40 50 60 70

100 200 40 50 60 70

100 200 40 60 70

100 200 40 60 70

100 200 40 70

100 200 40 70

100 200 40 70

100 200 40 70

100 200 40 70

100 200 40 70

100 200 40 70

100 200 40 70

100 200 40 70

100 200 40 70

100 200 40 70

100 200 40 70

100 200 40 70

100 200 40 70

100 200 40 70

100 200 40 70

100 200 40 70

100 200 40 70

100 200 40 70

100 200 40 70

100 200 40 70

100 200 40 70

100 200 40 70

100 200 40 70

100 200 40 70

100 200 40 70

100 200 40 70

100 200 40 70

100 200 40 70

100 200 40 70

100 200 40 70

100 200 40 70

100 200 40 70

100 200 40 70

100 200 40 70

100 200 40 70

100 200 40 70

100 200 40 70

100 200 40 70

100 200 40 70

100 200 40 70

100 200 40 70

100 200 40 70

100 200 40 70

100 200 40 70

100 200 40 70

100 200 40 70

100 200 40 70

100 200 40 70

100 200 40 70

100 200 40 70

100 200 40 70

100 200 40 70

100 200 40 70

100 200 40 70

100 200 40 70

100 200 40 70

100 200 40 70

100 200 40 70

100 200 40 70

100 200 40 70

100 200 40 70

100 200 40 70

100 200 40 70

100 200 40 70

100 200 40 70

100 200 40 70

100 200 40 70

100 200 40 70

100 200 40 70

100 200 40 70

100 200 40 70

100 200 40 70

100 200 40

100 200 40 70

100 200 40 70

100 200 40 70

100 200 40 70

100

Figura 8 - Exemplo de gráfico de ensaio DCP

Fonte: Norma ABNT NBR 17091:2023

Assim como a norma ABNT NBR 17091:2023, a ASTM D6951/D6951M-09 também traz um modelo de tabela para registro do ensaio, mas a grande diferença reside na apresentação de uma tabela de correlações entre o I_{PD} e o CBR percentual, conforme a transcrição mostrada na Tabela 3.

Tabela 3 – Tabela de correlação entre o CBR e o a variação da penetração por golpe

					(continua)
I _{PD} (mm/golpe)	CBR (%)	I _{PD} (mm/golpe)	CBR (%)	I _{PD} (mm/golpe)	CBR (%)
<3	100	39	4,8	69 – 71	2,5
3	80	40	4,7	72 – 74	2,4
4	60	41	4,6	75 – 77	2,3
5	50	42	4,4	78 – 80	2,2
6	40	43	4,3	81 – 83	2,1
7	35	44	4,2	84 – 87	2,0
8	30	45	4,1	88 – 91	1,9
9	25	46	4,0	92 – 96	1,8
10 – 11	20	47	3,9	97 – 101	1,7
12	18	48	3,8	102 – 107	1,6
13	16	49 – 50	3,7	108 – 114	1,5
14	15	51	3,6	115 – 121	1,4
15	14	52	3,5	122 – 130	1,3
16	13	53 – 54	3,4	131 – 140	1,2
17	12	55	3,3	141 – 152	1,1
18 – 19	11	56 – 57	3,2	153 – 166	1,0
20 – 21	10	58	3,1	166 – 183	0,9

(conclusão)

I _{PD} (mm/golpe)	CBR (%)	I _{PD} (mm/golpe)	CBR (%)	I _{PD} (mm/golpe)	CBR (%)
22 – 23	9	59 – 60	3,0	184 – 205	0,8
22 – 23	9	59 – 60	30	184 – 205	0,8
24 – 26	8	61 – 62	2,9	206 – 233	0,7
27 – 29	7	63 – 64	2,8	234 – 271	0,6
30 - 34	6	65 – 66	2,7	272 – 324	0,5
35 – 38	5	67 – 68	2,6	>324	<0,5

Fonte: Autor, adaptado de D6951/D6951M-09 (c2024).

Apesar de pequenas diferenças nos registros a serem inseridos nas tabelas para determinação do CBR, os dados necessários são apenas a quantidade de golpes e a profundidade de penetração, para o cálculo do Índice de Penetração (I_{PD}) que será utilizado nas equações de regressão para determinação do índice de CBR. As equações de regressão da norma norte-americana e da norma brasileira são as mesmas, visto que a norma brasileira é basicamente um resumo da ASTM D6951/D6951M-09.

Convém observar que a norma brasileira não estabelece nem faz menção acerca de uma profundidade limite para finalização do ensaio, pressupondo-se que seja conduzido até o limite do comprimento da haste de penetração, de 1 metro (1000 mm). A norma norte-americana é mais específica neste quesito, indicando que a profundidade pode variar e que para o caso de rodovias, usualmente uma penetração de até 900 mm é considerada suficiente para o teste (ASTM D6951/D6951M-09, p. 3). Além disso, essa norma prevê a possibilidade de utilização de extensões, caso seja necessário atingir profundidades superiores a 1000 mm. Não há menção em ambas as normas acerca da validação do ensaio em relação à profundidade da cota impenetrável.

Não obstante a aparente necessidade de revisão de alguns quesitos, a relativa simplicidade de execução e a agilidade na obtenção dos resultados representam aspectos que diferenciam de forma favorável este método em relação ao ensaio de laboratório.

2.4 ESTADO DA ARTE DO MÉTODO DCP

Há uma quantidade substancial de estudos publicados acerca do método do DCP, contudo, observa-se a ausência de um consenso generalizado e amplamente aceito entre autores e pesquisadores. Caputo e Caputo (2022, p. 87) descarta o uso do DCP alegando haver uma série restrições para sua utilização, mas não especifica quais nem fornece maiores esclarecimentos. Em contraponto, pesquisadores do método, como Paige-Green e Du Plessis (2009, p. 1), afirmam que no ensaio de CBR todas as partículas com diâmetro superior a 19 mm são removidas durante o peneiramento para preparação do ensaio e a compactação é feita com uma carga de impacto dinâmica gerada pelo soquete em queda livre sobre as camadas de solo a serem compactadas, ao passo que no campo não há remoção do agregado graúdo e a compactação é feita sob força vibratória. Outro ponto destacado pelos autores é que antes de ir para a prensa de CBR os corpos de prova são submersos em áqua para o ensaio de expansão, e em condições reais o solo depois de compactado raramente fica encharcado, indicando que os resultados de CBR diferem das condições reais que prevalecerão no campo. Nesse sentido respaldam Sagar et al (2022, p. 223), frisando que o ensaio de CBR em laboratório não consegue simular certas propriedades do solo in situ, tais como o percentual de umidade e a densidade, além de algumas vezes fornecer resultados superiores, uma vez que a compactação da amostra é realizada em um molde rígido, confinado e em condições diferentes do local de origem do solo.

Kasangaki (2019, p. 353) desenvolveu um estudo publicado nos anais da 17ª African Regional Conference on Soil Mechanics and Geotechnical Engineering no qual alega que entre os fatores que comprometem a confiabilidade dos resultados dos ensaios de DCP, estão a quantidade considerável de equações para converter os dados do DCP em percentuais de CBR, na grande maioria se mostrando inadequadas, de certa forma corroborando a afirmação de Caputo e Caputo (2022, p. 87) acerca das restrições para o uso do DCP. Kasangaki (2019, p. 354) também argumenta que a taxa de penetração do DCP pode variar de acordo com as condições de umidade *in situ* e que o ensaio somente seria válido se acompanhado de ensaios para determinação de umidade e densidade do material analisado. Outras restrições estão relacionadas à granulometria, não sendo possível realizar o ensaio em solos em que uma parte significativa seja constituída por partículas com tamanho superior a 50 mm.

Além disso, o autor afirma que a execução do ensaio DCP é frequentemente delegada a operadores despreparados e inexperientes, o que pode comprometer a confiabilidade dos resultados.

Em Israel, uma pesquisa realizada por Livneh (1989, p. 267) do *Transportation Research Institute* postula que as correlações entre os resultados do ensaio de DCP e a estimativa do CBR podem ser utilizadas com uma confiabilidade plausível. O autor enfatiza a vantagem do baixo custo de execução e de se tratar de um método não destrutivo, além de fornecer resultados rápidos e confiáveis. Faz apenas algumas ressalvas quanto à profundidade máxima de execução do ensaio, limitando-a em 800 mm e que o ensaio não pode ser realizado em pavimentos já existentes, sendo necessário executar um furo de no máximo 25 mm de diâmetro para ultrapassar a camada pavimentada e assim não danificar o equipamento, tal como indicado na norma ABNT NBR 17091:2023 (p. 7).

De acordo com a norma ABNT NBR 9895:2016, para realização do ensaio de CBR é necessária a coleta de uma amostra de solo e preparação de acordo com a norma ABNT NBR 6457:2024. A amostra deformada deve ser seca até atingir o ponto mais próximo possível da umidade higroscópica, seguida do destorroamento, peneiramento e moldagem dos corpos de prova para o ensaio de expansão e CBR propriamente dito. Neste processo de coleta, preparação das amostras e moldagem dos corpos de prova indiscutivelmente há uma desagregação do material no momento da coleta e destorroamento, seguida da segregação durante o peneiramento, como citado anteriormente por Paige-Green e Du Plessis (2009, p. 1). Sob este aspecto, a afirmação de Sagar *et al* (2022, p. 223) é válida, visto que as propriedades do solo *in* situ são alteradas quando da desagregação, secagem e segregação do material. Partículas com diâmetros maiores que 19 mm, pedregulhos, seixos e outros materiais presentes no solo em seu estado natural são descartadas para realização do ensaio de CBR, porém tais partículas permanecerão como componentes do subleito que receberá as camadas componentes da estrutura do pavimento. Paige-Green e Du Plessis (2009, p. 1) ressaltam que além do agregado graúdo permanecer no campo, na realização do ensaio de CBR em laboratório os corpos de prova são moldados com uma carga de impacto dinâmica, ao passo que no campo o material na sua totalidade será submetido a cargas vibratórias, oriundas dos processos de compactação e posteriormente do tráfego de veículos.

Especificamente em relação ao método do DCP, Paige-Green e Van Zyl (2019, p.14) afirmam que é possível obter um perfil totalmente representativo da resistência do subleito nas condições de umidade e densidade predominantes para cada camada, independentemente da espessura, permitindo uma caracterização completa das condições do subleito (incluindo camadas finas com características de resistência estatisticamente diferentes), melhor identificação de camadas fracas e permite uma boa avaliação estatística de seções uniformes e resistências de projeto de subleito representativas nas condições de umidade e densidade *in situ*.

Em um estudo publicado por Feleke e Araya (2016, p. 22), os autores afirmam que o ensaio de CBR pode ser substituído pelo ensaio de DCP, asseverando que nas condições gerais do estudo por eles realizado, o ensaio de DCP se mostrou mais eficaz e eficiente que o teste de laboratório. Os autores ainda enfatizaram que o ensaio de DCP é uma solução fácil, de baixo custo e que economiza tempo para avaliação do subleito da estrada durante a investigação do solo. Para Feleke e Araya (2016, p. 22), "o DCP leva cerca de dez minutos, enquanto o teste CBR precisa de mais de dez mil minutos.".

Apesar das divergências em relação à confiabilidade do método, alguns países fazem amplo uso do DCP como uma alternativa mais econômica e mais rápida para a obtenção de resultados em campo, utilizando-o como uma ferramenta segura e consolidada. Na África do Sul o DCP é um dos métodos mais utilizados para a avaliação de solos em pavimentação rodoviária, sendo empregado tanto em estudos preliminares quanto no monitoramento de obras. O país desenvolveu metodologias próprias de correlação entre os resultados do DCP e os parâmetros tradicionais, como o Índice de Suporte Califórnia (CBR), o que possibilitou a padronização de seu uso em escalas amplas.

Na Índia, o DCP é amplamente adotado em projetos de infraestrutura viária, especialmente em áreas rurais e regiões economicamente menos desenvolvidas, onde os recursos para ensaios laboratoriais podem ser limitados. Estudos realizados no país têm mostrado a confiabilidade do DCP na determinação rápida de parâmetros geotécnicos, permitindo decisões mais ágeis em campo (CSIR, c2025).

No Reino Unido o DCP é utilizado em projetos de pavimentação e controle de qualidade, especialmente em solos granulares e subleitos. O método é frequentemente integrado a sistemas de gestão de pavimentos para avaliar a

condição estrutural de rodovias existentes, oferecendo dados que auxiliam na priorização de manutenção (Jones, 2004, p. 2).

Nos Estados Unidos, o DCP é aplicado em estudos complementares para a caracterização de solos em projetos rodoviários. Pesquisas realizadas em universidades e agências estaduais têm explorado a confiabilidade do método, especialmente em solos finos e mistos, visando sua maior aceitação como ferramenta padronizada (Wu e Sargand, 2007, p. 37).

3 METODOLOGIA DE TRABALHO

Este estudo propõe uma análise comparativa entre os resultados do Índice de Suporte Califórnia – ISC (*California Bearing Ratio* – *CBR*) com a utilização do Cone de Penetração Dinâmica – CPD (*Dynamic Cone Penetrometer* – *DCP*) e dos ensaios tradicionais de laboratório. O objetivo deste estudo é avaliar a confiabilidade e aplicabilidade do método do Cone de Penetração Dinâmica e eventualmente fornecer subsídios que possibilitem a utilização mais segura e fundamentada do método. Para a realização do estudo comparativo foram definidos três locais para realização do ensaio *in situ* e coleta de solo para os ensaios de laboratório. Os ensaios de laboratório englobam, além do ensaio de CBR, ensaios de caracterização de solo: Análise Granulométrica, Limites de Atterberg (Liquidez e Plasticidade), Massa Específica e Compactação. Todos os ensaios de campo e de laboratório foram realizados estritamente de acordo com as normas ABNT específicas para cada finalidade, relacionadas na Tabela 4.

Tabela 4 - Normas ABNT aplicáveis aos ensaios

Norma	Título			
NBR 17091:2023 Solos – Ensaio do cone de penetração dinâmica				
NBR 6457:2024	Solos – Preparação de amostras para ensaios de compactação,			
NDIX 0437.2024	caracterização e determinação do teor de umidade			
NBR 6459:2016	Solo – Determinação do limite de liquidez			
NBR 7180:2016	Solo – Determinação do limite de plasticidade			
NBR 7182:2025	Solos – Ensaio de compactação			
NBR 17212:2025	Solos – Determinação da massa específica dos sólidos da fração			
NDR 1/212.2025	passante na peneira com abertura de 2,00 mm			
NBR 7181:2025	Solo – Análise granulométrica			
NBR 9895:2016	Solo – Índice de suporte Califórnia (ISC) – Método de ensaio			
ASTM D6951/D6951M	Standard Test Method for Use of the Dynamic Cone Penetrometer in			
- 09	Shallow Pavement Applications			

Fonte: Autor (2025).

Considerando que o Índice de Suporte Califórnia (ISC) avalia a capacidade de suporte de um solo e constitui um parâmetro fundamental utilizado para o

dimensionamento de pavimentos, os locais definidos para a realização dos ensaios de campo e a coleta de amostras de solo são vias não pavimentadas localizadas no Município de Caxias do Sul, RS.

Com o objetivo de realizar uma análise mais precisa dos resultados obtidos através do ensaio com o Cone de Penetração Dinâmica (CPD), além dos ensaios *in situ*, também foram realizados ensaios com o cone em laboratório, nos corpos de prova utilizados no ensaio de CBR. O ensaio de DCP foi realizado em cada corpo de prova utilizado no ensaio de CBR, logo após terem sido levados à prensa para o teste de penetração, de forma a garantir que as condições de umidade e compactação fossem equivalentes em ambos os ensaios.

3.1 IDENTIFICAÇÃO DOS LOCAIS DE COLETA E ENSAIOS IN SITU

Os locais selecionados estão dispostos na Tabela 5, nos quais foram feitos os ensaios *in situ* e a coleta de material para os ensaios de laboratório que a seguir são descritos em maiores detalhes.

Tabela 5 - Locais de ensaios de campo e coleta de solo

Ponto de ensaio DCP e coleta de	Localização	Coordenadas UTM	
solo			
Avenida Belvedere	Bairro São Luiz	E489229m, N6773942m, Zona 22J	
Estrada Municipal José Dani	Bairro Desvio Rizzo	E475846m, N6769878m, Zona 22J	
Estrada Municipal Ângelo Ruffato	Bairro Desvio Rizzo	E477034m, N6768391m, Zona 22J	

Fonte: Autor (2025).

3.1.1 Avenida Belvedere, bairro São Luiz

O primeiro local selecionado é uma via localizada no bairro São Luiz, na região leste de Caxias do Sul, RS, divisa com o distrito de Fazenda Souza. O bairro possui baixa densidade populacional e a maioria dos lotes encontra-se desocupados. A Avenida Belvedere possui aproximadamente 800 metros de extensão e uma faixa de domínio de 15 metros, de acordo com as informações constantes no sistema de

informações geográficas da Prefeitura de Caxias do Sul, GeoCaxias. Trata-se de uma via local tráfego leve. A Figura 9 apresenta a localização da Av. Belvedere.



Figura 9 - Localização da Av. Belvedere

Fonte: Google Earth (c2025).

O ponto onde foi realizado o ensaio de DCP *in situ* e a coleta de material para os ensaios de laboratório, definido pelas coordenadas UTM E489229 m e N6773942 m, Zona 22J, é apresentado na Figura 10.



Figura 10 - Ponto de ensaio de DCP e coleta do solo, Av. Belvedere

Fonte: Autor (2025).

3.1.2 Estrada Municipal José Dani

O segundo local selecionado foi a Estrada Municipal José Dani, localizada no bairro Desvio Rizzo, região sudoeste do Município de Caxias do Sul. O trecho da estrada onde foi ralizada a coleta de material e o ensaio *in situ* de DCP fica no percurso adjacente ao loteamento Bosque das Araucárias, cuja localização está apresentada na Figura 11.



Figura 11 - Localização da Estrada Municipal José Dani

Fonte: Google Earth (c2025).

A estrada tem uma extensão aproximada de 3,5 km e uma faixa de domínio de 20 metros, tendo na maior parte de seu percurso uma baixa densidade populacional e tráfego leve.

A realização de ensaios *in situ* com o Cone de Penetração Dinâmica e a coleta de amostras para os ensaios de laboratório, no ponto definido pelas coordenadas UTM E475846 m e N6769878 m, Zona 22J, é apresentado na Figura 12.



Figura 12 - Ponto de ensaio de DCP e coleta de solo, E. M. José Dani

Fonte: Autor (2025).

3.1.3 Estrada Municipal Ângelo Ruffato

O terceiro local selecionado foi a Estrada Municipal Ângelo Ruffato, também localizada na região sudoeste de Caxias do Sul, entre o bairro Desvio Rizzo e a Localidade Nossa Senhora da Conceição, mostrada na Figura 13.



Figura 13 - Localização da Estrada Municipal Ângelo Ruffato

Fonte: Google Earth (c2025).

A estrada tem uma extensão de aproximadamente 2,5 km e uma faixa de domínio de 20 metros. A densidade populacional na maior parte do percurso é baixa, sendo que a maioria dos lotes lindeiros ainda se encontram desocupados ou em fase de parcelamento e o tráfego na região é leve. A Figura 14 apresenta o ponto de coleta de solo e ensaios de DCP *in situ*, definido pelas coordenadas UTM E477034 m, N6768391 m, Zona 22J.



Figura 14 - Ponto de ensaio de DCP e coleta de solo, E. M. Ângelo Ruffato

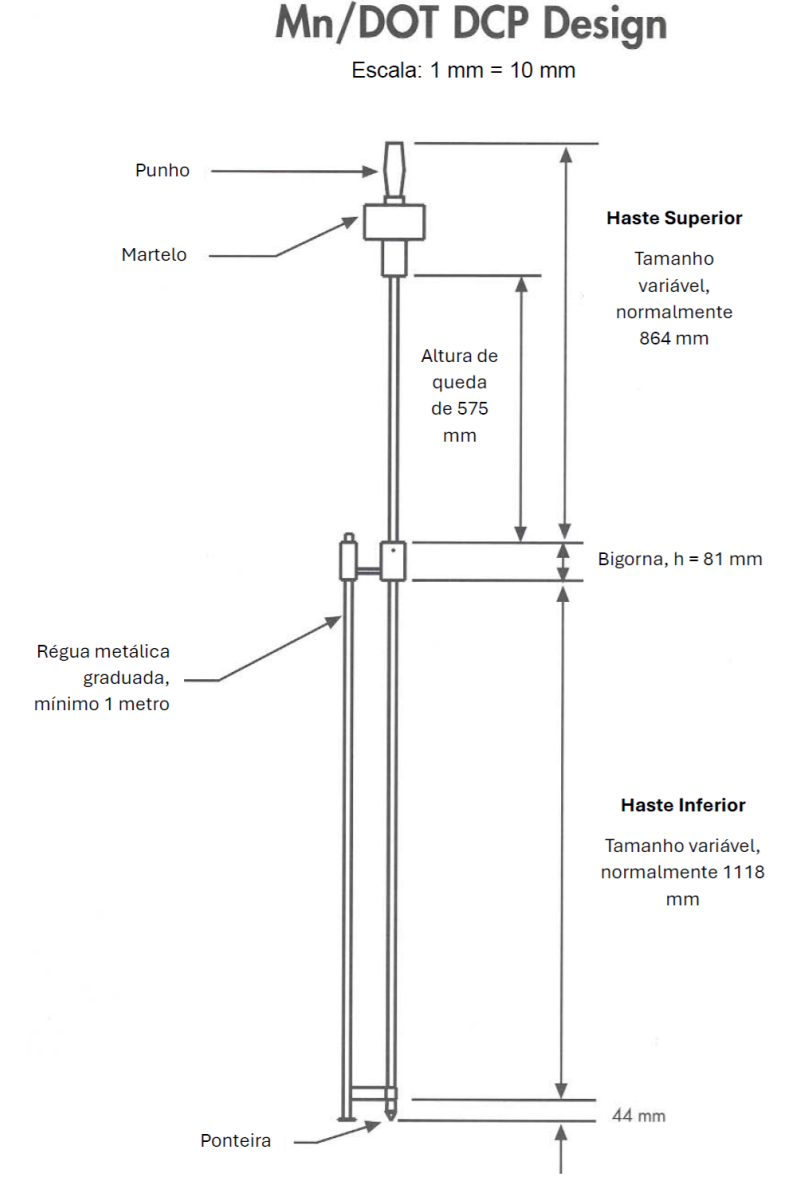
Fonte: Autor (2025).

3.2 FABRICAÇÃO DO CONE DE PENETRAÇÃO DINÂMICA

Em virtude dos recursos orçamentários disponíveis para realização deste trabalho, optou-se pela manufatura do equipamento no Laboratório de Usinagem e Mecânica – LUME, do Campus Universitário da Região dos Vinhedos – CARVI, localizado no Bloco I, Sala 102 na cidade de Bento Gonçalves. O tempo de execução, desde a fase orçamentária até a execução de testes em campo foi de aproximadamente dois meses, sendo concluído no último dia útil do mês de abril do presente ano.

Para a manufatura do equipamento recorreu-se inicialmente aos desenhos esquemáticos da norma ABNT NBR 17091:2023. Porém, a norma ABNT NBR 17091:2023 não fornece informações suficientemente detalhadas para viabilizar a fabricação do equipamento de acordo com as especificações necessárias. Diante disso, recorreu-se ao Guia para o Usuário do Cone de Penetração Dinâmica (*User guide to the Dynamic Cone Penetrometer*) elaborado pelo Departamento de Transportes do Estado de Minnesota (Mn/DOT), que fornece especificações detalhadas do equipamento. A Figura 15 apresenta o esquema geral do Cone de Penetração Dinâmica (CPD).

Figura 15 - Esquema geral do Cone de Penetração Dinâmica - DCP



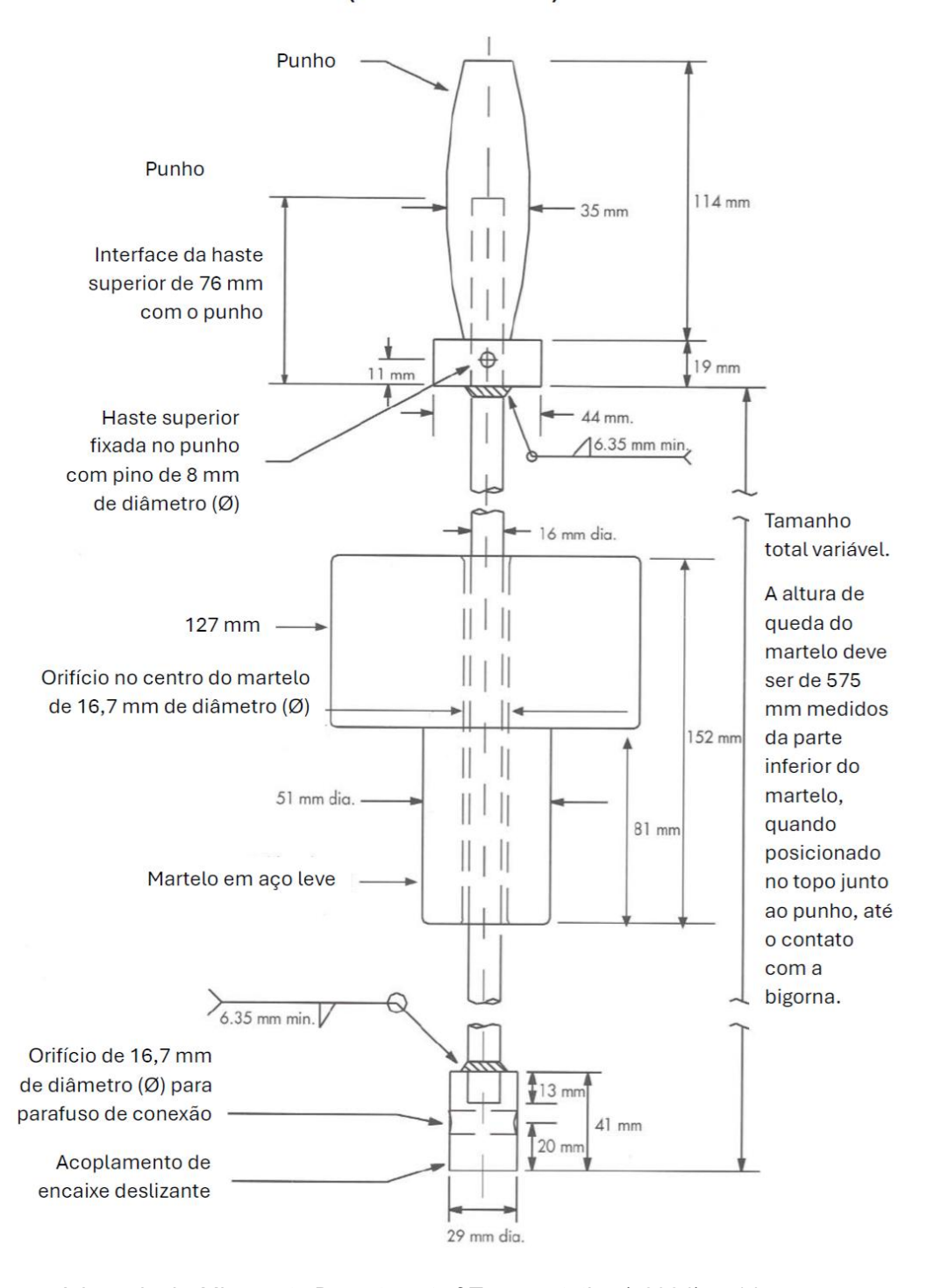
Fonte: Adaptado de Minnesota Department of Transportation (c2024), p.13

A Figura 16 apresenta o desenho esquemático da haste superior do equipamento.

Figura 16 - Haste superior

HASTE SUPERIOR

(sem escala)



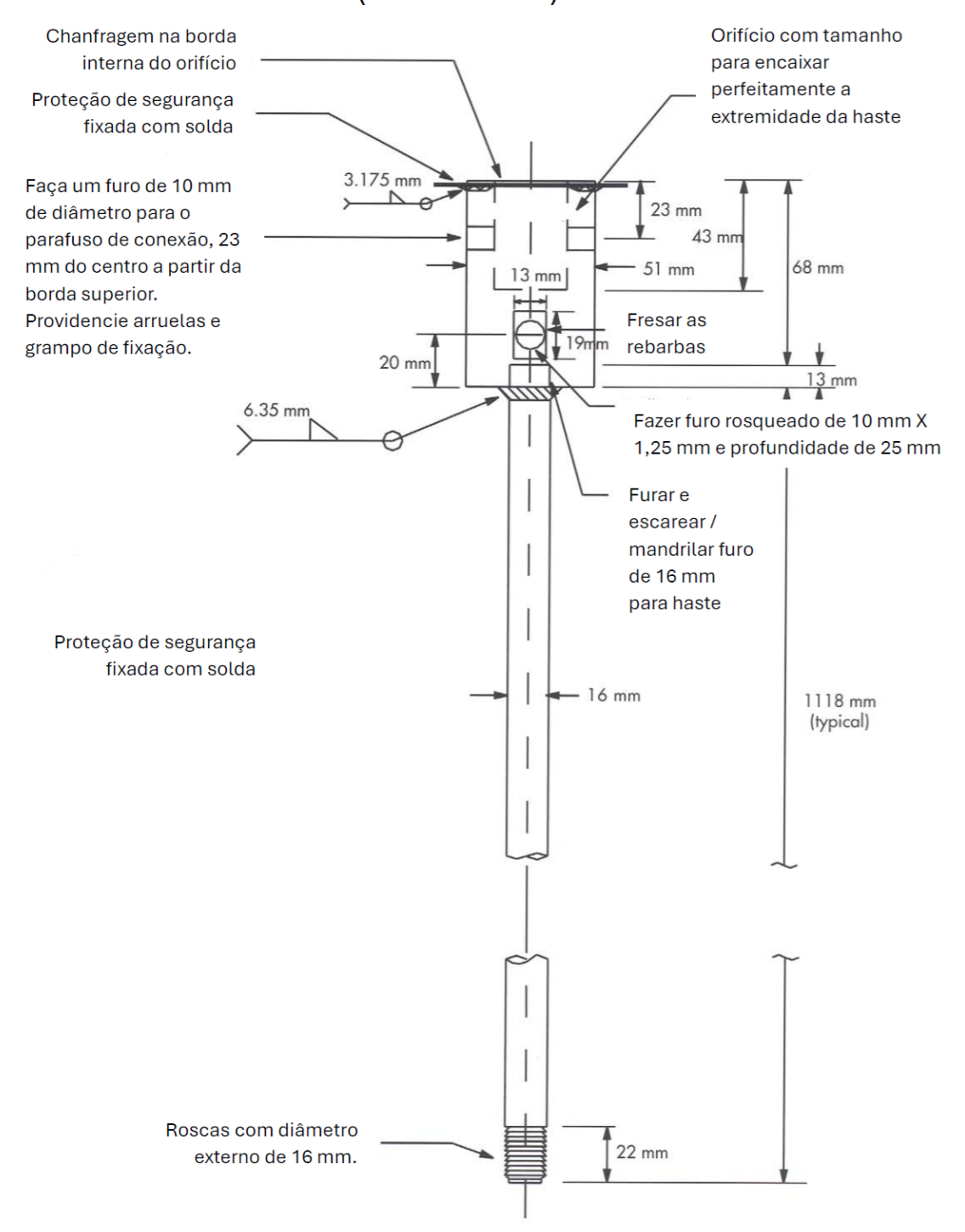
Fonte: Adaptado de Minnesota Department of Transportation (c2024), p.14

Na Figura 17 está apresentada a haste inferior do equipamento.

Figura 17 - Haste inferior

HASTE INFERIOR

(sem escala)



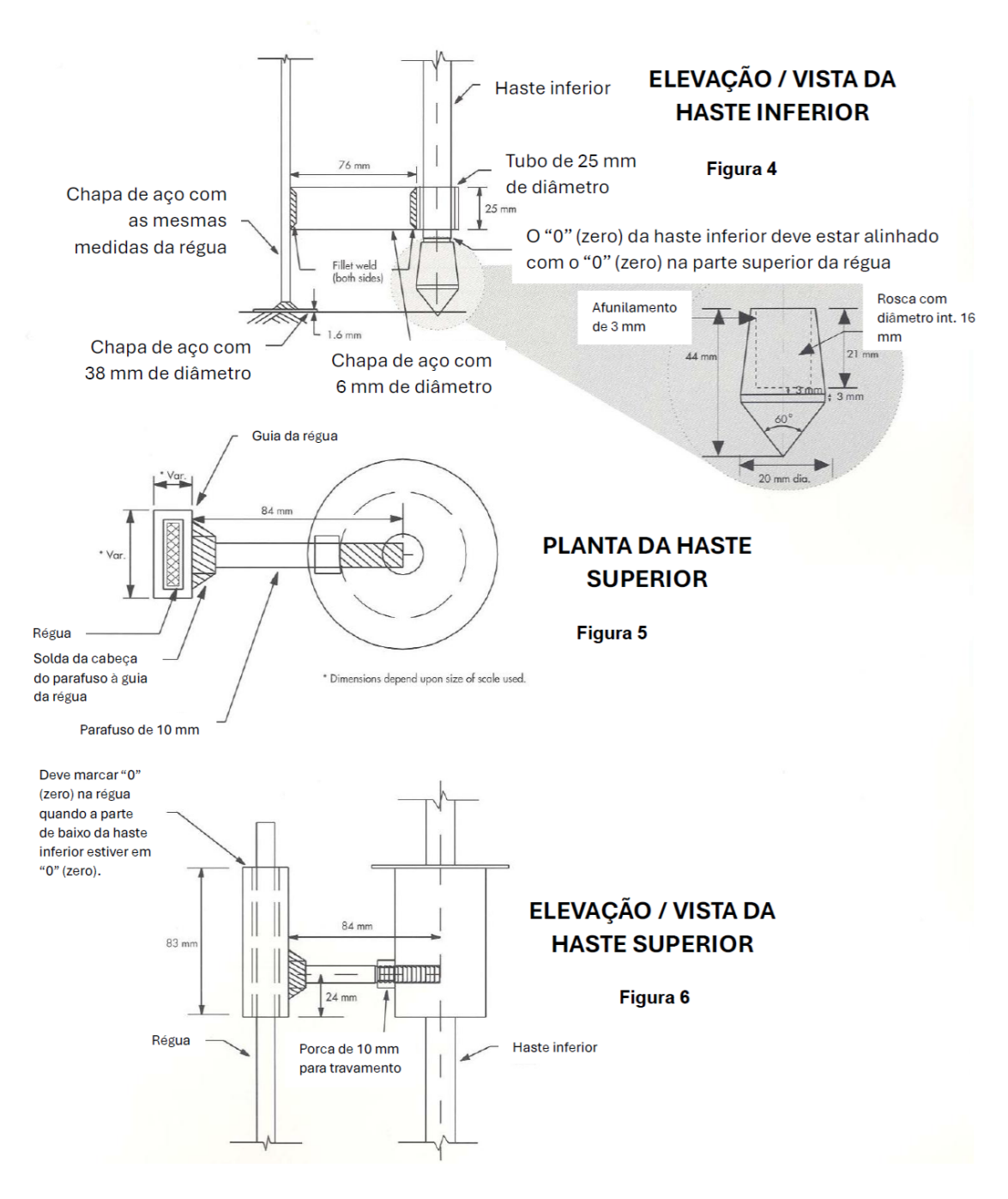
OBS.: Todos os materiais são de Aço Inox 304, salvo indicações em contrário.

Fonte: Adaptado de Minnesota Department of Transportation (c2024), p.15

A Figura 18 apresenta o detalhamento da ponteira e vistas em planta e elevação frontal da haste superior.

Figura 18 - Detalhamento

Escala remota do DCP e detalhes da ponteira



Fonte: Adaptado de Minnesota Department of Transportation (c2024), p.16

A Figura 19 apresenta o processo de usinagem do martelo.



Figura 19 - Usinagem do martelo

Fonte: Autor (2025).

A Figura 20 apresenta as partes finalizadas do equipamento, antes da montagem final.

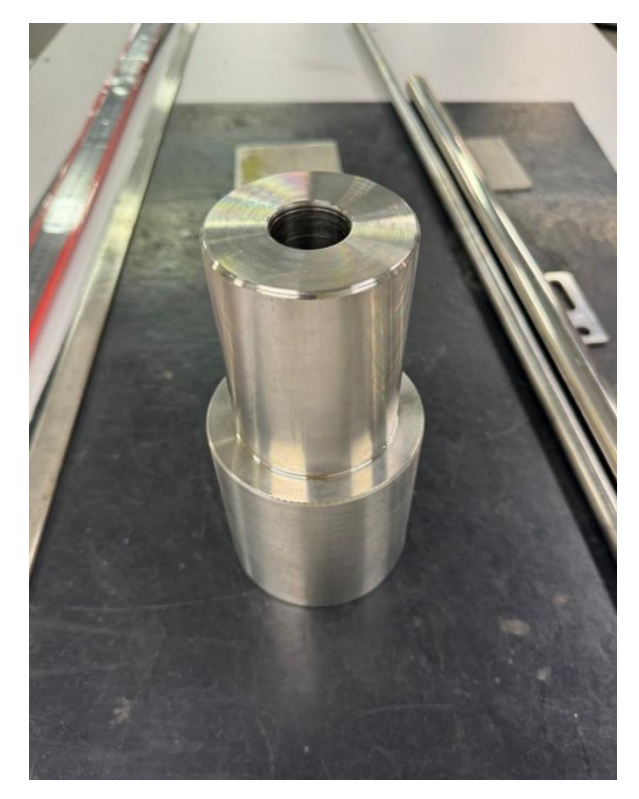


Figura 20 - Montagem do DCP

Fonte: Autor (2025).

A Figura 21 exibe o Cone de Penetração Dinâmica (CPD) já montado e preparado para uso.



Figura 21 - Cone de Penetração Dinâmica - DCP

Fonte: Autor (2025).

3.3 MATERIAIS E MÉTODOS

Para os ensaios conduzidos neste estudo foram necessários os utensílios especificados em cada uma das normas aplicáveis, anteriormente elencadas na Tabela 4. As relações dos referidos utensílios e materiais estão a seguir listadas de acordo com suas respectivas normas, bem como os métodos de ensaio estabelecidos. As relações indicadas não são quantitativas e apenas reproduzem as indicações das normas.

3.3.1 Preparação das amostras

A norma ABNT NBR 6457:2024 estabelece as diretrizes para a preparação de amostras para os ensaios de compactação, caracterização, análise granulométrica, limites de liquidez e plasticidade e determinação do teor de umidade do solo. Os materiais e métodos estão descritos de acordo com os ensaios, tal como indica a norma.

3.3.1.1 Preparação para ensaios de compactação e caracterização

A aparelhagem e materiais necessários são:

- a) almofariz e mão de gral;
- b) balanças que permitam pesar 1,5 kg e 20 kg, com precisões de 0,1 g e
 5 g, respectivamente;
- c) peneiras com aberturas de 76,2 mm, 50,8 mm, 19,1 mm, 4,8 mm, 2,0 mm e 0,42 mm;
- d) bandejas metálicas;
- e) estufa capaz de manter a temperatura entre 60 °C e 65 °C, e entre 105 °C e 110 °C;
- f) dessecador contendo sílica-gel;
- g) cápsulas metálicas com tampa e identificadas.

Embora a norma não faça menção, é necessário um espaço adequado para que a amostra de solo coletada possa ser espalhada e periodicamente revolvida para secagem prévia à preparação. Deve-se usar uma lona plástica para evitar o contato direto da amostra com o piso do local de secagem e, dependendo das condições do local, ventiladores podem ser necessários para auxiliar o processo de secagem. A Figura 22 exemplifica esta etapa, com o solo coletado na Av. Belvedere em processo de secagem.



Figura 22 - Secagem prévia de amostras

Fonte: Autor (2025).

A amostra de solo deve secar ao ar, até que atinja o ponto mais próximo possível da umidade higroscópica. O tempo de secagem pode variar de acordo com as condições de umidade do ambiente de secagem, bem como das condições climáticas do local. Geralmente quatro dias são suficientes, porém como há influência do fator climático (temperatura e umidade do ar), este tempo pode ser estendido ou abreviado.

Após a secagem, a amostra deve ser levada ao almofariz e, com o auxílio da mão de gral, os torrões devem ser desmanchados e a amostra homogeneizada, seguida do peneiramento. O procedimento da secagem ao peneiramento é realizado para preparação da quantidade total da amostra coletada, cujas frações utilizadas em

cada ensaio passarão posteriormente por processos complementares, conforme requerido pelas normas específicas. A Figura 23 apresenta esta etapa.



Figura 23 - Processo de destorroamento e peneiramento

Fonte: Autor (2025).

Para os ensaios de compactação e caracterização, *a priori* o material a ser utilizado deve ser o passante na peneira com abertura de 4,8 mm, sendo desprezado o material eventualmente retido na peneira com abertura de 76,2 mm. Nesta etapa é imprescindível manter em bandejas separadas o material retido na peneira de 19,1 mm, bem como o material retido e o passante na peneira de 4,8 mm, para que ao final do peneiramento, sejam pesados e as quantidades percentuais verificadas em relação ao total da amostra. Isto é necessário para o enquadramento nas especificações indicadas na Tabela 1 da norma ABNT NBR 6457:2024, apresentada na Figura 24.

Figura 24 - Tabela 1, noma ABNT NBR 6457:2024

Tabela 1 – Procedimento após o peneiramento

Peneira	Material retido % em peso	Cilindro a ser utilizado no ensaio	Observação
4,8 mm	Menor que 7	Pequeno ou grande	Desprezar o material retido
19,1 mm	Menor que 10	Grande	Desprezar o material retido
19,1 mm	Maior que 10	Grande	Ver Nota ^a
19,1 mm	Maior que 30		Recomenda-se não ensaiar de acordo com o método de ensaio de compactação de solos (ver ABNT NBR 7182)

Passar o material retido na peneira de 19,1 mm através da peneira de 76,2 mm e desprezar o material retido nesta última. Substituir o material retido na peneira de 19,1 mm e que passe na peneira de 76,2 mm por igual quantidade de material retido na peneira de 4,8 mm e que passe na peneira de 19,1 mm.

Fonte: norma ABNT NBR 6457:2024, p. 2.

Se a quantidade percentual em peso do material retido na peneira de 19,1 mm for maior que 10% e menor que 30% do total da amostra, deve-se efetuar o ensaio de compactação com substituição de material, e caso fique acima de 30%, o ensaio de compactação não pode ser realizado de acordo com a norma ABNT NBR 6457:2024. Diante disso, torna-se necessário buscar métodos alternativos para obtenção dos resultados fornecidos por este ensaio.

3.3.1.2 Preparação para análise granulométrica

Para este ensaio, deve ser separada uma quantidade de material passante na peneira de 76,2 mm, de acordo com o tamanho dos grãos contidos na amostra, conforme indicada na Tabela 3 da ABNT NBR 6457:2024, reproduzida na Figura 25.

Figura 25 - Tabela 3, norma ABNT NBR 6457:2024

Tabela 3 – Quantidade de amostra para análise granulométrica

Dimensões dos sólidos (grãos) maiores contidos na amostra, determinadas por observação visual	Quantidade mínima a ser utilizada	
< 5 mm	1 kg	
5 mm a 25 mm	4 kg	
> 25 mm	8 kg	

NOTA1 O material assim obtido constitui a amostra a ser ensaiada.

NOTA 2 O valor da massa específica dos sólidos (grãos) a ser utilizado no cálculo de análise granulométrica por sedimentação é determinado a partir de cerca de 500 g de material que passa na peneira de 2,0 mm.

Fonte: norma ABNT NBR 6457:2024, p. 4.

3.3.1.3 Preparação para limites de liquidez e plasticidade

Para os ensaios de limites de liquidez e plasticidade, deve-se separar uma quantidade de 100 g para cada ensaio, do material que passa na peneira número 40, com abertura de 0,42 mm.

3.3.1.4 Preparação para ensaio de massa específica

A norma em questão indica no item 3.3.2.4 que o ensaio de massa específica é realizado utilizando-se a fração passante na peneira de 4,8 mm (ABNT NBR 6457:2024, p. 4), porém, a norma ABNT NBR 17212:2025 (posterior à norma ABNT NBR 6457:2024) indica que a massa específica dos sólidos deve ser determinada a partir da fração passante na peneira com abertura de 2,00 mm. O processo de preparação é o mesmo para todos os ensaios.

3.3.1.5 Preparação e realização do ensaio de determinação de umidade

Para o ensaio de determinação de umidade devem ser separadas quantidades de material em função da dimensão dos maiores grãos da amostra, conforme indica a Tabela 5 da norma ABNT NBR 6457:2024, mostrada na Figura 26.

Figura 26 - Tabela 5, norma ABNT NBR 6457:2024

Tabela 5 - Quantidade de material em função da dimensão dos sólidos (grãos) maiores

Dimensão dos sólidos (grãos)	Quantidade de material	Balança a ser utilizada		
maiores contidos na amostra, determinada visualmente Mm	(em massa seca) a ser utilizada g	Capacidade nominal	Resolução g	
< 2	30	200	0,01	
2 a 20	30 a 300	1 500	0,1	
20 a 76	300 a 3 000	5 000	0,5	

Fonte: norma ABNT NBR 6457:2024, p. 6.

A realização deste ensaio é feita tomando-se três cápsulas metálicas que devem ser pesadas individualmente com suas respectivas tampas. As massas devem ser anotadas no manuscrito de laboratório como "M3". Em seguida, coleta-se a quantidade de material indicada na tabela representada na Figura 25, que deve ser

dividida entre as três cápsulas e novamente pesadas, anotando-se a massa individual como "M1". As cápsulas são então levadas à estufa com temperatura constante entre 105 °C e 110 °C por um período entre 16 e 24 horas. Após este período, as cápsulas são retiradas da estufa e colocadas em um dessecador com sílica-gel, onde permanecerão até atingirem a temperatura ambiente. As cápsulas são novamente pesadas e a massa é anotada como "M3". O cálculo do teor da umidade é feito de acordo com a equação 4.

$$W = \left(\frac{M_1 - M_2}{M_2 - M_3}\right) \times 100\tag{4}$$

Onde: W é o teor de umidade, expresso em porcentagem (%)

 M_1 é a massa do recipiente mais o solo úmido, em gramas (g)

 M_2 é a massa do recipiente mais o solo seco, em gramas (g)

 M_3 é a massa do recipiente, em gramas (g)

Este procedimento para determinação do teor de umidade é da mesma forma utilizado em todos os ensaios em que seja necessário conhecer o teor de umidade do solo ensaiado.

3.3.2 Determinação do Limite de Liquidez

Ensaio realizado de acordo com a norma ABNT NBR 6459:2016 cujos materiais necessários são:

- a) estufa capaz de manter a temperatura de 60 °C a 65 °C e de 105 °C a 110 °C;
- b) cápsula de porcelana com aproximadamente 120 mm de diâmetro;
- c) espátula de lâmina flexível com aproximadamente 80 mm de comprimento e 20 mm de largura;
- d) aparelho de Casagrande;
- e) cinzel;

- f) recipientes adequados que evitem a perda de umidade da amostra,
 como pares de vidros côncavos com grampo;
- g) gabarito para verificação da altura de queda da concha.

Previamente à realização do ensaio, é necessário fazer uma inspeção no aparelho de Casagrande, verificando se os pinos e parafusos estão firmes e apertados e se a altura de queda é da ordem de 10 mm acima da base, utilizando-se para isso o gabarito. Estando o aparelho em condições adequadas, é então iniciado o ensaio propriamente dito.

Toma-se a quantidade de amostra indicada na norma, colocando-a na cápsula de porcelana e adicionando água destilada em pequenos incrementos e revolvendoa com o auxílio da espátula, até que se obtenha uma pasta homogênea. Nesta etapa, é imprescindível que o tempo de homogeneização, para o caso de solos argilosos, seja de 30 minutos, de forma a garantir a correta consistência da pasta para realização do ensaio. Deve-se então transferir parte da pasta para a concha, moldando-a com o auxílio da espátula para que, na parte central a espessura seja de 10 mm. Utilizandose o cinzel, abre-se uma ranhura na parte central da pasta, deslocando-o perpendicularmente à superfície da concha. O aparelho é então acionado, girando-se a manivela a uma ordem de duas voltas por segundo, para que a concha golpeie a base do aparelho até que as bordas inferiores da ranhura se unam ao longo de aproximadamente 13 mm de comprimento. Durante o procedimento, conta-se o número de golpes necessários para o fechamento da ranhura, anotando-o no manuscrito de laboratório. Fechada a ranhura, coleta-se na parte central do aparelho, junto das bordas que se uniram, uma quantidade do material para determinação de umidade de acordo com o procedimento descrito anteriormente, na seção 3.2.1.5.

Ao restante do material, na cápsula de porcelana, adiciona-se uma pequena quantidade de água destilada e homogeneizando-o por 3 minutos com o auxílio da espátula, repetindo todo o processo por mais quatro vezes, de forma que ao final sejam obtidos cinco pontos de ensaio. A Figura 27 apresenta o aparelho de Casagrande com a amostra moldada e com a ranhura aberta, antes do ensaio.



Figura 27 - Aparelho de Casagrande antes da aplicação dos golpes

Fonte: Autor (2025).

A Figura 28 apresenta o aparelho de Casagrande ao final do ensaio, com a ranhura fechada após a aplicação dos golpes.



Figura 28 - Aparelho de Casagrande, ao término do ensaio

Fonte: Autor (2025).

Os resultados de cada ponto ensaiado devem ser plotados em um gráfico, no qual o Limite de Liquidez do solo é o teor de umidade obtido na reta do gráfico correspondente a 25 golpes. O valor deve ser expresso em porcentagem, aproximado para o número inteiro mais próximo.

3.3.3 Determinação do Limite de Plasticidade

A aparelhagem necessária para execução deste ensaio, indicada pela norma ABNT NBR 7180:2016 é:

- a) estufa capaz de manter a temperatura de 60 °C a 65 °C e de 105 °C a 110 °C:
- b) cápsula de porcelana com aproximadamente 120 mm de diâmetro;
- c) espátula de lâmina flexível com aproximadamente 80 mm de comprimento e 20 mm de largura;
- d) recipientes adequados, como pares de vidros de relógio com grampo,
 que evitem a perda de umidade da amostra;
- e) balança que permita pesar nominalmente 200 g, com resolução de 0,01
 g;
- f) gabarito cilíndrico para comparação com 3 mm de diâmetro e cerca de 100 mm de comprimento;
- g) placa de vidro de superfície esmerilhada com cerca de 30 cm de lado.

Para realização do ensaio, procede-se inicialmente de forma análoga ao ensaio do Limite de Liquidez, colocando a amostra a ser ensaiada em uma cápsula de porcelana e adicionando água destilada em pequenos incrementos, revolvendo-a com o auxílio da espátula com lâmina de metal até que se obtenha uma pasta homogênea e de consistência plástica. É igualmente importante marcar o tempo de homogeneização, que para o caso de solos argilosos deve ser de 30 minutos. Após, toma-se uma porção da amostra com cerca de 10 g, formar uma bola e rolá-la sobre a placa de vidro com a palma da mão até que tome a forma de um cilindro com as mesmas dimensões do gabarito metálico, conforme apresentado na Figura 29.



Figura 29 - Ensaio de Limite de Plasticidade

Fonte: Autor (2025).

É necessário observar que caso a amostra se fragmente antes de atingir o diâmetro do gabarito, deve ser retornada à capsula de porcelana, adicionar água destilada, homogeneizar por 3 minutos e repetir o processo. Caso o cilindro não se fragmente, deve ser cortado em partes e transferi-las para uma cápsula metálica para determinação do teor de umidade, conforme o item 4 da norma ABNT NBR 6457:2024.

O procedimento descrito deve ser realizado até que se obtenham, no mínimo, três teores de umidade. Os valores são considerados satisfatórios quando não diferirem do valor da média em mais que 5%. O resultado para o Limite de Plasticidade será a média de pelo menos três valores que se situem dentro do intervalo da média, expresso em porcentagem e arredondado para o número inteiro mais próximo.

3.3.3.1 Determinação do Índice de Plasticidade

Ainda segundo a norma ABNT NBR 7180:2016, deve ser determinado o Índice de Plasticidade, que de acordo com Das e Sobhan (2019, p. 89), é um importante parâmetro para classificação de solos granulares finos. O Índice de Plasticidade é dado pela diferença entre o Limite de Liquidez e o Limite de Plasticidade, conforme a equação 5.

$$IP = LL - LP \tag{5}$$

Onde: *IP* é p Índice de Plasticidade;

LL é o Limite de Liquidez;

LP é o Limite de Plasticidade.

3.3.4 Norma ABNT NBR 17212:2025 - Determinação da massa específica

Este ensaio consiste na determinação da massa específica de apenas uma fração das partículas componentes do solo, especificamente a passante na peneira de número 10, com abertura de 2,0 mm. Segundo a norma ABNT NBR 17212:2025, a aparelhagem necessária é:

- a) repartidor de amostras;
- b) peneira com abertura de 2,0 mm;
- c) estufa capaz de manter a temperatura de 60 °C a 65 °C e de 105 °C a 110 °C;
- d) aparelho de dispersão com hélices substituíveis e copo com chicanas, com rotação não inferior a 9.000 r/min;
- e) picnômetro ou balão volumétrico de até 1.000 cm³, calibrado a 20 °C, com a respectiva curva calibração.
- f) bomba de vácuo com registro, vacuômetro e conexões, capaz de aplicar vácuo de 88 kPa, para remoção de ar aderente às partículas do solo ou à chapa aquecida;
- g) termômetro com capacidade de leituras de 0 °C a 50 °C, com graduação de 0,1 °C;
- h) balança que permita pesar nominalmente até 1,5 kg, com resolução de 0,01 g;
- i) funil de vidro;
- j) conta-gotas ou pipeta;
- k) recipiente apropriado que permita banho-maria;
- I) béquer de vidro, com capacidade mínima de 250 cm³;
- m) cápsulas para determinação de umidade;

n) tecido ou papel absorvente.

Após a devida preparação das amostras de acordo com a norma ANBT NBR 6457:2024, deve-se tomar uma amostra de aproximadamente 250 g devidamente homogeneizada. Caso sejam utilizados balões volumétricos ou picnômetros de até 500 cm³, a quantidade de massa seca a ser utilizada no ensaio é de aproximadamente 50 g para solos argilosos e siltosos e cerca de 60 g para solos arenosos. Caso os picnômetros ou balões tenham capacidade para mais de 500 cm³, as quantidades de material devem ser proporcionais às indicadas.

Tomadas as massas de acordo com as capacidades dos balões ou picnômetros, as amostras devem ser colocadas em copos de béquer devidamente identificados e adiciona-se água destilada até a completa imersão do material. Estas amostras devem ficar em imersão por um período mínimo de 12 horas. Do restante do material preparado, separam-se pequenas quantidades para determinação do teor de umidade higroscópica.

Passadas as 12 horas de imersão, cada amostra deve ser vertida em um copo de dispersão, acrescentando-se água destilada até aproximadamente metade do volume do copo. A amostra é então levada ao aparelho dispersor por um período de 15 minutos, conforme apresentado na Figura 30.



Figura 30 - Amostras nos aparelhos dispersores

Fonte: Autor (2025).

Ao final do tempo de dispersão, cada amostra deve ser transferida, com o auxílio de um funil de vidro, para um picnômetro ou balão volumétrico, adicionando-se água destilada até completar cerca de metade do volume e na sequência aplicar vácuo de no mínimo 88 kPa por um período de 15 minutos, agitando o recipiente em intervalos regulares de tempo. Ao término desta etapa, adiciona-se água destilada até aproximadamente 1 cm abaixo da base do gargalo e aplica-se novamente vácuo por mais 15 minutos. A Figura 31 apresenta um balão volumétrico com a mistura de solo e água destilada, submetido a vácuo.



Figura 31 - Amostra submetida a vácuo

Fonte: Autor (2025).

Ao final, completa-se o volume com água destilada até que a base do menisco coincida com marca de referência do recipiente. Pesa-se então o conjunto, mede-se

a temperatura do conteúdo e a massa específica dos sólidos é calculada de acordo com a equação 6.

$$\rho_s = \left(\frac{M_s}{M_1 - M_s + M_s}\right) \times \rho_{w(T)} \tag{6}$$

Onde: ρ_s é a massa específica dos sólidos (g/cm³);

 M_s é a massa do solo seco (g);

 M_1 é a massa do picnômetro ou balão volumétrico à temperatura T de ensaio, obtida na curva de calibração do recipiente conforme o item 4 da norma;

 M_2 é a massa do recipiente + solo + água, à temperatura T de ensaio;

 $ho_{w(T)}$ é a massa específica da água, à temperatura T de ensaio, obtida na Tabela A.1 da norma ABNT NBR 17212:2025.

Os ensaios são considerados satisfatórios quando seus resultados não diferirem entre si em mais de 0,02 g/cm³, e o valor da massa específica dos sólidos passantes na peneira de 2,0 mm é obtido pela média dos resultados dos ensaios considerados satisfatórios. O valor deve ser expresso com três algarismos significativos, em gramas por centímetro cúbico (g/cm³).

3.3.5 Análise granulométrica

Segundo a norma ABNT NBR 7181:2025, a análise granulométrica dos solos pode ser feita apenas por peneiramento ou por uma combinação de peneiramento e sedimentação, sendo este último o método adotado neste trabalho para realização deste ensaio. Os materiais necessários para realização do ensaio de granulometria por peneiramento e sedimentação são a seguir listados.

a) estufa capaz de manter a temperatura de 60 °C a 65 °C e de 105 °C a 110 °C;

- b) balanças que permitam pesar nominalmente 200 g, 1,5 kg, 5 kg e 10 kg, com precisões de 0,01 g, 0,1 g, 0,5 g e 1 g, respectivamente;
- c) dessecador contendo sílica-gel;
- d) aparelho de dispersão com hélices substituíveis e copo com chicanas, com rotação não inferior a 9.000 r/min;
- e) proveta de vidro com aproximadamente 450 mm de altura e 65 mm de diâmetro, com traço de referência indicado de 1.000 cm³, a 20 °C;
- f) densímetro de bulbo simétrico, calibrado a 20 °C e com precisão de 0,001 mm, com graduação de 0,995 a 1,050;
- g) termômetro com capacidade de leituras de 0 °C a 50 °C, com graduação de 0,1 °C;
- h) relógio com indicação de segundos;
- i) béquer de vidro, com capacidade de 250 cm³;
- j) proveta de vidro, com capacidade de 250 cm³ e precisão de 2 cm³;
- k) tanque para banho capaz de manter a temperatura de suspensão aproximadamente constante durante a fase de sedimentação;
- peneiras com aberturas de 50 mm, 38 mm, 25 mm, 19 mm, 9,5 mm, 4,8 mm, 2,0 mm, 1,2 mm, 0,6 mm, 0,42 mm, 0,25 mm, 0,15 mm, e 0,075 mm;
- m) escova com cerdas metálicas
- n) agitador mecânico de peneiras, com disposição para fixação de até seis peneiras, incluindo fundo e tampa;
- o) bastão de vidro para laboratório;
- p) bisnaga ou pisseta de limpeza;
- q) almorafiz e mão de gral;
- r) cápsulas metálicas para determinação do teor de umidade.

Inicialmente deve-se determinar a massa da amostra seca à temperatura ambiente conforme indicado na Tabela 1 da norma ABNT NBR 7181:2025, de acordo com a observação visual da dimensão dos maiores grãos contidos na amostra. A amostra então é passada na peneira com abertura de 2,0 mm, separando-se o material retido do passante.

A porção retida na peneira de 2,0 mm deve então ser lavada em água corrente para eliminação de todo material fino aderente e levada à estufa com temperatura

entre 105 °C e 110 °C por aproximadamente 24 horas, até atingir a consistência de massa. Este material será utilizado no peneiramento grosso. A Figura 32 apresenta o material retido na peneira de 2,0 mm após a lavagem e acondicionado em bandeja metálica para ser levado à estufa.



Figura 32 - Material retido na peneira de 2,0 mm

Fonte: Autor (2025).

Do material passante na peneira de 2,0 mm, coleta-se aproximadamente 120 g caso trate-se de solo arenoso ou 70 g para solos argilosos e siltosos. Do restante do material, coleta-se três amostras para determinação da umidade higroscópica, conforme descrito no item 3.2.1.5. O material obtido deve ser colocado em um copo de béquer e acrescido da solução defloculante previamente preparada de hexametafosfato de sódio, com concentração de 45,7 g por 1.000 cm³ e tamponada com carbonato de sódio até atingir pH entre 8 e 9. O béquer com a solução defloculante mais o solo deve ser agitado até que todo material fique imerso e colocado em repouso por no mínimo 12 horas.

3.3.5.1 Peneiramento grosso

Após a permanência de 24 horas na estufa a 105 °C, a porção da amostra original retida na peneira com abertura de 2,00 mm deve ser retirada, colocada em

local adequado para que atinja a temperatura ambiente e então ser submetida ao peneiramento grosso. Monta-se sobre o agitador mecânico um conjunto composto por peneiras com abertura de malha de 50 mm, 38 mm, 25 mm, 19 mm, 9,5 mm e 4,8 mm, mais a bandeja de fundo. Coloca-se a amostra na peneira de 50 mm e liga-se o agitador. As massas retidas em cada peneira devem ser aferidas e os valores anotados no manuscrito de laboratório para posterior transcrição para a planilha de cálculos.

3.3.5.2 Sedimentação

Para sedimentação, após o repouso de 12 horas da solução com a amostra de solo e o defloculante, verte-se a mistura em um copo de dispersão completando seu volume com adição de água destilada até 5 cm abaixo da borda, sendo imediatamente submetido à ação do dispersor por 15 minutos. Verte-se a mistura em uma proveta, adicionando água destilada até o menisco atingir a marca correspondente a 1.000 cm³. Tampa-se com a mão ou uma membrana de borracha e, segurando a proveta com uma mão na base e outra no bocal, efetuam-se movimentos enérgicos de rotação de forma que o bocal da proveta passasse de cima para baixo e vice-versa, por um período de 1 minuto. Finda a agitação, a proveta deve ser colocada em banho maria regulado para manter a temperatura da mistura estável. Imerge-se então o densímetro para realização das leituras nos tempos de sedimentação de 30 segundos, 60 segundos e 120 segundos. Retira-se o densímetro lentamente, que deve ser colocado em uma proveta idêntica, igualmente completada até a marca de 1.000 cm³ com água destilada e em banho maria para manter a temperatura estável. Imediatamente após a retirada do densímetro, afere-se a temperatura da mistura, que deve ser utilizada para os três primeiros tempos de ensaio e respectivas leituras do densímetro. Este procedimento deve ser repetido para os tempos de 8 minutos, 15 minutos, 30 minutos, 1 hora, 2 horas, 4 horas, 8 horas e 24 horas. A Figura 33 apresenta a proveta com a mistura solo + defloculante + água destilada, a proveta com água destilada para colocação do densímetro entre os tempos de leitura e a proveta com o termômetro em banho maria.

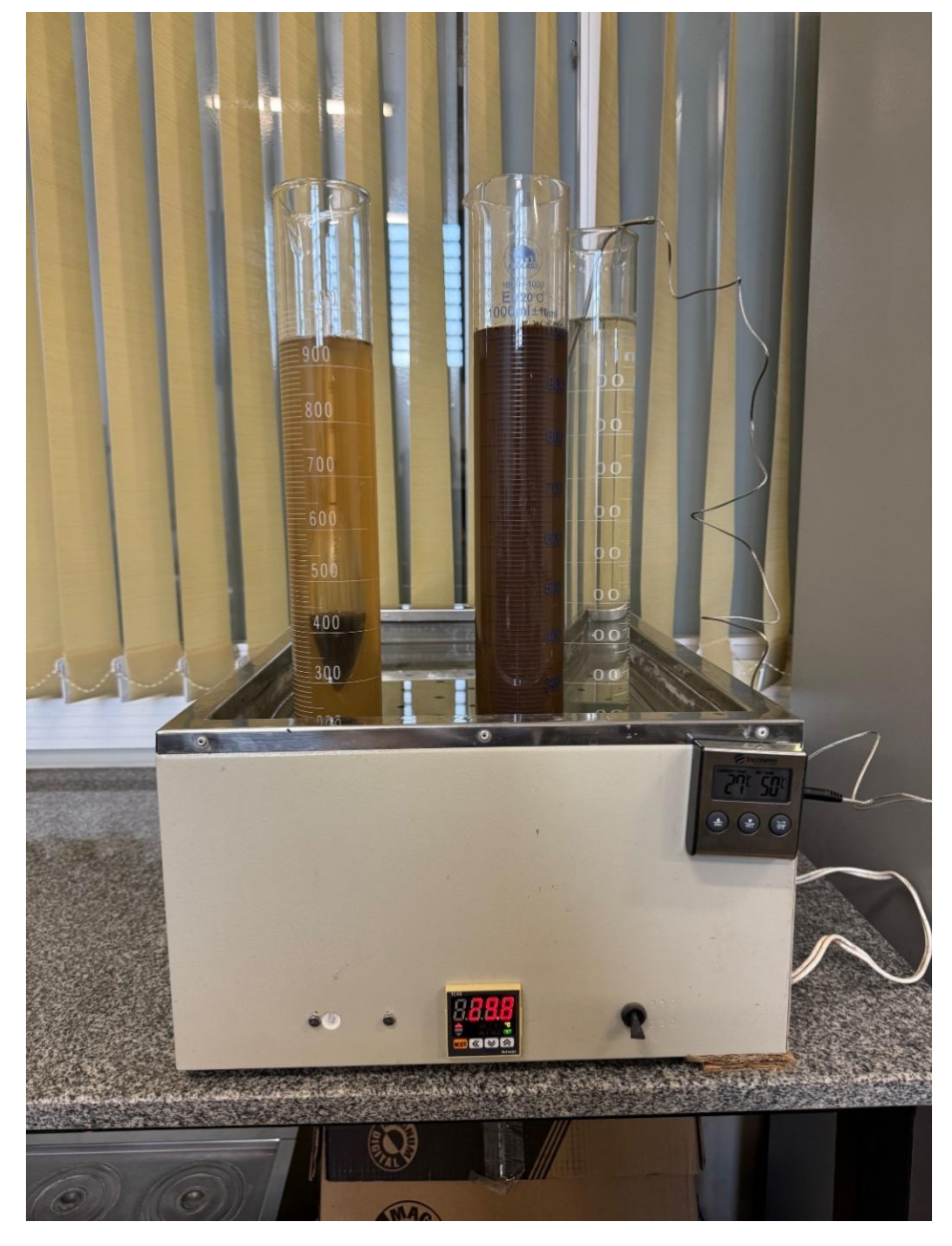


Figura 33 - Etapa de sedimentação, provetas em banho maria

Fonte: Autor (2025).

Após as 24 horas de sedimentação, a mistura solo + defloculante + água destilada foi vertida na peneira número 200 (abertura de 0,075 mm) e lavada em água corrente a baixa pressão para eliminação de eventuais materiais menores que a malha da peneira. O material retido então foi colocado em uma cápsula de porcelana, o excesso de água foi retirado e a cápsula levada à estufa a 105 °C por 24 horas para atingir a constância de massa. Este processo é parte da preparação da amostra, que será submetida à etapa de peneiramento fino.

3.3.5.3 Peneiramento fino

Após 24 horas na estufa, tendo a amostra de solo atingido a constância de massa, o material deve ser retirado da estufa e colocado no dessecador até chegar à temperatura ambiente. Monta-se sobre o agitador mecânico um conjunto com as peneiras com aberturas de 1,2 mm, 0,6 mm, 0,42 mm, 0,25 mm, 0,15 mm, 0,075 mm e mais bandeja de fundo, coloca-se a amostra e inicia-se o peneiramento. As massas das quantidades retidas em cada peneira devem ser aferidas, anotadas no manuscrito e transcritas para a planilha de cálculo.

3.3.5.4 Cálculos

A massa total da amostra seca deve ser calculada de acordo com a equação 7.

$$M_{s(t)} = \left(\frac{M_t - M_g}{1 + W}\right) + M_g \tag{7}$$

Onde: $M_{s(t)}$ é a massa total da amostra seca, em gramas (g);

 M_t é a massa total da amostra seca à temperatura ambiente, em gramas (g);

 M_g é a massa do material do material seco retido na peneira com abertura de 2,0 mm, em gramas (g);

 W é a umidade higroscópica do material passado na peneira com abertura de 2,0 mm, em decimal.

As porcentagens dos materiais que passam nas peneiras com aberturas de 50 mm, 38 mm, 25 mm, 19 mm, 9,5 mm, 4,8 mm e 2,0 mm devem ser calculadas utilizando-se a equação 8.

$$Q_g = \left[\frac{\left(M_{s(t)} - M_r\right)}{M_{s(t)}}\right] \times 100 \tag{8}$$

Onde: Q_g é a porcentagem de material que passa em cada peneira;

 $M_{S(t)}$ é a massa total da amostra seca;

 M_r é a massa do material retido acumulado em cada peneira.

A porcentagem do material que passa na peneira com abertura de 2,0 mm é calculada através da equação 9.

$$N = \left[\frac{(M_{s(t)} - M_{r(2,0mm)})}{M_{s(t)}} \right] \times 100 \tag{9}$$

Onde: N é a porcentagem do material que passa na peneira de 2,0 mm;

 $M_{S(t)}$ é a massa total da amostra seca;

 $M_{r(2,0mm)}$ é a massa do material retido acumulado na peneira de 2,0 mm.

A porcentagem do material em suspensão é calculada pela equação 10.

$$P = \left[\left(\frac{1000}{M_s} \right) \times \left(\frac{\rho_s}{\rho_s - \rho_{md}} \right) \times (L - L_{md}) \right] \times N \tag{10}$$

Onde: P é a porcentagem do solo em suspensão no instante da leitura do densímetro;

 $\it M_s$ é a massa do material seco submetido à sedimentação, em gramas (g);

 ρ_s é a massa específica dos grãos do material passante na peneira de 2,0 mm, obtida no ensaio descrito no item 3.2.4, em gramas por centímetro cúbico (g/cm³);

 ho_{md} é a massa específica do meio dispersor à temperatura de calibração do densímetro (g/cm³);

L é a leitura do densímetro na suspensão;

 L_{md} é a leitura do densímetro no meio dispersor, conforme Anexo A da norma ABNT NBR 7181:2025; N é a porcentagem do material que passa na peneira de 2,0 mm.

O diâmetro das partículas de solo em suspensão é calculado através da equação 11.

$$d = \sqrt{\left(\frac{1800 \times \mu}{\rho_s - \rho_{md}}\right) \times \left(\frac{z}{t}\right)} \tag{11}$$

Onde: d é o diâmetro das partículas, em milímetros (mm);

1800 é o fator de correção da equação;

 μ é a viscosidade do meio dispersor (água), à temperatura T de ensaio, conforme a Tabela 2 da norma ABNT NBR 7181:2025 ($\frac{g}{cm^2} \times s$);

é a altura de queda das partículas, conforme o Anexo A da norma ABNT NBR 7181:2025 (cm);

t é o tempo de sedimentação (s);

 ρ_s é a massa específica dos grãos do material passante na peneira de 2,0 mm, obtida no ensaio descrito no item 3.2.4, em gramas por centímetro cúbico (g/cm³);

 ρ_{md} é a massa específica do meio dispersor à temperatura de calibração do densímetro (g/cm³);

é a altura de queda das partículas, conforme o Anexo A da norma ABNT NBR 7181:2025 (cm);

t é o tempo de sedimentação (s).

Os cálculos das porcentagens que passam nas peneiras de 1,2 mm, 0,6 mm, 0,42 mm, 0,25 mm, 0,15 mm e 0,075 mm é feito através da equação 12.

$$Q_f = \left\{ \left[\frac{M_u - M_r \times (1 + W)}{M_W} \right] \times 100 \right\} \times N \tag{12}$$

Onde: Q_f é a porcentagem de material que passa nas peneiras;

- M_{yy} é a massa do material úmido submetido à sedimentação;
- M_r é a massa do material retido acumulado em cada peneira;
- é a umidade higroscópica do material passante na peneira de 2,0 mm;
- N é a porcentagem do material que passa na peneira de 2,0 mm.

O resultado do ensaio deve ser apresentado graficamente, dispondo no eixo das abscissas, em escala logarítmica, os diâmetros das partículas e no eixo das ordenadas, em escala aritmética as porcentagens passantes.

3.3.6 Classificação dos solos

De acordo com Pinto (2006, p. 63), a classificação de um solo consiste em inseri-lo em um grupo específico composto por solos que apresentam características e propriedades semelhantes, com o objetivo de estimar seu comportamento provável ou, ainda, facilitar a seleção mais adequada para análises mais aprofundadas em obras de interesse da Engenharia. Existem vários sistemas de classificação de solos, e embora a validade de tais sistemas seja alvo de discussões, Pinto (2006, p. 63) afirma que "[...] a classificação é necessária para transmissão de conhecimento.". No desenvolvimento deste trabalho foram utilizados dois sistemas de classificação: o Sistema Unificado de Classificação de Solos – SUCS, e o Sistema Rodoviário de Classificação – HRB, acrônimo da nomenclatura em inglês para *Highway Research Board*., A classificação das amostras será baseada no sistema que descrever com maior fidelidade o tipo de solo em questão.

3.3.6.1 Sistema Unificado de Classificação dos Solos – SUCS

Na classificação de acordo com o SUCS, conforme descrita por Pinto (2006, p.64), todos os solos são identificados por um conjunto composto por duas letras, no qual a primeira letra indica a característica principal do solo e a segunda indica o dado complementar. As terminologias utilizadas pelo Sistema Unificado de Classificação dos Solos – SUCS estão indicadas na Tabela 6.

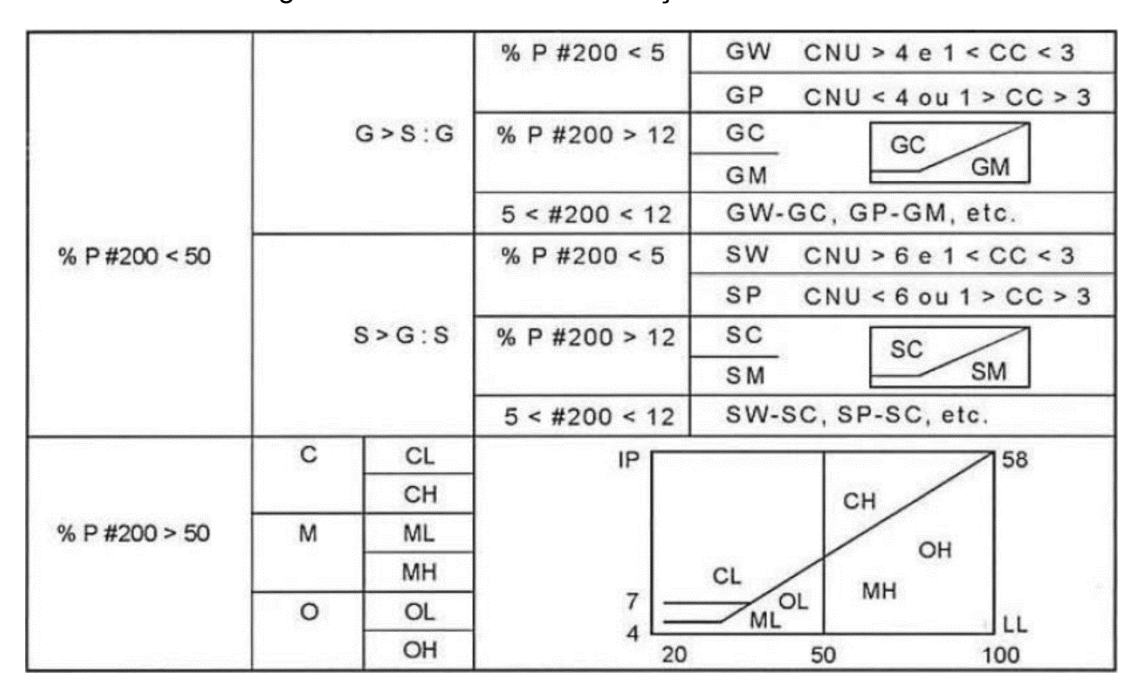
Tabela 6 - Terminologia de classificação de solos - SUCS

	Terminologia	Descrição
	G	Pedregulho
Tine principal de	S	Areia
Tipo principal do	М	Silte
solo	С	Argila
	О	Solo orgânico
	W	Bem graduado
0	Р	Mal graduado
Características	Н	Alta compressibilidade
complementares	L	Baixa compressibilidade
	Pt	Turfas

Fonte: Adaptado de Pinto (2006, p. 64).

O método utiliza uma tabela que subdivide os solos em dois grandes grupos, sendo posteriormente subdivididos de acordo com suas características complementares. A Figura 34 apresenta a tabela de classificação do SUCS.

Figura 34 - Tabela de classificação SUCS



Fonte: Pinto (2006, p. 70).

Para classificação de acordo com este método, o primeiro aspecto a ser considerado é o percentual de finos presente no solo, ou seja, o percentual passante

na peneira com abertura de 0,075 mm (N° 200), que indicará a qual dos dois grandes grupos o solo a ser analisado pertence. Complementarmente são necessários os resultados dos ensaios de Granulometria (norma ABNT NBR 7181:2025), Limite de Liquidez (ABNT NBR 6459:2016), Limite de Plasticidade + Índice de Plasticidade (ABNT NBR 7180:2016) e cálculos do Coeficiente de Não Uniformidade – CNU e o Coeficiente de Curvatura – CC para o enquadramento do solo nos demais subgrupos. Os coeficientes mencionados são calculados através da equação 13, para o Coeficiente de Não Uniformidade – CNU e 14, para o Coeficiente de Curvatura - CC.

$$CNU = \frac{D_{60}}{D_{10}} \tag{13}$$

Onde: CNU é o Coeficiente de Não Uniformidade;

 D_{60} é o diâmetro que corresponde a 60% da curva granulométrica;

 D_{10} é o diâmetro que corresponde a 10% da curva granulométrica.

$$CC = \frac{(D_{30})^2}{D_{60} \times D_{10}} \tag{14}$$

Onde: CC é o Coeficiente de Curvatura;

 D_{60} é o diâmetro que corresponde a 60% da curva granulométrica;

 D_{30} é o diâmetro que corresponde a 30% da curva granulométrica;

 D_{10} é o diâmetro que corresponde a 10% da curva granulométrica

A obtenção dos valores dos diâmetros D_{60} , D_{30} e D_{10} é feita de forma gráfica, traçando, no gráfico granulométrico, linhas perpendiculares ao eixo das ordenadas, correspondentes aos percentuais passantes de 10%, 30% e 60%. Tais linhas devem ser estendidas até a interseção com a curva granulométrica, de onde seguem perpendicularmente até o eixo das abscissas, indicando os valores dos respectivos diâmetros, como apresentado na Figura 35.

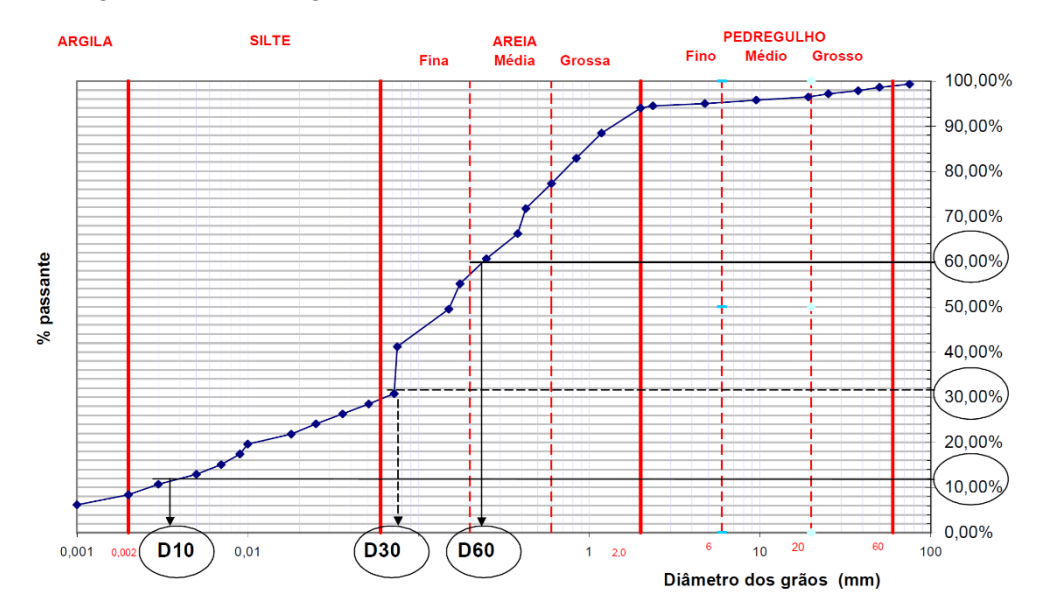
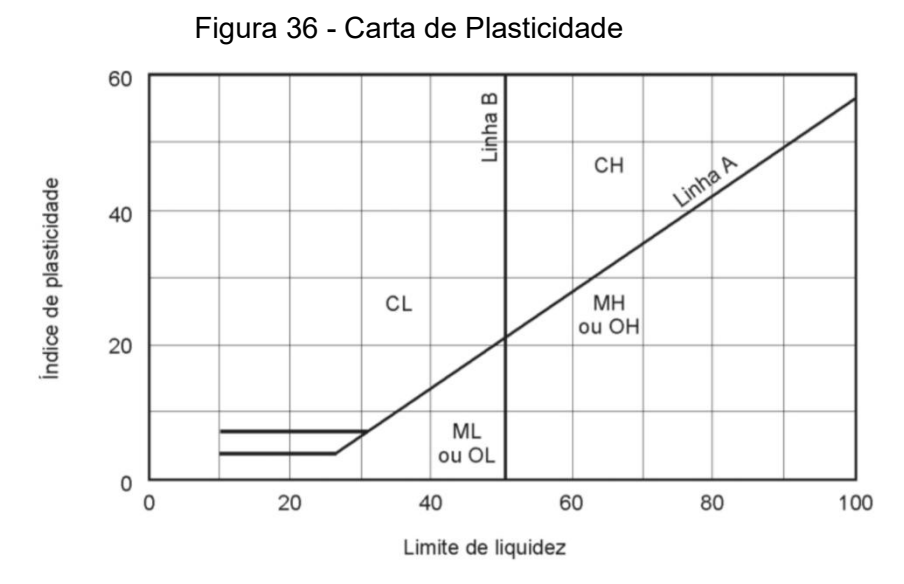


Figura 35 - Curva granulométrica e diâmetros D10, D30 e D60

Fonte: Carvalho P. de Almeida (2005, p. 72).

Os valores obtidos para os Coeficientes de Não Uniformidade e Curvatura são utilizados para as subclassificações de solos grossos, cujo percentual de material passante na peneira número 200 é inferior a 50% e os Índices de Liquidez e Plasticidade são utilizados para as subclassificações de solos finos, com percentuais superiores a 50% de materiais passantes na peneira número 200. Estes índices são utilizados na Carta de Plasticidade, localizada na parte inferior direita da tabela de classificação SUCS, apresentada em detalhes na Figura 36.



Fonte: Pinto (2006, p. 68).

3.3.6.2 Sistema Rodoviário de Classificação – HRB

Este sistema é semelhante ao sistema SUCS, iniciando a classificação pelos percentuais de material passantes na peneira 200, e fazendo uso de uma tabela de classificação. Senço (2007, p. 203) reitera que o sistema HRB também se baseia nos ensaios de Limite de Liquidez, Índice de Plasticidade e granulometria. O sistema HRB considera como sendo solos de granulação grosseira os que têm menos de 35% de material passante na peneira número 200 e os subgrupos são determinados a partir de parâmetros de material passantes nas peneiras com aberturas de 0,42 mm (Nº 40) e 2,0 mm (Nº 10), além dos Limites de Liquidez e Plasticidade. Baseando-se na granulometria, os solos são classificados em oito grupos, de A-1 a A-8 em ordem decrescente de diâmetro dos grãos, cada qual com características peculiares. Por exemplo, Senço (2007, p. 197), indica que "[...] os solos A-1 têm comportamento ótimo como suporte de pavimentos, e os solos A-8 são praticamente imprestáveis para esse suporte.".

Senço (2007, p. 197) menciona a necessidade de definir o Índice de Grupo ao qual o solo pertence, por tratar-se de um classificador quantitativo dos mais conhecidos. O Índice de Gripo – IG é obtido pela equação 15.

$$IG = 0.2 \times a + 0.005 \times a \times c + 0.01 \times b \times d$$
 (15)

Onde: IG é o índice de grupo;

a é a porcentagem "p" passante na peneira 200 menos 35, sendo que: se p > 75%, adota-se p = 75, e se p < 35%, adota-se p = 35

b é a porcentagem "p" passante na peneira 200 menos 15, sendo que: se p > 55%, adota-se p = 55, e se p < 15%, adota-se p = 15;

c é o valor do Limite de Liquidez menos 40, sendo que:

Se LL > 60%, adota-se 60, e Se LL < 40%, adota-se 40

d é o valor do Índice de Plasticidade menos 10, sendo que:

Se IP > 30, adota-se 30, e Se IP < 10, adota-se 10 A tabela de classificação sugerida pela HRB e adotada pela AASHTO, mencionada por Senço (2007, p. 206) é apresentada na Figura 37.

Figura 37 - Tabela de classificação de solos, modelo HRB

Classificação geral	Materiais granulares (p) (35% ou menos passando na peneira nº 200)								Materiais siltosos e argilosos (p) (mais de 35% passando na peneira de nº 200)			
	А	-1			А	-2		A-4	A -5	A-6	A-7-5 A-7-6	
Grupo	A-1-a	A-1-b	А-3	A-2-4	A-2-5	A-2-6	A-2-7					
Peneiração: % que passa: № 10 № 40 № 200 (p)	50 máx. 30 máx. 15 máx.		51 mín. 10 máx.	35 máx.	35 máx.	35 máx.	35 máx.	36 mín.	36 mín.	36 mín.	36 mín.	
Características da fração que passa nº 40: Limite de Liquidez-LL - (%) Índice de Plasticidade IP - (%)	6 m	náx.	NP	40 máx. 10 máx.	41 mín. 10 máx.	40 máx. 11 mín.	41 mín. 11 mín.	0.0000000000000000000000000000000000000	41 mín. 10 máx.		41 mín. 11 min.	
Índice de Grupo (IG)	(0	0		0	4 n	náx.	8 máx.	12 máx.	16 máx.	20 máx.	
Materiais que predominam		Pedra britada Areia pedregulho e areia fina		Areia e areia siltosa ou argilosa				Solos siltosos Solos argiloso		argilosos		
Comportamento geral como subleito			Ex	Excelente a bom				Fraco a	a pobre			

Fonte: Senço (2007, p. 206).

3.3.7 Ensaio de compactação

O ensaio de compactação determina a relação entre o teor de umidade e a massa específica aparente seca de solos compactados seguindo os procedimentos descritos na norma ABNT NBR 7182:2025. A aparelhagem necessária é:

- a) balanças que permitam pesar nominalmente 10 kg e 200 g, com resoluções de 1 g e 0,01 g, respectivamente;
- b) peneiras de 19 mm e 4,8 mm;
- c) estufa capaz de manter a temperatura entre 105 °C e 110 °C;
- d) cápsulas metálicas para determinação de umidade;
- e) bandejas metálicas;
- f) régua de aço biselada;
- g) espátulas com lâminas flexíveis;
- h) conjuntos de cilindros de Proctor de tamanhos pequeno e grande, compreendendo o cilindro, base e cilindro complementar (colarinho)

- mais disco espaçador para o cilindro grande, conforme especificados na norma ABNT NBR 7185:2025, p. 2 e 3;
- i) soquetes de tamanhos pequeno e grande; conforme especificações nas páginas 4 e 5 da referida norma;
- j) provetas de vidro com capacidade de 1.000 cm³, 200 cm³ e 100 cm³, com graduações de 10 cm³, 2 cm³ e 1 cm³, respectivamente;
- k) desempenadeira;
- I) extrator do corpo de prova;
- m) conchas metálicas;
- n) base rígida;
- o) papel filtro com diâmetro igual ao dos moldes empregados;
- p) sacos plásticos.

Inicialmente seleciona-se o cilindro a ser utilizado no ensaio, de acordo com as diretrizes contidas na Tabela 1 da norma ABNT NBR 6457:2024, apresentada anteriormente na Figura 18. Em seguida, verifica-se a energia de compactação a ser utilizada, de acordo com a Tabela 1 da norma ABNT NBR 7185:2025, apresentada na Figura 38.

Figura 38 - Energias de compactação

Tabela 1 - Energias de compactação

	Tubble 1 Energiae de compactação									
	Características inerentes	Energia								
Cilindro	a cada energia de compactação	Normal	Intermediária	Modificada						
	Soquete	Pequeno	Grande	Grande						
Pequeno	Número de camadas	3	3	5						
. oquano	Número de golpes por camada	26	21	27						
	Soquete	Grande	Grande	Grande						
	Número de camadas	5	5	5						
Grande	Número de golpes por camada	12	26	55						
	Altura do disco espaçador mm	63,5	63,5	63,5						

Fonte: ABNT NBR 7185:2025, p. 6

Para o presente estudo, considerando que os locais definidos para a realização dos ensaios de campo e coleta de amostras correspondem a vias locais com tráfego leve, optou-se pela utilização da energia de compactação normal, com aplicação de

12 golpes por camada. Em relação ao material, dentre as possibilidades listadas na norma ABNT NBR 7182:2025, a opção foi pela realização do ensaio com reuso de material e amostras preparadas com secagem prévia até a humidade higroscópica.

Inicia-se o ensaio fixando o molde cilíndrico à base, colocando-se o disco espaçador, o cilindro complementar e o papel filtro. Coloca-se a amostra na bandeja metálica e com o auxílio da proveta de vidro, adiciona-se a quantidade de água necessária de forma a se obter o teor de umidade desejado, revolvendo o solo de forma a uniformizar a umidade. O solo úmido é então colocado no cilindro em camadas e aplicados os golpes com o soquete perpendicularmente e uniformemente distribuídos sobre a superfície do corpo de prova. Entre a colocação de uma camada e outra, deve-se escarificar levemente a superfície da camada subjacente para melhor aderência entre ambas.

Ao final da última camada, retira-se o cilindro complementar (colarinho) e rasa-se a o solo compactado acima do molde com o auxílio da régua biselada. Retira-se o molde da base e pesa-se o conjunto, obtendo pela subtração da massa do cilindro, a massa úmida do solo compactado. O conjunto então é levado ao extrator para retirada do solo, retirando-se uma amostra do centro do corpo de prova para determinação da umidade do solo ensaiado. O material remanescente então é destorroado e acrescido de um incremento percentual de umidade, repetindo todo o processo até que se obtenham pelo menos cinco pontos para plotagem do gráfico, ficando dois pontos no ramo seco, um próximo à umidade ótima e dois no ramo úmido da curva de compactação.

Para cada ponto de ensaio deve ser determinada a massa específica aparente seca, usando a equação 16.

$$\rho_d = \frac{M_u \times 100}{V \times (100 + W)} \tag{16}$$

Onde: ρ_d é a massa específica aparente seca (g/cm³);

 M_u é a massa úmida do solo compactado (g);

V é o volume útil do molde cilíndrico (cm³);

W é o teor de umidade do solo compactado (%).

Com os resultados obtidos em cada ponto, deve ser traçada a curva de compactação com os teores das umidades no eixo das abscissas e as massas específicas aparente secas no eixo das ordenadas. A curva resultante deve ter um formato aproximadamente parabólico. A massa específica aparente seca corresponderá à ordenada máxima da curva de compactação e o teor de umidade ótima será o correspondente à respectiva massa.

3.3.8 Índice de Suporte Califórnia – ISC

O ensaio de ISC fornece dados referentes à capacidade de suporte e expansão de solos, em ensaios de laboratório com a utilização de amostras deformadas. A aparelhagem para execução do ensaio, listada pela norma ABNT NBR 9895:2016 é:

- a) balanças que permitam pesar nominalmente 20 kg, 1.500 g e 200 g com resolução de 1 g, 0,1 g e 0,01 g, respectivamente;
- b) peneiras de 76 mm, 19 mm e 4,8 mm;
- c) estufa capaz de manter a temperatura entre 105 °C e 110 °C;
- d) cápsulas metálicas para determinação de umidade;
- e) bandejas metálicas;
- f) régua de aço biselada;
- g) espátulas com lâminas flexíveis;
- h) conjuntos de cilindros de Proctor de tamanho grande, compreendendo o cilindro, base perfurada e cilindro complementar (colarinho) mais disco espaçador²;
- i) soquete com massa de 4.536 g e guia com altura de queda de 457 mm²;
- j) prato perfurado com 149 mm de diâmetro e 5 mm de espessura, com haste central ajustável²;
- k) suporte para relógio comparador²;
- disco anelar de aço para sobrecarga, dividido diametralmente em duas partes, com massa de 2.270 g, diâmetro interno de 54 mm e externo de 149 mm;

² Especificações detalhadas constam no Anexo A, Figuras A.1, A.2, A.3, A.4 e A.5, Anexo A da norma ABNT NBR 9895:2016.

- m) relógio comparador com curso mínimo de 10 mm, graduado em 0,01 mm;
- n) prensa de ISC³;
- o) extrator de corpo de prova;
- p) tanque ou recipiente que permita a imersão total dos corpos de prova;
- q) papel filtro circular com cerca de 150 mm de diâmetro;
- r) provetas de vidro com capacidade de 1.000 cm³, 200 cm³ e 100 cm³, com graduações de 10 cm³, 2 cm³ e 1 cm³, respectivamente;
- s) desempenadeira;
- t) conchas metálicas;
- u) base rígida, com massa superior a 100 kg.

A norma deste ensaio recomenda que a quantidade de material seja de 50 kg, devidamente preparada de acordo com a norma ABNT NBR 6457:2024. O ensaio é iniciado com a determinação da massa do cilindro (sem o cilindro complementar), bem como tomando-se as medidas de altura e diâmetro. Fixa-se o cilindro à base perfurada e coloca-se o disco espaçador. Sobre este, coloca-se o papel filtro e fixa-se o cilindro complementar.

Na bandeja metálica, toma-se aproximadamente 6 kg da amostra a ser ensaiada e adiciona-se água com o auxílio da proveta na quantidade necessária para que se obtenha um teor de umidade o mais próximo possível do primeiro ponto do ensaio de compactação. Com o auxílio da desempenadeira e da concha, revolve-se continuamente o material para uma completa homogeneização.

Segue-se com a colocação do solo no cilindro, seguida da compactação através da aplicação do número de golpes de acordo com a energia de compactação adotada. O processo deve ser repetido até que se completem um total de cinco camadas, sendo que a compactação de cada camada deve ser precedida de escarificação da camada subjacente.

Ao final da compactação da última camada, retira-se o cilindro complementar e com o auxílio da régua biselada retira-se o excesso de solo, que deve ser ter no máximo 10 mm de excedente. Remove-se o cilindro da base e pesa-se o conjunto, para obtenção da massa do solo úmido compactado, por subtração da massa do

-

³ Especificações detalhadas constam no Anexo A, Figuras A.5 e A.6 da norma ABNT NBR 9895:2016.

cilindro. Com uma porção da amostra de solo restante na bandeja, toma-se uma quantidade de solo que deve ser dividida em três cápsulas metálicas para a determinação de umidade de moldagem do corpo de prova, seguindo os procedimentos descritos na norma ABNT NBR 6457:2024. Todo o processo deve ser repetido cinco vezes, sendo que para cada ponto adicional incrementa-se a quantidade de água de modo a se obter um teor de umidade próximo do utilizado no ensaio de compactação para o ponto similar.

Após as moldagens, os moldes devem ser invertidos e novamente fixados nas suas respectivas bases perfuradas. Coloca-se no lugar deixado pelo disco espaçador o prato perfurado com a haste de expansão e sobre ele os discos anelares de sobrecarga. Sobre o cilindro, devem ser fixados os suportes e os relógios comparadores. Anota-se a leitura inicial e coloca-se os cinco corpos de prova no tanque de imersão, onde deverão ficar por um período de 96 horas. Durante este período, a cada 24 horas e no mesmo horário da colocação para imersão devem ser feitas as leituras dos relógios comparadores para o cálculo da expansão do solo.

Terminado o período de imersão, os corpos de prova devem ser retirados do tanque e deixados por um período de 15 minutos para escoar a água. Retira-se então o prado perfurado e recoloca-se as sobrecargas, levando os corpos de prova para prensa para a etapa de penetração do ensaio. As anotações das leituras de carga e penetração devem ser feitas para os tempos e penetrações indicadas na Tabela 3 da norma (ABNT NBR 9895:2016, p. 5).

Os cálculos necessários para este ensaio são efetuados para cada um dos corpos de prova, sendo estes de massa específica aparente seca, expansão, e Índice de Suporte Califórnia. A massa específica aparente seca é determinada de acordo com a equação 16, descrita anteriormente no ensaio de compactação, item 3.2.7. A expansão e o ISC são calculados conforme as equações 17 e 18, respectivamente.

$$Expansão (\%) = \left(\frac{leitura\ final-leitura\ inicial\ do\ rel.comparador}{altura\ inicial\ do\ corpo\ de\ prova}\right) \times 100 \tag{17}$$

$$ISC = \left(\frac{pressão\ calclada\ OU\ pressão\ corrigida}{pressão-padrão}\right) \times 100$$
 (18)

No cálculo do ISC, deve ser adotado o maior dos valores obtidos nas penetrações de 2,54 mm e 5,08 mm, conforme a Tabela 4 da norma, apresentada na Figura 39.

Figura 39 - Tabela 4, cálculo do ISC

Tabela 4 – Cálculo do índice de suporte Califórnia (ISC)

Penetração		Pressão MPa		ISC %
mm	Calculada	Corrigida	Padrão	70
2,54			6,9	
5,08			10,35	

Fonte: ABNT NBR 9895:2016, p. 6.

A expressão dos resultados deve contemplar, para cada corpo de prova, um gráfico contendo a curva de compactação, onde o eixo das abscissas apresente os teores de umidade e o eixo das ordenadas apresente as massas específicas aparentes secas correspondentes. Caso a curva apresente inflexão, deve ser efetuada a correção conforme a Figura A.7, constante no anexo A da norma.

A massa específica aparente seca corresponde ao valor máximo da ordenada da curva de compactação. O ISC e a expansão do solo devem ser apresentados graficamente, juntamente com o gráfico da curva de compactação. Os valores correspondentes ao ISC e expansão obtidos em cada corpo de prova servirão para construção da curva, sendo que o valor final do ISC deve ser obtido no gráfico, de acordo com os critérios de projeto.

3.3.9 Ensaio do Cone de Penetração Dinâmica

Embora o escopo da norma indica este método para ensaios *in situ* de controle de compactação de aterro, a norma norte-americana ASTM D6951/D6951M, a qual é citada nas referências da norma ABNT NBR 17091:2023, claramente especifica que o método do Cone de Penetração Dinâmica é utilizado para estimar o Índice de Suporte Califórnia *in situ*. Os equipamentos necessários para realização do ensaio citados na norma são:

- a) Equipamento de DCP;
- b) Extrator de haste da ponteira.

Este ensaio deve ser necessariamente desenvolvido por duas pessoas, uma para manusear o equipamento e outra para efetuar as leituras e anotações. O ensaio é realizado posicionando-se o equipamento na vertical, perpendicularmente ao solo. Inicia-se com a fixação da ponteira, elevando-se o martelo até a base do punho e soltando-o em queda livre. Aplica-se tantos golpes quantos forem necessários até a cravação da ponteira, sendo que os golpes aplicados nesta etapa não são contabilizados para o cálculo do Índice de Penetração Dinâmica (I_{PD}), apenas a medida da cravação deve ser anotada como sendo a penetração inicial. Em seguida repete-se o procedimento de cravação, sendo que a pessoa responsável pelas leituras deve, a cada 3 golpes, anotar no manuscrito de campo as leituras referentes à penetração. As leituras a cada 3 golpes são realizadas desta forma apenas com o intuito de racionalizar o ensaio.

Caso haja uma penetração inferior a 2,0 mm em cinco golpes sucessivos, ou durante a cravação houver uma deflexão superior a 75,0 mm em relação à vertical, deve-se remover o equipamento e recomeçar o ensaio a uma distância mínima de 30 cm do ponto anterior. A retirada do equipamento pode ser feita com o auxílio do extrator, ou então com o golpeamento do martelo em sentido ascendente.

A norma ABNT NBR 17091:2023 estabelece valores considerados aceitáveis para a relação entre a variação da penetração e o número de golpes, chamado de Índice de Penetração Dinâmica (I_{PD}), como sendo $I_{PD} \le 6$ para Brita Graduada Simples (BGS), $I_{PD} \le 17$ para solos e $I_{PD} \le 22$ para areias. Observa-se que esta informação não está mencionada de forma ostensiva na norma, aparecendo apenas como um campo mostrado no exemplo de tabela de medição⁴. Neste caso, fica subentendido que, caso o I_{PD} ultrapasse ou fique fora dos limites indicados, os testes não são válidos. A norma também não faz menção quanto à profundidade para encerramento do ensaio, apenas cita em seu escopo que o método é aplicável a investigações com no máximo 2 metros de profundidade.

Uma vez encerrado o ensaio, utiliza-se os dados coletados para o cálculo do I_{PD} conforme a equação 3, mostrada no item 2.3 e aplica-se, de acordo com o tipo de

-

⁴ ABNT NBR 17091:2023, Anexo A, Tabela A.1.

material ensaiado (BGS, solo ou areia), a equação de regressão adequada, de acordo com a Tabela 2, também mostrada no item 2.3. Os resultados também são expressos graficamente, no qual o eixo das abscissas mostra o número de golpes e o eixo das ordenadas mostra a penetração, expressa em milímetros. Exemplos da tabela de medição e do gráfico resultante do DCP foram igualmente mostrados no item 2.3, através das Figuras 7 e 8, respectivamente.

3.3.10 Norma ASTM D6951/D6951M – 09: Método de teste padrão para o uso do Cone de Penetração Dinâmica em pavimentos rasos

Embora este estudo seja embasado nas normas brasileiras, organizadas pela Associação Brasileira de Normas Técnicas, existe um quesito na norma norte-americana que é fundamental para o resultado dos ensaios deste trabalho: a ausência de um fator limitante para a relação entre o tipo de material ensaiado e a relação entre a variação da penetração e o número de golpes aplicados, ou I_{PD} , conforme a norma ABNT NBR 17091:2023. Este fato amplia consideravelmente a validação dos resultados obtidos através do ensaio de DCP.

A norma ASTM D6951/D6951M – 09 apresenta a equação de regressão 19 como sendo válida para todos os tipos de solo, exceto para solos classificados como CL (argila de baixa compressibilidade) com ISC inferior a 10% e para todos os solos CH (argilas com alta compressibilidade).

$$CBR = \frac{292}{DCP^{1,12}} \tag{19}$$

Onde: *CBR* é o Índice de Suporte Califórnia;

DCP é razão entre a penetração e o número de golpes.

Para os solos classificados como CL – argila de baixa compressibilidade e com ISC inferior a 10%, a norma ASTM define a equação 20 para ser utilizada.

$$CBR = \frac{1}{(0.017019 \times DCP)^2} \tag{20}$$

Em se tratando de argilas com alta compressibilidade (CH), independentemente de eventuais diferenças, para solos enquadrados nestas características, o valor do CBR é calculado através da equação de regressão 21.

$$CBR = \frac{1}{(0,002871 \times DCP)} \tag{21}$$

Observa-se que a norma norte-americana é menos restritiva que a norma brasileira, na qual o I_{PD} é um fator limitante para aplicabilidade do método de ensaio a um conjunto mais restrito de solos. Os solos utilizados neste trabalho foram caracterizados pelos sistemas de classificação SUCS e HBR. Além disso, foram utilizadas as sistemáticas das normas brasileira e norte-americana para análise dos valores do ISC obtidos pelo método do DCP.

4 RESULTADOS

A seguir são apresentados os resultados dos ensaios realizados com as amostras coletadas nos pontos indicados no item 3.3, compreendendo os ensaios de laboratório e os ensaios realizados em campo.

4.1 AVENIDA BELVEDERE

Os resultados para a Avenida Belvedere estão abaixo descritos.

4.1.1 Ensaio de umidade

Realizado de acordo com as diretrizes da norma ABNT NBR 6457:2024, a Tabela 7 mostra os resultados para a umidade higroscópica da amostra coletada, indicando um teor de umidade média de 11,06%.

Tabela 7 - Umidade higroscópica, Av. Belvedere

Ponto	N° da cápsula	Tara da cápsula (g)	Cápsula + solo úmido (g)	Massa do solo úmido (g)	Cápsula + solo seco (g)	Massa do solo seco (g)	Massa da água (g)	Umidade W (%)	Umidade média W _{med} (%)
1	39	11,42	29,71	18,29	27,73	16,31	1,98	12,14	
2	44	10,29	25,24	14,95	23,9	13,61	1,34	9,85	11,06
3	66	8,24	20,27	12,03	19,06	10,82	1,21	11,18	

Fonte: Autor (2025).

4.1.2 Limite de Liquidez

Os resultados do ensaio estão expressos na Tabela 8. Em conformidade com a norma ABNT NBR 6459:2016, o Limite de Liquidez para a amostra ensaiada é de 60%.

Tabela 8 - Limite de Liquidez, Av. Belvedere

Ponto	N° da cápsula	Tara da cápsula (g)	Cápsula + solo úmido (g)	Massa do solo úmido (g)	Cápsula + solo seco (g)	Massa do solo seco (g)	Massa da água (g)	Umidade W (%)	Número de golpes
1	10	9,14	15,83	6,69	13,47	4,33	2,36	54,50	41
2	11	9,22	19,20	9,98	15,61	6,39	3,59	56,18	38
3	28	11,06	19,74	8,68	16,55	5,49	3,19	58,11	35
4	42	9,97	17,54	7,57	14,71	4,74	2,83	59,70	25
5	54	7,71	16,25	8,54	12,99	5,28	3,26	61,74	18

Fonte: Autor (2025).

Ainda de conforme a referida norma, a expressão gráfica para o Limite de Liquidez da amostra é apresentada na Figura 40.

LIMITE DE LIQUIDEZ 100 54,50; 41 56.18:38 58,11; 35 59,70; 25 Número de golpes 61,74; 18 54 55 56 57 58 59 60 61 62 63 Umidade (%)

Figura 40 - Limite de Liquidez, Av. Belvedere

Fonte: Autor (2025).

4.1.3 Limite de Plasticidade

O Limite de Plasticidade para a amostra ensaiada, seguindo as diretrizes da norma ABNT NBR 7180:2016 é de 43%. A Tabela 9 mostra os resultados do ensaio.

to	N° da cápsula	Tara da Cápsula (g)	Cápsula + solo úmido (g)	Peso do solo úmido (g)	Cápsula + solo seco (g)	Peso do solo seco (g)	Peso da água (g)	Umidade (%)	Teor de umidade médio (%)
1	7	10,35	11,93	1,58	11,46	1,11	0,47	42,34	
2	21	9,97	11,31	1,34	10,91	0,94	0,4	42,55	
3	33	11,79	13,24	1,45	12,82	1,03	0,42	40,78	42,55
4	36	7,51	8,56	1,05	8,24	0,73	0,32	43,84	
5	48	8,78	10,07	1,29	9,68	0,9	0,39	43,33	

Tabela 9 - Limite de Plasticidade, Av. Belvedere

Fonte: Autor (2025).

4.1.3.1 Índice de Plasticidade

Ainda segundo a norma ABNT NBR 7180:2016, deve ser determinado o Índice de Plasticidade, dado pela diferença entre o Limite de Liquidez e o Limite de Plasticidade, conforme a equação 22.

$$IP = LL - LP (22)$$

Onde: IP é p Índice de Plasticidade;

LL é o Limite de Liquidez;

LP é o Limite de Plasticidade.

Desta forma, o Índice de Plasticidade da amostra de solo da Av. Belvedere é dado por:

$$IP = LL - LP = 60\% - 43\%$$
 : $IP = 17\%$

Segundo a classificação qualitativa de Burmister *apud* Das e Sobhan (2019, p. 89), disposta na Tabela 10, com um Índice de Plasticidade de 17%, a amostra de solo da Av. Belvedere, possui uma plasticidade média.

Tabela 10 - Classificação qualitativa de Burmister

IP	Descrição
0	Sem plasticidade
1 – 5	Plasticidade leve
5 – 10	Plasticidade baixa
10 – 20	Plasticidade média
20 – 40	Plasticidade alta
> 40	Plasticidade muito alta

Fonte: Adaptado de Das e Sobhan (2019, p. 89).

4.1.4 Massa Específica

O ensaio conforme a norma ABNT NBR 17212:2025, indica uma massa específica de $\rho_s = 2,20~g/cm^3$ para a amostra da Av. Belvedere, cujos resultados estão indicados na Tabela 11. Os valores grifados em verde são os considerados aceitáveis pela norma.

Tabela 11 - Massa Específica, Av. Belvedere

Ensaio	1	2	3
Ms (g):	50,34	50,34	50,82
Início da imersão (h):	14:45	14:45	14:45
Fim da imersão (h):	14:05	14:50	15:40
M2 (g):	716,06	688,73	679,72
T (°C)	19	19	19
PW(T):	0,99984	0,99984	0,99984
M1 (g):	688,50	661,33	651,69
Massa específica ρ_s (g/cm³):	2,209	2,191	2,230
Massa específica ρ _s (g/cm³):		2,200	1

Fonte: Autor (2025).

4.1.5 Análise Granulométrica

Na etapa de peneiramento para o ensaio de análise granulométrica, realizado em conformidade com a norma ABNT NBR 7181:2025, os resultados para a amostra

da Av. Belvedere indicaram um percentual retido acumulado na peneira com abertura de 19,1 mm de 33,12%, conforme mostra a Tabela 12.

Tabela 12 - Peneiramento grosso e fino, Av. Belvedere

		PEN	IEIRAMENTO	O AV. BELVE	DERE		
Massa da amostra (g) 3184,13	Peneiras Nº Abertura (mm)		Massa retida em cada peneira M _r (g)	% da amostra total	Massa retida acumulada M _{r,acum} (g)	% do material retido acumulado	% dos materiais passantes
			l				
	3"	76,2	0,00	0,00	0,00	0,00	100,00
0	2"	50,8	118,58	3,72	118,58	3,72	98,38
	1,5"	38,1	271,27	8,52	389,85	12,24	94,67
EIRAMEI 3ROSSO	1"	25,4	457,37	14,36	847,22	26,61	88,41
EIR GR(3/4"	19,1	207,48	6,52	1054,70	33,12	85,58
PENEIRAMENTO GROSSO	3/8"	9,5	376,91	11,84	1431,61	44,96	80,42
_	4	4,8	632,88	19,88	2064,49	64,84	71,76
	10	2	1100,22	34,55	3164,71	99,39	56,72
0	16	1,2	0,95	0,03	0,95	99,42	55,86
ENT	30	0,6	4,33	0,14	5,28	99,56	51,97
IRAM FINO	40	0,42	2,48	0,08	7,76	99,63	49,73
EIR FI	50	0,3	3,99	0,13	11,75	99,76	46,14
PENEIRAMENTO FINO	100	0,15	3,78	0,12	15,53	99,88	42,74
_	200	0,074	3,27	0,10	18,80	99,98	39,80
	Fundo		0,62	0,02	19,42	100,00	39,24
	∑Mas	ssa (g)	3184,13		1	1	1

Fonte: Autor (2025).

Tendo um percentual retido acumulado superior a 30% na peneira indicada, de acordo com as especificações contidas na Tabela 1 da norma ABNT NBR 6457:2024 e na Tabela 1 da norma ABNT NBR 9895:2016, não é possível realizar os ensaios de Compactação nem de Índice de Suporte Califórnia para solos com tais características. A Figura 18 apresenta a Tabela 1 da norma ABNT NBR 6457:2024, indicando não ser possível realizar o ensaio de compactação para este tipo de solo.

Na mesma situação enquadra-se, de forma ainda mais restritiva, a realização do ensaio de Índice de Suporte Califórnia, conforme a Tabela 1 da norma ABNT NBR 9895:2016, apresentada na Figura 41.

Figura 41 - Tabela 1, norma ABNT NBR 9895:2016

Tabela 1 - Quantidades de material

Peneira mm	Porcentagem de material retido %	Observação
4,8	menor que 7	desprezar o material retido
19	menor que 10	desprezar o material retido
19	maior que 10	ver ^a
19	maior que 30	não ensaiar de acordo com esta Norma

Passar o material retido na peneira de 19 mm através da peneira de 76 mm e desprezar o material retido nesta última. Substituir o material retido na peneira de 19 mm e que passe na de 76 mm, por igual quantidade de material retido na peneira de 4,8 mm e que passe na de 19 mm.

Fonte: ABNT NBR 9895:2016, p. 3

Quando ocorrem casos desta natureza devem ser buscados métodos alternativos para obtenção dos dados fornecidos pelos referidos ensaios. Como esta questão não faz parte do escopo deste trabalho, os ensaios de laboratório realizados para a amostra da Av. Belvedere foram encerrados com a análise granulométrica e os dados foram usados para a classificação da amostra. O resultado referente ao índice de Suporte Califórnia ficou limitado ao obtido *in situ* através do Cone de Penetração Dinâmica.

A Tabela 13 resume o ensaio de granulometria para a amostra da Av. Belvedere.

Tabela 13 - Resumo da granulometria, Av. Belvedere

RESUMO DA GRANULOMETRIA (%)									
Pedregulho	Areia grossa	Areia média	Areia fina	Silte + Argila	TOTAL				
(>2,00 mm)	(2,00–0,6mm)	(0,6-0,2mm)	(0,2-0,06mm)	(<0,074mm)	TOTAL				
43,28	4,75	5,82	6,35	39,80	100,00				

Fonte: Autor (2025).

A Figura 42 apresenta o gráfico com a curva granulométrica da amostra ensaiada. Todos os demais detalhes encontram-se nas planilhas de cálculo, no Apêndice A.

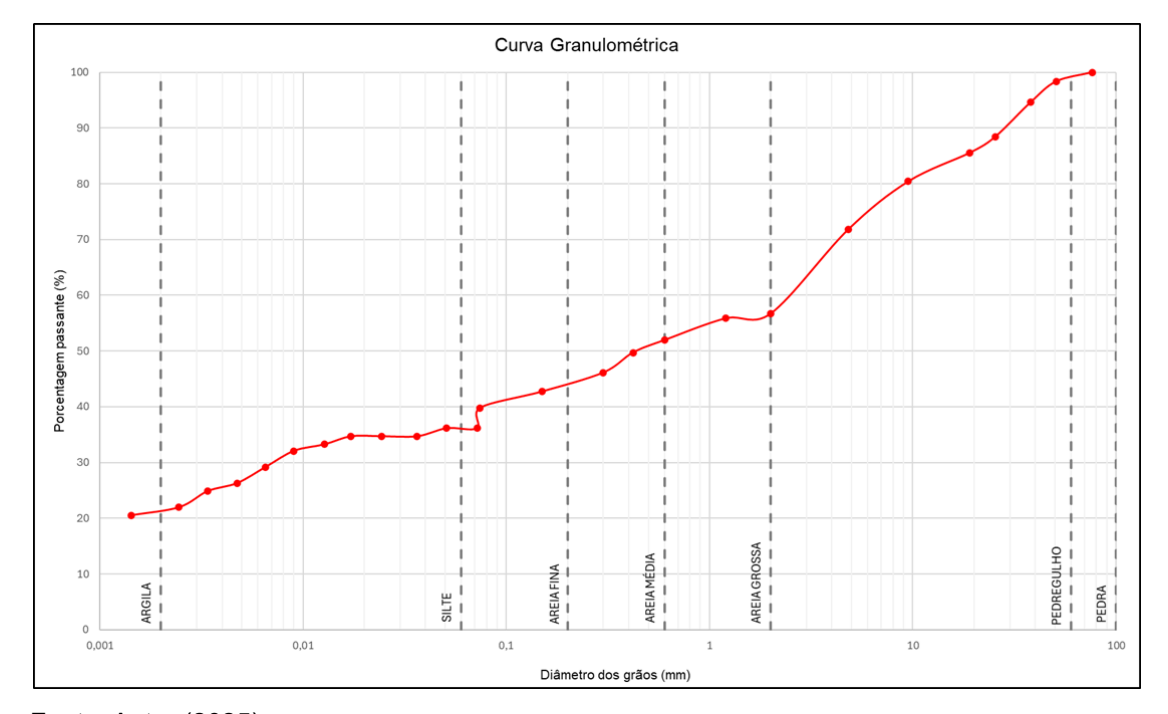


Figura 42 - Curva granulométrica, Av. Belvedere

Fonte: Autor (2025).

4.1.6 Classificação do solo

A amostra foi classificada segundo os critérios do Sistema Unificado de Classificação dos Solos – SUCS e do Sistema Rodoviário de Classificação – HRB, sendo adotada, para o presente estudo, a classificação fornecida pelo sistema que melhor representar as características geotécnicas observadas do solo..

4.1.6.1 Classificação pelo Sistema Unificado de Classificação dos Solos – SUCS

Para classificação por este sistema, são necessários os dados resumidos na Tabela 14.

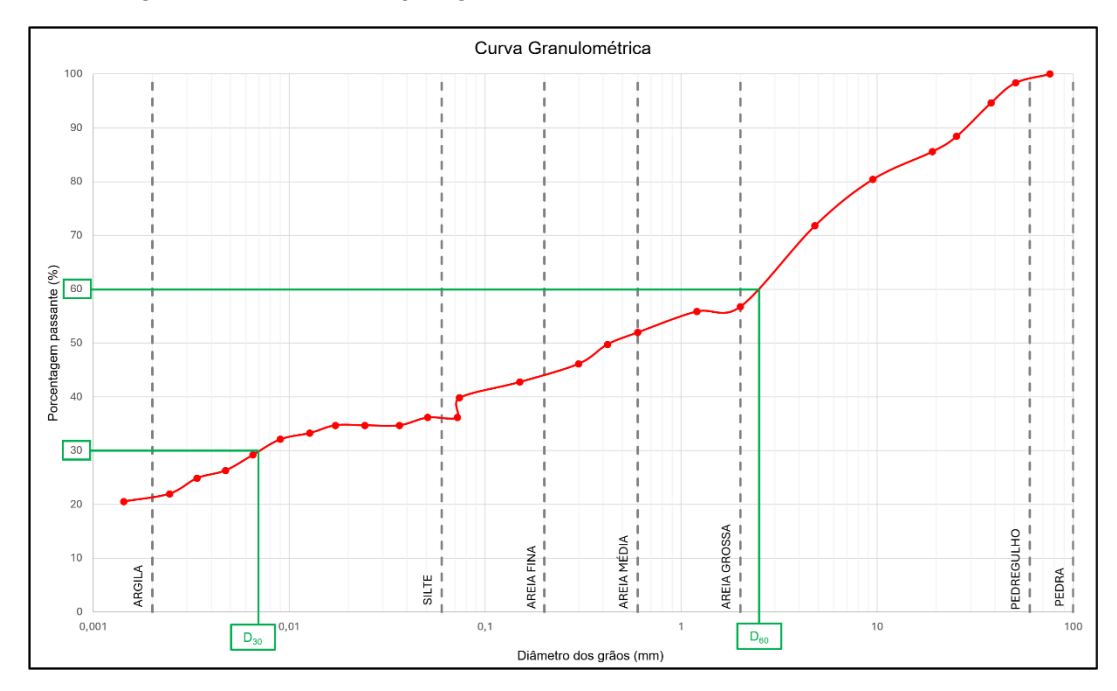
Tabela 14 - Dados para classificação SUCS

Dado	Valor
0/ do fine constant de constan	20.00.0/
% de finos: material passante na peneira Nº 200	39,80 %
Limite de Liquidez – LL	60%
Limite de Plasticidade – LP	43%
Índice de Plasticidade – IP	17%

Fonte: Autor (2025).

Além dos dados indicados, são necessários o Coeficiente de Não Uniformidade – CNU e o Coeficiente de Curvatura – CC, determinados através das equações 13 e 14, especificadas anteriormente no item 3.2.6. Para os cálculos dos referidos coeficientes, faz-se necessária a determinação gráfica dos diâmetros D₁₀, D₃₀ e D₆₀, efetuada graficamente conforme a Figura 43.

Figura 43 - Determinação gráfica dos diâmetros D₁₀, D₃₀ e D₆₀



Fonte: Autor (2025).

Como é possível observar no gráfico, a curva granulométrica não atingiu 10% do material passante na peneira de 2,0 mm. Neste caso a determinação do diâmetro D10 não é possível, ficando a classificação do solo pelo sistema SUCS limitada aos valores indicados na Tabela 14. A Figura 44 mostra a classificação da amostra de acordo com o método SUCS.

GW % P #200 < 5 CNU > 4 e 1 < CC < 3 GP CNU < 4 ou 1 > CC > 3 G > S : G % P #200 > 12 GC GC GM GM GW-GC, GP-GM, etc. 5 < #200 < 12 % P#200 < 50 SW CNU > 6 e 1 < CC < 3 % P #200 < 5 SP CNU < 6 ou 1 > CC > 3 % P #200 > 12 S > G : S SC SC SM SM SW-SC, SP-SC, etc. 5 < #200 < 12 C CL IP CH CH % P #200 > 50 M ML OH MH CL MLOL МН 0 OL OH 20 100

Figura 44 - Classificação SUCS, Av. Belvedere

Fonte: Autor, adaptado de Pinto, 2006, p. 70 (2025).

Como o percentual de finos passantes na peneira Nº 200 é de 39,80%, valor inferior a 50%, o solo encontra-se na parte superior do gráfico, marcado em vermelho na Figura 45. Ao analisar o resumo da granulometria, observa-se que a amostra contém 43,28% de pedregulho e 16,92% de areias (4,75 de areia grossa + 5,82% de areia média + 6,35% de areia fina). Como a quantidade de pedregulho é superior à de areia, o solo encontra-se na subdivisão superior da tabela, marcada em azul. Utiliza-se novamente o percentual de finos passantes na peneira Nº 200 para enquadrar o solo no terceiro subgrupo, que para a amostra analisada está marcado em verde. Por último, para diferenciar entre as categorias GC ou GM, utiliza-se o Limite de Liquidez e o Índice de Plasticidade, conforme apresentado na Figura 45.

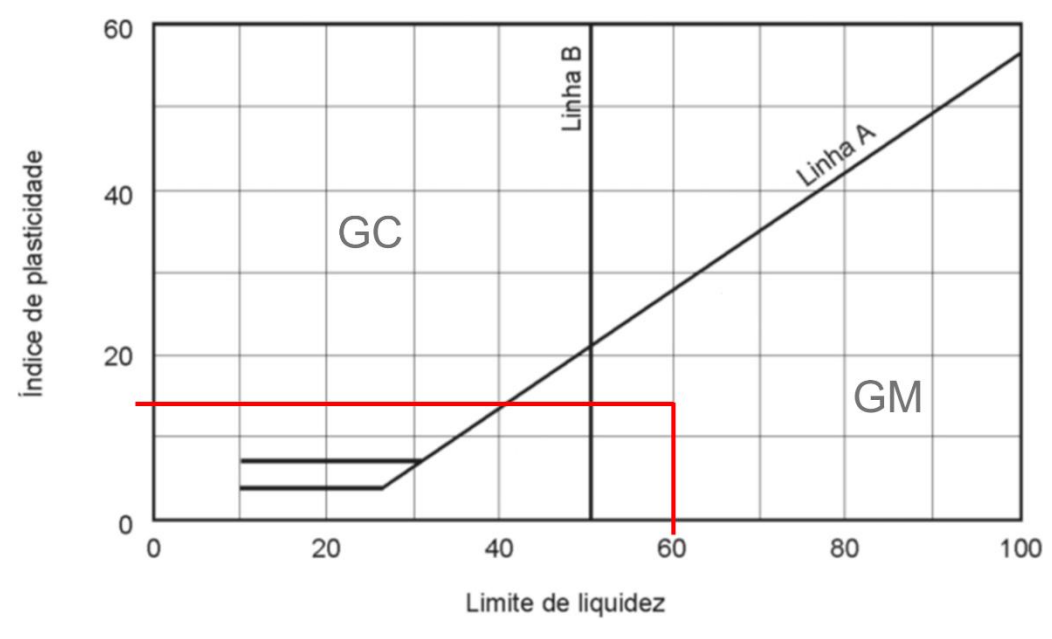


Figura 45 - Carta de Plasticidade

Fonte: Autor, adaptado de Pinto, 2006, p. 68 (2025).

Encontrado o quarto subgrupo, a amostra de solo da Av. Belvedere é então classificada como GM – Pedregulho siltoso. Com base na observação visual da curva granulométrica apresentada na Figura 43, embora não tenha sido possível calcular o Coeficiente de Não Uniformidade (CNU) nem o Coeficiente de Curvatura, o desenvolvimento relativamente suave da curva indica que o solo é, na maior parte, bem graduado. Também se observa um "salto" na curva entre os diâmetros 0,07 e 0,08, indicando que neste ponto há uma descontinuidade, o que significa uma granulometria descontínua. Deduz-se, portanto, que este solo é da categoria GM - Pedregulho siltoso de granulometria descontínua.

4.1.6.2 Classificação pelo Sistema Rodoviário de Classificação – HRB

Para classificação por este sistema, além dos dados da Tabela 13, é necessário o cálculo do Índice de Grupo (IG), conforme a equação 15, mostrada no item 3.2.6.2.

$$IG = 0.2 \times a + 0.005 \times a \times c + 0.01 \times b \times d \tag{15}$$

Sendo:
$$p = 39.8\%$$
 \therefore $p = 39.8$ $a = p - 35 = 39.8 - 35$ \therefore $a = 4.8$

$$b = p - 15 = 39.8 - 15$$
 \therefore $b = 24.8$
 $c = LL - 40 = 60 - 40$ \therefore $c = 20$
 $d = IP - 10 = 17 - 10$ \therefore $d = 7$

$$IG = 0.2 \times a + 0.005 \times a \times c + 0.01 \times b \times d$$

 $IG = 0.2 \times 4.8 + 0.005 \times 4.8 \times 20 + 0.01 \times 24.8 \times 7$
 $IG = 3.18$ \therefore $IG = 4$

A classificação segundo a tabela do sistema HRB é realizada de cima para baixo, da esquerda para a direita e por meio de processo de eliminação. Inicialmente considerando o percentual passante na peneira № 200 = 39,8%, elimina-se todos os solos granulares tipo A-1, A-2 e A-3, pois o percentual supera os 35% estabelecido pelo sistema. Com um LL = 60%, são eliminados os grupos A-4 e A-6. Com o IP = 17%, elimina-se o grupo A-5, restando para a amostra do solo da Av. Belvedere o grupo A-7. Observa-se que o subgrupo A-7 é dividido em outros dois subgrupos: A-7-5 e A-7-6. Para esta determinação dos subgrupos da categoria A-7, utiliza-se a seguinte relação: se IP ≤ LL – 30, o solo pertence ao grupo A-7-5; se IP ≥ LL – 30, o solo pertence ao grupo A-7-6. Para o solo em questão, tem-se:

$$IP = 17\%$$

$$LL = 60\%$$

$$IP \le LL - 30 \quad \rightarrow \quad 17 \le 60 - 30 \quad \rightarrow \quad 17 \le 30$$

O solo então pertence ao grupo A-7-5 (4), considerado como solo argiloso. Segundo a definição de Senço (2007, p. 205), solos pertencentes ao grupo A-7 "[...] apresentam grandes variações de volume quando sujeitos a variações de umidade, o que, em muitos casos, obriga a substituição desses solos do subleito para garantia de estabilidade.".

A Figura 47 mostra em destaque a tabela de classificação pelo sistema HRB com as características definidas destacadas nas cores vermelha, azul e verde, por ordem de eliminação, respectivamente.

Materiais granulares Materiais siltosos e argilosos (p) Classificação geral (mais de 35% passando na (p) (35% ou menos passando na peneira nº 200) peneira de nº 200) A-1 A-2 A-7 A-5 A-7-5 A-6 Grupo A-1-a A-1-b A-3 A-2-4 A-2-5 A-2-6 A-2-7 A-7-6 Peneiração: % que passa: Nº 10 50 máx. Nº 40 30 máx. 50 máx. 51 mín. Nº 200 (p) 15 máx. 25 máx. 10 máx. 35 máx. 35 máx. 35 máx. 35 máx. 36 mín. 36 mín. 36 min Características da fração que passa nº 40: Limite de Liquidez-LL - (%) 40 máx. 41 mín. 40 máx. 41 mín. 40 máx. 41 mín. 40 máx Índice de Plasticidade NP 11 min. IP - (%) 6 máx. 10 máx. 10 máx. 11 mín. 11 mín. 10 máx. 10 máx. Índice de Grupo (IG) 0 8 máx. 12 máx. 16 máx 0 0 4 máx. 20 máx Materiais que Pedra britada Areia Areia e areia siltosa Solos siltosos Solos argilosos predominam pedregulho e areia fina ou argilosa Comportamento geral Excelente a bom Fraco a pobre como subleito Processo de classificação: Com os dados de laboratório, iniciar a classificação da esquerda para a direita, por eliminação. O primeiro grupo da esquerda que satisfizer os dados será o grupo procurado

Figura 46 - Classificação HRB, Av. Belvedere

Solos A-7: Se IP < LL - 30 será A-7-5: Se IP > LL-30, será A-7-6.

Fonte: Autor, adaptado de Senço, 2007, p. 206 (2025).

4.1.6.3 Classificação final

Observa-se que os sistemas utilizados, cada um de acordo com seus parâmetros próprios, enquadraram o mesmo solo em grupos diferentes. Isto não constitui uma falha propriamente dita, apenas mostra que cada sistema utiliza critérios próprios e que nem sempre são coincidentes. Como ressalta Pinto (2006, p. 63), a validade dos sistemas de classificação é muito discutida, mas é necessária para "orientar o programa de investigação necessário para permitir a adequada análise de um problema.". Cabe ao Engenheiro ou Técnico responsável pela análise selecionar o método de classificação que indique, com a maior exatidão possível, as características do solo.

Isto posto, considerando a grande quantidade de pedregulhos presentes na amostra, o Sistema Unificado de Classificação dos Solos - SUCS mostra-se o mais adequado para esta amostra: GM - Pedregulho siltoso, conforme descrito no item 4.1.6.1.

4.1.7 Ensaio de DCP, Índice de Suporte Califórnia

Devido à impossibilidade de realizar ensaios de compactação e ISC pelos métodos tradicionais, conforme justificado no item 4.1.5, o único valor obtido para o ISC para a amostra da Av. Belvedere é o resultado do ensaio *in situ*, com o Cone de Penetração Dinâmica, cujo resultado está expresso na Tabela 15.

Ensaio Coordenadas do ponto de ensaio (UTM) **I**PD **CBR (%)** Zona 22J, E489179 m, N6773861 m 9,01 24,89 Ш Zona 22J, E489176 m, N6773856 m 5,95 39,65 Ш Zona 22J, E489176 m, N6773856 m 6,57 35,46 **CBR MÉDIO** 33,33

Tabela 15 - Ensaio de DCP in situ, Av. Belvedere

Fonte: Autor (2025).

O valor estimado para o CBR desta amostra é de 33%. A Figura 47 mostra a expressão gráfica dos resultados.

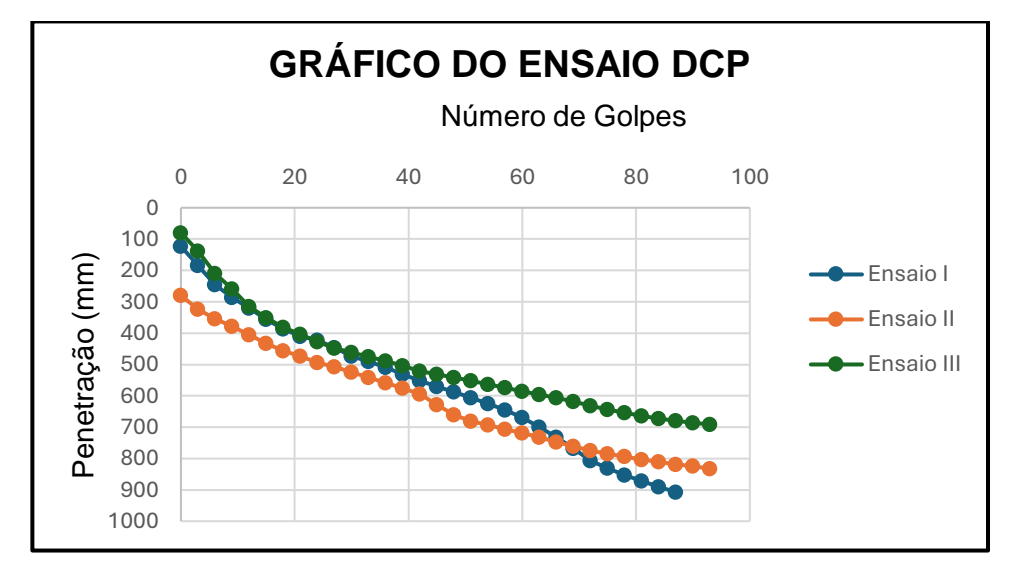


Figura 47 - Gráfico de ensaio de DCP, Av. Belvedere

Fonte: Autor (2025).

4.2 ESTRADA MUNICIPAL JOSÉ DANI

A seguir são apresentados os resultados dos ensaios realizados para a amostra de solo da Estrada Municipal José Dani, de acordo com as normas aplicáveis.

4.2.1 Ensaio de umidade.

A umidade higroscópica da amostra foi de 10,58%, conforme a Tabela 16.

Tabela 16 - Umidade higroscópica, E. M. José Dani

Ponto	N° da cápsula	Tara da cápsula (g)	Cápsula + solo úmido (g)	Massa do solo úmido (g)	Cápsula + solo seco (g)	Massa do solo seco (g)	Massa da água (g)	Umidade W (%)	Umidade média W _{med} (%)
1	15	10,68	25,65	14,97	24,11	13,43	1,54	11,47	
2	35	8,26	22,52	14,26	21,21	12,95	1,31	10,12	10,58
3	74	8,98	23,51	14,53	22,17	13,19	1,34	10,16	

Fonte: Autor (2025).

4.2.2 Limite de Liquidez

O ensaio indicou para a amostra um Limite de Liquidez de 44%, conforme dados da Tabela 17.

Tabela 17 - Limite de Liquidez, E. M. José Dani

Ponto	N° da cápsula	Tara da cápsula (g)	Cápsula + solo úmido (g)	Massa do solo úmido (g)	Cápsula + solo seco (g)	Massa do solo seco (g)	Massa da água (g)	Umidade W (%)	Número de golpes
1	8	9,19	15,78	6,59	13,89	4,70	1,89	40,21	48
2	22	10,26	16,06	5,80	14,36	4,10	1,70	41,46	37
3	33	11,83	19,07	7,24	16,88	5,05	2,19	43,37	29
4	67	8,12	16,66	8,54	14,02	5,90	2,64	44,75	22
5	98	11,10	19,10	8,00	16,52	5,42	2,58	47,60	17

Fonte: Autor (2025).

A expressão gráfica para o Limite de Liquidez está mostrada na Figura 48.

LIMITE DE LIQUIDEZ

40,21; 48
41,46; 37
43,37; 29
47,60; 17

1 35 37 39 41 43 45 47 49
Umidade (%)

Figura 48 - Limite de Liquidez, E. M. José Dani

Fonte: Autor (2025).

4.2.3 Limite de Plasticidade

O ensaio de Limite de Plasticidade indicou para a amostra um valor de 32%, conforme dados mostrados na Tabela 18.

Tabela 18 - Limite de Plasticidade, E. M. José Dani

Ponto	N° da cápsula	Tara da Cápsula (g)	Cápsula + solo úmido (g)	Peso do solo úmido (g)	Cápsula + solo seco (g)	Peso do solo seco (g)	Peso da água (g)	Umidade (%)	Teor de umidade médio (%)
1	25	10,68	11,70	1,02	11,45	0,77	0,25	32,47	
2	26	11,57	12,78	1,21	12,48	0,91	0,30	32,97	
3	69	9,75	10,85	1,10	10,58	0,83	0,27	32,53	32,50
4	76	11,68	12,81	1,13	12,53	0,85	0,28	32,94	
5	86	9,24	10,49	1,25	10,19	0,95	0,30	31,58	

Fonte: Autor (2025).

4.2.3.1 Índice de Plasticidade

O Índice de Plasticidade para a amostra da Estrada Municipal José Dani foi determinado conforme a equação 22, mostrada no item 4.1.3.1.

$$IP = LL - LP = 44\% - 32\%$$
 : $IP = 12\%$

De acordo com a classificação qualitativa de Burmister, apresentada na Tabela 10, o solo da Estrada Municipal José Dani apresenta uma plasticidade média.

4.2.4 Massa Específica

O ensaio indicou uma massa específica $\rho_s = 2,20~g/cm^3$, sendo os valores considerados como aceitáveis pela norma ABNT NBR 17212:2025 estão grifados em verde na Tabela 19.

Tabela 19 - Massa Específica, E. M. José Dani

Ensaio	1	2	3	
Ms (g):	50,34	50,18	50,16	
Início da imersão (h):	17:10	17:10	17:10	
Fim da imersão (h):	10:45	13:50	15:00	
M2 (g):	717,20	689,74	679,48	
T (°C)	17	17	17	
PW(T):	0,99988	0,99988	0,99988	
M1 (g):	688,74	661,55	651,90	
Massa específica ρ₅ (g/cm³):	2,300	2,282	2,221	
Massa específica ρ _s (g/cm³):	2,291			

Fonte: Autor (2025).

4.2.5 Análise Granulométrica

Os resultados do peneiramento da amostra indicaram um percentual de 10,99% de material retido na peneira com abertura de 19,1 mm, ficando o material enquadrado

na Tabela 1 da norma ABNT NBR 6457:2024, Nota a, assim como na Tabela 1 da norma ABNT NBR 9895:2016, Nota a, dispostas no item 4.1.5. Quando o percentual de material retido na referida peneira ficar entre 10,01% e 30%, os ensaios de compactação e ISC devem ser feitos com substituição de material, tendo a quantidade de material retido na peneira de 19,1 mm substituído por igual quantidade de material retido na peneira de 4,8 mm. Este procedimento será descrito com maiores detalhes nos ensaios específicos. O resumo da granulometria para amostra da Estrada Municipal José Dani está descrito na Tabela 20.

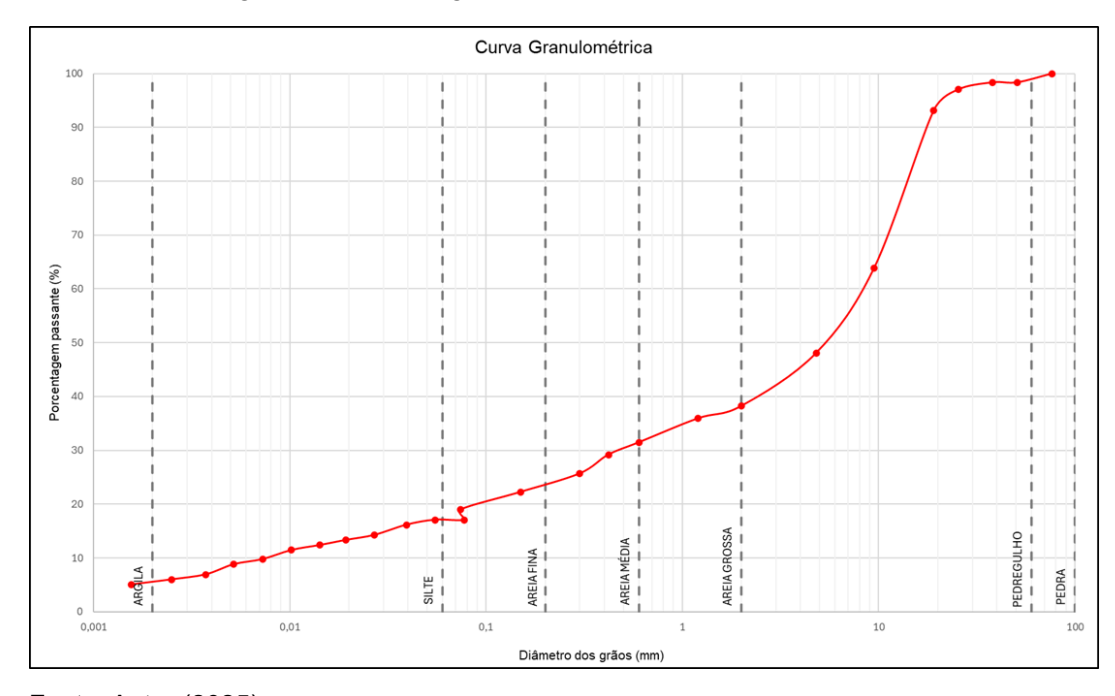
Tabela 20 - Resumo da granulometria, E. M. José Dani

RESUMO DA GRANULOMETRIA (%)									
Pedregulho	Areia grossa	Areia média	Areia fina	Silte + Argila	TOTAL				
(>2,00 mm)	(2,00–0,6mm)	(0,6-0,2mm) (0,2-0,06mm)		(<0,074mm)	IOIAL				
61,75	6,77	5,78	6,73	18,97	100,00				

Fonte: Autor (2025).

A Figura 49 apresenta a curva granulométrica obtida no ensaio, e os resultados detalhados do ensaio encontram-se nas planilhas de cálculo do Apêndice B.

Figura 49 - Curva granulométrica, E. M. José Dani



Fonte: Autor (2025).

4.2.6 Classificação do solo

A amostra de solo da Estrada Municipal José Dani foi classificada de acordo com os sistemas SUCS e HRB.

4.2.6.1 Classificação pelo Sistema Unificado de Classificação dos Solos – SUCS

A Tabela 21 fornece os dados necessários para a classificação SUCS.

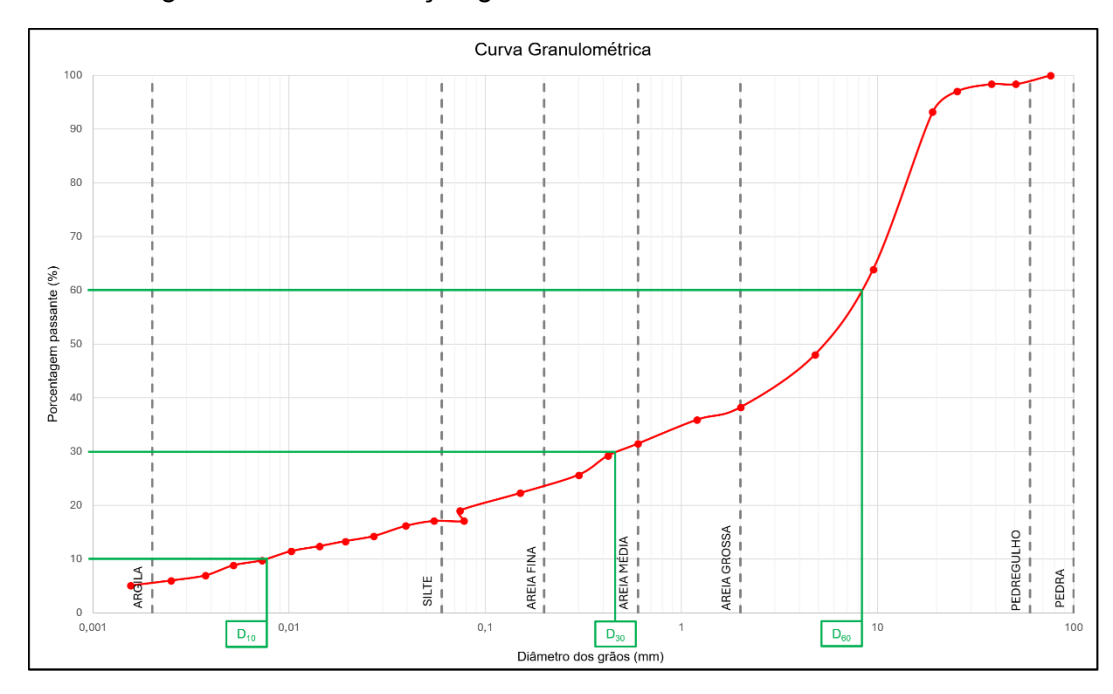
Tabela 21 - Dados para classificação SUCS

Dado	Valor
% de finos: material passante na peneira Nº 200	18,97 %
Limite de Liquidez – LL	44%
Limite de Plasticidade – LP	32%
Índice de Plasticidade – IP	12%

Fonte: Autor (2025).

A Figura 50 mostra a determinação gráfica dos diâmetros D₁₀, D₃₀ e D₆₀.

Figura 50 - Determinação gráfica dos diâmetros D₁₀, D₃₀ e D₆₀



De acordo com o gráfico, D10 = 0,0078 mm, D30 = 0,47 mm e D60 = 8,2 mm, de forma que os Coeficientes de Não Uniformidade e de Curvatura tenham seus valores calculados pelas equações 13 e 14, apresentadas no item 3.2.6.1.

$$CNU = \frac{D_{60}}{D_{10}} = \frac{8.2}{0,0078}$$
 \therefore $CNU = 1051,28$
 $CC = \frac{(D_{30})^2}{D_{10} \times D_{60}} = \frac{0.47^2}{0.0078 \times 8.2}$ \therefore $CC = 3.45$

O valor do Coeficiente de Não Uniformidade CNU = 1,051,28 indica que se trata de um solo não uniforme e o Coeficiente de Curvatura, CC = 3,45, por estar fora do intervalo considerado como bem graduado (1 < CC < 3) indica que o solo é mal graduado (Pinto, 2006, p. 66), porém apenas levemente, considerando o baixo valor acima do intervalo (0,45).

De posse destas informações utiliza-se a tabela para a classificação preliminar da amostra, conforme a Figura 51.

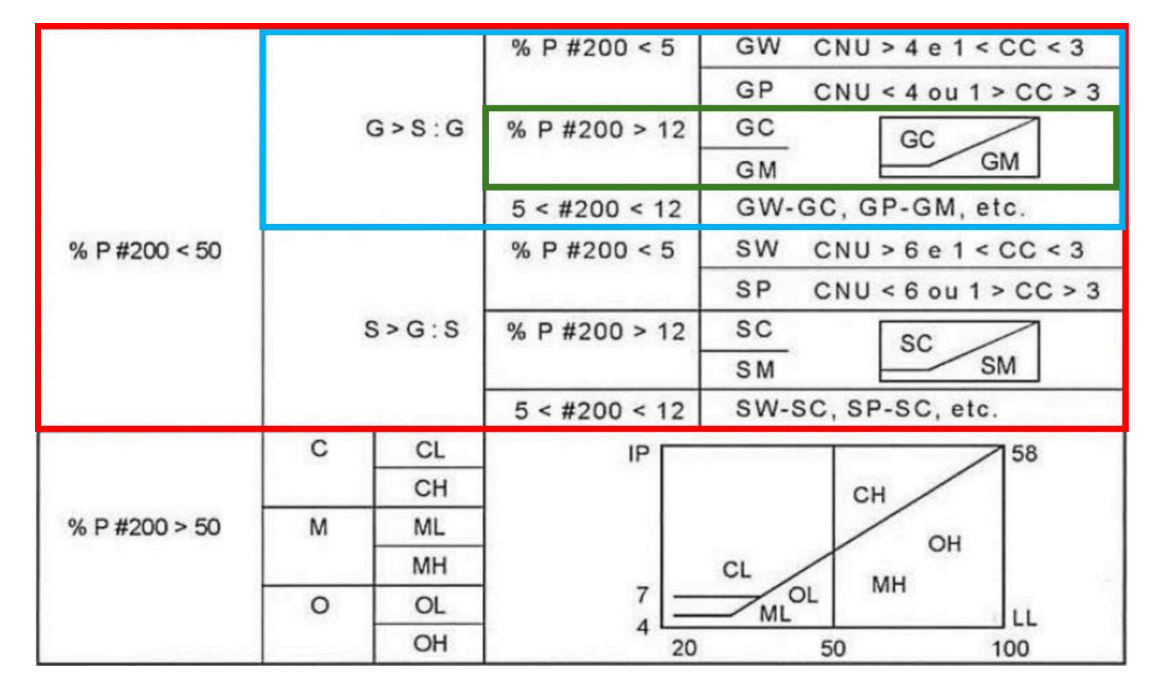


Figura 51 - Classificação SUCS, E. M. José Dani

Fonte: Autor, adaptado de Pinto, 2006, p. 70 (2025).

Novamente faz-se necessário o uso da Carta de Plasticidade, com base no Limite de Liquidez e Índice de Plasticidade para determinação do subgrupo GC ou GM, apresentada na Figura 52.

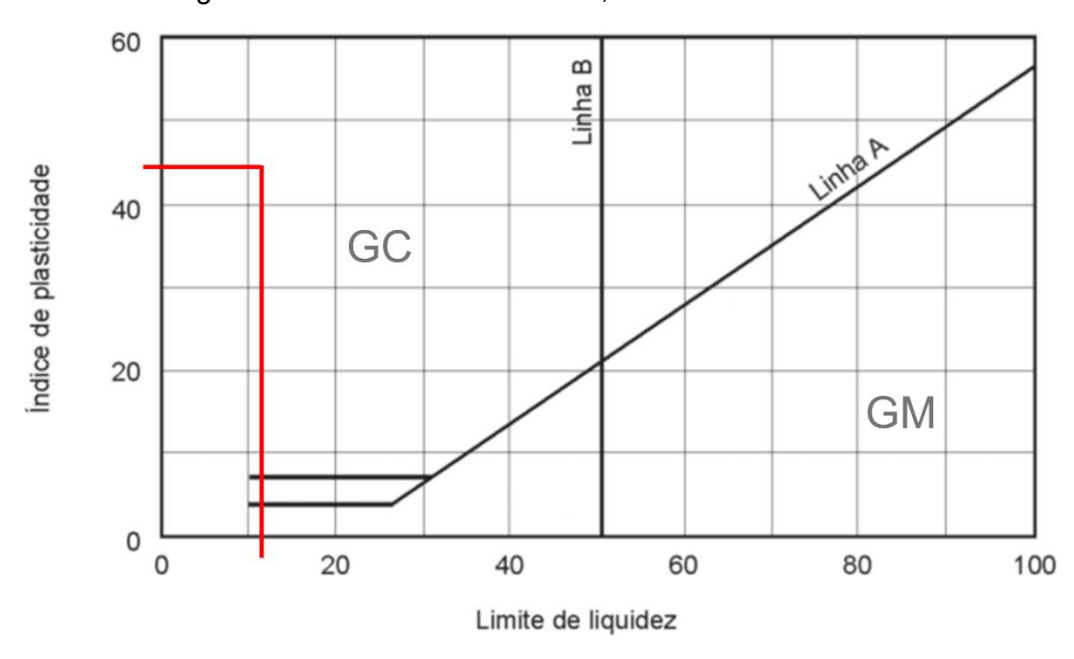


Figura 52 - Carta de Plasticidade, E.M. José Dani

Fonte: Autor, adaptado de Pinto, 2006, p. 68 (2025).

O solo da Estrada Municipal José Dani, de acordo com o sistema SUCS, é da categoria GC – Pedregulho argiloso não uniforme e mal graduado.

4.2.6.2 Classificação segundo o Sistema Rodoviário de Classificação – HRB

Neste método, calcula-se o Índice de Grupo para, juntamente com os dados da Tabela 21, efetuar a classificação.

$$IG = 0.2 \times a + 0.005 \times a \times c + 0.01 \times b \times d$$
 (15)

Sendo:
$$p = 18,97\%$$
; $se \ p < 35\%$ \therefore $p = 35$
 $a = p - 35 = 35 - 35$ \therefore $a = 0$
 $b = p - 15 = 35 - 15$ \therefore $b = 20$
 $c = LL - 40 = 44 - 40$ \therefore $c = 4$
 $d = IP - 10 = 12 - 10$ \therefore $d = 2$

$$IG = 0.2 \times a + 0.005 \times a \times c + 0.01 \times b \times d$$

$$IG = 0.2 \times 0 + 0.005 \times 0 \times 4 + 0.01 \times 20 \times 2$$

$$IG = 0.4 \quad \therefore \quad IG = 1$$

Seguindo o critério descrito no item 4.1.6.2, por eliminação, de cima para baixo e da esquerda para direita, o solo da Estrada Municipal é enquadrado no grupo A-2-7 (1), apresentado na Figura 53.

Materiais granulares Materiais siltosos e argilosos (p) Classificação geral (mais de 35% passando na (p) (35% ou menos passando na peneira nº 200) peneira de nº 200) A-7 A-7-5 A-4 A-5 A-6 A-2-7 A-1-a A-1-b A-2-6 A-2-5 A-7-6 Peneiração: % que passa: Nº 10 50 máx. Nº 40 30 máx. 50 máx. 51 min. Nº 200 (p) 15 máx. 25 máx. 10 máx. 35 máx. 35 máx. 35 máx. 36 mín. 36 mín. 36 min. 36 min. Características da fração que passa nº 40: Limite de Liquidez-LL - (%) 41 mín. 40 máx. 40 máx. 41 mín. 40 máx. 41 mín. Índice de Plasticidade IP - (%) NP 10 máx. 10 máx. 11 mín. 10 máx. 10 máx. 11 mín. 11 min. 6 máx. 11 mín. Índice de Grupo (IG) 0 0 8 máx. 12 máx. 16 máx. 20 máx. 4 máx. Materiais que Pedra britada Areia Areia e areia siltosa Solos siltosos Solos argilosos pedregulho e areia predominam ou argilosa Comportamento geral Excelente a bom Fraco a pobre como subleito

Figura 53 - Classificação HRB, E. M. José Dani

Fonte: Autor, adaptado de Senço, 2007, p. 206 (2025).

Segundo o sistema HRB, trata-se de uma Areia siltosa ou argilosa.

4.2.6.3 Classificação final

Novamente observa-se divergência entre os sistemas de classificação, e considerando a presença de 61,75% de pedregulhos na amostra, conforme indicado na Tabela 20, o sistema SUCS descreve este solo com maior fidelidade. Assim sendo o solo da Estrada Municipal José Dani é do tipo GC – Pedregulho argiloso não uniforme e mal graduado.

4.2.7 Ensaio de compactação

No ensaio de compactação da amostra da Estrada Municipal José Dani foram necessários seis pontos com incrementos de umidade para a obtenção do valor do teor de umidade ótima de compactação e massa específica seca máxima. A curva de compactação indicou um teor de 22% para a umidade ótima e uma massa específica aparente seca máxima de $\rho_s = 1,577~g/cm^3$. O gráfico com a curva de compactação é apresentado na Figura 54 e a planilha completa com todos os dados do ensaio encontra-se no Apêndice B.

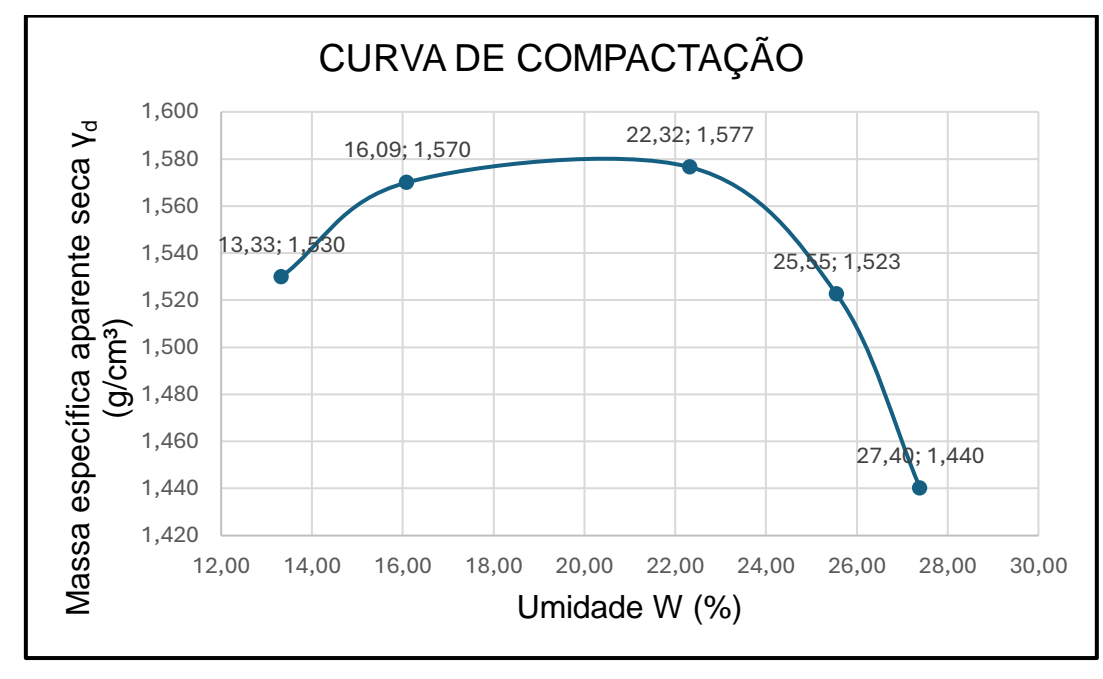


Figura 54 - Curva de compactação, E. M. José Dani

Fonte: Autor (2025).

Conforme mencionado no item 4.2.5, este ensaio foi realizado com substituição de material devido à porcentagem de material retido na peneira com abertura de 19,1 mm ter sido superior a 10%. Para este procedimento, foi utilizado um conjunto com as peneiras de 76,2 mm, 19,1 mm, 4,8 mm e o fundo. O material foi passado pelo conjunto e eventuais materiais retidos na peneira de 76,2 mm foram descartados. O material restante foi separado em bandejas, uma para o material passante na peneira de 4,8 mm, outra para o material retido nesta e outra para o material retido na peneira de 19,1 mm. O material retido na peneira de 19,1 mm foi pesado e substituído por igual quantidade do material retido na peneira de 4,8 mm. Esta quantidade de material

foi adicionada ao material passante na peneira de 4,8 mm e homogeneizada para realização do ensaio de compactação e posteriormente o ensaio do Índice de Suporte Califórnia. A Figura 55 apresenta o conjunto de peneiras montado sobre o agitador mecânico para a preparação do material com substituição.



Figura 55 - Peneiramento para substituição de material

Fonte: Autor (2025).

A Figura 56 apresenta a separação dos materiais após o peneiramento.



Figura 56 - Separação e substituição de material

4.2.8 Ensaio de Índice de Suporte Califórnia

O ensaio de ISC foi realizado em conformidade com as diretrizes da norma ABNT NBR 9895:2016. Com base nos resultados do ensaio de compactação, no qual foi determinada o teor de umidade ótima, foram moldados cinco corpos de prova, sendo um no teor de umidade ótima (Ponto 3), dois pontos com teores de umidade inferiores (Ponto 1 e Ponto 2) e mais dois pontos com teores acima da umidade ótima (Ponto 4 e Ponto 5). O ensaio fornece a capacidade de suporte do solo e a expansão sob condições de saturação. Os resultados para os cinco pontos estão expressos na Tabela 22.

Tabela 22 - Ensaio de ISC, E. M. José Dani

Ponto	Umidade (%)	Massa Específica Aparente Seca ρd (g/cm³)	Expansão (%)	ISC (%)
1	18,21	1,568	0,10	7
2	21,35	1,477	0,44	6
3	25,13	1,522	0,14	5
4	24,61	1,505	0,78	8
5	23,47	1,493	0,13	1

Fonte: Autor (2025).

O comportamento esperado para o ensaio de ISC é uma ordem crescente para os teores de umidade, um crescimento da massa específica aparente seca do ponto 1 ao 3 (ápice) seguido de um decrescimento nos pontos 4 e 5. Para expansão, quanto menor o teor de umidade do solo consequentemente maior será sua expansão, e viceversa. O valor do ISC deve ocorrer proporcionalmente ao crescimento e decrescimento da massa específica, crescendo do ponto 1 ao 2, atingindo seu ápice no ponto 3 e decrescendo nos pontos 4 e 5. Por razões lógicas, o ponto moldado com o teor de umidade ótima deveria apresentar o maior valor de massa específica e o maior valor de ISC.

Como se pode observar através dos valores apresentados na Tabela 22, o comportamento de todos os índices foi totalmente adverso ao esperado, o que denota

falha na execução do ensaio. Em condições normais este ensaio deveria ser refeito, atentando-se para identificação e consequente correção das prováveis causas dos erros observados. Por questões relativas à limitação do prazo para o cumprimento deste trabalho não foi possível repetir este ensaio. Embora os resultados obtidos possam conter inconsistências, foram apresentados neste trabalho para fins de registro.

Os gráficos que correlacionam os dados de massa específica, ISC e expansão em função dos teores de umidade evidenciam, de forma mais clara, a falha do ensaio, conforme apresentado na Figura 57.

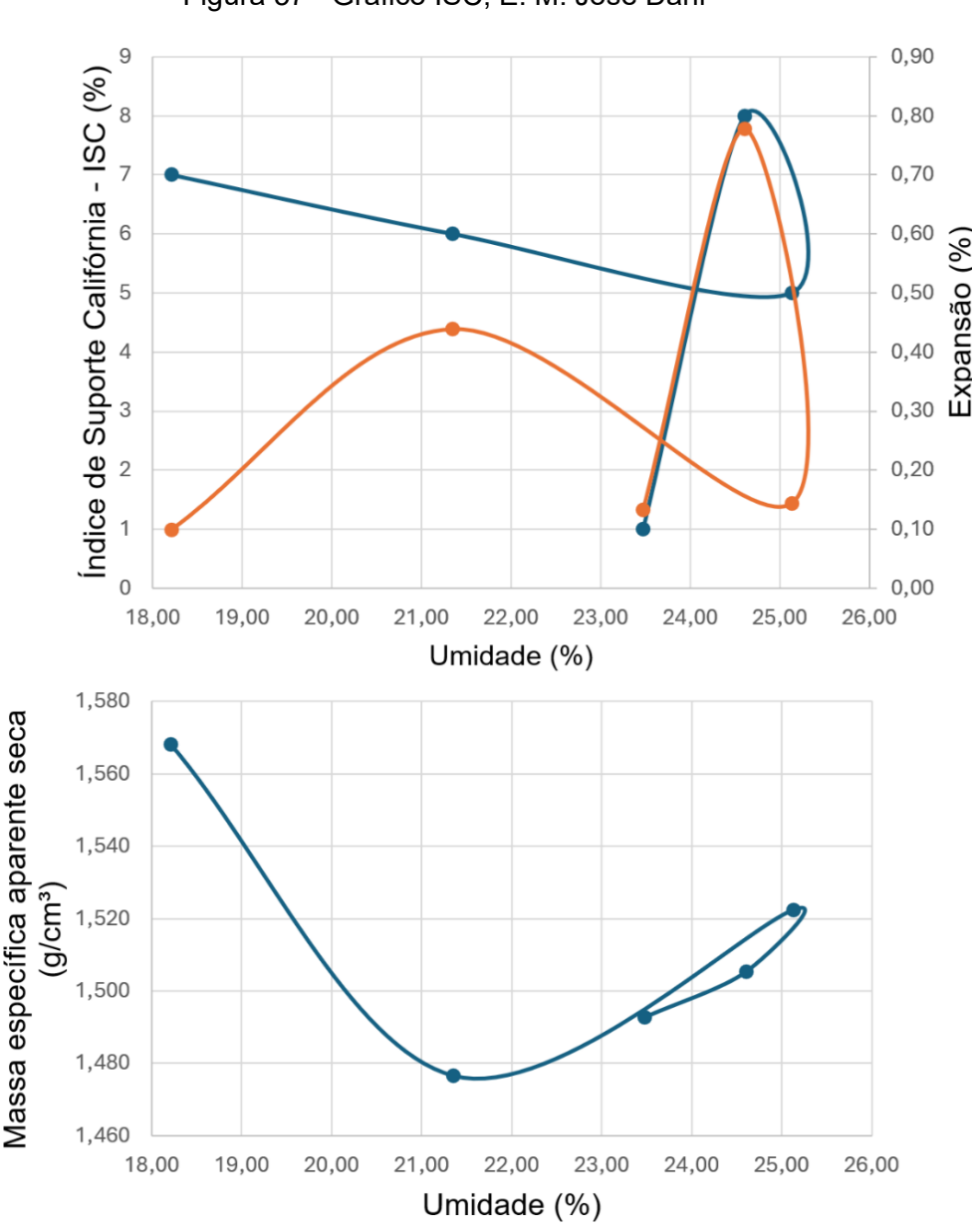


Figura 57 - Gráfico ISC, E. M. José Dani

4.2.9 Ensaio do Cone de Penetração Dinâmica - DCP

Foram realizados três ensaios com DCP, sendo um ensaio *in situ*, em três pontos próximos ao ponto de coleta de amostra, um ensaio em laboratório nos corpos de prova do ensaio de ISC, após serem colocados na prensa, totalizado cinco pontos. Por último, foi realizado o ensaio de DCP em um corpo de prova moldado em tubo de PCV, totalizando mais três pontos de ensaio.

4.2.9.1 Ensaio de DCP em laboratório, nos corpos de prova do ensaio de ISC

Este ensaio foi realizado utilizando dois critérios: o da norma ABNT NBR 17091:2023 e o da norma ASTM D6951/D6951M-09 (2015), devido ao caráter restritivo imposto pela norma brasileira através do Índice de Penetração Dinâmica (*I_{PD}*) como validador do ensaio. A norma brasileira claramente é baseada na norma norteamericana, visto que utiliza as mesmas equações de regressão, porém a norma ASTM não faz qualquer menção em relação a um valor mínimo para a razão entre a variação da penetração e o número de golpes (*I_{PD}*) para considerar o ensaio válido. Desta forma, os dados do ensaio de DCP nos corpos de prova do ensaio de CBR são apresentados de acordo com a norma ABNT e ASTM.

4.2.9.1.1 Ensaio com critérios da norma ABNT NBR 17091:2023

Os resultados deste ensaio são mostrados na Tabela 23.

Tabela 23 - Ensaio de DCP, critérios da norma ABNT NBR 17091:2023, E. M. José Dani

Ponto	Penet	ração	Nº de	I _{PD}	ISC	Nota
1 Onto	Inicial	Final	golpes	IPD		Nota
1	79	106	1	27	7	Ensaio inválido, I _{PD} > 17
2	99					Ensaio inválido, sem I _{PD}
3	47	102	1	55	3	Ensaio inválido, I _{PD} > 17
4	104					Ensaio inválido, sem IPD
5	88					Ensaio inválido, sem IPD

Os resultados erráticos eram esperados neste ensaio, haja visto que o ensaio de ISC estava incorreto e consequentemente os ensaios de DCP realizados nos mesmos corpos de prova não poderiam apresentar resultados satisfatórios. Nos pontos 1 e 3 foi possível obter um valor para o ISC, mesmo que considerados inválidos por não apresentarem IPD segundo os critérios da norma. Nos demais corpos a penetração inicial atravessou a altura do corpo de prova na totalidade, invalidando o ensaio. Curiosamente, se observarmos o ponto 1 tanto no ensaio de ISC quanto no ensaio de DCP, o valor obtido de 7% é idêntico para ambos, apesar das inconsistências presentes nos resultados do ensaio de CBR.

4.2.9.1.2 Ensaio de acordo com os critérios da norma ASTM D6951/D6951M-09

A norma ASTM D6951/D6951M-09 indica a realização dos cálculos de uma forma diferente da norma brasileira. Os cálculos são realizados com base na penetração e no número de golpes, porém a penetração por milímetro é obtida pela razão da penetração entre leituras e o número de golpes aplicados. A norma também utiliza um "fator de martelo", sendo 1 para martelos de 8 kg e 2 para martelos de 4,6 kg. O cálculo do ISC é feito através de um índice semelhante ao da norma brasileira, porém sem as restrições de valores aceitáveis. O valor do ISC pode ser obtido tanto pela equação de regressão quanto pela tabela de correlações que a norma traz.

Os valores obtidos estão indicados na Tabela 24.

Tabela 24 - Ensaio DCP, critérios ASTM D6951/D6951M-09, E. M. José Dani

Ponto	Nº de golpes	Penetração cumulativa (mm)	Penetração entre leituras (mm)	Penetração por golpe (mm)	Fator de martelo	Índice DCP	ISC (%)
1	1	106	106	106	1	106	1
2	0	99					
3	1	102	102	102	1	102	1
4	0	104					
5	0	88					

Igualmente, observa-se que os valores são imprecisos, uma vez que os ensaio de ISC, e consequentemente seus corpos de prova foram erroneamente executados.

4.2.9.2 Ensaio de DCP em laboratório, em corpo de prova moldado em tubo de PVC

O terceiro ensaio com o DCP, desta vez realizado em um corpo de prova moldado em um tubo de PVC com diâmetro nominal de 200 mm, com o teor de umidade ótima obtido no ensaio de compactação, de 22%. A massa de solo utilizada foi de 16.440 g e o volume do corpo de prova ficou em 9.510,19 cm³.

Para que o ensaio fosse realizado nas mesmas condições do ensaio de compactação, foi necessário calcular a energia de compactação utilizada naquele ensaio para que fossem reproduzidas no corpo de prova. O cálculo foi realizado através da equação 16, indicada por Pinto (2006, p. 84).

$$EC = \frac{M \times H \times Ng \times Nc}{V} \tag{16}$$

Onde: EC é a Energia de Compactação (g/cm²);

é a massa do soquete, valor padrão de 4.536 g (ABNT NBR 9895:2016, p. 9);

é a altura de queda do soquete, valor padrão de 457 mm(ABNT NBR 9895:2016, p. 9);

Ng é o número de golpes, mantido em 12, de acordo com a energia de compactação adotada (normal);

Nc é o número de camadas;

V é o volume do solo compactado (corpo de prova).

A expressão foi primeiramente utilizada para determinar o valor da energia de compactação utilizada no ensaio de compactação, e com o valor obtido, a expressão foi novamente utilizada para determinar o número de camadas necessárias. A Energia de Compactação do ensaio de compactação Proctor normal foi de 5.965,33 g/cm² e

com este valor chegou-se a 23 camadas para moldagem do corpo de prova deste ensaio.

Foram realizados três ensaios de DCP no corpo de prova, cujos resultados são mostrados na Tabela 25.

Tabela 25 - Ensaio DCP em corpo de prova de PVC, critério ABNT, E. M. José Dani

Ponto	Penetração		Nº de	laa	ISC	Nota
Tonto	Inicial	Final	golpes	I _{PD}	100	Nota
1	31	305	11	24,91	7	Ensaio inválido, IPD > 17
2	41	310	13	20,69	9	Ensaio inválido, I _{PD} > 17
3	27	297	12	22,50	8	Ensaio inválido, I _{PD} > 17

Fonte: Autor (2025).

O valor final do ISC é obtido pela média aritmética simples dos valores de cada ponto, chegando-se a um ISC médio de 8%. É necessário observar que os valores parciais e por consequência o valor médio final seriam considerados inválidos por não ter se atingido o IPD aceitável pela norma ABNT NBR 17091:2023.

O mesmo ensaio, utilizando os critérios da norma ASTM D6951/D6951M-09, resulta nos valores para o ISC ficam conforme a Tabela 26.

Tabela 26 - Ensaio DCP em corpo de prova de PVC, critério ASTM, E. M. José Dani

Ponto	Nº de golpes	Penetração cumulativa (mm)	Penetração entre leituras (mm)	Penetração por golpe (mm)	Fator de martelo	Índice DCP	ISC (%)
1	1	305	28	28	1	28	6
2	1	310	20	20	1	20	10
3	12	297	22	22	1	22	9

Fonte: Autor (2025).

O valor final do ISC, igualmente obtido por média aritmética fica em 8%.

Observa-se que o mesmo ensaio, segundo os dois critérios teriam um resultado idêntico, porém dentro dos parâmetros da norma brasileira, o ensaio seria considerado inválido, ao contrário da norma americana.

4.2.9.3 Ensaio de DCP in situ

O ensaio *in situ* com DCP na Estrada Municipal José Dani foi realizado em três pontos ao redor do local onde foi coletada a amostra de solo para os ensaios de laboratório. Os detalhes do ensaio estão relacionados na Tabela 27.

Tabela 27 – Resultados de CBR in situ com DCP, Estrada Municipal José Dani

Ensaio	Coordenadas do ponto de ensaio (UTM)	I PD	CBR (%)
I	Zona 22J, E475851 m, N6769885 m	7,14	32,30
II	Zona 22J, E475827 m, N6769989 m	13,10	16,37
III	Zona 22J, E475857 m, N6769863 m	9,52	23,42
	CBR MÉDIO		24,03

Fonte: Autor (2025).

Todos os pontos ensaiados tiveram o Índice de Penetração Dinâmica (I_{PD}) dentro dos valores considerados pela norma, que para o caso de solos granulares deve ser menor ou igual a 17 mm/golpe. A média dos resultados indica um ISC de 24%. A Figura 59 mostra o gráfico do ensaio.

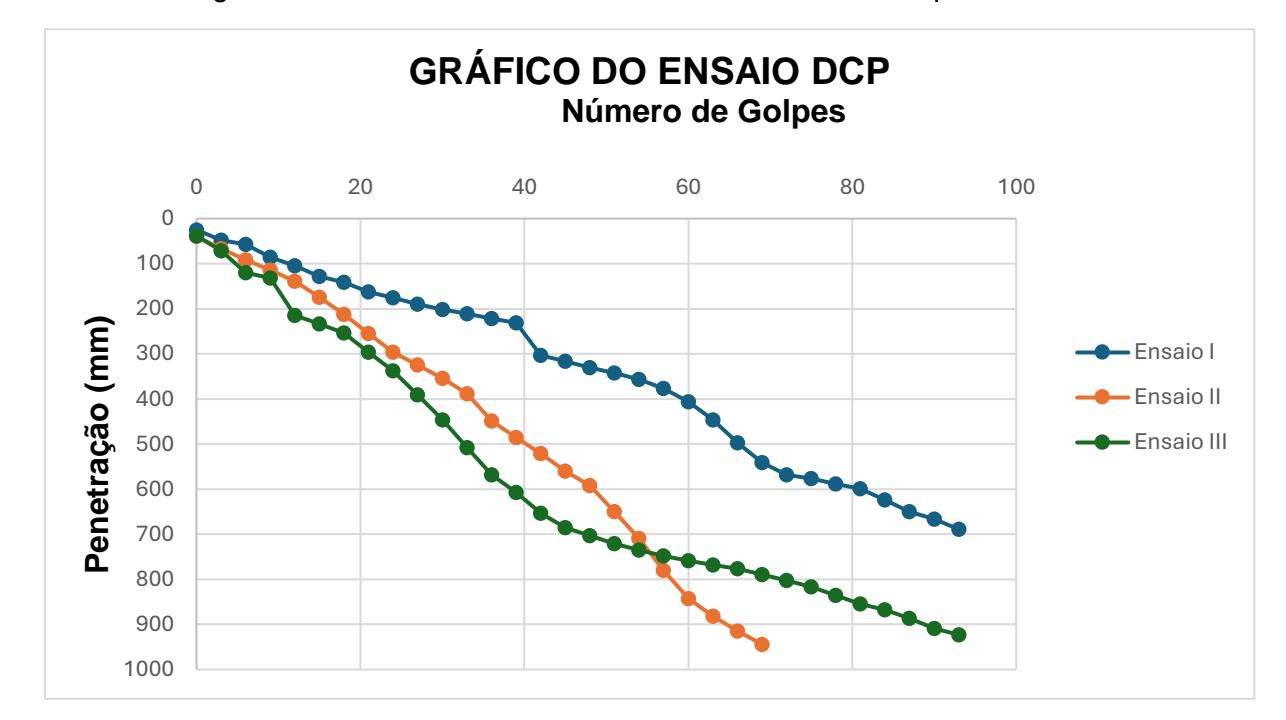


Figura 58 - Gráfico do ensaio DCP in situ, Estrada Municipal José Dani

Fonte: Autor (2025).

4.2.10 Análise dos resultados

O fato do ensaio de laboratório de ISC apresentar inconsistências impede uma análise comparativa dos resultados obtidos. Apesar disso, destaca-se o fato dos valores de ISC do ponto 1 do ensaio de laboratório ser idêntico ao resultado obtido através do DCP, embora não se descarte o fato de tratar-se apenas de uma coincidência aleatória.

Quanto aos resultados do ensaio de DCP *in situ*, era esperado que os valores obtidos fossem superiores aos registrados em laboratório, uma vez que o DCP avalia o solo no seu estado natural e na sua totalidade, ao passo que o ensaio de ISC em laboratório utiliza apenas uma fração segregada e alterada do solo.

4.3 ESTRADA MUNICIPAL ÂNGELO RUFFATO

Os resultados dos ensaios realizados com a amostra de solo da Estrada Municipal Ângelo Ruffato são a seguir apresentados.

4.3.1 Ensaio de umidade

Após o período de secagem, o ensaio de umidade foi realizado para determinação da umidade higroscópica do material, resultando em um teor de 9,80%, conforme indicado na Tabela 28.

Tabela 28 - Umidade higroscópica, E. M. Ângelo Ruffato

Ponto	N° da cápsula	Tara da cápsula (g)	Cápsula + solo úmido (g)	Massa do solo úmido (g)	Cápsula + solo seco (g)	Massa do solo seco (g)	Massa da água (g)	Umidade W (%)	Umidade média W _{med} (%)
1	33	11,79	30,25	18,46	28,61	16,82	1,64	9,75	
2	37	9,30	24,35	15,05	23,00	13,70	1,35	9,85	9,80
3	83	9,45	25,57	16,12	24,13	14,68	1,44	9,81	

Fonte: Autor (2025).

4.3.2 Limite de Liquidez

O ensaio indicou para a amostra um Limite de Liquidez de 45%, por aproximação para o número inteiro mais próximo, conforme a norma ABNT NBR 6459:2016. Os dados do ensaio estão na Tabela 29.

Tabela 29 - Limite de Liquidez, E. M. Ângelo Ruffato

Ponto	N° da cápsula	Tara da cápsula (g)	Cápsula + solo úmido (g)	Massa do solo úmido (g)	Cápsula + solo seco (g)	Massa do solo seco (g)	Massa da água (g)	Umidade W (%)	Número de golpes
1	4	8,44	17,36	8,92	14,78	6,34	2,58	40,69	42
2	18	10,64	21,22	10,58	18,11	7,47	3,11	41,63	33
3	26	11,54	21,43	9,89	18,44	6,90	2,99	43,33	27
4	62	11,51	20,23	8,72	17,50	5,99	2,73	45,58	23
5	71	10,78	21,97	11,19	18,27	7,49	3,70	49,40	15

Fonte: Autor (2025).

O resultado gráfico do LL para a Estrada Municipal Ângelo Ruffato é mostrado na Figura 60.

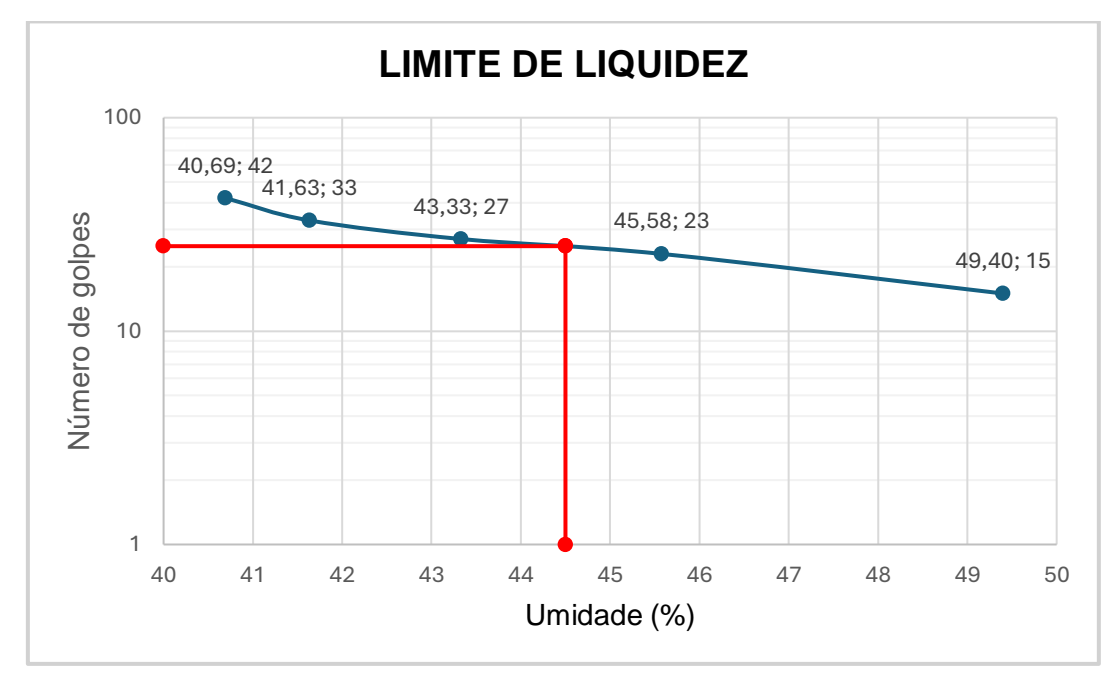


Figura 59 - Limite de Liquidez, E. M. Ângelo Ruffato

Fonte: Autor (2025).

4.3.3 Limite de Plasticidade

O Limite de Plasticidade para a amostra ficou em 31%. Os dados do ensaio estão indicados na Tabela 30.

Tabela 30 - Limite de Plasticidade, E. M. Ângelo Ruffato

Ponto	N° da cápsula	Tara da Cápsula (g)	Cápsula + solo úmido (g)	Peso do solo úmido (g)	Cápsula + solo seco (g)	Peso do solo seco (g)	Peso da água (g)	Umidade (%)	Teor de umidade médio (%)
1	13	11,98	12,92	0,94	12,70	0,72	0,22	30,56	
2	25	10,69	11,45	0,76	11,26	0,57	0,30	33,33	
3	63	8,87	9,70	0,83	9,50	0,63	0,20	31,75	31,44
4	70	8,67	9,74	1,07	9,49	0,82	0,25	30,49	
5	86	9,24	10,21	0,97	9,98	0,74	0,23	31,08	

4.3.4 Índice de Plasticidade

Calculado através da equação 22, a amostra apresenta um Índice de Plasticidade de 14%.

$$IP = LL - LP = 45\% - 31\%$$
 : $IP = 14\%$

Segundo a classificação qualitativa de Burmister (Tabela 10), a amostra apresenta uma plasticidade média.

4.3.5 Massa Específica

Através do ensaio foi determinada uma massa específica $\rho_s = 2,272~g/cm^3$, porém é necessário observar que os valores não atendem aos critérios considerados aceitáveis pela norma ABNT NBR 17212:2025. O ensaio deveria ser repetido, porém o prazo para entrega deste trabalho impossibilitou a execução de um novo ensaio. Os resultados são mostrados na Tabela 31.

Tabela 31 - Massa Específica, E. M. Ângelo Ruffato

Ensaio	1	2	3
	,		
Ms (g):	50,09	50,05	50,07
Início da imersão (h):	13:42	13:42	13:42
Fim da imersão (h):	09:51	10:13	10:59
M2 (g):	717,99	689,49	680,26
T (°C)	19	19	19
PW(T):	0,99984	0,99984	0,99984
M1 (g):	688,50	661,47	651,90
Massa específica ρ_s (g/cm³):	2,216	2,272	2,328
Massa específica ρ _s (g/cm³):		2,272	

4.3.6 Análise Granulométrica

Em caso análogo às amostras anteriores, o peneiramento da amostra indicou um percentual de 23,59% de material retido na peneira com abertura de 19,1 mm, novamente sendo enquadrado na Tabela 1 da norma ABNT NBR 6457:2024, Nota a e na Tabela 1 da norma ABNT NBR 9895:2016, Nota a, conforme o item 4.1.5. Os ensaios de compactação e ISC foram feitos com substituição de material, com a quantidade de material retido na peneira de 19,1 mm substituído por igual quantidade de material retido na peneira de 4,8 mm. O resumo da granulometria para amostra da Estrada Municipal Ângelo Ruffato está disposto na Tabela 32.

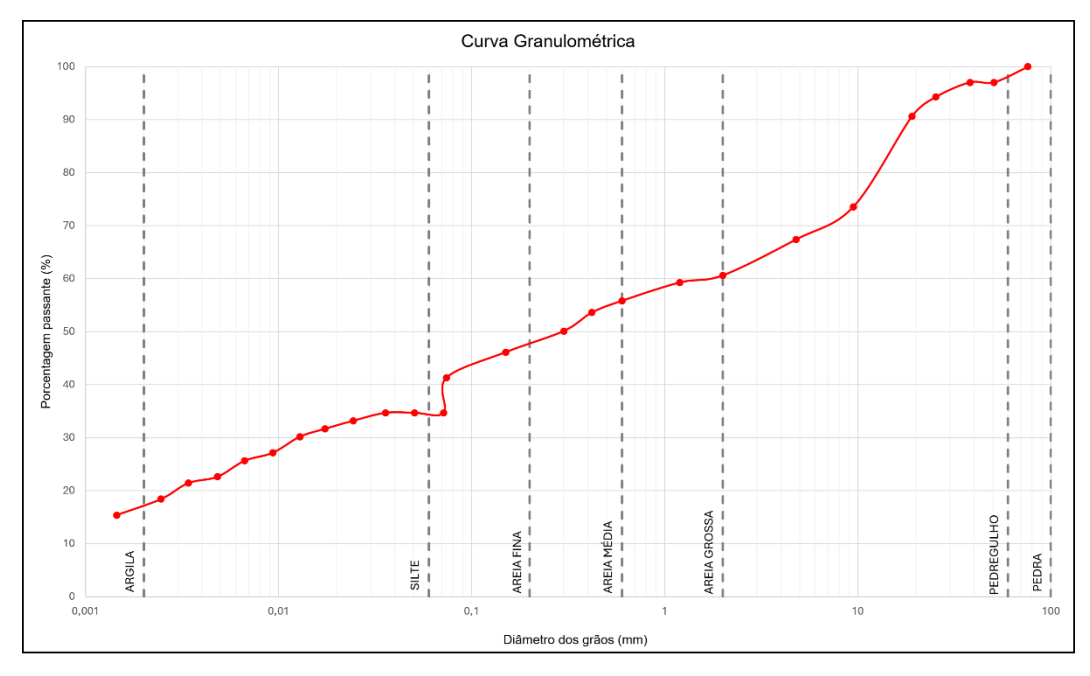
Tabela 32 - Resumo da granulometria, E. M. Ângelo Ruffato

	RESUMO DA GRANULOMETRIA (%)									
Pedregulho	Areia grossa	Areia média	Areia fina	Silte + Argila	TOTAL					
(>2,00 mm)	(2,00–0,6mm)	(0,6-0,2mm)	(0,2-0,06mm)	(<0,074mm)	TOTAL					
39,35	4,80	5,70	8,82	41,32	100,00					

Fonte: Autor (2025).

O gráfico com a curva granulométrica obtida através do ensaio é apresentado na Figura 60.

Figura 60 - Curva granulométrica, E. M. Ângelo Ruffato



4.3.7 Classificação do solo

Foram utilizados os sistemas SUCS e HRB para classificação do solo, sendo que a classificação final foi adotada de acordo com o sistema que descrever com mais propriedade as características da amostra analisada.

4.3.7.1 Classificação pelo Sistema Unificado de Classificação dos Solos – SUCS

Os dados para classificação SUCS estão compilados na Tabela 33.

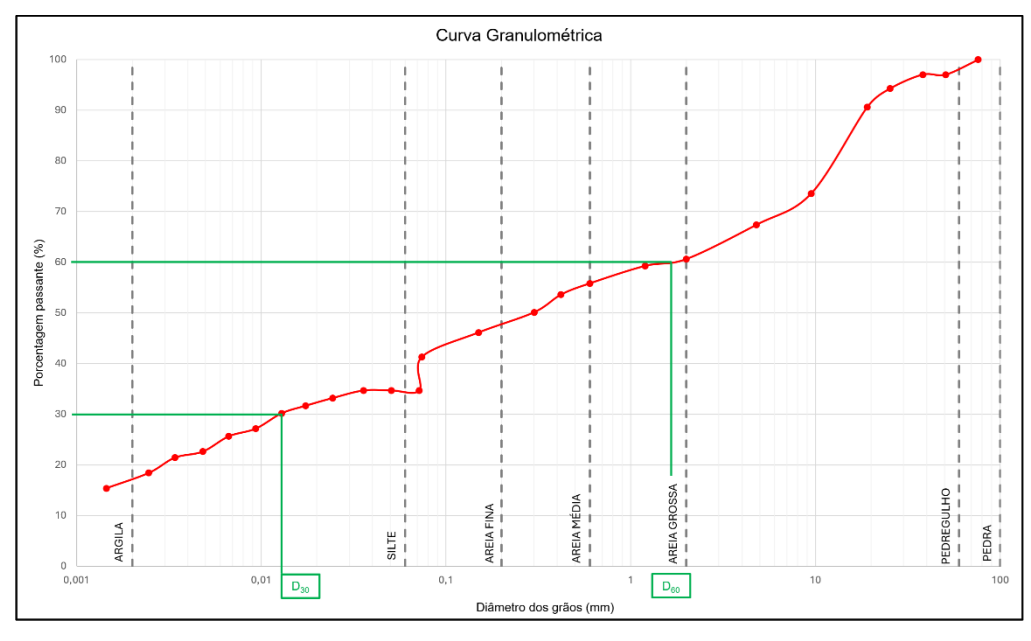
Tabela 33 - Dados para classificação SUCS

Dado	Valor
% de finos: material passante na peneira Nº 200	41,32 %
Limite de Liquidez – LL	45%
Limite de Plasticidade – LP	31%
Índice de Plasticidade – IP	14%

Fonte: Autor (2025).

A Figura 61 apresenta a determinação gráfica dos diâmetros D₁₀, D₃₀ e D₆₀.

Figura 61 - Determinação gráfica dos diâmetros D₁₀, D₃₀ e D₆₀



A amostra não atingiu o percentual correspondente ao diâmetro efetivo – D₁₀., impossibilitando o cálculo dos Coeficientes de Não Uniformidade e Curvatura. A Figura 62 apresenta a classificação preliminar SUCS.

% P #200 < 5 GW CNU > 4 e 1 < CC < 3 GP CNU < 4 ou 1 > CC > 3 GC G > S : G % P #200 > 12 GM GM GW-GC, GP-GM, etc. 5 < #200 < 12 % P#200 < 50 % P #200 < 5 SW CNU > 6 e 1 < CC < 3 CNU < 6 ou 1 > CC > 3 SC S > G : S % P #200 > 12 SC SM SM 5 < #200 < 12 SW-SC, SP-SC, etc. CL CH CH % P #200 > 50 M ML OH MH МН 0 OL 100

Figura 62 - Classificação SUCS, E. M. Ângelo Ruffato

Fonte: Autor, adaptado de Pinto, 2006, p. 70 (2025).

A Figura 64 mostra a determinação, através da Carta de Plasticidade, do subgrupo GC ou GM ao qual a amostra pertence.

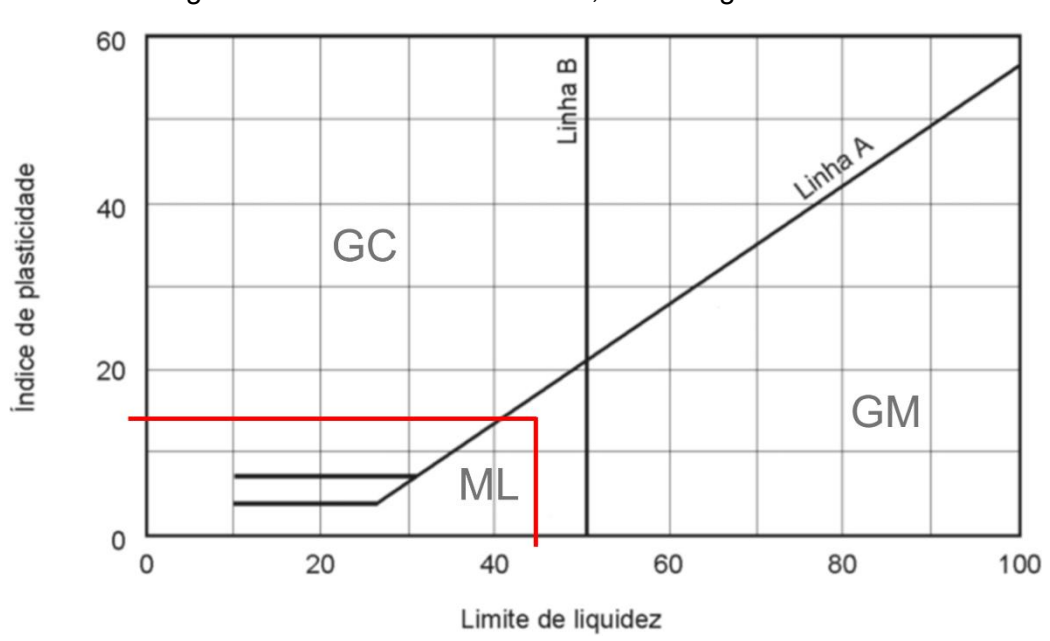


Figura 63 - Carta de Plasticidade, E. M. Ângelo Ruffato

Fonte: Autor, adaptado de Pinto, 2006, p. 70 (2025).

De acordo com o sistema SUCS, a amostra é do tipo GM – Pedregulho siltoso com baixa compressibilidade. A observação visual da curva granulométrica denota descontinuidade.

4.3.7.2 Classificação segundo o Sistema Rodoviário de Classificação - HRB

O Índice de grupo para esta classificação é obtido através da equação 15.

Onde:
$$p = 39,35\%$$
; $se \ p < 35\%$ \therefore $p = 39,35$
 $a = p - 35 = 39,35 - 35$ \therefore $a = 4,35$
 $b = p - 15 = 39,35 - 15$ \therefore $b = 24,35$
 $c = LL - 40 = 45 - 40$ \therefore $c = 5$
 $d = IP - 10 = 14 - 10$ \therefore $d = 4$
 $IG = 0,2 \times a + 0,005 \times a \times c + 0,01 \times b \times d$
 $IG = 1,95$ \therefore $IG = 2$

Pela classificação do sistema HRB, a amostra pertence ao grupo A-7-5 (2). Segundo Senço (2007, p. 205), são solos com semelhantes aos do grupo A-6, podendo conter solos argilosos, areia e pedregulho. São sujeitos à grandes variações de volume, com alto grau de instabilidade e fracos para subleito.

A Figura 65 mostra a tabela com a classificação do solo em questão.

Materiais granulares Materiais siltosos e argilosos (p) (mais de 35% passando na Classificação geral (p) (35% ou menos passando na peneira nº 200) peneira de nº 200) A-1 A-2 A-7 A-7-5 A-5 A-6 Grupo A-1-a A-1-b A-3 A-2-4 A-2-5 A-2-6 A-2-7 A-7-6 Peneiração: % que passa: Nº 10 50 máx. Nº 40 30 máx. 50 máx. 51 mín. Nº 200 (p) 15 máx. 25 máx. 10 máx. 35 máx. 35 máx. 35 máx. 35 máx. 36 mín. 36 mín. 36 mín. Características da fração que passa nº 40: Limite de Liquidez-LL - (%) 40 máx. 41 mín. 40 máx. 41 mín. 40 máx. 41 mín. Índice de Plasticidade NP IP - (%) 6 máx. 10 máx. 10 máx. 11 mín. 11 mín. 10 máx. 10 máx. 11 min. Índice de Grupo (IG) 0 8 máx. 12 máx. 16 máx 20 máx 0 0 4 máx. Materiais que Pedra britada Areia Areia e areia siltosa Solos siltosos Solos argilosos predominam pedregulho e areia fina ou argilosa Comportamento geral Excelente a bom Fraco a pobre como subleito Processo de classificação: Com os dados de laboratório, iniciar a classificação da esquerda para a direita, por eliminação O primeiro grupo da esquerda que satisfizer os dados será o grupo procurado

Figura 64 - Classificação HRB, E. M. Ângelo Ruffato

Solos A-7: Se IP ≤ LL - 30 será A-7-5; Se IP > LL-30, será A-7-6.

Fonte: Autor, adaptado de Senço, 2007, p. 206 (2025).

4.3.7.3 Classificação final

Novamente, a classificação SUCS aparenta descrever de forma mais fidedigna as qualidades da amostra, sendo considerada como GM - Pedregulho siltoso com baixa compressibilidade.

4.3.8 Ensaio de compactação

O ensaio de compactação foi desenvolvido com substituição de material, em virtude da quantidade retida na peneira de 19,1 mm. O procedimento para substituição de material foi realizado conforme descrito anteriormente no item 4.2.7. O ensaio indicou um teor de umidade ótima de 22% e uma massa específica aparente seca máxima de $\rho_s = 1,553 \ g/cm^3$. O gráfico é apresentado na Figura 65.

CURVA DE COMPACTAÇÃO 22,03; 1,553 1,560 Massa específica aparente seca γ_d 1,540 24,26; 1,511 1,520 20,34; 1 1,500 1,480 16,58; 1,465 1,460 1,440 1,420 1,400 21,00 23,00 15,00 17,00 19,00 25,00 27,00 29,00 Umidade W (%)

Figura 65 - Curva de compactação, E. M. Ângelo Ruffato

Fonte: Autor (2025).

4.3.9 Ensaio de Índice de Suporte Califórnia

O ensaio foi realizado de acordo com os procedimentos descritos no item 4.2.8. A Tabela 34 resume os resultados dos valores obtidos para ponto.

Tabela 34 - Ensaio ISC, E. M. Ângelo Ruffato

Ponto	Umidade (%)	Massa Específica Aparente Seca ρd (g/cm³)	Expansão (%)	ISC (%)
1	18,99	1,465	0,53	6
2	20,77	1,523	0,42	5
3	23,12	1,527	0,35	7
4	24,23	1,541	0,29	2
5	26,69	1,478	0,32	1

A Figura 66 apresenta a expressão gráfica dos resultados.

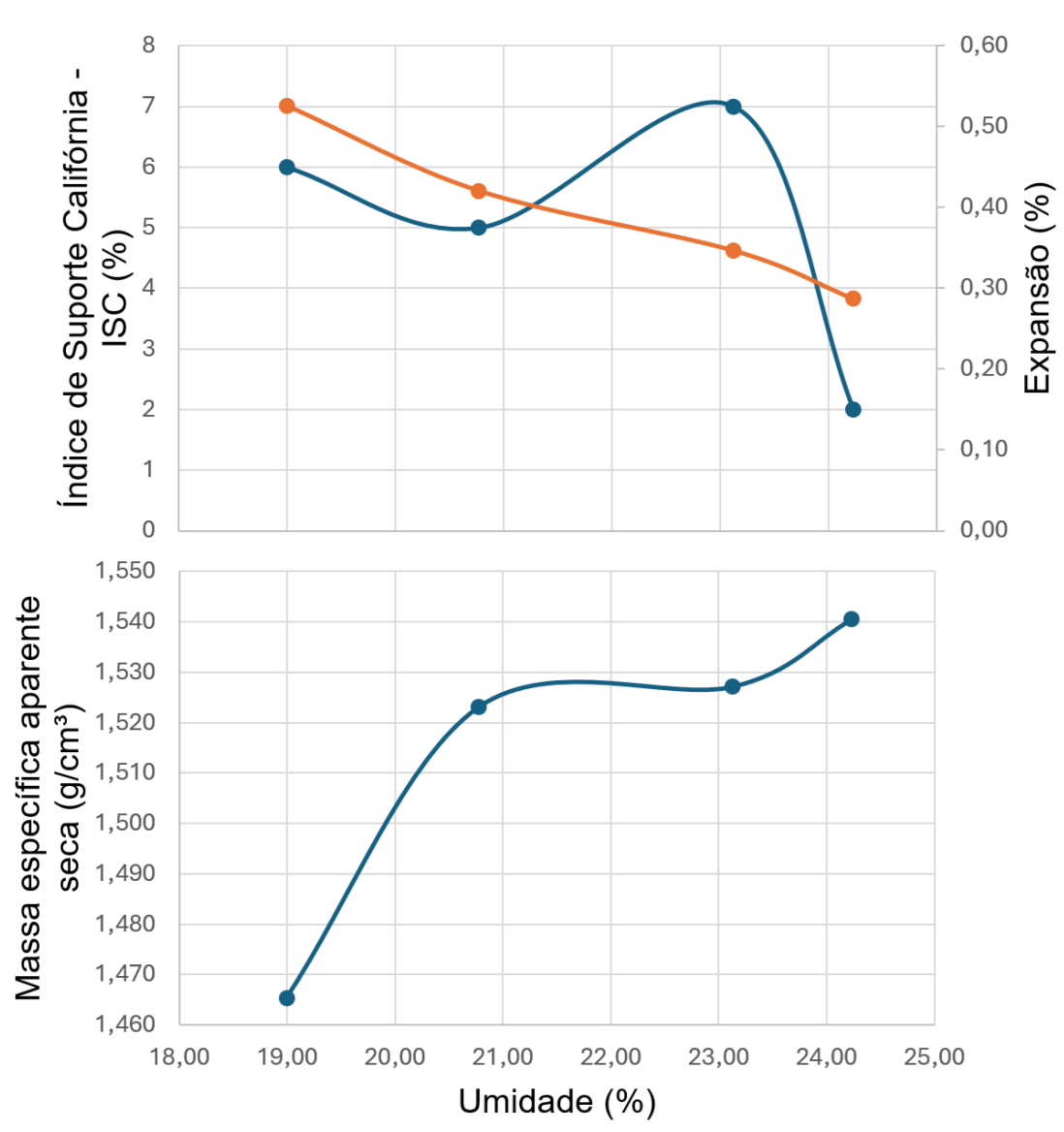


Figura 66 - Gráficos ISC, E. M. Ângelo Ruffato

Fonte: Autor (2025).

4.3.10 Ensaio do Cone de Penetração Dinâmica - DCP

Os ensaios com o DCP foram realizados nos corpos de prova do ensaio de ISC, em um molde feito com tubo de PVC, além do ensaio realizado *in situ*, cujos resultados estão apresentados individualmente.

4.3.10.1 Ensaio de DCP em laboratório, nos corpos de prova do ensaio de ISC

Considerando a questão da validação do ensaio através do IPD, de acordo com a norma ABNT NBR 17091:2023, o ensaio foi realizado e os resultados analisados sob os critérios da norma brasileira e da norma ASTM D6951/D6951M-09 (2015).

4.3.10.1.1 Ensaio com critérios da norma ABNT NBR 17091:2023

A Tabela 35 mostra os resultados segundo os critérios da norma brasileira.

Tabela 35 - Ensaio de DCP, critérios da norma ABNT NBR 17091:2023, E. M. Ângelo Ruffato

Ponto	Penet	ração	Nº de	I _{PD}	ISC	Nota
Fonto	Inicial	Final	golpes	IPD	130	Nota
				-		
1	37	100	9	25,50	7	Ensaio inválido, I _{PD} > 17
2	95					Ensaio inválido, sem I _{PD}
3	48	105	1	57	3	Ensaio inválido, I _{PD} > 17
4	74	104	1	30	6	Ensaio inválido, I _{PD} > 17
5	75					Ensaio inválido, sem I _{PD}

Fonte: Autor (2025).

4.3.10.1.2 Ensaio DCP, critérios ASTM D6951/D6951M-09, E. M. Ângelo Ruffato

Os mesmos resultados mostrados na Tabela 35 foram analisados de acordo com a norma norte-americana, cujos valores são mostrados na Tabela 36.

Tabela 36 - Ensaio DCP, critérios ASTM D6951/D6951M-09, E. M. Ângelo Ruffato (continua)

Ponto	Nº de golpes	Penetração cumulativa (mm)	Penetração entre leituras (mm)	Penetração por golpe (mm)	Fator de martelo	Índice DCP	ISC (%)
1	1	88	23	23	1	23	8

(conclusão)

Ponto	Nº de golpes	Penetração cumulativa (mm)	Penetração entre leituras (mm)	Penetração por golpe (mm)	Fator de martelo	Índice DCP	ISC (%)
1	1	88	23	23	1	23	8
2	0	95					
3	1	105	105	105	1	105	1
4	1	104	104	104	1	104	1
5	0	75					

Fonte: Autor (2025).

A comparação entre os resultados analisados conforme os critérios das duas normas revela a presença de imprecisões em ambos os casos, destacando-se, por exemplo, que os pontos 2 e 5 não apresentaram valores de penetração representativos para o cálculo do ISC. Considerando ambos os ensaios realizados nos corpos de prova do ensaio de ISC, é possível concluir que o ensaio de DCP não é válido para ser realizado em corpos de prova nestas condições, pois é necessário que a haste atinja uma determinada profundidade de penetração – o que significa que o corpo de prova requer uma altura compatível para a precisão do ensaio.

Outra hipótese poderia estar relacionada à energia de compactação utilizada, que para todos os ensaios deste trabalho foi a energia normal, com a aplicação de doze golpes com o soquete para a compactação e moldagem dos corpos. Uma possibilidade a ser explorada em estudos futuros é a utilização de uma energia de compactação distinta, preferencialmente a energia modificada. Ressalta-se, contudo, que essa abordagem deverá ser objeto de novas investigações.

4.3.10.2 Ensaio de DCP em laboratório, em corpo de prova moldado em tubo de PVC

Para este terceiro ensaio novamente foi moldado um corpo de prova em um tubo de PVC com diâmetro nominal de 200 mm. O teor de umidade de moldagem utilizado foi de 22%, correspondente à umidade ótima de compactação anteriormente

determinada. Foi utilizada uma massa de solo de 16.130 g e o volume do corpo de prova ficou em 9.371,45 cm³. Igualmente foi adotada a energia de compactação Proctor normal, determinada por meio da Equação 16. A partir dessa equação, calculou-se que seriam necessárias 23 camadas para alcançar a energia desejada, aplicando-se 12 golpes de soquete por camada. Os resultados obtidos foram analisados com base nos critérios estabelecidos tanto pela norma ABNT NBR 17091:2023 quanto pela norma ASTM D6951/D6951M-09 (2015).

Tabela 37 - Ensaio de DCP em corpo de prova de PVC, critério ABNT, E. M. Ângelo Ruffato

Ponto	Penet	ração	Nº de	I _{PD} ISC	Nota					
Fonto	Inicial	Final	golpes	IPD	100	100		100	Nota	Nota
1	83	305	4	55,50	3	Ensaio inválido, I _{PD} > 17				
2	88	295	4	51,75	3	Ensaio inválido, I _{PD} > 17				
3	89	310	4	55,25	3	Ensaio inválido, I _{PD} > 17				

Fonte: Autor (2025).

Os resultados analisados sob os critérios da norma norte-americana são apresentados na Tabela 38.

Tabela 38 - Ensaio de DCP em corpo de prova de PVC, critério ASTM, E. M. Ângelo Ruffato

Ponto	Nº de golpes	Penetração cumulativa (mm)	Penetração entre leituras (mm)	Penetração por golpe (mm)	Fator de martelo	Índice DCP	ISC (%)
1	1	305	30	30	1	30	6
2	1	295	55	55	1	55	3
3	1	310	35	35	1	35	5

Fonte: Autor (2025).

4.3.11 Ensaio de DCP in situ

O ensaio *in situ* com DCP foi realizado em três pontos próximos local de coleta da amostra para ensaio em laboratório. Os resultados do ensaio estão indicados na Tabela 39.

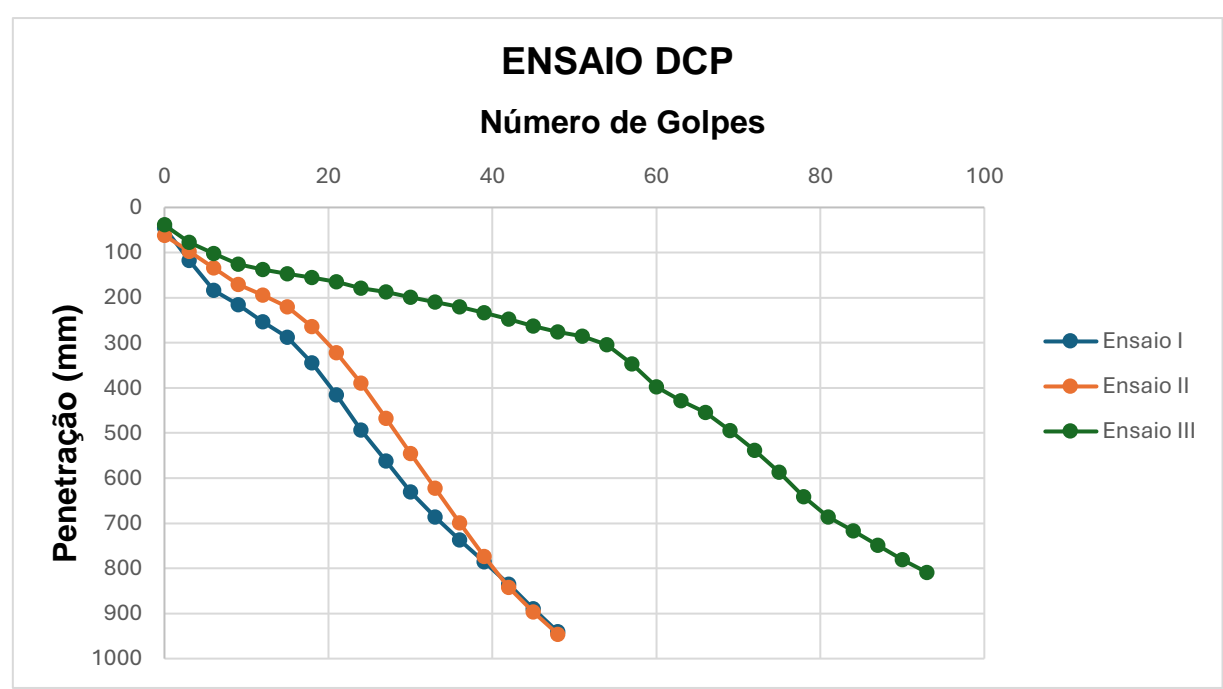
Tabela 39 - Resultados de CBR in situ com DCP, Estrada Municipal Ângelo Ruffato

Ensaio	Coordenadas do ponto de ensaio (UTM)	I _{PD}	CBR (%)
I	Zona 22J, E475851 m, N6769885 m	18,67	11,01
II	Zona 22J, E475827 m, N6769989 m	18,42	11,18
III	Zona 22J, E475857 m, N6769863 m	8,28	27,37
	CBR		27,37

Fonte: Autor (2025).

No ensaio de campo na E. M. Ângelo Ruffato, apenas um dos ensaios atendeu aos critérios da norma, ficando com um IPD abaixo de 17. Os pontos 1 e 2, apesar de terem valores de CBR calculados, segundo a norma não seriam válidos. Sendo considerado somente o ponto 3 válido, o CBR para o local de coleta da Estrada Municipal Ângelo Ruffato é de 27%. A Figura 68 mostra o gráfico do ensaio.

Figura 67 - Gráfico DCP in situ, E. M. Ângelo Ruffato



Fonte: Autor (2025).

4.3.12 Análise dos resultados

Os resultados do ensaio de ISC em laboratório aparentemente estão coerentes, com exceção de pequenos desvios. Os ensaios com o DCP nos corpos de prova, porém, não apresentaram resultados coerentes com os resultados do ensaio de ISC. A Tabela 40 compara os resultados dos ensaios para uma melhor visualização.

Tabela 40 - Resultados comparados de ISC e DCP nos corpos de prova do ISC

Ponto	ISC – Ensaio de	ISC – Ensaio com DC	P em Laboratório (%)
Polito	Laboratório (%)	Critério ABNT	Critério ASTM
1	6	7	8
2	5		
3	7	3	1
4	2	6	1
5	1		

Fonte: Autor (2025).

É possível observar que, com exceção do Ponto 1, cujos valores dos ensaios possuem maior proximidade, todos os demais são demasiadamente díspares, sem contar o fato de que para os Pontos 2 e 5 não foram obtidos valores representativos nos ensaios com DCP, visto que a penetração inicial, em ambos os casos, atravessou de 80 a 100% da altura do corpo de prova. Uma correta avaliação sobre as possíveis causas das disparidades dos resultados somente poderá ser feita com a repetição dos ensaios e comparação dos resultados.

As discrepâncias entre os resultados não se limitaram aos ensaios nos corpos de prova submetidos à imersão de 96 horas para o ensaio laboratorial de ISC. Os corpos de prova moldados nos tubos de PVC, com o mesmo teor de umidade ótima do ensaio Proctor normal, e sem terem sido submetidos à imersão também apresentaram distanciamentos consideráveis nos resultados. Para uma melhor análise, a Tabela 41 relaciona os resultados dos ensaios com o DCP nos corpos de prova moldados em tubos de PVC com diâmetros nominais de 20mm.

Tabela 41 – Resultados dos ensaios de DCP em corpos de prova com tubo de PVC

Ponto	ISC, critério ABNT (%)	ISC, critério ASTM (%)
1	4	6
2	4	10
3	4	9

Fonte: Autor (2025).

Os resultados do ensaio com o DCP nos corpos de prova moldados em tubos de PVC, segundo os critérios da norma ABNT NBR 17091:2032 mostraram-se coerentes, porém no caso do solo da Estrada Municipal Ângelo Ruffato, quando calculados de acordo com os critérios da norma ASTM D6951/D6951M-09 (2015) mostraram-se discrepantes entre si e em relação aos resultados obtidos de acordo com os critérios da norma brasileira.

Vários fatores podem ter contribuído para resultados desconformes, desde falhas na execução dos ensaios até as próprias características dos materiais. Foi cogitada a possibilidade da imersão dos corpos de prova terem tido alguma influência nos resultados, porém esta hipótese poderia ser desconsiderada, visto que os ensaios realizados nos corpos de prova moldados nos tubos de PVC também apresentaram discrepância entre os valores. Entende-se que para uma segura avaliação e obtenção de respostas para os resultados divergentes, os ensaios aqui realizados devam ser repetidos para que, na medida do possível, possam ser identificadas as prováveis causas de tais divergências.

5 CONCLUSÕES E CONSIDERAÇÕES FINAIS

A fabricação do equipamento de Cone de Penetração Dinâmica – DCP foi realizada com sucesso, atendendo aos requisitos técnicos estabelecidos para sua operação. Embora o projeto tenha sido fundamentado nas especificações disponíveis na normativa brasileira vigente, a escassez de detalhes técnicos específicos na referida regulamentação demandou a busca por informações complementares em documentação internacional. Essa abordagem permitiu assegurar a conformidade do equipamento para a adequada utilização em ensaios para determinação do Índice de Suporte Califórnia – ISC do solo *in situ*.

Foram realizados os procedimentos de preparação das amostras seguidos dos ensaios prévios de caracterização, classificação e compactação que constituíram as etapas essenciais para a condução dos testes de ISC e DCP nos corpos de prova utilizados na avaliação de resistência do solo. Todos os ensaios seguiram as diretrizes das normas aplicáveis, e essas etapas permitiram obter informações detalhadas sobre as propriedades físicas e mecânicas das amostras, garantindo que as condições de preparação e compactação estivessem adequadas para a realização dos ensaios subsequentes.

Os ensaios de ISC e DCP foram conduzidos de acordo com os procedimentos estabelecidos, seguindo normas e critérios técnicos pertinentes às metodologias adotadas. No entanto, os resultados obtidos apresentaram-se insatisfatórios e insuficientes para estabelecer uma correlação significativa entre as duas variáveis. Essa limitação pode estar relacionada às condições específicas das amostras, que devido às suas características físicas e composição granulométrica, foi necessário realizar os ensaios de compactação e ISC com substituição de material. Uma provável causa para a falha nos resultados obtidos está relacionada à homogeneização das amostras durante o processo de substituição de material. A inadequada uniformidade na preparação das amostras pode ter comprometido a consistência das propriedades físicas e mecânicas, influenciando negativamente a representatividade dos ensaios realizados. Outra provável causa para a falha nos ensaios de DCP está relacionada à energia de compactação adotada. Se ao invés da energia normal se tivesse empregado a energia modificada, é possível que os resultados dos ensaios de DCP nesses corpos de prova tivessem sido mais satisfatórios. A utilização da energia modificada poderia ter proporcionado uma compactação mais adequada às condições específicas das amostras, potencialmente aumentando a resistência à penetração da haste do DCP e provavelmente possibilitando atingir o IPD necessário para validação do ensaio.

Embora não tenha sido possível estabelecer uma correlação definitiva entre os resultados obtidos a partir das amostras analisadas, acredita-se que a investigação relacionada aos resultados do DCP e do ensaio de ISC encontra-se em seus estágios iniciais. As divergências de opiniões entre autores e profissionais acerca deste tema, somadas aos resultados obtidos neste estudo, evidenciam a necessidade de realização de estudos mais abrangentes e aprofundados.

Adicionalmente, acredita-se que o Cone de Penetração Dinâmica possui potencial para se consolidar como uma ferramenta valiosa em obras de pavimentação rodoviária, bem como em intervenções de menor porte. Sua aplicação pode ser especialmente útil em situações que demandem uma avaliação rápida das condições do solo ou na elaboração de projetos, desde que futuramente seja possível estabelecer uma correlação confiável entre os resultados obtidos pelos diferentes métodos.

O fato de o ensaio de Cone de Penetração Dinâmica ser amplamente utilizado no exterior e reconhecido como uma ferramenta prática e eficiente para avaliar a capacidade de suporte do solo em projetos de engenharia civil constitui um argumento relevante para a realização de estudos mais aprofundados sobre o método.

Os resultados obtidos neste trabalho são inconclusivos, o que, embora não seja surpreendente, reforça a insuficiência de uma análise baseada em apenas três amostras para validar um método. Assim, este estudo fornece mais um argumento para incentivar novas pesquisas na área. Espera-se que, apesar de suas limitações, a contribuição deste trabalho, ao levantar dúvidas e questionamentos, possa estimular outros estudantes e pesquisadores a desenvolverem investigações adicionais sobre essa ferramenta.

6 SUGESTÕES PARA ESTUDOS FUTUROS

Durante a realização dos ensaios para este trabalho, surgiram inúmeros questionamentos e dúvidas em relação não apenas à validade dos resultados, mas também em relação aos métodos de obtenção. Dentre inúmeras conjecturas, acreditase na possibilidade de condução de novos estudos, mais amplos e aprofundados para uma melhor compreensão dos problemas relacionados à Geotecnia, especialmente em solos brasileiros. As sugestões para novas pesquisas são:

- a) Revisão, ampliação e adequação da norma ABNT NBR 17091:2023 ao cenário brasileiro. Foi cogitada a necessidade de maior clareza em relação a quesitos tais como o estabelecimento de limites de profundidade máxima e mínima para que se obtenham resultados válidos, maior clareza em relação ao caráter validador imposto pelo Índice de Penetração Dinâmica (IPD) e até mesmo eventuais ajustes nas equações de regressão para o cálculo do ISC;
- b) Novos e amplos estudos comparativos entre os valores obtidos através do DCP, adotando o caminho inverso ao realizado neste trabalho: ao invés de ensaiar o DCP nos corpos de prova do ISC, realizar o ensaio em campo e, no mesmo local, coletar uma amostra indeformada de solo e ensaiá-la na prensa de CBR;
- c) Estudos para determinação de métodos alternativos aos ensaios de compactação e ISC, em caso de solos com porcentagem de material retido na peneira de 19,1 mm superior a 30%, como foi o caso constatado na Avenida Belvedere.

Estas são apenas meras sugestões entre muitas outras possibilidades, e espera-se que tais questionamentos possam se reverter em estudos que venham a ampliar os horizontes do conhecimento desta área.

REFERÊNCIAS

AMERICAN SOCIETY FOR TESTING AND MATERIALS. **D1883 – 16**: Standard test method for California Bearing Ratio (CBR) of laboratory-compacted soils. West Conshohocken, PA, EUA, 2016.

AMERICAN SOCIETY FOR TESTING AND MATERIALS. **D6951/D6951M-09**: Standard test method for use of the dynamic cone penetrometer in shallow pavement applications. West Conshohocken, PA, EUA, 2009.

ASSOCIAÇÃO BRASILEIRA DE NORMAS TÉCNICAS. **NBR 6457**: Solos – Preparação de amostras para ensaios de compactação, caracterização e determinação de teor de umidade. 3. ed. Rio de Janeiro, 2024.

ASSOCIAÇÃO BRASILEIRA DE NORMAS TÉCNICAS. **NBR 6459**: Solo – Determinação do limite de liquidez. 2. ed. Rio de Janeiro, 2016.

ASSOCIAÇÃO BRASILEIRA DE NORMAS TÉCNICAS. **NBR 6484**: Solo – Sondagem de simples reconhecimento com SPT – método de ensaio. Rio de Janeiro, 2020.

ASSOCIAÇÃO BRASILEIRA DE NORMAS TÉCNICAS. **NBR 7180**: Solo – Determinação do índice de plasticidade. 2. ed. Rio de Janeiro, 2016.

ASSOCIAÇÃO BRASILEIRA DE NORMAS TÉCNICAS. **NBR 7181**: Solo – Análise granulométrica. 3. ed. Rio de Janeiro, 2025.

ASSOCIAÇÃO BRASILEIRA DE NORMAS TÉCNICAS. **NBR 7182**: Solos – Ensaio de compactação. 3. ed. Rio de Janeiro, 2025.

ASSOCIAÇÃO BRASILEIRA DE NORMAS TÉCNICAS. **NBR 9895**: Solo – Índice de suporte Califórnia (ISC) – Método de Ensaio. Rio de Janeiro, 2016.

ASSOCIAÇÃO BRASILEIRA DE NORMAS TÉCNICAS. **NBR 9898**: Solo – Índice de suporte Califórnia (ISC) – Método de Ensaio. ERRATA 1. Rio de Janeiro, 2016.

ASSOCIAÇÃO BRASILEIRA DE NORMAS TÉCNICAS. **NBR 12069**: Solo – Ensaio de penetração de cone in situ (CPT). Rio de Janeiro, 1991.

ASSOCIAÇÃO BRASILEIRA DE NORMAS TÉCNICAS. **NBR 17091**: Solos – Ensaio do cone de penetração dinâmica. Rio de Janeiro, 2023.

ASSOCIAÇÃO BRASILEIRA DE NORMAS TÉCNICAS. **NBR 17212**: Solos – Determinação da massa específica dos sólidos da fração passante na peneira com abertura de 2,00 mm. Rio de Janeiro, 2025.

BRASIL. Ministério dos Transportes. Departamento Nacional de Estradas de Rodagem. Instituto de Pesquisas Rodoviárias. Divisão de Informática Técnico-

científica. **Método de projeto de pavimentos flexíveis**. Rio de Janeiro, 3. ed. ver. e atual, 1981. Disponível em: https://www.gov.br/dnit/pt-br/assuntos/planejamento-e-pesquisa/ipr/coletanea-de-

manuais/vigentes/667_metodo_de_projeto_de_pavimentos_flexiveis.pdf. Acesso em: 20 abr. 2024.

BRASIL. Ministério dos Transportes. Departamento Nacional de Infraestrutura de Transportes. Diretoria de Planejamento e Pesquisa. Coordenação Geral de Estudos e Pesquisa. Instituto de Pesquisas Rodoviárias. Publicação IPR – 719. **Manual de pavimentação**. Rio de Janeiro, 3. ed. 2006. Disponível em: https://www.gov.br/dnit/pt-br/assuntos/planejamento-e-pesquisa/ipr/coletanea-demanuais/vigentes/ipr_719_manual_de_pavimentacao_versao_corrigda_errata_1.pdf. Acesso em: 24 abr. 2024.

BRASIL. Ministério dos Transportes. Departamento Nacional de Infraestrutura de Transportes. Diretoria Geral. Diretoria de Planejamento e Pesquisa. Instituto de Pesquisas Rodoviárias. **Norma DNIT 172/2016 – ME**. Solos – Determinação do Índice de Suporte Califórnia utilizando amostras não trabalhadas – Método de ensaio. Brasília, 2016. Disponível em: https://www.gov.br/dnit/pt-br/assuntos/planejamento-e-pesquisa/ipr/coletanea-de-normas/coletanea-de-normas/metodo-de-ensaio-me/dnit_172_2016_me-1.pdf. Acesso em: 03 mai. 2024.

CARVALHO PAULO DE ALMEIDA, Gil. **Caracterização física e classificação dos solos**. 2004. 145 f. Notas de aula. Universidade Federal de Juiz de Fora – UFJF. Faculdade de Engenharia. Departamento de Transportes. Juiz de Fora, 2004. Disponível em:

https://www.bibliotecaagptea.org.br/agricultura/solos/livros/CARACTERIZACAO%20 FISICA%20E%20CLASSIFICACAO%20DOS%20SOLOS.pdf. Acesso em: 06 JUL 2025.

CRRI – Central Road Research Institute. **Dynamic cone penetrometer (DCP)**. Nova Deli, Índia, c2024. Disponível em: https://crridom.gov.in/node/337. Acesso em: 15 nov. 2024.

DONE, Simon; SAMUEL, Piouslin. User Manual: Measurement of Road Pavement Strength by Dynamic Cone Penetrometer. **UK Department for International Development – DFID**. Berkshire, Reino Unido, 2004. Disponível em: https://assets.publishing.service.gov.uk/media/57a08cd8ed915d622c001609/R81571.pdf. Acesso em: 12 nov. 2024.

ENSAIOS para solos. **Biopdi - Equipamentos para Ensaio de Materiais,** © 2024. Prensa CBR / Marshall. Disponível em: https://biopdi.com.br/ensaio-parasolos/prensa-cbr-prensa-marshall/. Acesso em: 28 abr. 2024.

FELEKE, Gebremariam G.; ARAYA, Alemgena A. Prediction of CBR using DCP for local subgrade materials. **International Conference on Transport and Road Research**. Disponível em:

https://assets.publishing.service.gov.uk/media/57a09dcc40f0b652dd001b8e/61280-GG_FelekeAA_Araya-PredictionCBRUsingDCPLocalSubgradeMaterials-ICTRR2016-ReCAP.pdf. Acesso em: 09 ago. 2024.

JONES, Colin. Improved Measurement of Pavement Strength by Dynamic Cone Penetrometer. **UK Department for International Development – DFID**. Berkshire, Reino Unido, 2004. Disponível em:

https://assets.publishing.service.gov.uk/media/57a08cc040f0b64974001404/R81572.pdf. Acesso em: 12 nov. 2024.

KASANGAKI, G. J. Determination of in situ bearing capacity of soil using dynamic cone penetrometer. **International Society for soil mechanics and geotechnical engineering.** Disponível em:

https://www.issmge.org/uploads/publications/51/79/53_124_AdW.pdf. Acesso em 10 out. 2025.

LIVNEH, M. In-situ CBR testing by indirect methods. **International Society for Soil Mechanics and Geotechnical Engineering**. Disponível em:

https://www.issmge.org/uploads/publications/1/33/1989_01_0062.pdf. Acesso em: 01 mai. 2024.

MINAS GERAIS. Departamento de Edificações e Estradas de Rodagem de Minas Gerais. **Manual de procedimentos para elaboração de estudos e projetos de engenharia rodoviária. Volume IV – Estudos Geológicos e Geotécnicos**. Belo Horizonte: Diretoria de Projetos – DER/MG, 2022. Disponível em: https://www.der.mg.gov.br/index.php?preview=1&option=com_dropfiles&format=&tas k=frontfile.download&catid=77&id=26214&Itemid=1000000000000. Acesso em: 24 abr. 2024.

MINNESOTA. Department of Transportation. Office of Minnesota Road Research (Mn/ROAD). **User guide to the dynamic cone penetrometer.** Maplewood, MN, 2000. Disponível em:

https://www.dot.state.mn.us/materials/researchdocs/User_Guide.pdf. Acesso em: 07 out. 2024.

PAIGE-GREEN, P; DU PLESSIS, L. The use and interpretation of the dynamic cone penetrometer (DCP) test. **The Council for Scientific and Industrial Research**. Pretoria, África do Sul, v. 2, 2009. Disponível em:

https://researchspace.csir.co.za/dspace/bitstream/handle/10204/3692/Paige-Green_2009.pdf?sequence=1&isAllowed=y Pretoria, África do Sul, 2009. Acesso em: 06 abr. 2024.

PAIGE-GREEN, P; VAN ZYL, G. D. Research background to the DCP-DN Pavement Design Method for Low Volume Sealed Roads. 2019. 54 p. Disponível em: https://www.research4cap.org/ral/PaigeGreenVanZyl-2019-ResearchBackgroundDCPDNPavementDesignMethodLVSR-AfCAP-RAF2128A-

190911.pdf. Acesso em: 27 out. 24.

RIO GRANDE DO SUL. Departamento Autônomo de Estradas de Rodagem. Diretoria de Gestão e Projetos. **Instruções de serviço para projetos finais de engenharia**. Porto Alegre: Departamento Autônomo de Estradas de Rodagem, 2023. Disponível em: https://www.daer.rs.gov.br/upload/arquivos/202302/27144121-2023-02-daer-instrucoes-servico-projeto-rev02.pdf. Acesso em: 24 abr. 2024.

RIO GRANDE DO SUL. Secretaria dos Transportes. Unidade de Normas e Pesquisas / DAER. **Manual de ensaios**. Porto Alegre: Departamento Autônomo de Estradas de Rodagem, v. 1, 2001. Disponível em:

https://www.daer.rs.gov.br/upload/arquivos/201607/27154711-manual-de-ensaios-vol-i.pdf. Acesso em: 24 abr. 2024.

RIO GRANDE DO SUL. Secretaria dos Transportes. Unidade de Normas e Pesquisas / DAER. **Manual de ensaios**. Porto Alegre: Departamento Autônomo de Estradas de Rodagem, v. 2, 2001. Disponível em:

https://www.daer.rs.gov.br/upload/arquivos/201607/27154706-manual-de-ensaios-vol-ii.pdf. Acesso em: 24 abr. 2024.

SAGAR, C. P.; BADIGER, Mohoan; MAMATHA, K. H.; DINESH, S. V. Prediction of CBR Using Dynamic Cone Penetrometer Index. **Materials today: proceedings**. v. 60, 2022, p. 223–228. Disponível em:

https://www.sciencedirect.com/science/article/abs/pii/S2214785321082109. Acesso em: 06 abr. 2024.

SÃO PAULO. Secretaria dos Transportes – Departamento de Estradas de Rodagem. **Instrução de projeto IP-DE-P00/001: projeto de pavimentação**. São Paulo: Diretoria de Engenharia, 2006. Disponível em:

https://www.der.sp.gov.br/WebSite/Arquivos/normas/IP-DE-P00-001_A.pdf. Acesso em: 24 abr. 2024.

SOUZA, Murilo Lopes de. **Método de projeto de pavimentos flexíveis**. 3. ed. rev. e atual. Rio de Janeiro, IPR, 1981 (IPR. Publ. 667).

THACH NGUYEN, Bao; MOHAJERANI, Abbas. A new dynamic cone penetrometer to predict CBR for fine-grained subgrade soils in laboratory and field conditions. **International Society for Soil Mechanics and Geotechnical Engineering**. Disponível em: https://www.issmge.org/uploads/publications/89/82/2_1_6.pdf. Acesso em: 03 mai. 2024.

THACH NGUYEN, Bao; MOHAJERANI, Abbas. Determination of CBR for fine-grained soils using a dynamic lightweight cone penetrometer. **The international journal of pavement engineering**. v. 16 (2), 2015, p. 180-189. Disponível em: https://www.tandfonline.com/doi/abs/10.1080/10298436.2014.937807. Acesso em: 10 abr. 2024.

WU, Shin; SARGAND, Shad. **Use of dynamic cone penetrometer in subgrade and base acceptance**. Athens, Estados Unidos, Ohio University, Russ College of Engineering and Technology em cooperação com Ohio Research Institute for Transportation and the Environment, 2007. Disponível em: https://rosap.ntl.bts.gov/view/dot/39670. Acesso em: 29 mai 2025.

OBRAS CONSULTADAS

BALBO, José Tadeu. **Pavimentação asfáltica: materiais, projetos e restauração**. São Paulo: Oficina de Textos, 2007. 541 p. ISBN 978-85-86238-56-7.

CAPUTO, Homero Pinto; CAPUTO, Armando Negreiros. **Mecânica dos solos: teoria e aplicações**. Atualização Paulo José Rocha de Albuquerque, Jean Rodrigo Garcia. 8. ed. Rio de Janeiro: LTC, 2022. ISBN 978-85-216-3802-5.

DAS, Braja M.; SOBHAN, Khaled. **Fundamentos de engenharia geotécnica**. São Paulo: Cengage, 2019. 712 p. ISBN 978-85-221-2828-0.

FERNANDES, Manuel de Matos. **Mecânica dos solos: introdução à engenharia geotécnica**. Volume 2. 1. ed. São Paulo: Oficina de Textos, 2014. ISBN 978-85-7975-128-8.

MASSAD, Faiçal. **Mecânica dos solos experimental**. São Paulo: Oficina de Textos, 2016. ISBN 978-85-7975-200-1.

PINTO, Carlos de Souza. **Curso básico de mecânica dos solos em 16 aulas**. 3. ed. São Paulo: Oficina de Textos, 2006. ISBN 978-85-86235-51-2.

SENÇO, Wlastermiler de. **Manual de Técnicas de Pavimentação**: Volume 1. 2. ed. ampl. São Paulo: PINI, 2007. 763 p. ISBN 978-85-7266-199-7.

TOLEDO, Maria Cristina M. de; OLIVEIRA, Sonia Maria B. de; MELFI, Adolpho J. Intemperismo e formação do solo. In: TEIXEIRA, Wilson (Org); TOLEDO, Maria Cristina M. de (Org); FAIRCHILD, Thomas Rich (Org); TAIOLI, Fabio (Org). **Decifrando a terra**. 2000. Reimpressão, São Paulo: Oficina de Textos, 2003. p. 139-166.

APÊNDICE A - PLANILHAS DE CÁLCULO, AVENIDA BELVEDERE



ENSAIO PARA DETERMINAÇÃO DO TEOR DE UMIDADE

ABNT NBR 6457:2024 - Solos - Preparação de amostras para ensaios de compactação, caracterização e determinação do teor de umidade.

AMOSTRA / OBRA / ENDEREÇO:		Zona:	22J
Av. Belvedere. São Luiz. Caxias do Sul. RS	Coordenadas UTM	X:	475846
AV. Belvedele, Sau Luiz, Carias do Sui, RS		Y:	6773942

	Data do ensaio:	19/05/2025	Temperatura (°C):	20	Umidade (%):	70	ı
--	-----------------	------------	-------------------	----	--------------	----	---

	ENSAIO 1										
Ponto:	Nº da cápsula:	Tara da cápsula (g):	Cápsula + solo úmido (g):	Massa do solo úmido (g):	Cápsula + solo seco (g):	Massa do solo seco (g):	Massa da água (g):	Umidade W (%):	Umidade média W _{med} (%):		
1	39	11,42	29,71	18,29	27,73	16,31	1,98	12,14			
2	44	10,39	25,24	14,85	23,90	13,51	1,34	9,92	11,08		
3	66	8,24	20,27	12,03	19,06	10,82	1,21	11,18			

	ENSAIO 2										
Ponto:	Nº da cápsula:	Tara da cápsula (g):	Cápsula + solo úmido (g):	Massa do solo úmido (g):	Cápsula + solo seco (g):	Massa do solo seco (g):	Massa da água (g):	Umidade W (%):	Umidade média W _{med} (%):		
1				0,00		0,00	0,00	#DIV/0!			
2				0,00		0,00	0,00	#DIV/0!	#DIV/0!		
3				0,00		0,00	0,00	#DIV/0!			

	ENSAIO 3										
Ponto:	Nº da cápsula:	Tara da cápsula (g):	Cápsula + solo úmido (g):	Massa do solo úmido (g):	Cápsula + solo seco (g):	Massa do solo seco (g):	Massa da água (g):	Umidade W (%):	Umidade média W _{med} (%):		
1				0,00		0,00	0,00	#DIV/0!			
2				0,00		0,00	0,00	#DIV/0!	#DIV/0!		
3				0,00		0,00	0,00	#DIV/0!			

	ENSAIO 4										
Ponto:	Nº da cápsula:	Tara da cápsula (g):	Cápsula + solo úmido (g):	Massa do solo úmido (g):	Cápsula + solo seco (g):	Massa do solo seco (g):	Massa da água (g):	Umidade W (%):	Umidade média W _{med} (%):		
1				0,00		0,00	0,00	#DIV/0!			
2				0,00		0,00	0,00	#DIV/0!	#DIV/0!		
3				0,00		0,00	0,00	#DIV/0!			



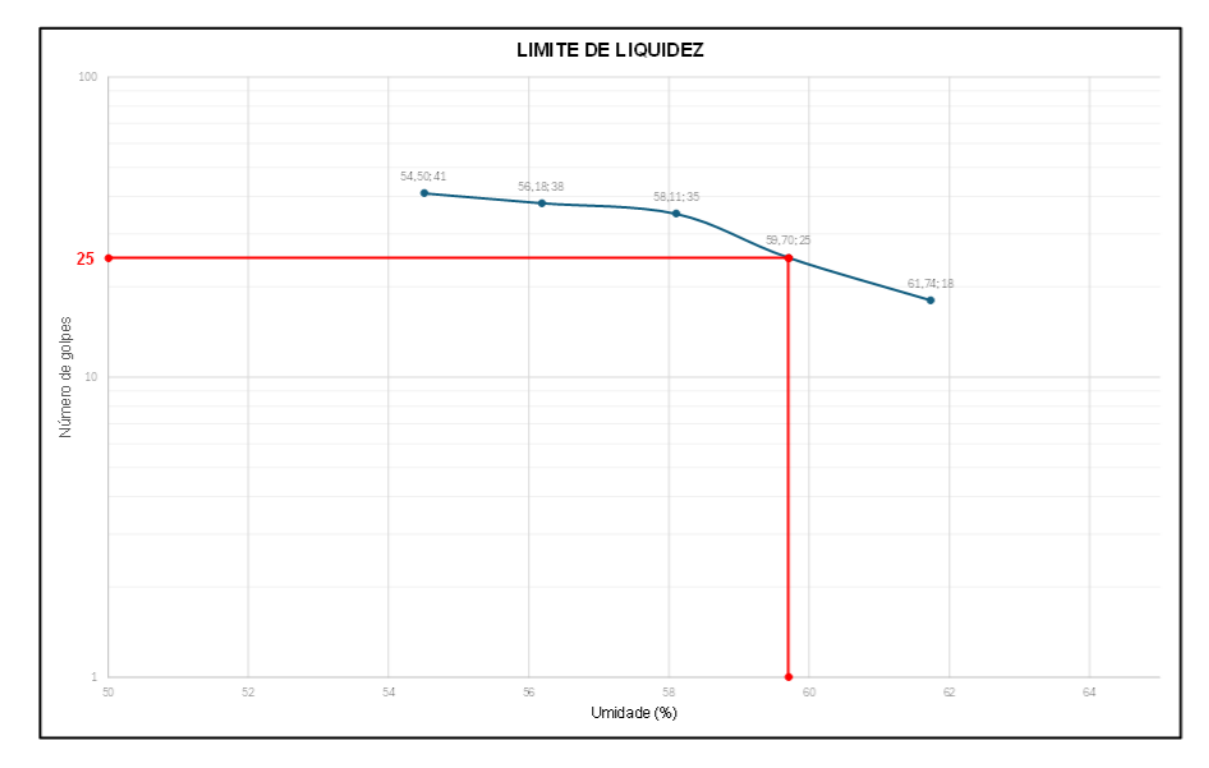
ENSAIO PARA DETERMINAÇÃO DO LIMITE DE LIQUIDEZ

ABNT NBR 6459:2016 - Solo - Determinação do Limite de Liquidez

AMOSTRA / OBRA / ENDEREÇO:						Zona:	22J	
Av. Polyadora Cão Luiz Covina	Coordenadas UTM	Coordenadas X:		475846				
AV. Delvedere, Sau Luiz, Canas	Av. Belvedere, São Luiz, Caxias do Sul, RS						6773942	
Data do ensaio:	20/05/2025	Equipamento:	CASA1	Temperatura a	ambiente (°C):	20,7	Umidade (%):	73

	UMIDADE HIGROSCÓPICA											
Ponto:	Nº da cápsula:	Tara da cáps ula (g):	Cápsula + solo úmido (g):	Massa do solo úmido (g):	Cápsula + solo seco (g):	Massa do solo seco (g):	Massa da água (g):	Umidade W (%):	Umidade média W _{med} (%):			
1	39	11,42	29,71	18,29	27,73	16,31	1,98	12,14				
2	44	10,39	25,24	14,85	23,90	13,51	1,34	9,92	11,08			
3	66	8,24	20,27	12,03	19,06	10,82	1,21	11,18				

	LIMITE DE LIQUIDEZ											
Ponto:	Nº da cápsula:	Tara da cáps ula (g):	Cápsula + solo úmido (g):	Massa do solo úmido (g):	Cápsula + solo seco (g):	Massa do solo seco (g):	Massa da água (g):	Umidade W (%):	Número de golpes:			
1	10	9,14	15,83	6,69	13,47	4,33	2,36	54,50	41			
2	11	9,22	19,20	9,98	15,61	6,39	3,59	56,18	38			
3	28	11,06	19,74	8,68	16,55	5,49	3,19	58,11	35			
4	42	9,97	17,54	7,57	14,71	4,74	2,83	59,70	25			
5	54	7,71	16,25	8,54	12,99	5,28	3,26	61,74	18			



	Sér	ie 2:	Serie 3:		
Determinação gráfica do	X	Υ	х	Y	
Limite de Liquidez	50	25	59,7	1	
	59,7	25	59,7	25	

RESULTADO:					
Valor truncado (%)	59,70				
LIMITE DE LIQUIDEZ (%)	60				



ENSAIO PARA DETERMINAÇÃO DO LIMITE DE PLASTICIDADE

ABNT NBR 7180:2016 - Solo - Determinação do Limite de Plasticidade

AMOSTRA / OBRA / ENDEREÇO:		Zona:	22J
Av. Belvedere, São Luiz, Caxias do Sul, RS	Coordenadas UTM	X:	475846
AV. Belvedele, Sau Luiz, Caklas du Sul, RS		Y:	6773942

Da	ta do ensaio:	20/05/2025	Temperatura (°C):	20,7	Umidade (%):	73	
----	---------------	------------	-------------------	------	---------------	----	--

	UMIDADE HIGROSCÓPICA									
Ponto:	Nº da cápsula:	Tara da cápsula (g):	Cápsula + solo úmido (g):	Massa do solo úmido (g):	Cápsula + solo seco (g):	Massa do solo seco (g):	Massa da água (g):	Umidade W (%):	Umidade média W _{med} (%):	
1	39	11,42	29,71	18,29	27,73	16,31	1,98	12,14		
2	44	10,39	25,24	14,85	23,90	13,51	1,34	9,92	11,08	
3	66	8,24	20,27	12,03	19,06	10,82	1,21	11,18		

Ponto:	Nº da cápsula:	Tara da cápsula (g):	Cápsula + solo úmido (g):	Massa do solo úmido (g):	Cápsula + solo seco (g):	Massa do solo seco (g):	Massa da água (g):	Umidade W (%):	Umidade média W _{med} (%):
1	7	10,35	11,93	1,58	11,46	1,11	0,47	42,34	
2	21	9,97	11,31	1,34	10,91	0,94	0,30	42,55	
3	33	11,79	13,24	1,45	12,82	1,03	0,42	40,78	42,57
4	36	7,51	8,56	1,05	8,24	0,73	0,32	43,84	
5	48	8,78	10,07	1,29	9,68	0,90	0,39	43,33	

Valores satisfatórios:	5%	A	▼
ABNT NBR 7180:2016, p.2, item 5.1.1	2,128411826	44,70	40,44

RESULTADOS							
LIMITE DE LIQUIDEZ	LL =	60					
LIMITE DE PLASTICIDADE	LP=	43					
ÍNDICE DE PLASTICIDADE	IP=	17					



DETERMINAÇÃO DE MASSA ESPECÍFICA

ABNT NBR 17212:2025 - Solos - Determinação da massa específica dos sólidos da fração passante na peneira com abertura de 2,0 mm

AMOSTRA / OBRA / ENDEREÇO:		Zona:	22J
Av. Belvedere, São Luiz, Caxias do Sul, RS	Coordenadas UTM	X:	475846
AV. Dalvettale, Sau Luz, Caxias tu Sui, NS		Y:	6773942

Data do ensaio:	22/05/2025	Temperatura (°C):	18,7	Umidade (%):	63
-----------------	------------	-------------------	------	--------------	----

	UMIDADE HIGROSCÓPICA									
Ponto:	Nº da cápsula:	Tara da cápsula (g):	Cápsula + solo úmido (g):	Massa do solo úmido (g):	Cápsula + solo seco (g):	Massa do solo seco (g):	Massa da água (g):	Umidade W (%):	Umidade média W _{med} (%):	
1	5	8,63	19,36	10,73	18,31	9,68	1,05	10,85		
2	37	9,31	19,85	10,54	18,81	9,50	1,04	10,95	10,64	
3	83	9,46	24,56	15,10	23,17	13,71	1,39	10,14		

DETERMINAÇÃO DA MASSA ESPECÍFICA DOS SÓLIDOS $ ightarrow ho_s$ (g/cm³)							
Ensaio	1	2	3				
Massa do solo seco → M _s (g):	50,34	50,34	50,82				
Início da imersão (h):	14h45	14h45	14h45				
Fim da imersão (h);	14h05	14h55	15h45				
Massa do balão volumétrico + solo + água → M ₂ (g):	716,06	688,73	679,72				
Temperatura do ensaio → T (°C):	19	19	19				
Massa específica da àgua (Tabela A.1) $\rightarrow \rho_{w(T)}$ (°C):	0,99984	0,99984	0,99984				
Massa do balão volumétrico + água (Calibração) → M₁ (g):	688,50	661,37	651,69				
Massa específica dos sólidos → ρ _s (g/cm³):	2,209	2,191	2,230				
Massa específica dos sólidos → ρs (g/cm³):		2,200					



ENSAIO DE GRANULOMETRIA

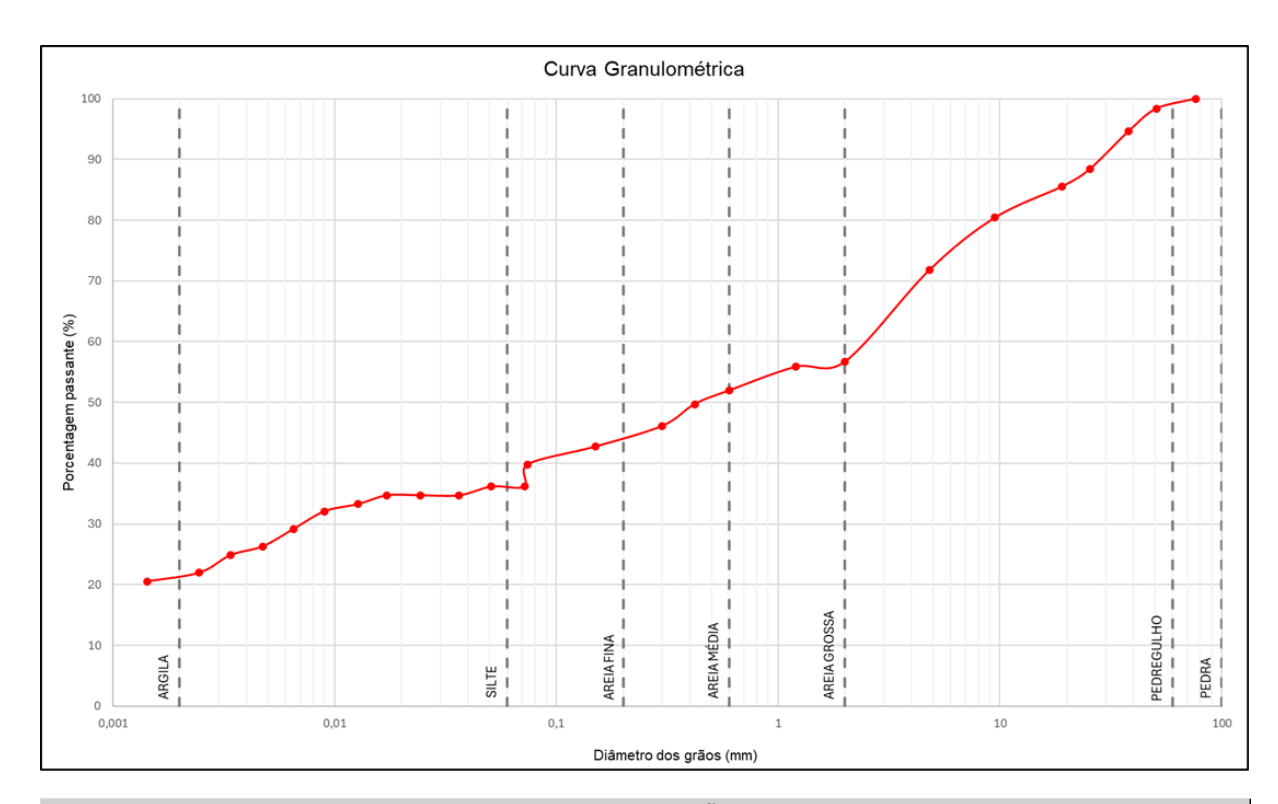
ABNT NBR 7181:2025 - Solo - Análise granulométrica

	ı	Zona:		22,1					
Av Belvedere	Au Polandoro Gilio Luis Conins de Cul DC						X :	475	5848
Av. belvedere,	Av. Belvedere, São Luiz, Caxias do Sul, RS							677	3942
Data do	ata do ensaio: 22/05/2025 Temperatura (°C):				18,1	Umida	ide (%):	64	
	UMIDADE HIGROSCÓPICA								
Ponto:	Nº da cápsula:	Tara da cápsula (g):	Cápsula + solo úmido (g):	Massa do solo úmido (g):	Cápsula + solo seco (g):	Massa do solo seco (g):	Massa da água (g):	Umidade W (%):	Umidade média W _{med} (%):
1	39	11,42	29,71	18,29	27,73	16,31	1,98	12,14	
2	44	10,39	25,24	14,85	23,90	13,51	1,34	9,92	11,08
3	68	8,24	20,27	12,03	19,08	10,82	1,21	11,18	

				PENEIR	AMENTO				
Massa da amos	tra seca à temp	eratura ambiente	e → M _t (g):	8000,00	Massa do material seco retido na peneira # 2,00mm $ ightarrow$ $\mathbf{M_{0}}$ (g):				1100,22
Umidade higros	cópica → W (de	cimal):		0,1108	Massa total da	amostra seca →	M _{α(t)} (g):		7311,74
Material retido a	cumulado na pe	eneira #2,00mm	→ M _{r(2,0mm)} (g):	3164,71	% de material q	ue passa na pen	eira #2,00mm -	→ N (%):	58,72
Massa do mater	rial úmido subm	etido à sediment	ação e peneiram	ento → M _u (g):	70,00				
Massa da amostra (g):	Pen	eiras:	Massa do material retido em cada	Percentual da	Massa do material retido	Porcentagem do material retido	Porcentagem dos materiais	Dados para Peneirame	a o gráfico - nto Grosso
3184,13	Nº:	Abertura (mm):	peneira → M _r (g):	(%). acumulado	acumulado → M _{r,acum.} (g):	acumulado (%)	que passam Q _g e Q _t (%):	Peneiras / Abertura (mm):	% Passante:
0	3"	76,2	0,00	0,00	0,00	0,00	100,00	0,074	39,80
PENEIRAMENTO GROSSO	2"	50,8	118,58	3,72	118,58	3,72	98,38	0,15	42,74
0 GF	1,5"	38,1	271,27	8,52	389,85	12,24	94,87	0,3	48,14
ENŢ	1"	25,4	457,37	14,38	847,22	28,61	88,41	0,42	49,73
RAM	3/4"	19,1	207,48	6,52	1054,70	33,12	85,58	0,6	51,97
ENE	3/8"	9,5	378,91	11,84	1431,61	44,98	80,42	1,2	55,88
<u>a</u>	4	4,8	632,88	19,88	2064,49	64,84	71,78	2	58,72
	10	2	1100,22	34,55	3164,71	99,39	56,72	4,8	71,78
FINO	16	1,2	0,95	0,03	0,95	99,42	55,86	9,5	80,42
2	30	8,0	4,33	0,14	5,28	99,58	51,97	19,1	85,58
PENEIRAMENTO FINO	40	0,42	2,48	0,08	7,76	99,63	49,73	25,4	88,41
	50	0,3	3,99	0,13	11,75	99,78	48,14	38,1	94,67
PEN	100	0,15	3,78	0,12	15,53	99,88	42,74	50,8	98,38
	200	0,074	3,27	0,10	18,80	99,98	39,80	78,2	100,00
	Fu	ndo	0,62	0,02	19,42	100,00	39,24		·
	∑Mas	sa (g):	3184,13						

ATENÇÃOI	Se 10,01 ≤ % acumulado na peneira # 19,1 mm ≤ 30,00	Ver Tabela 1, Nota ² , ABN T NBR 6457:2024 e NBR 9895:2016
ATENÇAO:	Se % acumulado na peneira # 19,1 mm ≥ 30,01	Não ensaiar compactação nem CBR (Tabela 1, NBR 6457 e NBR 9895)

	Pedregulho	Areia Grossa	Areia Média	Areia Fina	Silte + Argila	TOTAL
RESUMODA GRANULOMETRIA (%)	(>2,00 mm)	2,00 - 0,6 mm	0,6 - 0,2 mm	0,2 - 0,06 mm	(< 0,074 mm)	IOIAL
Granto Zonie Interna	43,28	4,75	5,82	6,35	39,80	100,00



				SEDIME	NTAÇÃO				
Densímetro Nº:	1	Proveta Nº:	-	Defloculante:	Hexametafosfat	o de sódio			
Massa especifi ρ _s (g		2,271	Massa de solo s à sedimenta	seco submetido ação: M s (g)	70	_	e material que pa ertura de 2,00 mr	•	56,72
Início da sec	dimentação:		Leitura no	Leitura do	Altura de	Diâmetro das	Viscosidade da água: µ (g/cm²	Massa específica da	Deventer
		Temperatura:	densimetro no	queda das	partículas do solo em	x s) Tabela 2,	água:	Porcentagem de material em	
Intervalos	de tempo:	T (°C)		elleneneão.	dispersor:	partículas: Z (cm)	suspensão:	NBR 7181. Multiplicar	ρ _{md} (g/cm³): Tabela A.1,
t (s)	min, h		_	L _{md}	_ (,	d (mm)	por 10 ⁻⁶	NBR 17212	. (/•/-
30	0,5min	20	1,030	1,0050	10,66	0,0719596661	0,00001029	0,9982	36,14224976
60	1min	20	1,030	1,0050	10,66	0,0508831679	0,00001029	0,9982	36,14224976
120	2min	20	1,029	1,0050	10,93	0,0364326383	0,00001029	0,9982	34,69655977
240	4min	20	1,029	1,0050	9,76	0,0243439167	0,00001029	0,9982	34,69655977
480	8min	20	1,029	1,0050	9,76	0,0172137486	0,00001029	0,9982	34,69655977
900	15min	20	1,028	1,0050	10,02	0,0127374875	0,00001029	0,9982	33,25086978
1800	30min	21	1,027	1,0048	10,29	0,0090112571	0,00001003	0,998	32,08927548
3600	1h	21	1,025	1,0048	10,82	0,0065339578	0,00001003	0,998	29,19834976
7200	2h	21	1,023	1,0048	11,36	0,0047340938	0,00001003	0,998	26,30742404
14400	4h	21	1,022	1,0048	11,62	0,0033856009	0,00001003	0,998	24,86196118
28800	8h	21	1,020	1,0048	12,16	0,0024489758	0,00001003	0,998	21,97103546
86400	24h	21	1,019	1,0048	12,42	0,0014289528	0,00001003	0,998	20,52557260



ENSAIO DCP - CONE DE PENETRAÇÃO DINÂMICA

ABNT NBR 17091:2023 - Solos - Ensaio do Cone de Penetração Dinâmica
TRABALHO DE CONCLUSÃO DE CURSO II - MARCELO PONTICELLI
Orientadora: Profa Ma Cinthia Cristina Morais Rocha

					Ξ
Obra / Localização: AV BELVEDERE, SÃO LUIZ, CAXIAS DO SUL - RS			()	BGS (Brita Graduada Simples)	Ī
	Tipo:	\prec	(X)	Solo	
		l	()	Areia	

UTM Y:	ENSAIC 489179 6773861 Penetração (mm) 123 184 245 286 321 356 387	OB Penetraçã		Coord. UTM Nº de Golpes 0	X: 489176 Y: 6773856 Penetração (mm) 280	OE	38	Coord. UTM N° de	ENSAIO X: 489176 Y: 6773856 Penetração	· III	
UTM Y: N° de Golpes 0 3 6 9 12	245 286 321 356			N° de Golpes 0	Y: 6773856 Penetração (mm)	OE	ss s	UTM	Y: 6773856		
N° de Golpes 0 3 6 9 12 15	Penetração (mm) 123 184 245 286 321 356			Golpes 0 3	Penetração (mm)	OE	3S	Nº de			
3 6 9 12 15	184 245 286 321 356	Penetraçã	ăo Inicial	3	280			Golpes	(mm)	OE	s
6 9 12 15	245 286 321 356					Penetraç	ão Inicial	0	80	Penetraçã	áo Inicial
9 12 15	286 321 356				323			3	138		
12 15	321 356			6	354			6	210		
15	356			9	379			9	259		
				12	406			12	315		
18	387			15	433			15	351		
				18	457			18	381		
21	410			21	473			21	403		
24	423			24	494			24	427		
27	446			27	508			27	448		
30	474			30	524			30	462		
33	491			33	541			33	475		
36	510			36	558			36	489		
39	531			39	575			39	504		
42	551			42	594			42	521		
45	570			45	629			45	532		
48	588			48	661			48	541		
51	606			51	682			51	552		
54	625			54	693			54	563		
57	645			57	706			57	574		
60	670			60	718			60	586		
63	700			63	733			63	596		
66	733			66	747			66	607		
69	768			69	761			69	619		
72	807			72	774			72	631		
75	831			75	785			75	643		
78	853			78	794			78	654		
81	872			81	803			81	665		
84	890			84	811			84	673		
87	907			87	819			87	680		
90				90	824			90	687		
93				93	833			93	691		
	907	Penetraç	ão Final		833	Penetraç	ão Final		691	Penetraç	ão Final
	87	Nº de G	Solpes		93	Nº de (Golpes		93	Nº de G	olpes
BSG I	_{PD} calculado (n	nm/golpe):	9,01	Solo	I _{PD} calculado (r	mm/golpe):	5,95	Areia	I _{PD} calculado (n	nm/golpe):	6,57
	ISC (%)	24,89		ISC (%	b)	39,65		ISC (%)	35,46
	VAI	LORES ACE	ITÁVEIS (n	nm/golpe):	BSG: <i>I_{PD}</i> ≤ 6	5 5	SOLO: I _{PD} ≤ 1	7	AREIA: <i>I</i> _{PD} ≤ 22		

Cálculo DCP $I_{PD} = \frac{(Penetração\ Final - Penetração\ Inicial)}{N^{\circ}\ de\ Golpes} \quad \begin{array}{|l|l|} & \text{EQUAÇÃO}\ DE\ REGRESSÃO\ ASTM} \\ & \text{D6951:}\ ISC\ (INDICE\ DE\ SUPORTE\ CALIFÓRNIA)} & ISC\ = \frac{292}{I_{PD}^{-1,12}} \end{array}$

APÊNDICE B – PLANILHAS DE CÁLCULO, ESTRADA MUNICIPAL JOSÉ DANI



ENSAIO PARA DETERMINAÇÃO DO TEOR DE UMIDADE

ABNT NBR 6457:2024 - Solos - Preparação de amostras para ensaios de compactação, caracterização e determinação do teor de umidade.

AMOSTRA / OBRA / ENDEREÇO:		Zona:	22J
Estrada Municipal José Dani, Desvio Rizzo, Caxias do Sul, RS	Coordenadas UTM	X:	475846
Estrada Municipal 3056 Danii, Desvio Rezo, Caxias do Sui, RS		Y:	6769878

Data do ensaio:	06/06/2025	Temperatura (°C):	16	Umidade (%):	70	l
-----------------	------------	-------------------	----	---------------	----	---

	ENSAIO 1											
Ponto:	Nº da cápsula:	Tara da cápsula (g):	Cápsula + solo úmido (g):	Massa do solo úmido (g):	Cápsula + solo seco (g):	Massa do solo seco (g):	Massa da água (g):	Umidade W (%):	Umidade média W _{med} (%):			
1	15	10,68	25,65	14,97	24,11	13,43	1,54	11,47				
2	35	8,26	22,52	14,26	21,21	12,95	1,31	10,12	10,58			
3	74	8,98	23,51	14,53	22,17	13,19	1,34	10,16				

	ENSAIO 2											
Ponto:	Nº da cápsula:	Tara da cápsula (g):	Cápsula + solo úmido (g):	Massa do solo úmido (g):	Cápsula + solo seco (g):	Massa do solo seco (g):	Massa da água (g):	Umidade W (%):	Umidade média W _{med} (%):			
1				0,00		0,00	0,00	#DIV/0!				
2				0,00		0,00	0,00	#DIV/0!	#DIV/0!			
3				0,00		0,00	0,00	#DIV/0!				

	ENSAIO 3											
Ponto:	Nº da cápsula:	Tara da cápsula (g):	Cápsula + solo úmido (g):	Massa do solo úmido (g):	Cápsula + solo seco (g):	Massa do solo seco (g):	Massa da água (g):	Umidade W (%):	Umidade média W _{med} (%):			
1				0,00		0,00	0,00	#DIV/0!				
2				0,00		0,00	0,00	#DIV/0!	#DIV/0!			
3				0,00		0,00	0,00	#DIV/0!				

	ENSAIO 4											
Ponto:	Nº da cápsula:	Tara da cápsula (g):	Cápsula + solo úmido (g):	Massa do solo úmido (g):	Cápsula + solo seco (g):	Massa do solo seco (g):	Massa da água (g):	Umidade W (%):	Umidade média W _{med} (%):			
1				0,00		0,00	0,00	#DIV/0!				
2				0,00		0,00	0,00	#DIV/0!	#DIV/0!			
3				0,00		0,00	0,00	#DIV/0!				



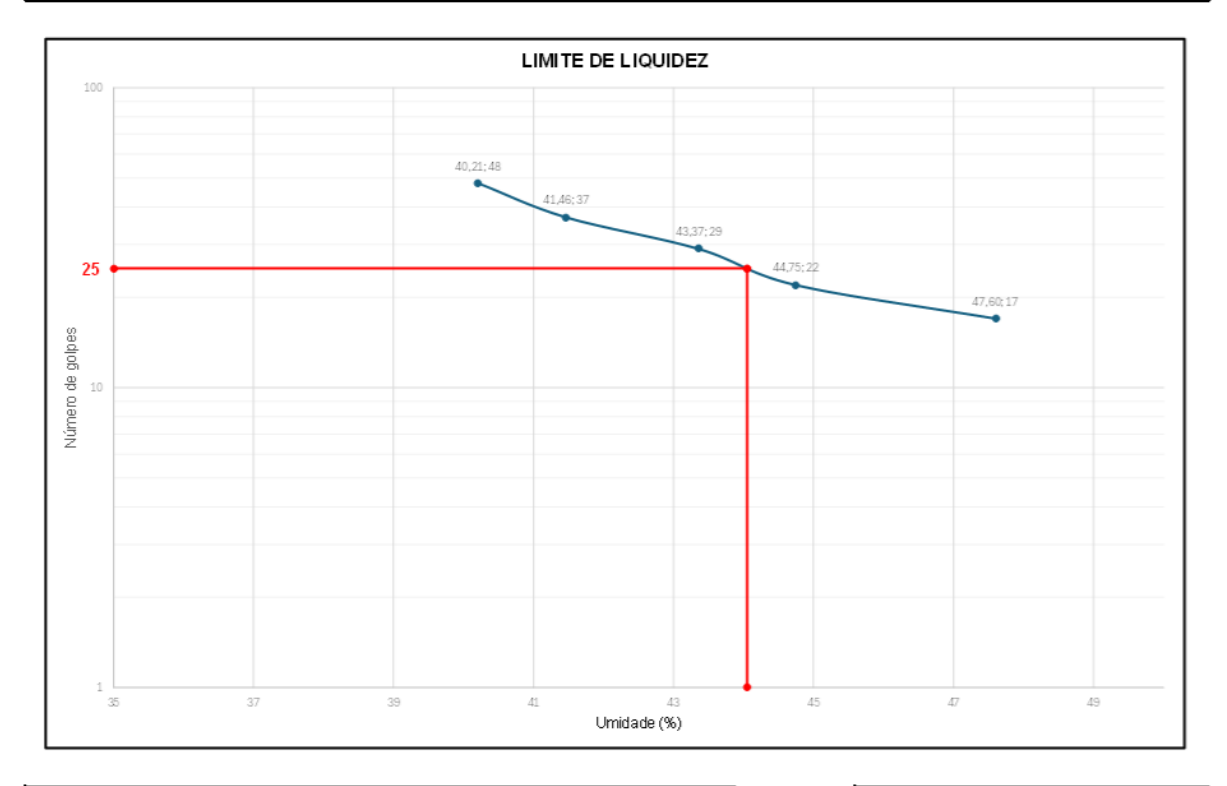
ENSAIO PARA DETERMINAÇÃO DO LIMITE DE LIQUIDEZ

ABNT NBR 6459:2016 - Solo - Determinação do Limite de Liquidez

AMO	STRA / OBI	RA / ENDER	EÇO:			Zona:	22	2J
Estrada Municipal José Dani, De	ovio Dizzo Covi	ao do Cul. DC	Coordenadas UTM	X:	475846			
Estrada Municipal Jose Dani, De	SVIO RIZZO, CAXI	as do Sul, RS				Y:	6769	9878
Data do ensaio:	10/06/2025	Equipamento:	CASA1	Temperatura a	ambiente (°C):	14,8	Umidade (%):	62

	UMIDADE HIGROSCÓPICA											
Ponto:	Nº da cápsula:	Tara da cáps ula (g):	Cápsula + solo úmido (g):	Massa do solo úmido (g):	Cápsula + solo seco (g):	Massa do solo seco (g):	Massa da água (g):	Umidade W (%):	Umidade média W _{med} (%):			
1	15	10,68	25,65	14,97	24,11	13,43	1,54	11,47				
2	35	8,26	22,52	14,26	21,21	12,95	1,31	10,12	10,58			
3	74	8,98	23,51	14,53	22,17	13,19	1,34	10,16				

	LIMITE DE LIQUIDEZ										
Ponto:	Nº da cápsula:	Tara da cáps ula (g):	Cápsula + solo úmido (g):	Massa do solo úmido (g):	Cápsula + solo seco (g):	Massa do solo seco (g):	Massa da água (g):	Umidade W (%):	Número de golpes:		
1	8	9,19	15,78	6,59	13,89	4,70	1,89	40,21	48		
2	22	10,26	16,06	5,80	14,36	4,10	1,70	41,46	37		
3	33	11,83	19,07	7,24	16,88	5,05	2,19	43,37	29		
4	67	8,12	16,66	8,54	14,02	5,90	2,64	44,75	22		
5	98	11,10	19,10	8,00	16,52	5,42	2,58	47,60	17		



	Sér	ie 2:	Serie 3:		
Determinação gráfica do Limite de Liquidez	X	Y	Х	Υ	
	35	2 5	44,05	1	
	44,05	25	44,05	25	

RESULTADO:					
Valor truncado (%)	44,05				
LIMITE DE LIQUIDEZ (%)	44				



ENSAIO PARA DETERMINAÇÃO DO LIMITE DE PLASTICIDADE

ABNT NBR 7180:2016 - Solo - Determinação do Limite de Plasticidade

TRABALHO DE CONCLUSÃO DE CURSO II - MARCELO PONTICELLI Orientadora: Profª Mª Cinthia Cristina Morais Rocha

AMOSTRA / OBRA / ENDEREÇO:		Zona:	22J
Estrada Municipal José Dani, Desvio Rizzo, Caxias do Sul. RS	Coordenadas UTM	X : 475	475846
Estiada in difficipal 3 use Darii, Desvito Rizzo, Caxias do Sui, RS		Y:	6769878

Data do ensaio:	10/06/2025	Temperatura (°C):	14,8	Umidade (%):	62
-----------------	------------	-------------------	------	---------------	----

	UMIDADE HIGROSCÓPICA										
Ponto:	Nº da cápsula:	Tara da cápsula (g):	Cápsula + solo úmido (g):	Massa do solo úmido (g):	Cápsula + solo seco (g):	Massa do solo seco (g):	Massa da água (g):	Umidade W (%):	Umidade média W _{med} (%):		
1	15	10,68	25,65	14,97	24,11	13,43	1,54	11,47			
2	35	8,26	22,52	14,26	21,21	12,95	1,31	10,12	10,58		
3	74	8,98	23,51	14,53	22,17	13,19	1,34	10,16			

Ponto:	Nº da cápsula:	Tara da cápsula (g):	Cápsula + solo úmido (g):	Massa do solo úmido (g):	Cápsula + solo seco (g):	Massa do solo seco (g):	Massa da água (g):	Umidade W (%):	Umidade média W _{med} (%):
1	25	10,68	11,70	1,02	11,45	0,77	0,25	32,47	
2	26	11,57	12,78	1,21	12,48	0,91	0,30	32,97	
3	69	9,75	10,85	1,10	10,58	0,83	0,27	32,53	32,50
4	76	11,68	12,81	1,13	12,53	0,85	0,28	32,94	
5	86	9,24	10,49	1,25	10,19	0,95	0,30	31,58	

Valores satisfatórios:	5%	A	▼
ABNT NBR 7180:2016, p.2, item 5.1.1	1,624848098	34,12	30,87

RESULTADOS								
LIMITE DE LIQUIDEZ	LL =	44						
LIMITE DE PLASTICIDADE	LP=	32						
ÍNDICE DE PLASTICIDADE	IP=	12						



DETERMINAÇÃO DE MASSA ESPECÍFICA

ABNT NBR 17212:2025 - Solos - Determinação da massa específica dos sólidos da fração passante na peneira com abertura de 2,0 mm

AMOSTRA / OBRA / ENDEREÇO:		Zona:	22J
Estrada Municipal José Dani, Desvio Rizzo, Caxias do Sul, RS	Coordenadas UTM X: 47584	475846	
Estiada ividilicipal 30se Dalli, Desvio Rizzo, Caxias do Sul, RS		Y:	6769878

Data do ensaio:	12/06/2025	Temperatura (°C):	15,9	Umidade (%):	57
-----------------	------------	-------------------	------	---------------	----

	UMIDADE HIGROSCÓPICA										
Ponto:	Nº da cápsula:	Tara da cápsula (g):	Cápsula + solo úmido (g):	Massa do solo úmido (g):	Cápsula + solo seco (g):	Massa do solo seco (g):	Massa da água (g):	Umidade W (%):	Umidade média W _{med} (%):		
1	37	9,31	25,33	16,02	23,73	14,42	1,60	11,10			
2	68	8,13	20,04	11,91	18,87	10,74	1,17	10,89	11,00		
3	83	9,45	22,35	12,90	21,07	11,62	1,28	11,02			

DETERMINAÇÃO DA MASSA ESPECÍFICA DOS SÓLIDOS $ ightarrow ho_s$ (g/cm³)									
Ensaio	1	2	3						
Massa do solo seco → M _s (g):	50,34	50,18	50,16						
Início da imersão (h):	17h10	17h10	17h10						
Fim da imersão (h);	10h45	13h50	15h00						
Massa do balão volumétrico + solo + água → M ₂ (g):	717,20	689,74	679,48						
Temperatura do ensaio → T (°C):	17	17	17						
Massa específica da àgua (Tabela A.1) $\rightarrow \rho_{w(T)}$ (°C):	0,99988	0,99988	0,99988						
Massa do balão volumétrico + água (Calibração) → M₁ (g):	688,74	661,55	651,90						
Massa específica dos sólidos → ρ _s (g/cm³):	2,300	2,282	2,221						
Massa específica dos sólidos → ρs (g/cm³):		2,291							



200

Fundo

∑Massa (g):

0,074

5,44

4,03

4529,88

0,12

0,09

31,78

35,81

99,91

100,00

18,97

16,53

76,2

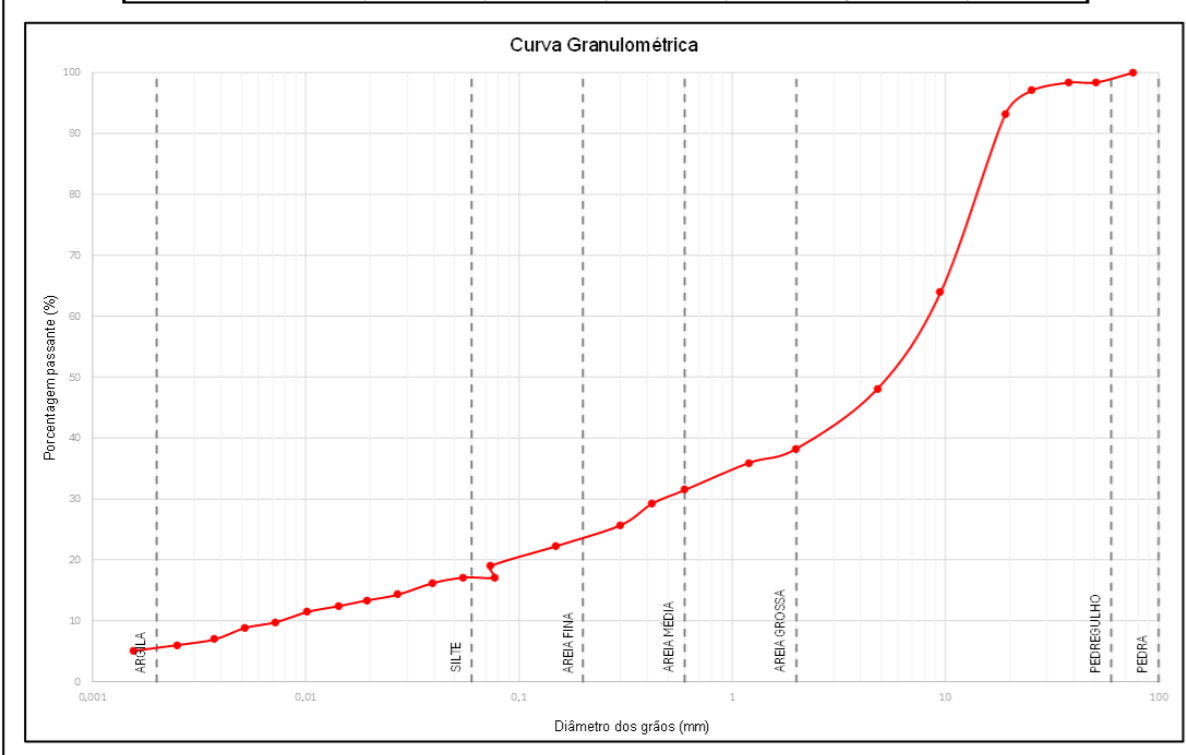
100,00

ENSAIO DE GRANULOMETRIA

ABNT NBR 7181:2025 - Solo - Análise granulométrica

	- 1	MOSTRA / OB	RA / ENDEREÇO	D:			Zona:	2:	2J		
Estanda Maria	l lf D: D	i- Di O	4- 0-1 00			Coordenadas UTM	X:	475	846		
estrada Munici	pal José Dani, D	esvio Rizzo, Caxi	as do Sui, RS				Y:	6769	9878		
Data do	ensaio:			Tem pera	itura (°C):		Umida	de (%):			
			U	MIDADE HIG	GROSCÓPIO	CA					
Ponto:	Nº da cápsula:	Tara da cápsula (g):	Cápsula + solo úmido (g):	Massa do solo úmido (g):	Cápsula + solo seco (g):	Massa do solo seco (g):	Massa da água (g):	Umidade W (%):	Umidade média W _{med} (%):		
1	37	9,31	25,33	16,02	23,73	14,42	1,60	11,10			
2	68	8,13	20,04	11,91	18,87	10,74	1,17	10,89	11,00		
3	83	9,45	22,35	12,90	21,07	11,62	1,28	11,02			
				PENEIR	AMENTO						
lassa da amo:	stra seca à temp	eratura ambiente	\rightarrow M _t (g):	8000,00	Massa do mate	rial seco retido n	a peneira # 2,00	$mm \rightarrow \mathbf{M_g}(g)$:	714,06		
Jmidade higro	scópica → W (de	cimal):		0,1100	Massa total da	amostra seca →	M _{s(t)} (g):	(t) (g):			
Material retido	acumulado na pe	eneira # 2,00mm	→ M _{r(2,0mm)} (g):	4494,07	% de material q	jue passa na per	eira # 2,00mm -	0mm → N (%):			
lassa do mate	erial úmido subm	etido à sediment	ação e peneiram	ento → M _u (g):	70,00						
Massa da am ostra (g):	Pen	eiras:	Massa do material retido	Percentual da	Massa do material retido	Porcentagem do material	Porcentagem dos materiais		ra o gráfico - ento Grosso		
4529,88	Nº:	Abertura (mm):	em cada peneira → M _r (g):	amostra total (%):	acumulado → M _{r,acum.} (g):	retido acumulado (%)	que passam Q _g e Q _f (%):	Peneiras / Abertura (mm):	% Passante		
0	3"	76,2	0,00	0,00	0,00	0,00	100,00	0,074	18,97		
oss	2"	50,8	118,20	2,61	118,20	2,61	98,38	0,15	22,27		
GR GR	1,5"	38,1	0,00	0,00	118,20	2,61	98,38	0,3	25,70		
ENT	1"	25,4	97,19	2,15	215,39	4,75	97,04	0,42	29,19		
PENEIRAMENTO GROSSO	3/4"	19,1	282,55	6,24	497,94	10,99	93,16	0,6	31,48		
Ë	3/8"	9,5	2128,75	46,99	2626,69	57,99	63,91	1,2	35,93		
H	4	4,8	1153,32	25,46	3780,01	83,45	48,06	2	38,25		
	10	2	714,06	15,76	4494,07	99,21	38,25	4,8	48,06		
<u>N</u>	16	1,2	3,82	0,08	3,82	99,29	35,93	9,5	63,91		
PENEIRAMENTO FINO	30	0,6	7,34	0,16	11,16	99,46	31,48	19,1	93,16		
MEN	40	0,42	3,77	0,08	14,93	99,54	29,19	25,4	97,04		
EIRAI	50	0,3	5,76	0,13	20,69	99,67	25,70	38,1	98,38		
PENE	100	0,15	5,65	0,12	26,34	99,79	22,27	50,8	98,38		
_											

RESUMO DA Granulometria (%)	Pedregulho Areia Grossa		Areia Média	Areia Fina	Silte + Argila	TOTAL
	(> 2,00 mm)	2,00 - 0,6 mm	0,6 - 0,2 mm	0,2 - 0,06 mm	(< 0,074 mm)	TOTAL
	61,75	6,77	5,78	6,73	18,97	100,00



				SEDIME	NTAÇÃO				
Densímetro Nº:	1	Proveta Nº:	-	Defloculante:	Hexametafosfat	o de sódio			
	ica dos sólidos: /cm³)	2,389		seco submetido ação: M_s (g)	70		Porcentgem de material que passa na peneira com abertura de 2,00 mm: N (%)		
Início da sedimentação:		Temperatura:	Leitura no densimetro na	Leitura do densímetro no	Altura de queda das	Diâmetro das partículas do solo em	Viscosidade da água: µ (g/cm² x s) Tabela 2,	Massa específica da água:	Porcentagem de material em
Intervalos	de tempo:	T (°C)	suspensão: L	meio dispersor:	partículas: Z (cm)	Suspensão: NBR /181. P _{md}		ρ _{md} (g/cm³): Tabela A.1.	suspensão P (%):
t (s)	min, h				, ,	a (mm)	por 10 ⁻⁶	NBR 17212	
30	0,5min	16	1,024	1,0058	12,26	0,0776320167	0,00001138	0,9999	17,10368804
60	1min	16	1,024	1,0058	12,26	0,0548941255	0,00001138	0,9999	17,10368804
120	2min	16	1,023	1,0058	12,53	0,0392411000	0,00001138	0,9999	16,16392496
240	4min	16	1,021	1,0058	11,89	0,0270297213	0,00001138	0,9999	14,28439881
480	8min	16	1,020	1,0058	12,16	0,0193286904	0,00001138	0,9999	13,34463573
900	15min	16	1,019	1,0058	12,42	0,0142657893	0,00001138	0,9999	12,40487265
1800	30min	16	1,018	1,0058	12,69	0,0101964929	0,00001138	0,9999	11,46510957
3600	1h	17	1,016	1,0056	13,22	0,0072646614	0,00001109	0,99988	9,77339531
7200	2h	17	1,015	1,0056	13,49	0,0051890831	0,00001109	0,99988	8,83364576



ENSAIO DE COMPACTAÇÃO

ABNT NBR 7182:2025 - Solos - Ensaio de compactação

AMO	STRA / OBRA / ENDER		Zona:	22J		
Estada Musician Lauf Davi D	anda Direc Cardon de Cul DC	Coordenadas UTM	X: 475846		846	
E strada Municipal José Dani, De	esvio Rizzo, Caxias do Sui, RS			Y:	676	9878
Data do ensaio:	02/07/2025	Temperatura (°C):	12,4	Umida	ide (%):	48

DADOS GERAIS DO ENSAIO										
h _{DE} (mm):	63,58	 Ao utilizar o cilir e h₃). Se cilindro pe 		ar a altura do disco espaçador das mediçõ	es de alturas (h ₁ , h ₂	Cilindro (P / G):	G			
h ₁ (mm)	177,75	Ø ₁ (mm)	152,26	Número do cilindro:	PROC6	Soquete (P / G):	G			
h ₂ (mm)	177,63	Ø ₂ (mm)	152,46	Massa do cilindro (g):	4908,00	Energia do ensaio (N / I / M):	N			
h ₃ (mm)	177,70	Ø ₃ (mm)	152,35	Volume do cilindro (mm²)	2080411,27	Número de camadas:	5			
h (mm)	114,11	Ø (mm)	152,36	Volume do cilindro (cm²)	2080,41	Número de golpes:	12			

UMIDADE HIGROSCÓPICA											
Ponto:	N° da cápsula: Cápsula (g): Cápsula + solo úmido solo úmido solo úmido (g): Cápsula + solo úmido solo úmido solo úmido solo úmido solo úmido solo seco (g): Água (g): (%):										
1	101	10,46	31,11	20,65	30,39	19,93	0,72	3,61			
2	111	8,50	33,28	24,78	32,31	23,81	0,97	4,07	3,54		
3	115	11,06	38,08	27,02	37,31	26,25	0,77	2,93			

ADIÇÃO DE ÁGUA										
Ponto: 1 2 3 4 5 6 7 8									8	
Massa de solo (g):		5000,00	5000,00	5000,00	5000,00	5000,00	5000,00			
Umidade desejada (%):		14	16	18	20	22	24			
Reúso de mate	erial? (S/N):	s	s	S	S	S	s			
Água a ser adicionada:	g:	700,00	100,00	100,00	100,00	100,00	100,00	0,00	0,00	
	ml:	700,00	100,00	100,00	100,00	100,00	100,00	0,00	0,00	

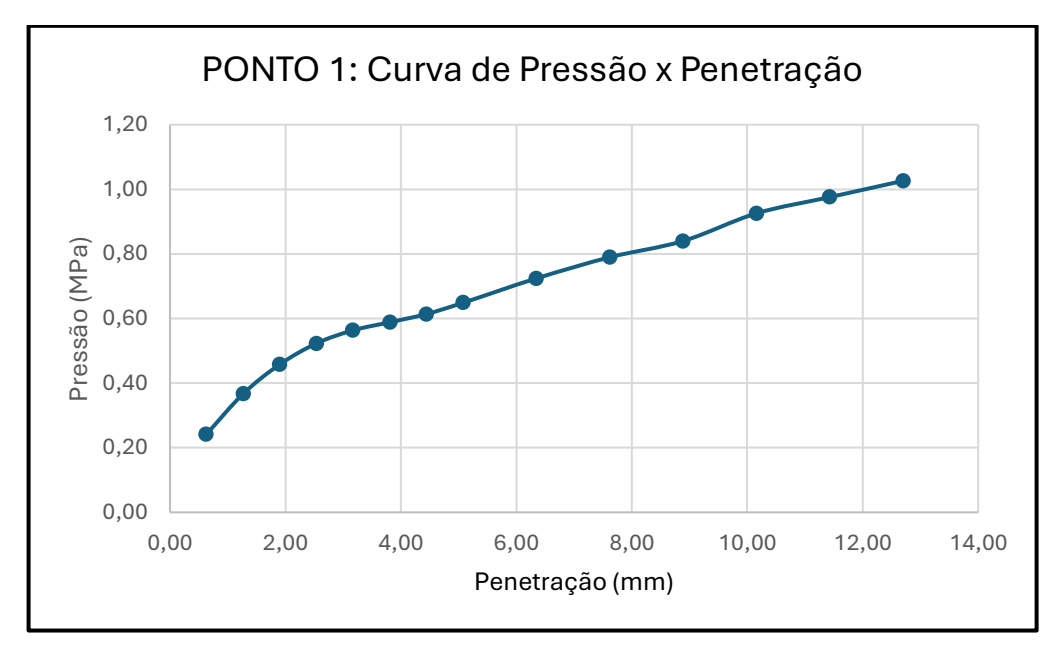
					EN	ISAIO DE CO	OMPACTAÇ	ÃO					
Ponto:	Nº da cápsula:	Tara da cápsula (g):	Cápsula + solo úmido (g):	Cápsula + solo seco (g):	Massa do solo úmido (g):	Massa do solo seco (g):	Massa da água (g):	Umidade W (%):	Umidade média W _{med} (%):	Massa do cilindro + solo (g):	Massa do solo compactado (g):	Massa específica do solo úmido → V _n (g/cm3)	Massa específica do solo seco → V _d (g/cm3)
	102	8,72	22,92	21,19	14,20	12,47	1,73	13,87					
1	104	11,35	29,11	26,93	17,76	15,58	2,18	13,99	13,33	8515,00	3607,00	1,73	1,530
	105	8,51	23,60	21,97	15,09	13,46	1,63	12,11					
	107	10,14	26,31	24,43	16,17	14,29	1,88	13,16					
2	110	9,83	25,11	22,80	15,28	12,97	2,31	17,81	16,09	8700,00	3792,00	1,82	1,570
	114	8,17	22,94	20,76	14,77	12,59	2,18	17,32					
	121	9,45	23,42	21,34	13,97	11,89	2,08	17,49					
3	126	9,04	25,92	22,52	16,88	13,48	3,40	25,22	22,32	8920,00	4012,00	1,93	1,577
	127	9,26	25,96	22,70	16,70	13,44	3,26	24,26					
	120	10,31	29,46	25,72	19,15	15,41	3,74	24,27					
4	123	11,78	27,84	24,65	16,06	12,87	3,19	24,79	25,55	8885,00	3977,00	1,91	1,523
	125	9,68	23,87	20,80	14,19	11,12	3,07	27,61					
	88	10,76	24,47	21,48	13,71	10,72	2,99	27,89					
5	91	10,41	22,40	19,75	11,99	9,34	2,65	28,37	27,40	8725,00	3817,00	1,83	1,440
	124	9,54	26,25	22,81	16,71	13,27	3,44	25,92					
					0,00	0,00	0,00	#DIV/0!					
6					0,00	0,00	0,00	#DIV/0!	#D1V/0!		-4908,00	-2,36	#DIV/0!
					0,00	0,00	0,00	#DIV/0!					
					0,00	0,00	0,00	#DIV/0!					
7					0,00	0,00	0,00	#D1V/0!	#D1V/0!		-4908,00	-2,36	#DIV/0!
					0,00	0,00	0,00	#DIV/0!					
					0,00	0,00	0,00	#DIV/0!					
8					0,00	0,00	0,00	#DIV/0!	#D1V/0!		-4908,00	-2,36	#DIV/0!
					0,00	0,00	0,00	#DIV/0!					



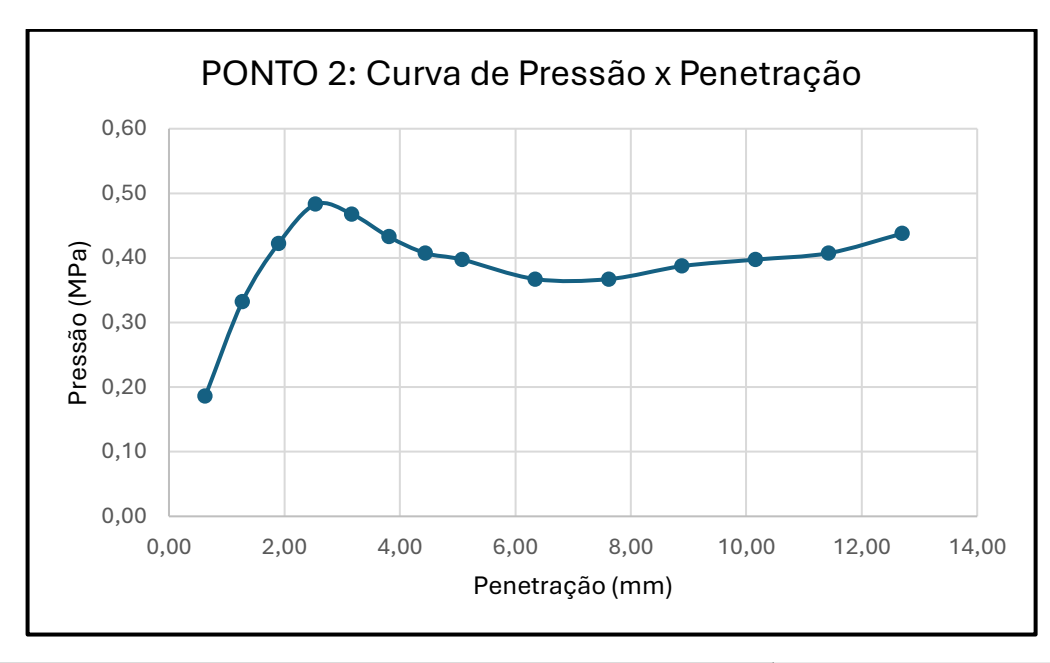
ENSAIO DE CBR

ABNT NBR 9895:2016 - Solo - Índice de suporte Califórnia (ISC) - Método de ensaio

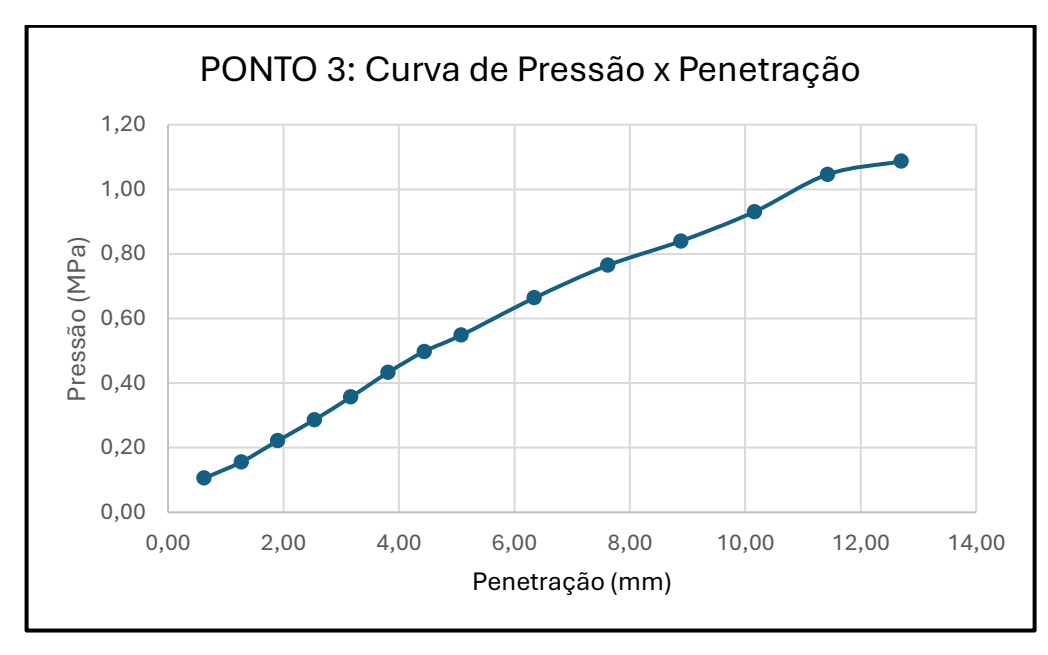
	AMC	OSTRA / OB	RA / ENDER	EÇO:		Caardanadaa	Zona:	2	2J
Estrada Munici	pal José Dani Γ	Desvio Rizzo, Cax	ias do Sul. RS			Coordenadas UTM	X:	475	5846
Lottada Mariici	pai 0000 Baili, E		ido do odi, i to				Y:	676	9878
Data do	ensaio:	30/06	/2025	Tempera	tura (°C):	14,1	Umida	de (%):	59
			U	MIDADE HIC	ROSCÓPIO	A			
Ponto:	Nº da cápsula:	Tara da cápsula (g):	Cápsula + solo úmido (g):	Peso do solo úmido (g):	Cápsula + solo seco (g):	Peso do solo seco (g):	Peso da água (g):	Umidade W (%):	Umidade média W _{med} (%):
1	68	8,16	19,32	11,16	18,93	10,77	0,39	3,62	
2	75	8,96	22,66	13,70	22,29	13,33	0,37	2,78	3,26
3	86	9,24	19,65	10,41	19,31	10,07	0,34	3,38	
_			IÇÃO DE ÁG			I -			
Ponto:		1	2	3	4	5			
Massa de solo		5000,00	5000,00	5000,00	5000,00	5000,00			
Umidade dese	·	12	14	16	18	20			
	g:	600,00	700,00	800,00	900,00	1000,00			
	ml:	600,00	700,00	800,00	900,00	1000,00			
		DADOS	GERAIS DO	ENSAIO					
h (mm):	63,58			paçador das altura	e modidae do cilin	udro (h. h. o.h.):	_		1
h _{DE} (mm):	177,84	Ø ₁ (mm):	152,52	Número do cilin		PROC5	P	OTNO'	
h ₁ (mm):	177,74	Ø ₂ (mm):	152,67	Massa do cilind		4576,00	I Imidade do no	nto (%):	14
h ₂ (mm):	177,74	Ø ₂ (mm):	152,67	Volume do cilina		2084420,44	Umidade do ponto (%): Energia do ensaio (N / I / M):		N N
h ₃ (mm): h (mm):	114,16	Ø (mm):	152,47	Volume do cilin	. ,	2084,42	Número de cam		5
, ,	CTAÇÃO:	` '	ótima (%):	16	γ _d (g/cm³)	1,577	Número de golp	12	
	o irigrio.	Omidado		DADE DO S		,	rtamere de gen		
	Nº da	Tara da	Cápsula +	Peso do solo	Cápsula +	Peso do solo	Peso da água	Umidade W	Umidade
Ponto:	cápsula:	cápsula (g):	solo úmido (g):	úmido (g):	solo seco (g):	seco (g):	(g):	(%):	média W _{med} (%):
1	27	7,86	20,25	12,39	18,39	10,53	1,86	17,66	
2	73	10,13	25,92	15,79	23,59	13,46	2,33	17,31	18,21
3	74	9,01	21,49	12,48	19,44	10,43	2,05	19,65	
	I	EXPA	NSÃO	I			PENET	RAÇÃO	l
Tempo	Data	Hora	Leitura no deflectômetro (mm)	Diferença de leitura no deflectômetro	Expansão (mm)	Penetração (mm)	Carga (kg)	Carga (N)	Pressão (MPa)
				(mm)		0,63	48,00	470,72	0,24
0h	30/06/2025	17h30	0,007	0,000		1,27	73,00	715,89	0,37
24h	01/07/2025	17h30	0,088	0,081		1,90	91,00	892,41	0,46
48h	02/07/2025	17h30	0,107	0,019	0,10	2,54	104,00	1019,89	0,52
72h	03/07/2027	17h30	0,113	0,006		3,17	112,00	1098,34	0,56
96h	04/07/2025	14h30	0,120	0,007		3,81	117,00	1147,38	0,59
		o úmido compac			0,00	4,44	122,00	1196,41	0,61
		o compactado M			4,00	5,08	129,00	1265,06	0,65
Aı	rea do pistão de	penetração (mm	·	194	9,38	6,35	144,00	1412,16	0,72
			O DO ISC			7,62	157,00	1539,64	0,79
Penetração (mm)	Coloritori	Pressão (MPa)	Decl-7	ISC (%)	Fator de correção "C"	8,89	167,00	1637,71	0,84
	Calculada	Corrigida	Padrão	7.50	355940 0	10,16	184,00	1804,42	0,93
2,54	0,52	0,52	6,9	7,58		11,43	194,00	1902,49	0,98
5,08	0,65	0,65	10,35	6,27		12,70	204,00	2000,56	1,03
				RESULTADO	S PARCIAIS:				
MASSA F	SPECÍFICA AP	ARENTE SECA	od (a/cm³):	1,568		SÃO (%):	0,10	ISC (%):	7
				1,000			-,		1



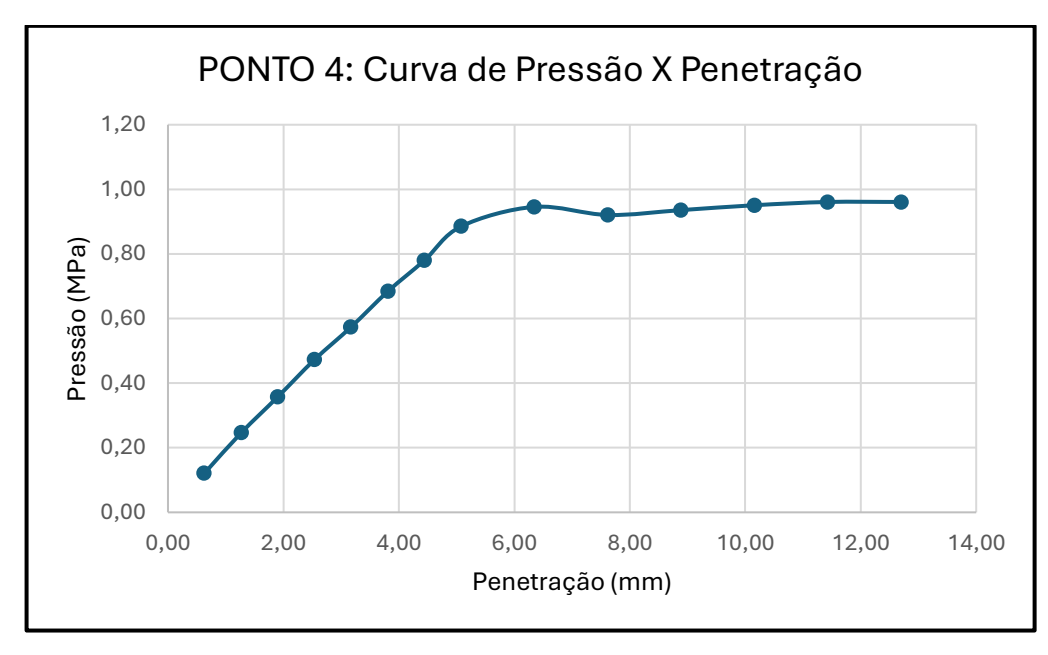
		DADOS	GERAIS DO	ENSAIO					
h _{DE} (mm):	63,58	← Descontar a	altura do disco es	paçador das altura	s medidas do cilin	dro (h ₁ , h ₂ e h ₃):	P	ONTO 2	2
h ₁ (mm):	177,46	Ø ₁ (mm):	152,65	Número do cilir	dro:	PROC4	•		
h ₂ (mm):	177,52	Ø ₂ (mm):	152,32	Massa do cilind	ro (g):	4840,00	Umidade do por	nto (%):	16
h ₃ (mm):	177,60	Ø ₃ (mm):	151,96	Volume do cilindro (mm³):		2076100,35	Energia do ensaio (N / I / M):		N
h (mm):	113,95	Ø (mm):	152,31	Volume do cilin	dro (cm³):	2076,10	Número de camadas:		5
COMPAG	CTAÇÃO:	Umidade	ótima (%):	16	γ _d (g/cm³)	1,577	Número de golp	oes:	12
		•	UMI	DADE DO S	OLO ENSAI	ADO	'		'
Ponto:	Nº da cápsula:	Tara da cápsula (g):	Cápsula + solo úmido (g):	Peso do solo úmido (g):	Cápsula + solo seco (g):	Peso do solo seco (g):	Peso da água (g):	Umidade W (%):	Umidade média W _{med} (%):
1	14	9,30	22,92	13,62	20,44	11,14	2,48	22,26	
2	30	8,55	22,25	13,70	19,93	11,38	2,32	20,39	21,35
3	67	8,11	22,12	14,01	19,65	11,54	2,47	21,40	-
	'	EXPA	NSÃO			PENETRAÇÃO			
Tempo	Data	Hora	Leitura no deflectômetro (mm)	Diferença de leitura no deflectômetro	Expansão (mm)	Penetração (mm)	Carga (kg)	Carga (N)	Pressão (MPa)
			(11111)	(mm)		0,63	37,00	362,85	0,19
0h	30/06/2025	17h30	0,080	0,000		1,27	66,00	647,24	0,33
24h	01/07/2025	17h30	0,520	0,440		1,90	84,00	823,76	0,42
48h	02/07/2025	17h30	0,560	0,040	0,44	2,54	96,00	941,44	0,48
72h	03/07/2027	17h30	0,570	0,010		3,17	93,00	912,02	0,47
96h	04/07/2025	14h30	0,580	0,010		3,81	86,00	843,37	0,43
Massa	do cilindro + sol	o úmido compac	tado (g):	856	0,00	4,44	81,00	794,34	0,41
Mass	sa do solo úmid	o compactado M	w (g):	372	0,00	5,08	79,00	774,73	0,40
Ár	rea do pistão de	penetração (mm	1 ²):	194	9,38	6,35	73,00	715,89	0,37
		CÁLCUL	O DO ISC	·		7,62	73,00	715,89	0,37
Penetração		Pressão (MPa)		100 (04)	Fator de	8,89	77,00	755,11	0,39
(mm)	Calculada	Corrigida	Padrão	ISC (%)	correção "C"	10,16	79,00	774,73	0,40
2,54	0,48	0,48	6,9	7,00		11,43	81,00	794,34	0,41
5,08	0,40	0,40	10,35	3,84		12,70	87,00	853,18	0,44
				DESIII TADO	S PARCIAIS:				
MACCA						_	0.44	ISC (%):	6
WASSA E	MASSA ESPECÍFICA APARENTE SECA ρd (g/cm³):		1,477	EXPAN	SÃO (%):	0,44	ISC (%):	o	



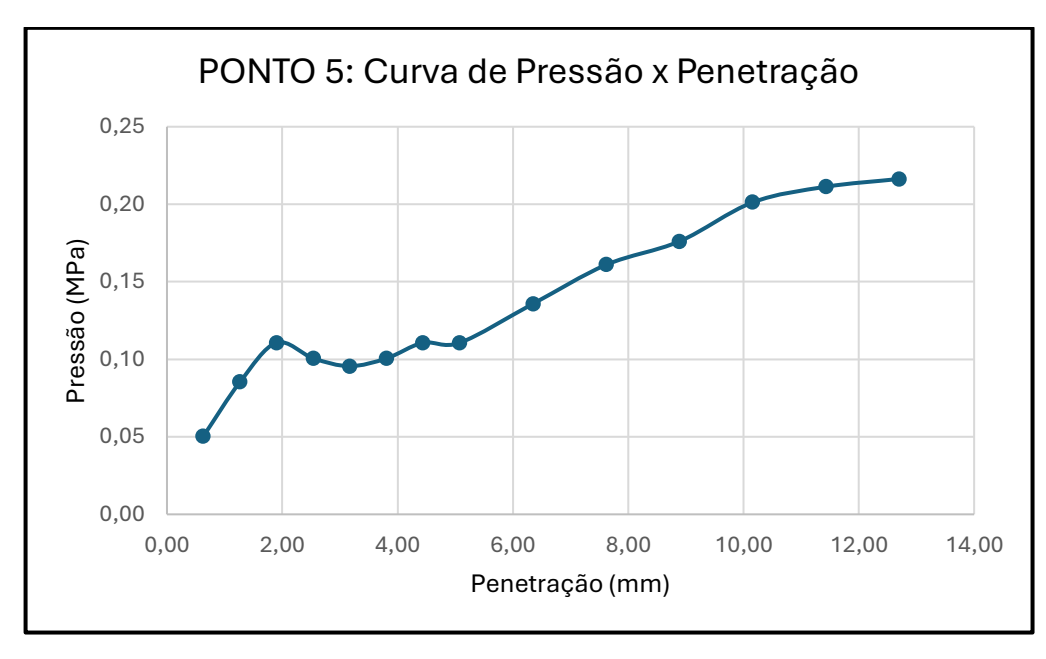
		DADOS	GERAIS DO	ENSAIO					
h _{DE} (mm):	63,58	← Descontar a	altura do disco es	paçador das altura	s medidas do cilin	dro (h ₁ , h ₂ e h ₃):	Р	ONTO 3	3
h ₁ (mm):	177,70	Ø ₁ (mm):	152,67	Número do cilin	dro:	PROC12	•		
h ₂ (mm):	177,70	Ø ₂ (mm):	152,51	Massa do cilind	ro (g):	4794,00	Umidade do por	nto (%):	18
h ₃ (mm):	177,75	Ø ₃ (mm):	152,57	Volume do cilindro (mm³):		2087032,74	Energia do ensaio (N / I / M):		N
h (mm):	114,14	Ø (mm):	152,58	Volume do cilin	dro (cm³):	2087,03	Número de camadas:		5
СОМРАС	CTAÇÃO:	Umidade	ótima (%):	16	γ _d (g/cm³)	1,577	Número de golp	es:	12
			UMII	DADE DO S	OLO ENSAI	ADO			
Ponto:	Nº da cápsula:	Tara da cápsula (g):	Cápsula + solo úmido (g):	Peso do solo úmido (g):	Cápsula + solo seco (g):	Peso do solo seco (g):	Peso da água (g):	Umidade W (%):	Umidade média W _{med} (%):
1	9	8,46	20,84	12,38	18,49	10,03	2,35	23,43	
2	49	9,76	21,63	11,87	19,19	9,43	2,44	25,87	25,13
3	72	7,87	20,53	12,66	17,91	10,04	2,62	26,10	
		EXPANSÃO				PENETRAÇÃO			
Tempo	Data	Hora	Leitura no deflectômetro (mm)	Diferença de leitura no deflectômetro	Expansão (mm)	Penetração (mm)	Carga (kg)	Carga (N)	Pressão (MPa)
			(11111)	(mm)		0,63	21,00	205,94	0,11
0h	30/06/2025	17h30	0,000	0,000		1,27	31,00	304,01	0,16
24h	01/07/2025	17h30	0,159	0,159		1,90	44,00	431,49	0,22
48h	02/07/2025	17h30	0,160	0,001	0,14	2,54	57,00	558,98	0,29
72h	03/07/2027	17h30	0,179	0,019		3,17	71,00	696,27	0,36
96h	04/07/2025	14h30	0,164	-0,015		3,81	86,00	843,37	0,43
Massa o	do cilindro + solo	o úmido compact	ado (g):	877	0,00	4,44	99,00	970,86	0,50
Mass	sa do solo úmid	o compactado M	_w (g):	397	6,00	5,08	109,00	1068,92	0,55
Ár	ea do pistão de	penetração (mm	²):	194	9,38	6,35	132,00	1294,48	0,66
		CÁLCUL	O DO ISC			7,62	152,00	1490,61	0,76
Penetração		Pressão (MPa)		ISC (%)	Fator de	8,89	167,00	1637,71	0,84
(mm)	Calculada	Corrigida	Padrão	130 (%)	correção "C"	10,16	185,00	1814,23	0,93
2,54	0,29	0,29	6,9	4,155747122		11,43	208,00	2039,78	1,05
5,08	0,55	0,55	10,35	5,297970015		12,70	216,00	2118,24	1,09
				RESULTADO	S PARCIAIS:				
MASSA ES	MASSA ESPECÍFICA APARENTE SECA pd (g/cm³):			1,522	EXPAN	SÃO (%):	0,14	ISC (%):	5

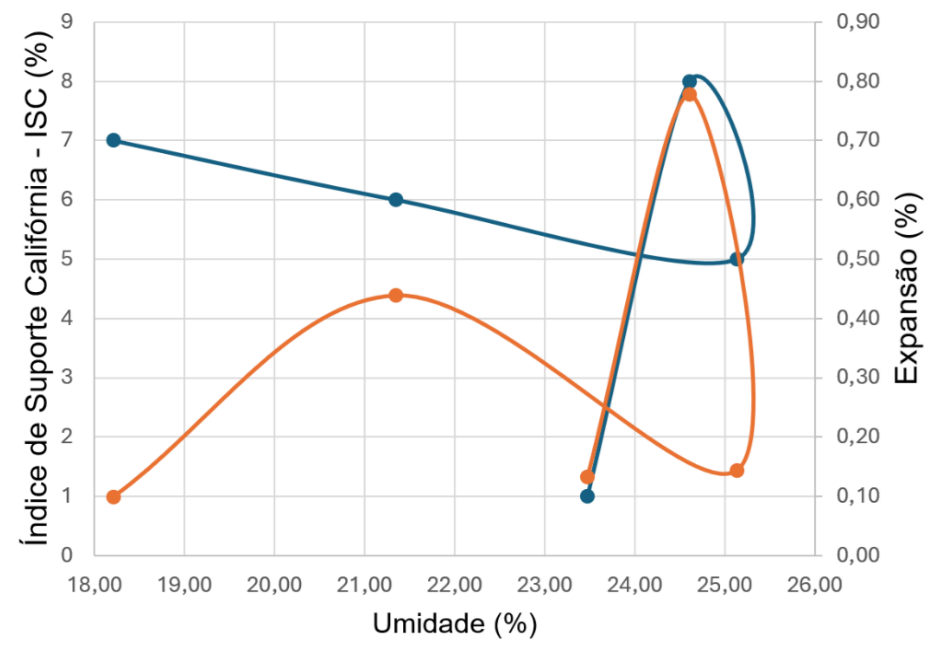


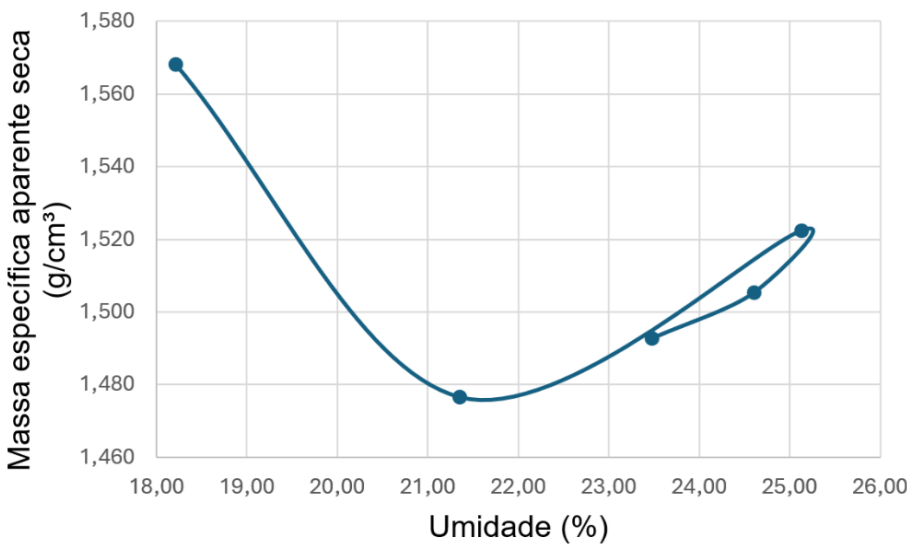
		DADOS	GERAIS DO	ENSAIO						
h _{DE} (mm):	63,58	← Descontar a	altura do disco es	paçador das altura	s medidas do cilin	idro (h ₁ , h ₂ e h ₃):	P	ONTO 4	4	
h ₁ (mm):	177,98	Ø ₁ (mm):	151,98	Número do cilir	idro:	PROC7	•	01110	•	
h ₂ (mm):	177,98	Ø ₂ (mm):	151,43	Massa do cilind	ro (g):	4806,00	Umidade do por	nto (%):	20	
h ₃ (mm):	177,92	Ø ₃ (mm):	151,17	Volume do cilin	dro (mm³):	2062614,72	Energia do ensaio (N / I / M):		N	
h (mm):	114,38	Ø (mm):	151,53	Volume do cilin	dro (cm³):	2062,61	Número de cam	adas:	5	
СОМРА	CTAÇÃO:	Umidade	ótima (%):	16	γ _d (g/cm³)	1,577	Número de golp	es:	12	
			UMI	DADE DO S	OLO ENSAI	ADO	<u>'</u>		<u>'</u>	
Ponto:	Nº da cápsula:	Tara da cápsula (g):	Cápsula + solo úmido (g):	Peso do solo úmido (g):	Cápsula + solo seco (g):	Peso do solo seco (g):	Peso da água (g):	Umidade W (%):	Umidade média W _{med} (%):	
1	18	10,66	24,17	13,51	21,54	10,88	2,63	24,17		
2	81	11,06	26,47	15,41	23,23	12,17	3,24	26,62	24,61	
3	85	9,60	24,99	15,39	22,11	12,51	2,88	23,02		
	<u>'</u>	EXPA	NSÃO		<u>'</u>		PENET	PENETRAÇÃO		
Tempo	Data	Hora	Leitura no deflectômetro (mm)	Diferença de leitura no deflectômetro	Expansão (mm)	Penetração (mm)	Carga (kg)	Carga (N)	Pressão (MPa)	
			(11111)	(mm)		0,63	24,00	235,36	0,12	
0h	30/06/2025	17h30	0,010	0,000		1,27	49,00	480,53	0,25	
24h	01/07/2025	17h30	0,900	0,890		1,90	71,00	696,27	0,36	
48h	02/07/2025	17h30	0,910	0,010	0,78	2,54	94,00	921,83	0,47	
72h	03/07/2027	17h30	0,940	0,030		3,17	114,00	1117,96	0,57	
96h	04/07/2025	14h30	0,900	-0,040		3,81	136,00	1333,70	0,68	
Massa	do cilindro + sol	o úmido compac	tado (g):	867	5,00	4,44	155,00	1520,03	0,78	
Mass	sa do solo úmid	o compactado M	w (g):	386	9,00	5,08	176,00	1725,97	0,89	
Ár	ea do pistão de	penetração (mm	l²):	194	9,38	6,35	188,00	1843,65	0,95	
		CÁLCUL	O DO ISC	<u>'</u>		7,62	183,00	1794,62	0,92	
Penetração		Pressão (MPa)			Fator de	8,89	186,00	1824,04	0,94	
(mm)	Calculada	Corrigida	Padrão	ISC (%)	correção "C"	10,16	189,00	1853,46	0,95	
2,54	0,47	0,47	6,9	6,85		11,43	191,00	1873,07	0,96	
5,08	0,89	0,89	10,35	8,55		12,70	191,00	1873,07	0,96	
				DESIII TADO	S PARCIAIS:					
MACCA	enecícica an	ADENTE SECA	od (alom³):		I	_	0.79	ISC (%):	8	
IVIASSA E	SPECIFICA AP	ARENTE SECA	pu (g/cin*):	1,505	EXPAN	SÃO (%):	0,78	ISC (%):	8	



		DADOS	GERAIS DO	ENSAIO					
h _{DE} (mm):	63,58	← Descontar a	altura do disco es	paçador das altura	s medidas do cilin	dro (h ₁ , h ₂ e h ₃):	P	ONTO	5
h ₁ (mm):	177,69	Ø ₁ (mm):	152,76	Número do cilir	dro:	PROC14	•		
h ₂ (mm):	177,72	Ø ₂ (mm):	152,39	Massa do cilind	ro (g):	4818,00	Umidade do por	nto (%):	22
h ₃ (mm):	177,86	Ø ₃ (mm):	152,84	Volume do cilin	dro (mm³):	2089953,98	Energia do ensaio (N / I / M):		N
h (mm):	114,18	Ø (mm):	152,66	Volume do cilin	dro (cm³):	2089,95	Número de cam	adas:	5
COMPAG	CTAÇÃO:	Umidade	ótima (%):	16	γ _d (g/cm³)	1,577	Número de golp	oes:	12
			UMI	DADE DO S	OLO ENSAI	ADO	<u>'</u>		
Ponto:	Nº da cápsula:	Tara da cápsula (g):	Cápsula + solo úmido (g):	Peso do solo úmido (g):	Cápsula + solo seco (g):	Peso do solo seco (g):	Peso da água (g):	Umidade W (%):	Umidade média W _{med} (%):
1	46	8,22	24,07	15,85	21,05	12,83	3,02	23,54	
2	70	8,70	26,00	17,30	23,16	14,46	2,84	19,64	23,47
3	84	8,30	24,74	16,44	21,22	12,92	3,52	27,24	
		EXPA	NSÃO	<u>'</u>			PENET	RAÇÃO	
Tempo	Data	Hora	Leitura no deflectômetro (mm)	Diferença de leitura no deflectômetro	Expansão (mm)	Penetração (mm)	Carga (kg)	Carga (N)	Pressão (MPa)
			(11111)	(mm)		0,63	10,00	98,07	0,05
0h	30/06/2025	17h30	0,000	0,000		1,27	17,00	166,71	0,09
24h	01/07/2025	17h30	0,179	0,179		1,90	22,00	215,75	0,11
48h	02/07/2025	17h30	0,145	-0,034	0,13	2,54	20,00	196,13	0,10
72h	03/07/2027	17h30	0,125	-0,020		3,17	19,00	186,33	0,10
96h	04/07/2025	14h30	0,151	0,026		3,81	20,00	196,13	0,10
Massa	do cilindro + sol	o úmido compac	tado (g):	867	0,00	4,44	22,00	215,75	0,11
Mass	sa do solo úmid	o compactado M	w (g):	385	2,00	5,08	22,00	215,75	0,11
Ár	ea do pistão de	penetração (mm	l²):	194	9,38	6,35	27,00	264,78	0,14
		CÁLCUL	O DO ISC	<u>'</u>		7,62	32,00	313,81	0,16
Penetração		Pressão (MPa)		100 (0/)	Fator de	8,89	35,00	343,23	0,18
(mm)	Calculada	Corrigida	Padrão	ISC (%)	correção "C"	10,16	40,00	392,27	0,20
2,54	0,10	0,10	6,9	1,458156885		11,43	42,00	411,88	0,21
5,08	0,11	0,11	10,35	1,069315049	0,000000000	12,70	43,00	421,69	0,22
				RESULTADO	S PARCIAIS:				
MASSA E	MASSA ESPECÍFICA APARENTE SECA pd (g/cm³):			1,493	EXPAN	SÃO (%):	0,13	ISC (%):	1









ENSAIO DCP - CONE DE PENETRAÇÃO DINÂMICA

ABNT NBR 17091:2023 - Solos - Ensaio do Cone de Penetração Dinâmica
TRABALHO DE CONCLUSÃO DE CURSO II - MARCELO PONTICELLI
Orientadora: Profa Ma Cinthia Cristina Morais Rocha

Obra / Localização: ESTRADA MUNICIPAL JOSÉ DANI, DESVIO RIZZO, CAXIAS DO SUL - RS	Tipo: ≺	() (X)	BGS (Brita Graduada Simples) Solo	
		()	Areia	

	ENGAG	0.1			ENGAIC	\ \ \ \ \ \ \ \ \ \ \ \ \ \ \ \ \ \ \		()	Areia	\ III	
0	X: 475851	01		0	ENSAIC X: 475827	ווע		0	ENSAIC X: 475857) III	
Coord. UTM	Y: 6769885			Coord. UTM	Y: 6769989			Coord. UTM	Y: 6769863		
Nº de Golpes	Penetração (mm)	OE	BS .	Nº de Golpes	Penetração (mm)	O	BS	Nº de Golpes	Penetração (mm)	OE	3S
0	25	Penetraç	ão Inicial	0	40	Penetraç	ão Inicial	0	38	Penetraç	ão Inicial
3	48			3	67			3	71		
6	57	1		6	92			6	120		
9	86	1		9	114			9	132		
12	104	1		12	139			12	215		
15	128	Ī		15	174			15	233		
18	141	1		18	212			18	254		
21	162	1		21	255			21	296		
24	175	Ī		24	296			24	338		
27	190	1		27	325			27	391		
30	201]		30	354			30	447		
33	211	Ī		33	388			33	508		
36	222	1		36	449			36	568		
39	231			39	486			39	607		
42	303	1		42	521			42	654		
45	316			45	560			45	685		
48	331			48	592			48	703		
51	342			51	650			51	721		
54	356	1		54	709			54	735		
57	377			57	780			57	748		
60	406			60	843			60	759		
63	446			63	882			63	768		
66	497			66	915			66	776		
69	541			69	944			69	789		
72	568			72				72	803		
75	577			75				75	817		
78	588	1		78				78	836		
81	599			81				81	854		
84	624			84				84	868		
87	650			87				87	887		
90	667			90				90	909		
93	689			93				93	923		
	689	Penetraç	ão Final		944	Penetra	ção Final		923	Penetraç	ão Final
	93	Nº de 0	Golpes		69	Nº de	Golpes		93	Nº de C	Solpes
BSG	I _{PD} calculado (I	mm/golpe):	7,14	Solo	I _{PD} calculado (r	mm/golpe):	13,10	Areia	I _{PD} calculado (r	mm/golpe):	9,52
	ISC (%	6)	32,30		ISC (%	b)	16,37		ISC (%)		
	VA	ALORES ACE	EITÁVEIS (n	nm/golpe):	BSG: <i>I_{PD}</i> ≤ 6	5	SOLO: <i>I _{PD}</i> ≤ 1	7	AREIA: <i>I</i> _{PD} ≤ 22		
	(Burney & River Burney & River Page FOUACÃO DE REGRESSÃO ASTM 292										

Cálculo DCP $I_{PD} = \frac{(Penetração\ Final - Penetração\ Inicial)}{N^{\circ}\ de\ Golpes} \quad \begin{array}{|l|l|} & \text{EQUAÇÃO}\ DE\ REGRESSÃO\ ASTM} \\ & \text{D6951:}\ ISC\ (INDICE\ DE\ SUPORTE\ CALIFÓRNIA)} & ISC\ = \frac{292}{I_{PD}^{-1,12}} \end{array}$

APÊNDICE C – PLANILHAS DE CÁLCULO, ESTRADA MUNICIPAL ÂNGELO RUFFATO



ENSAIO PARA DETERMINAÇÃO DO TEOR DE UMIDADE

ABNT NBR 6457:2024 - Solos - Preparação de amostras para ensaios de compactação, caracterização e determinação do teor de umidade.

AMOSTRA / OBRA / ENDEREÇO:		Zona:	22J
Estrada Municipal Ângelo Ruffato, Desvio Rizzo, Caxias do Sul, RS	Coordenadas UTM	X:	477034
Estiada in unicipal Angelo Runato, Desvio Rizzo, Caxias do Sui, RS		Y:	6768391

Data do ensaio:	27/05/2025	Temperatura (°C):	15	Umidade (%):	89	
-----------------	------------	-------------------	----	---------------	----	--

	ENSAIO 1											
Ponto:	Nº da cápsula:	Tara da cápsula (g):	Cápsula + solo úmido (g):	Massa do solo úmido (g):	Cápsula + solo seco (g):	Massa do solo seco (g):	Massa da água (g):	Umidade W (%):	Umidade média W _{med} (%):			
1	33	11,79	30,25	18,46	28,61	16,82	1,64	9,75				
2	37	9,30	24,35	15,05	23,00	13,70	1,35	9,85	9,80			
3	83	9,45	25,57	16,12	24,13	14,68	1,44	9,81				

	ENSAIO 2											
Ponto:	Nº da cápsula:	Tara da cápsula (g):	Cápsula + solo úmido (g):	Massa do solo úmido (g):	Cápsula + solo seco (g):	Massa do solo seco (g):	Massa da água (g):	Umidade W (%):	Umidade média W _{med} (%):			
1				0,00		0,00	0,00	#DIV/0!				
2				0,00		0,00	0,00	#DIV/0!	#DIV/0!			
3				0,00		0,00	0,00	#DIV/0!				

	ENSAIO 3											
Ponto:	Nº da cápsula:	Tara da cápsula (g):	Cápsula + solo úmido (g):	Massa do solo úmido (g):	Cápsula + solo seco (g):	Massa do solo seco (g):	Massa da água (g):	Umidade W (%):	Umidade média W _{med} (%):			
1				0,00		0,00	0,00	#DIV/0!				
2				0,00		0,00	0,00	#DIV/0!	#DIV/0!			
3				0,00		0,00	0,00	#DIV/0!				

	ENSAIO 4											
Ponto:	Nº da cápsula:	Tara da cápsula (g):	Cápsula + solo úmido (g):	Massa do solo úmido (g):	Cápsula + solo seco (g):	Massa do solo seco (g):	Massa da água (g):	Umidade W (%):	Umidade média W _{med} (%):			
1				0,00		0,00	0,00	#DIV/0!				
2				0,00		0,00	0,00	#DIV/0!	#DIV/0!			
3				0,00		0,00	0,00	#DIV/0!				



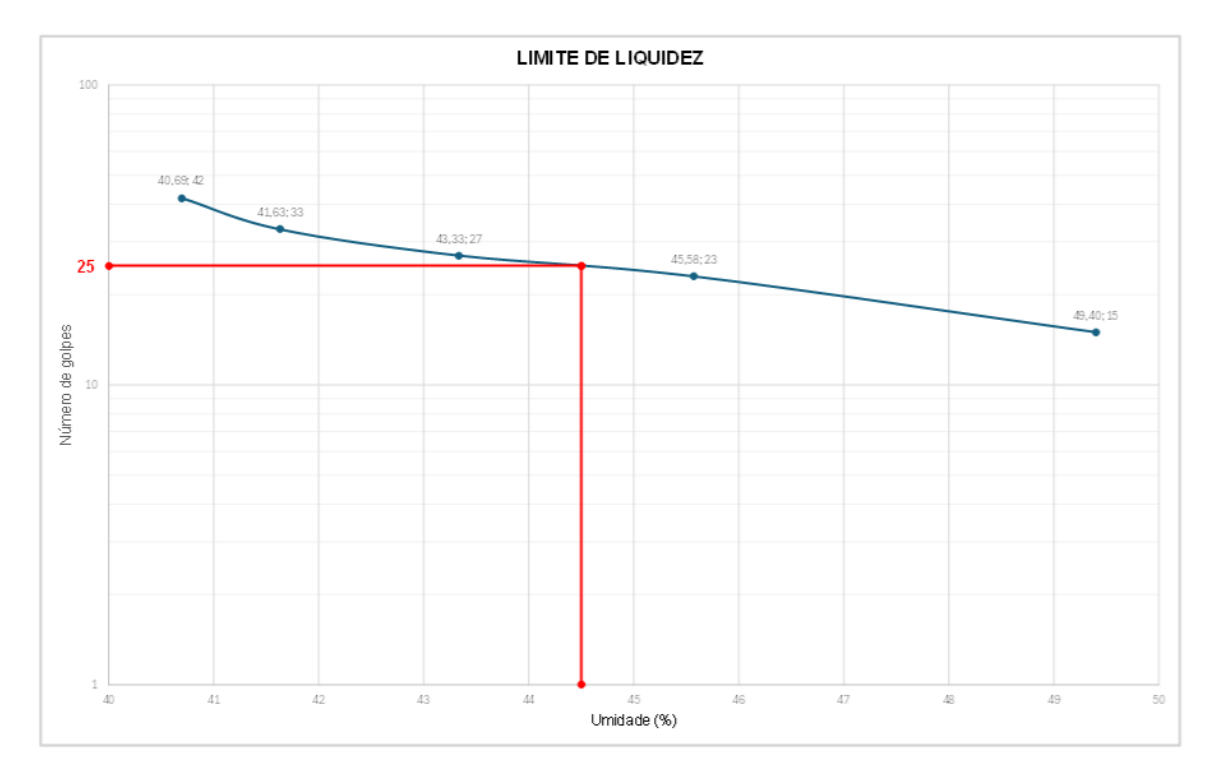
ENSAIO PARA DETERMINAÇÃO DO LIMITE DE LIQUIDEZ

ABNT NBR 6459:2016 - Solo - Determinação do Limite de Liquidez

AMO	AMOSTRA / OBRA / ENDEREÇO:						22	2J
Estrada Municipal Ângelo Ruffat	o Docuio Pizzo	Cavina da Sul Di	Coordenadas UTM	X:	477	034		
Estrada Municipal Angelo Runal	o, Desvio Rizzo,	Caxias do Sui, Ro			Y:	6768391		
Data do ensaio:	28/05/2025	Equipamento:	ambiente (°C):	19,5	Umidade (%):	78		

	UMIDADE HIGROSCÓPICA											
Ponto:	Nº da cápsula:	Tara da cápsula (g):	Cápsula + solo úmido (g):	Massa do solo úmido (g):	Cápsula + solo seco (g):	Massa do solo seco (g):	Massa da água (g):	Umidade W (%):	Umidade média W _{med} (%):			
1	33	11,79	30,25	18,46	28,61	16,82	1,64	9,75				
2	37	9,30	24,35	15,05	23,00	13,70	1,35	9,85	9,80			
3	83	9,45	25,57	16,12	24,13	14,68	1,44	9,81				

	LIMITE DE LIQUIDEZ										
Ponto:	Nº da cápsula:	Tara da cápsula (g):	Cápsula + solo úmido (g):	Massa do solo úmido (g):	Cápsula + solo seco (g):	Massa do solo seco (g):	Massa da água (g):	Umidade W (%):	Número de golpes:		
1	4	8,44	17,36	8,92	14,78	6,34	2,58	40,69	42		
2	18	10,64	21,22	10,58	18,11	7,47	3,11	41,63	33		
3	26	11,54	21,43	9,89	18,44	6,90	2,99	43,33	27		
4	62	11,51	20,23	8,72	17,50	5,99	2,73	45,58	23		
5	71	10,78	21,97	11,19	18,27	7,49	3,70	49,40	15		



	Sér	ie 2:	Seri	ie 3:
Determinação gráfica do Limite de Liquidez	X	Υ	Х	Y
	40	25	44,5	1
	44,5	25	44,5	25

RESULTADO):
Valor truncado (%)	44,50
LIMITE DE LIQUIDEZ (%)	45



ENSAIO PARA DETERMINAÇÃO DO LIMITE DE PLASTICIDADE

ABNT NBR 7180:2016 - Solo - Determinação do Limite de Plasticidade

AMOSTRA / OBRA / ENDEREÇO:		Zona:	22J
Estrada Municipal Ângelo Ruffato, Desvio Rizzo, Caxias do Sul, RS	Coordenadas UTM	X:	477034
Estraua iviunicipai Arigeio Runato, Desvio Rizzo, Caxias do Sul, RS		Y:	6768391

Data do ensaio:	28/05/2025	Temperatura (°C):	19,5	Umidade (%):	78
-----------------	------------	-------------------	------	---------------	----

UMIDADE HIGROSCÓPICA									
Ponto: Nº da cápsula: Tara da cápsula (g): Cápsula + solo úmido (g): Massa do solo úmido (g): Cápsula + solo úmido (g): Cápsula + solo úmido (g): Cápsula + solo seco (g): Adassa do solo seco (g): Água (g): (%):									
1	33	11,79	30,25	18,46	28,61	16,82	1,64	9,75	
2	37	9,30	24,35	15,05	23,00	13,70	1,35	9,85	9,80
3	83	9,45	25,57	16,12	24,13	14,68	1,44	9,81	

Ponto:	Nº da cápsula:	Tara da cápsula (g):	Cápsula + solo úmido (g):	Massa do solo úmido (g):	Cápsula + solo seco (g):	Massa do solo seco (g):	Massa da água (g):	Umidade W (%):	Umidade média W _{med} (%):
1	13	11,98	12,92	0,94	12,70	0,72	0,22	30,56	
2	25	10,69	11,45	0,76	11,26	0,57	0,30	33,33	
3	63	8,87	9,70	0,83	9,50	0,63	0,20	31,75	31,44
4	70	8,67	9,74	1,07	9,49	0,82	0,25	30,49	
5	86	9,24	10,21	0,97	9,98	0,74	0,23	31,08	

Valores satisfatórios:	5%	A	▼
ABNT NBR 7180:2016, p.2, item 5.1.1	1,572038066	33,01	29,87

RESULTADOS						
LIMITE DE LIQUIDEZ LL = 48						
LIMITE DE PLASTICIDADE	LP=	31				
ÍNDICE DE PLASTICIDADE	IP=	14				



DETERMINAÇÃO DE MASSA ESPECÍFICA

ABNT NBR 17212:2025 - Solos - Determinação da massa específica dos sólidos da fração passante na peneira com abertura de 2,0 mm

AMOSTRA / OBRA / ENDEREÇO:		Zona:	22J
Estrada Municipal Ângelo Ruffato, Desvio Rizzo, Caxias do Sul. RS	Coordenadas UTM	X:	477034
Estiada ividilicipal Afigelo Ruffato, Desvio Rizzo, Caxias do Sui, RS		Y:	6768391

Data	do ensaio:	29/05/2025	Temperatura (°C):	16,3	Umidade (%):	55	l
------	------------	------------	-------------------	------	---------------	----	---

UMIDADE HIGROSCÓPICA										
Ponto: Nº da cápsula: Tara da cápsula (g): Cápsula + solo úmido (g): Massa do solo úmido (g): Cápsula + solo seco (g): Massa do solo seco (g): Massa da água (g): Umidade W (%):										
1	15	10,68	24,81	14,13	23,44	12,76	1,37	10,74		
2	67	8,11	24,86	16,75	23,23	15,12	1,63	10,78	10,75	
3	69	9,74	27,90	18,16	26,14	16,40	1,76	10,73		

DETERMINAÇÃO DA MASSA ESPECÍFICA DOS SÓLIDOS $ ightarrow$ $ ho_s$ (g/cm³)										
Ensaio	1	1 2								
Massa do solo seco \rightarrow M _s (g):	50,09	50,05	50,07							
Início da imersão (h):	13h42	13h42	13h42							
Fim da imersão (h);	09h51	10h13	10h59							
Massa do balão volumétrico + solo + água → M ₂ (g):	715,99	689,49	680,26							
Temperatura do ensaio → T (°C):	19	19	19							
Massa específica da àgua (Tabela A.1) $ ightarrow ho_{w(T)}$ (°C):	0,99984	0,99984	0,99984							
Massa do balão volumétrico + água (Calibração) → M₁ (g):	688,50	661,47	651,69							
Massa específica dos sólidos $\rightarrow \rho_s$ (g/cm³): 2,216 2,272 2,328										
assa específica dos sólidos → ρs (g/cm³): 2,272										



ENSAIO DE GRANULOMETRIA

ABNT NBR 7181:2025 - Solo - Análise granulométrica

TRABALHO DE CONCLUSÃO DE CURSO II - MARCELO PONTICELLI Orientadora: Prof^o M^o Cinthia Cristina Morais Rocha

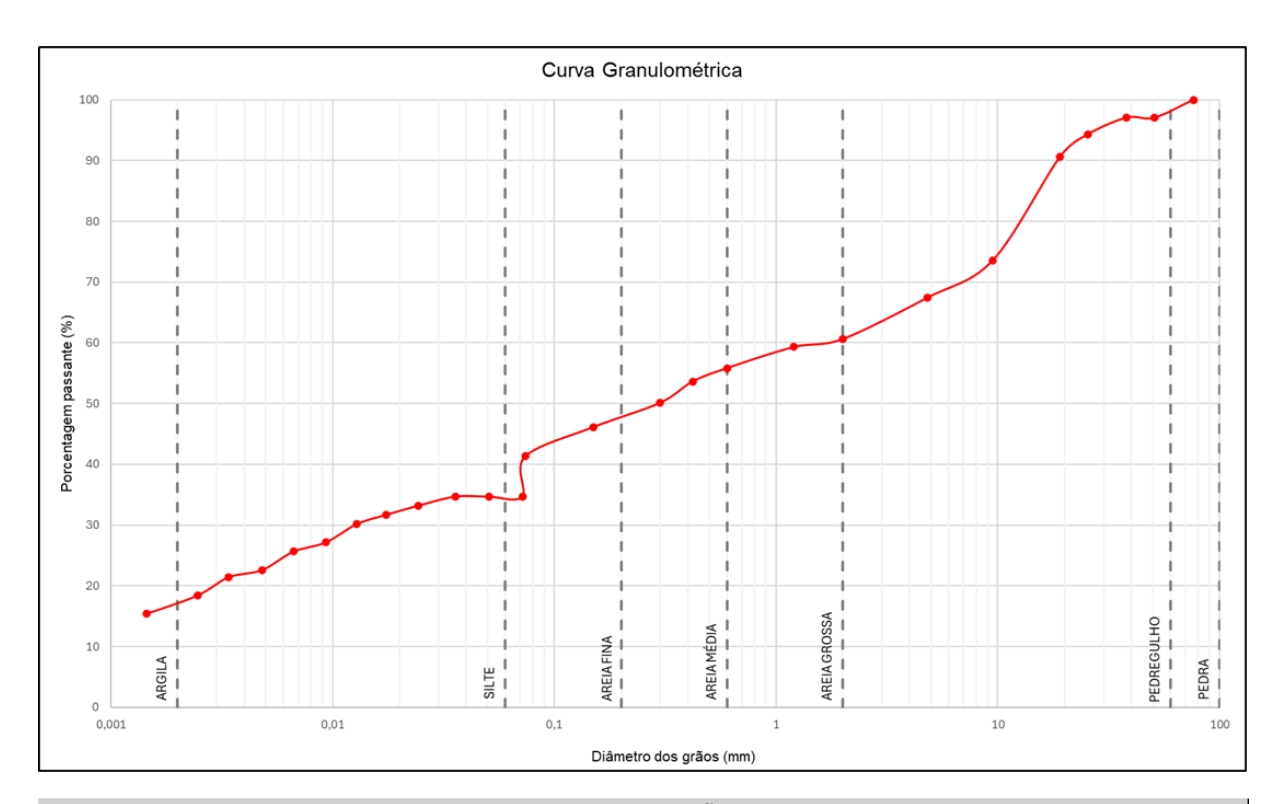
	A	MOSTRA / OBF	RA / ENDEREÇO	D:			Zona:	22J				
Catroda Municip	nal Âmarala Duffa	to Desvio Dinne	Cavias da Cul	DC		Coordenadas UTM	X: 47		7034			
Estrada Municip	oai Angelo Rulla	ito, Desvio Rizzo	, Caxias do Sui,			Y :	676	8391				
Data do	ensaio:	04/06	/2025	tura (°C):	19,1	Umida	de (%):	76				
	UMIDADE HIGROSCÓPICA											
Ponto:	Nº da cápsula:	Tara da cápsula (g):	Cápsula + solo úmido (g):	Massa do solo úmido (g):	Cápsula + solo seco (g):	Massa do solo seco (g):	Massa da água (g):	Umidade W (%):	Umidade média W _{med} (%):			
1	30	8,54	23,59	15,05	22,27	13,73	1,32	9,61				
2	65	9,24	22,50	21,45	12,21	1,05	8,60	9,40				
3	79	12,27	23,40	11,13	22,39	10,12	1,01	9,98				
PENEIRAMENTO												

PENEIRAMENTO										
$ \text{Massa da amostra seca à temperatura ambiente} \rightarrow \textbf{M}_{\textbf{t}} \ (g) : \\ \text{8000,00} \qquad \text{Massa do material seco retido na peneira \# 2,00mm} \rightarrow \textbf{M}_{\textbf{g}} \ (g) : \\ \text{498,49} $										
Umidade higroscópica → W (decimal):	0,0940	Massa total da amostra seca → M _{s(t)} (g):	7355,58							
Material retido acumulado na peneira # 2,00mm \rightarrow $\mathbf{M}_{r(2,0mm)}$ (g): 2894,67 % de material que passa na peneira # 2,00mm \rightarrow \mathbf{N} (%): 60,65										

Massa do material úmido submetido à sedimentação e peneiramento $\rightarrow M_u$ (g): 70,03

Massa da amostra (g):	Per	neiras:	Massa do material retido em cada	Percentual da amostra total		Porcentagem do material retido	Porcentagem dos materiais	Dados para o gráfico - Peneiramento Grosso		
2917,09	Nº:	Abertura (mm):	peneira $\rightarrow \mathbf{M_r}$ (g):	(%):		acumulado (%)	que passam $\mathbf{Q_g} \ \mathbf{e} \ \mathbf{Q_f} \ (\%)$	Peneiras / Abertura (mm):	% Passante:	
SO	3"	76,2	0,00	0,00	0,00	0,00	100,00	0,074	41,32	
SOS	2"	50,8	215,74	7,40	215,74	7,40	97,07	0,15	46,15	
PENEIRAMENTO GROSSO	1,5"	38,1	0,00	0,00	215,74	7,40	97,07	0,3	50,14	
ENT	1"	25,4	202,70	6,95	418,44	14,34	94,31	0,42	53,64	
RAM	3/4"	19,1	269,73	9,25	688,17	23,59	90,64	0,6	55,84	
IN EI	3/8"	9,5	1254,08	42,99	1942,25	66,58	73,59	1,2	59,31	
ä	4	4,8	453,93	15,56	2396,18	82,14	67,42	2	60,65	
	10	2	498,49	17,09	2894,67	99,23	60,65	4,8	67,42	
PENEIRAMENTO FINO	16	1,2	1,41	0,05	1,41	99,28	59,31	9,5	73,59	
5	30	0,6	3,66	0,13	5,07	99,41	55,84	19,1	90,64	
MEN	40	0,42	2,33	0,08	7,40	99,49	53,64	25,4	94,31	
EIRA	50	0,3	3,69	0,13	11,09	99,61	50,14	38,1	97,07	
PEN	100	0,15	4,21	0,14	15,30	99,76	46,15	50,8	97,07	
	200	0,074	5,10	0,17	20,40	99,93	41,32	76,2	100,00	
	Fu	ındo	2,02	0,07	22,42	100,00	39,41			
	∑Massa (g):		2917,09							

	Pedregulho	Areia Grossa	Areia Média	Areia Fina	Silte + Argila	TOTAL
RESUMO DA GRANULOMETRIA (%)	(> 2,00 mm)	2,00 - 0,6 mm	0,6 - 0,2 mm	0,2 - 0,06 mm	(< 0,074 mm)	TOTAL
(,	39,35	4,80	5,70	8,82	41,32	100,00



				SEDIME	NTAÇÃO					
Densímetro Nº:	1	Proveta Nº:	-	Defloculante:	Hexametafosfat	o de sódio				
Massa especifi ρ _s (g		2,342	Massa de solo s à sedimenta	seco submetido ação: M s (g)	70,03	_	e material que pa ertura de 2,00 mr	•	60,65	
Início da sec	dimentação:		Leitura no	Leitura do	Altura de	Diâmetro das	Viscosidade da	Massa específica da	Deventeren	
		Temperatura:	densímetro na	densímetro no meio	queda das	partículas do solo em	água: μ (g/cm² x s) Tabela 2,	água:	Porcentagem de material em	
Intervalos	Intervalos de tempo:		suspensão: L	dispersor:	partículas: Z (cm)	suspensão:	NBR 7181. Multiplicar	ρ _{md} (g/cm³): Tabela A.1,	suspensão P (%):	
t (s)	min, h		L _{md}		_ (,	d (mm)	por 10 ⁻⁶	NBR 17212	1 (/0).	
30	0,5min	20	1,028	1,0050	11,19	0,0717500318	0,00001029	0,9982	34,71381876	
60	1min	20	1,028	1,0050	11,19	0,0507349340	0,00001029	0,9982	34,71381876	
120	2min	20	1,028	1,0050	11,19	0,0358750159	0,00001029	0,9982	34,71381876	
240	4min	20	1,027	1,0050	10,29	0,0243259466	0,00001029	0,9982	33,20452229	
480	8min	20	1,026	1,0050	10,56	0,0174252502	0,00001029	0,9982	31,69522583	
900	15min	20	1,025	1,0050	10,82	0,0128813108	0,00001029	0,9982	30,18592936	
1800	30min	20	1,023	1,0050	11,36	0,0093329856	0,00001029	0,9982	27,16733642	
3600	1h	20	1,022	1,0050	11,62	0,0066745117	0,00001029	0,9982	25,65803995	
7200	2h	20	1,020	1,0050	12,16	0,0048280107	0,00001029	0,9982	22,63944702	
14400	4h	21	1,019 1,0048		12,42	0,0034063558	0,00001003	0,9988	21,44158340	
28800	8h	21	1,017	1,0048	12,96	0,0024604623	0,00001003	0,9988	18,42164208	
86400	24h	21	1,015	1,0048	13,49	0,0014493042	0,00001003	0,9988	15,40170076	



ENSAIO DE COMPACTAÇÃO

ABNT NBR 7182:2025 - Solos - Ensaio de compactação

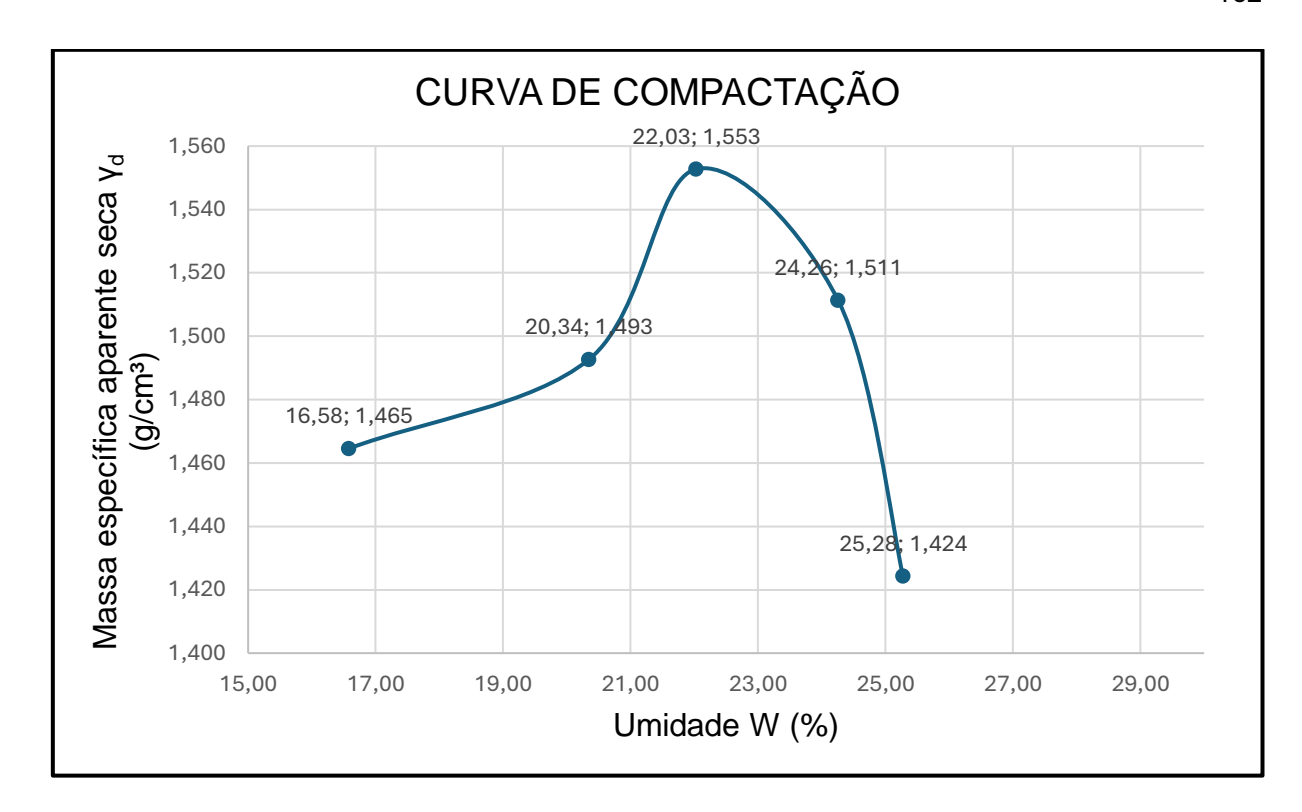
AMC	STRA / OBRA / ENDER	EÇO:		Zona:	2	2J		
Estrada Municipal Ângelo Ruffa	de Danie Biere Carier de Cul	Coordenadas UTM	X: 477034		7034			
Etrada Municipal Angelo Kuna	ato, Desvio Rizzo, Caxias do Sui,	no ca		Y :	676	8391		
Data do ensaio:	01/07/2025	Temperatura (°C):	14	Umida	Umidade (%): 43			

	DADOS GERAIS DO ENSAIO											
h _{UE} (mm): 63,58 —Ao utilizar o cilin dro grande, de contar a altura do disco espaçador das medições de alturas Cilindro (P / G): (hi, hi e hi). Se cilindro pe queno, hxx = 0												
h, (mm)	177,75	Ø ₁ (mm)	152,28	Número do allindro:	Soquete (P / G):	G						
h, (mm)	177,63	Ø ₂ (mm)	152,48	Massa do cilindro (g):	4908,00	Energia do ensaio (N / I / M):	N					
h: (mm)	177,70	Ø₃ (mm)	152,35	Volume do cilindro (mm²)	2080411,27	Número de camadas:	5					
h (mm)	114,11	Ø (mm)	152,38	Volume do cilindro (cm²)	2080,41	Número de golpes:	12					

UMIDADE HIGROSCÓPICA												
Ponto:	Ponto: Nº da cápsula (g): (g): (g): (g): (g): (g): (g): (g):											
1	41	10,50	24,98	14,48	24,51	14,01	0,47	3,35				
2	53	10,75	29,07	18,32	28,48	17,73	0,59	3,33	3,33			
3	60	10,97	25,64	14,67	25,17	14,20	0,47	3,31				

ADIÇÃO DE ÁGUA											
Ponto: 1 2 3 4 5 6 7 8											
Massa de solo (g): 5000,00 5000,00 5000,00 5000,00											
Umidade desejada (%): 16 18 20 22 24											
Reúso de mate	erial? (S/N):	S	s	s	s	s					
Água a ser g:		800,00	100,00	100,00	100,00	100,00	0,00	0,00	00,00		
adicionada:	ml:	800,00	100,00	100,00	100,00	100,00	0,00	0,00	00,0		

					EN	SAIO DE CO	OMPACTAÇ	ÃO					
Ponto:	Nº da cápsula:	Tara da cápsula (g):	Cápsula + solo úmido (g):	Cápsula + solo seco (g):	Mas sa do solo úmido (g):	Massa do solo seco (g):	Massa da água (g):	Umidade W (%)ः	Umidade média W _{med} (%):	Massa do cilindro + solo (g):	Massa do solo compactado (g):	Massa específica do solo úmido →γ, (g/cm3)	Massa específica do solo seco → _{Vd} (g/cm3)
	19	9,66	25,07	23,16	15,41	13,50	1,91	14,15					
1	51	11,35	22,77	21,07	11,42	9,72	1,70	17,49	16,58	8460,00	3552,00	1,71	1,48
	64	9,28	22,20	20,22	12,92	10,94	1,98	18,10					
	6	13,08	26,08	23,91	13,00	10,85	2,15	19,82					
2	17	8,28	20,17	18,16	11,89	9,88	2,01	20,34	20,34	8645,00	3737,00	1,80	1,49
	44	10,40	21,75	19,79	11,35	9,39	1,98	20,87					
	29	8,71	22,01	19,85	13,30	11,14	2,16	19,39					
3	35	8,25	21,87	19,33	13,62	11,08	2,54	22,92	22,03	8850,00	3942,00	1,89	1,55
	90	8,82	19,70	17,81	10,88	8,79	2,09	23,78					
	8	9,18	21,53	19,08	12,35	9,88	2,47	25,00					
4	40	12,41	26,23	23,49	13,82	11,08	2,74	24,73	24,26	8815,00	3907,00	1,88	1,51
	65	9,23	22,42	19,95	13,19	10,72	2,47	23,04					
	5	8,62	19,38	17,02	10,78	8,40	2,36	28,10					
5	28	11,04	24,92	22,75	13,88	11,71	2,17	18,53	25,28	8620,00	3712,00	1,78	1,42
	52	11,62	26,22	22,92	14,60	11,30	3,30	29,20					
					0,00	0,00	0,00	#DIV/0!					
6					0,00	0,00	0,00	#DIV/0!	#DIV/0!		-4908,00	-2,38	#DIV/0!
					0,00	00,00	0,00	#DIV/0!					
					0,00	0,00	0,00	#DIV/0!					
7					0,00	0,00	0,00	#DIV/0!	#DIV/0!		-4908,00	-2,38	#DIV/0!
					0,00	0,00	0,00	#DIV/0!					
					0,00	0,00	0,00	#DIV/0!					
8					0,00	0,00	0,00	#DIV/0!	#DIV/0!		-4908,00	-2,38	#DIV/0!
					0,00	00,0	0,00	#DIV/0!	1				

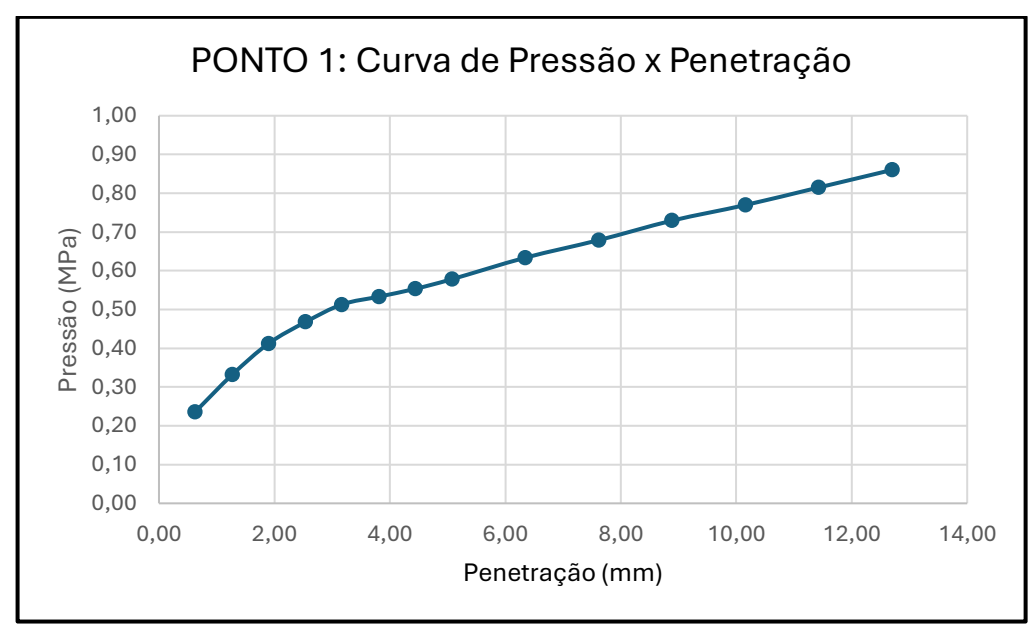




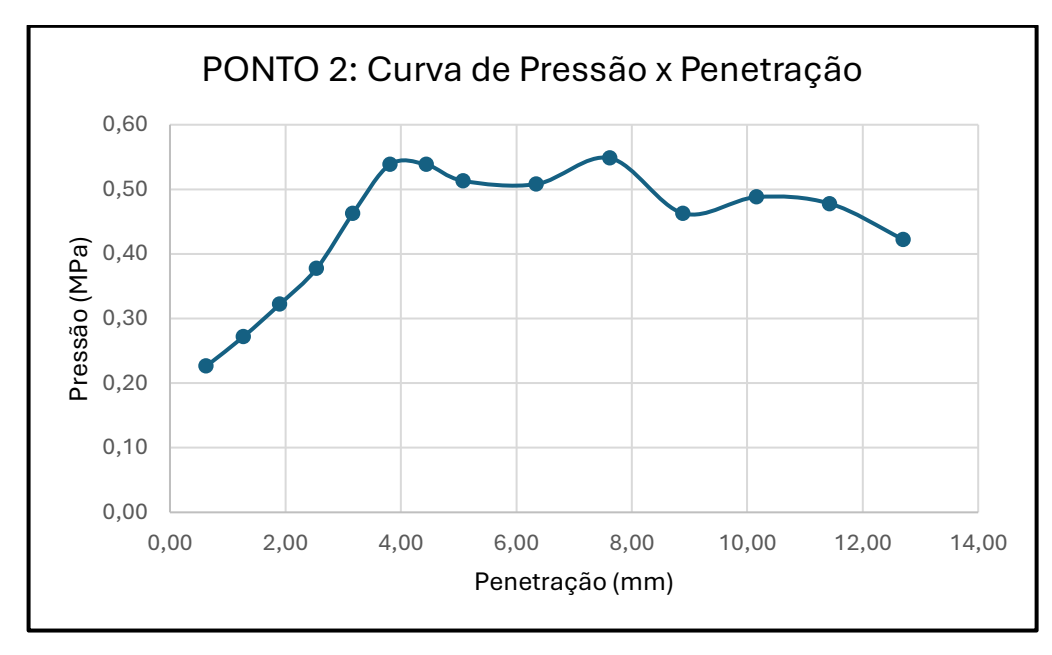
ENSAIO DE CBR

ABNT NBR 9895:2016 - Solo - Índice de suporte Califórnia (ISC) - Método de ensaio

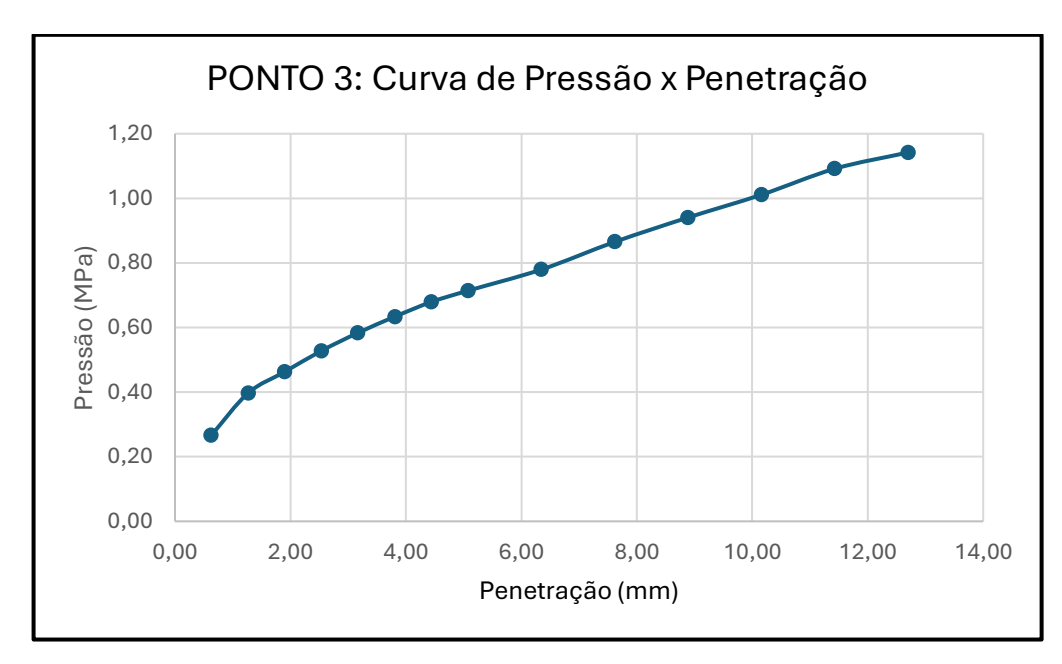
	AMC	OSTRA / OBF	RA / ENDER	EÇO:		Coordenadas	Zona:	2	2J	
Estrada Munici	pal Ângelo Ruff	ato, Desvio Rizzo	Caxias do Sul	RS		UTM	X:	477	7034	
Lottada Mariici	pai Angelo Rain	ato, Desvio Mizzo	, ounido do odi,				Y:	676	8391	
Data do	ensaio:	30/06	/2025	Tempera	tura (°C):	13,9	Umida	de (%):	63	
			U	MIDADE HIC	GROSCÓPIO	CA				
Ponto:	Nº da cápsula:	Tara da cápsula (g):	Cápsula + solo úmido (g):	Peso do solo úmido (g):	Cápsula + solo seco (g):	Peso do solo seco (g):	Peso da água (g):	Umidade W (%):	Umidade média W _{med} (%):	
1	101	10,46	34,27	23,81	33,56	23,10	0,71	3,07		
2	104	11,36	35,02	23,66	34,37	23,01	0,65	2,82	2,87	
3	107	10,14	35,80	25,66	35,12	24,98	0,68	2,72		
			~ ,							
			IÇÃO DE ÁG		I	T				
Ponto:		1	2	3	4	5				
Massa de solo) (g):	5000,00	5000,00	5000,00	5000,00	5000,00				
Umidade dese	jada (%):	14	16	18	20	22				
	g:	700,00	800,00	900,00	1000,00	1100,00				
	ml:	700,00	800,00	900,00	1000,00	1100,00				
	T		GERAIS DO						4	
h _{DE} (mm):	63,58			paçador das altura			P	отио '	1	
h ₁ (mm):	177,82	Ø ₁ (mm):	152,53	Número do cilin		PROC10		I		
h ₂ (mm):	177,49	Ø ₂ (mm):	152,50	Massa do cilind	107	4826,00	Umidade do po	14		
h ₃ (mm):	177,53	Ø ₃ (mm):	152,60	Volume do cilin		2084050,15	Energia do ens	aio (N / I / M):	N 5	
h (mm):	114,03	Ø (mm):	152,54	Volume do cilin	· ,	2084,05		Número de camadas:		
COMPA	CTAÇÃO:	Umidade	ótima (%):	16	γ _d (g/cm³)	1,553	Número de golp	oes:	12	
			UMI Cápsula +	DADE DO S	OLO ENSAI	ADO			Umidade	
Ponto:	Nº da cápsula:	Tara da cápsula (g):	solo úmido (g):	Peso do solo úmido (g):	Cápsula + solo seco (g):	Peso do solo seco (g):	Peso da água (g):	Umidade W (%):	média W _{med} (%):	
1	110	9,84	26,97	17,13	24,33	14,49	2,64	18,22		
2	111	8,50	26,30	17,80	23,32	14,82	2,98	20,11	18,99	
3	127	9,27	30,26	20,99	26,96	17,69	3,30	18,65		
	,	EXPA	NSÃO				PENETRAÇÃO			
Tempo	Data	Hora	Leitura no deflectômetro	Diferença de leitura no deflectômetro	Expansão (mm)	Penetração (mm)	Carga (kg)	Carga (N)	Pressão (MPa)	
			(mm)	(mm)		0,63	47,00	460,91	0,24	
0h	30/06/2025	13h30	0,060	0,000		1,27	66,00	647,24	0,33	
24h	01/07/2025	13h30	0,600	0,540		1,90	82,00	804,15	0,41	
48h	02/07/2025	13h30	0,630	0,030	0,53	2,54	93,00	912,02	0,47	
72h	03/07/2027	13h30	0,650	0,020		3,17	102,00	1000,28	0,51	
96h	04/07/2025	09h45	0,660	0,010		3,81	106,00	1039,50	0,53	
Massa	do cilindro + sol	o úmido compac	tado (g):	846	0,00	4,44	110,00	1078,73	0,55	
Mas	Massa do solo úmido compactado $\mathrm{M}_{\mathrm{W}}\left(\mathrm{g}\right)$:				4,00	5,08	115,00	1127,76	0,58	
Áı	rea do pistão de	penetração (mm	·	194	9,38	6,35	126,00	1235,64	0,63	
		CÁLCUL	O DO ISC			7,62	135,00	1323,90	0,68	
Penetração		Pressão (MPa)		ISC (%)	Fator de	8,89	145,00	1421,96	0,73	
(mm)	Calculada	Corrigida	Padrão	,	correção "C"	10,16	153,00	1500,42	0,77	
2,54	0,47	0,47	6,9	9 6,78 11,43 162,00 1588,6			1588,68	0,81		
5,08	0,58	0,58	10,35	5,59		12,70	171,00	1676,94	0,86	
				RESULTADO		_				
MASSA E	SPECÍFICA AP	ARENTE SECA	pd (g/cm³):	1,465	EXPAN	SÃO (%):	0,53	ISC (%):	6	



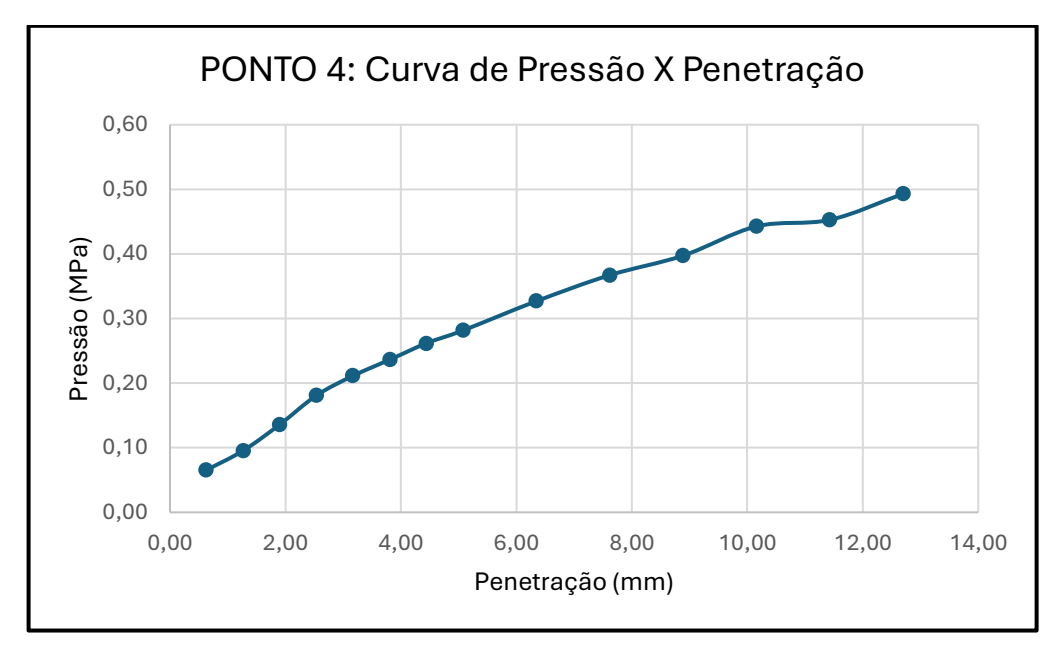
		DADOS	GERAIS DO	ENSAIO						
h _{DE} (mm):	63,58	← Descontar a	altura do disco es	paçador das altura	s medidas do cilin	dro (h ₁ , h ₂ e h ₃):	Р	ONTO 2	2	
h ₁ (mm):	177,68	Ø ₁ (mm):	152,33	Número do cilin	dro:	PROC11	•			
h ₂ (mm):	177,60	Ø ₂ (mm):	152,38	Massa do cilind	ro (g):	4818,00	Umidade do ponto (%):		16	
h ₃ (mm):	177,82	Ø ₃ (mm):	152,35	Volume do cilindro (mm³):		2080441,77	Energia do ensaio (N / I / M):		N	
h (mm):	114,12	Ø (mm):	152,35	Volume do cilin	dro (cm³):	2080,44	Número de cam	adas:	5	
СОМРАС	CTAÇÃO:	Umidade	ótima (%):	16	γ _d (g/cm³)	1,553	Número de golp	es:	12	
			UMII	DADE DO S	OLO ENSAI	ADO				
Ponto:	Nº da cápsula:	Tara da cápsula (g):	Cápsula + solo úmido (g):	Peso do solo úmido (g):	Cápsula + solo seco (g):	Peso do solo seco (g):	Peso da água (g):	Umidade W (%):	Umidade média W _{med} (%):	
1	120	10,32	30,28	19,96	27,03	16,71	3,25	19,45		
2	125	9,68	28,86	19,18	25,53	25,53 15,85		21,01	20,77	
3	126	9,07	27,80	18,73	24,44	15,37	3,36 21,86			
EXPANSÃO						PENETRAÇÃO				
Tempo	Data	Hora	Leitura no deflectômetro	Diferença de leitura no deflectômetro	Expansão (mm)	Penetração (mm)	Carga (kg)	Carga (N)	Pressão (MPa)	
			(mm)	(mm)		0,63	45,00	441,30	0,23	
0h	30/06/2025	13h30	0,040	0,000		1,27	54,00	529,56	0,27	
24h	01/07/2025	13h30	0,460	0,420		1,90	64,00	627,63	0,32	
48h	02/07/2025	13h30	0,500	0,040	0,42	2,54	75,00	735,50	0,38	
72h	03/07/2027	13h30	0,510	0,010		3,17	92,00	902,21	0,46	
96h	04/07/2025	09h45	0,520	0,010		3,81	107,00	1049,31	0,54	
Massa o	do cilindro + solo	o úmido compac	tado (g):	864	5,00	4,44	107,00	1049,31	0,54	
Mass	sa do solo úmid	o compactado M	w (g):	382	7,00	5,08	102,00	1000,28	0,51	
Ár	ea do pistão de	penetração (mm	n²):	194	9,38	6,35	101,00	990,47	0,51	
		CÁLCUL	O DO ISC			7,62	109,00	1068,92	0,55	
Penetração		Pressão (MPa)		100 (0()	Fator de	8,89	92,00	902,21	0,46	
(mm)	Calculada	Corrigida	Padrão	ISC (%)	correção "C"	10,16	97,00	951,25	0,49	
2,54	0,38	0,38	6,9	5,47		11,43	95,00	931,63	0,48	
5,08	0,51	0,51	10,35	4,96		12,70	84,00	823,76	0,42	
				RESULTADO	S PARCIAIS:					
MASSA ES	SPECÍFICA APA	ARENTE SECA	ρd (g/cm³):	1,523	EXPAN	SÃO (%):	0,42	ISC (%):	5	



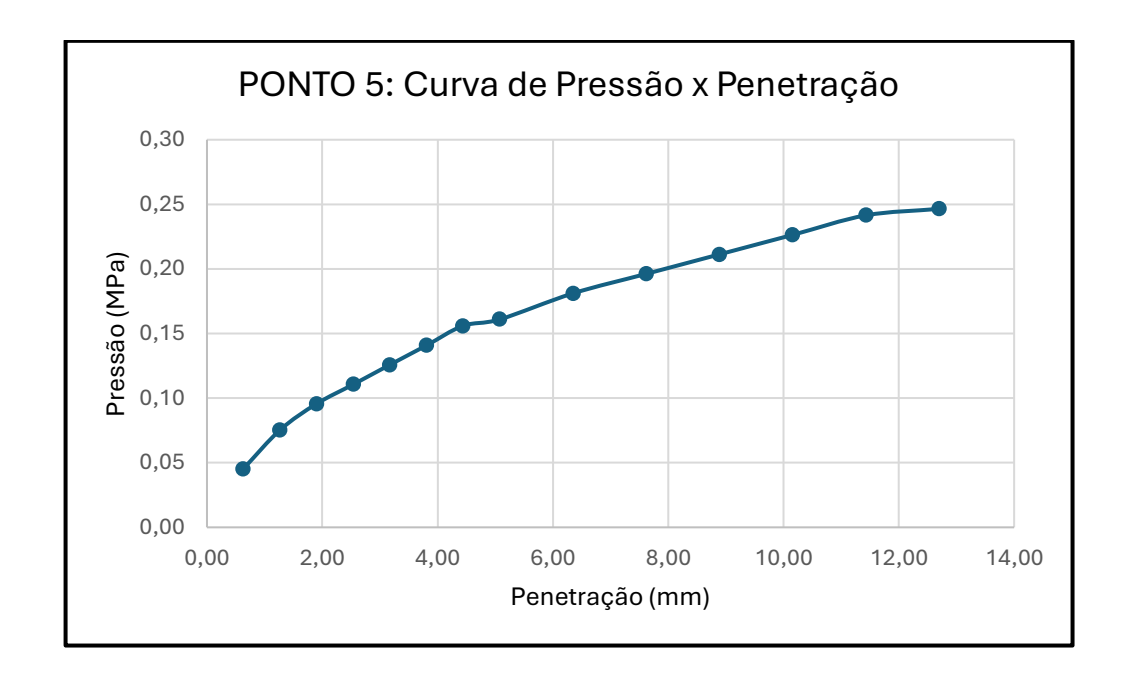
		DADOS	GERAIS DO	ENSAIO						
h _{DE} (mm):	63,58	← Descontar a	altura do disco es	paçador das altura	s medidas do cilin	idro (h ₁ , h ₂ e h ₃):	P	ONTO (3	
h ₁ (mm):	178,99	Ø ₁ (mm):	152,13	Número do cilir	ıdro:	PROC13	•			
h ₂ (mm):	178,88	Ø ₂ (mm):	152,34	Massa do cilind	ro (g):	4900,00	Umidade do ponto (%):		18	
h ₃ (mm):	178,96	Ø ₃ (mm):	152,33	Volume do cilindro (mm³):		2100716,07	Energia do ensaio (N / I / M):		N	
h (mm):	115,36	Ø (mm):	152,27	Volume do cilin	dro (cm³):	2100,72	Número de cam	adas:	5	
COMPAG	CTAÇÃO:	Umidade	ótima (%):	16	γ _d (g/cm³)	1,553	Número de golp	es:	12	
		•	UMI	DADE DO S	OLO ENSAI	ADO				
Ponto:	Nº da cápsula:	Tara da cápsula (g):	Cápsula + solo úmido (g):	Peso do solo úmido (g):	Cápsula + solo seco (g):	Peso do solo seco (g):	Peso da água (g):	Umidade W (%):	Umidade média W _{med} (%):	
1	106	9,24	28,73	19,49	25,05	15,81	3,68	23,28		
2	121	9,47	28,84	19,37	25,04	15,57	3,80	24,41	23,12	
3	123	11,78	32,20	20,42	28,56	16,78	3,64	21,69		
EXPANSÃO						PENETRAÇÃO				
Tempo	Data	Hora	Leitura no deflectômetro (mm)	Diferença de leitura no deflectômetro	Expansão (mm)	Penetração (mm)	Carga (kg)	Carga (N)	Pressão (MPa)	
			()	(mm)		0,63	53,00	519,75	0,27	
0h	30/06/2025	13h30	0,010	0,000		1,27	79,00	774,73	0,40	
24h	01/07/2025	13h30	0,370	0,360		1,90	92,00	902,21	0,46	
48h	02/07/2025	13h30	0,405	0,035	0,35	2,54	105,00	1029,70	0,53	
72h	03/07/2027	13h30	0,405	0,000		3,17	116,00	1137,57	0,58	
96h	04/07/2025	09h45	0,410	0,005		3,81	126,00	1235,64	0,63	
Massa	do cilindro + sol	o úmido compac	tado (g):	885	0,00	4,44	135,00	1323,90	0,68	
Mass	sa do solo úmid	o compactado M	w (g):	395	0,00	5,08	142,00	1392,54	0,71	
Ár	ea do pistão de	penetração (mm	l²):	1949,38		6,35	155,00	1520,03	0,78	
		CÁLCUL	O DO ISC			7,62	172,00	1686,74	0,87	
Penetração		Pressão (MPa)		100 (0)	Fator de	8,89	187,00	1833,84	0,94	
(mm)	Calculada	Corrigida	Padrão	ISC (%)	correção "C"	10,16	201,00	1971,14	1,01	
2,54	0,53	0,53	6,9	7,66		11,43	217,00	2128,04	1,09	
5,08	0,71	0,71	10,35	6,90		12,70	227,00	2226,11	1,14	
				DESIII TADO	S PARCIAIS:					
MACCA	EDECÍEICA AD	ADENTE SECA	od (alom³):	I	I	_	0.25	ISC (%):	7	
IVIASSA E	SPECIFICA AP	ARENTE SECA	pu (g/cm²).	1,527	EAPAN	SÃO (%):	0,35	ISC (%):	7	



		DADOS	GERAIS DO	ENSAIO						
h _{DE} (mm):	63,58	← Descontar a	altura do disco es	paçador das altura	s medidas do cilin	dro (h ₁ , h ₂ e h ₃):	P	ONTO 4	4	
h ₁ (mm):	177,41	Ø ₁ (mm):	152,30	Número do cilin	dro:	PROC8	•	01110	•	
h ₂ (mm):	177,46	Ø ₂ (mm):	152,31	Massa do cilind	ro (g):	4832,00	Umidade do ponto (%):		20	
h ₃ (mm):	177,72	Ø ₃ (mm):	152,29	Volume do cilindro (mm³):		2075888,47	Energia do ensaio (N / I / M):		N	
h (mm):	113,95	Ø (mm):	152,30	Volume do cilin	dro (cm³):	2075,89	Número de cam	adas:	5	
COMPAG	CTAÇÃO:	Umidade	ótima (%):	16	γ _d (g/cm³)	1,553	Número de golp	es:	12	
		•	UMI	DADE DO S	OLO ENSAI	ADO	'			
Ponto:	Nº da cápsula:	Tara da cápsula (g):	Cápsula + solo úmido (g):	Peso do solo úmido (g):	Cápsula + solo seco (g):	Peso do solo seco (g):	Peso da água (g):	Umidade W (%):	Umidade média W _{med} (%):	
1	102	8,74	23,64	14,90	20,78	12,04	2,86	23,75		
2	103	13,15	30,73	17,58	27,13	13,98	3,60	25,75	24,23	
3	114	8,17	24,90	16,73	21,75	13,58	3,15	23,20		
EXPANSÃO						PENETRAÇÃO				
Tempo	Data	Hora	Leitura no deflectômetro (mm)	Diferença de leitura no deflectômetro	Expansão (mm)	Penetração (mm)	Carga (kg)	Carga (N)	Pressão (MPa)	
			(11111)	(mm)		0,63	13,00	127,49	0,07	
0h	30/06/2025	13h30	0,006	0,000		1,27	19,00	186,33	0,10	
24h	01/07/2025	13h30	0,303	0,297		1,90	27,00	264,78	0,14	
48h	02/07/2025	13h30	0,343	0,040	0,29	2,54	36,00	353,04	0,18	
72h	03/07/2027	13h30	0,326	-0,017		3,17	42,00	411,88	0,21	
96h	04/07/2025	09h45	0,333	0,007		3,81	47,00	460,91	0,24	
Massa	do cilindro + sol	o úmido compac	tado (g):	880	5,00	4,44	52,00	509,95	0,26	
Mass	sa do solo úmid	o compactado M	w (g):	397	3,00	5,08	56,00	549,17	0,28	
Ár	rea do pistão de	penetração (mm	l²):	1949,38		6,35	65,00	637,43	0,33	
		CÁLCUL	O DO ISC	<u>'</u>		7,62	73,00	715,89	0,37	
Penetração		Pressão (MPa)		100 (0/)	Fator de	8,89	79,00	774,73	0,40	
(mm)	Calculada	Corrigida	Padrão	ISC (%)	correção "C"	10,16	88,00	862,99	0,44	
2,54	0,18	0,18	6,9	2,62		11,43	90,00	882,60	0,45	
5,08	0,28	0,28	10,35	2,72		12,70	98,00	961,05	0,49	
				DECLU TABO	C DAROLAIO					
M4.004 =	opeoieros se	ADENTE SES		RESULTADO		_	0.00	100 (%)		
MASSA E	SPECIFICA AP	ARENTE SECA	pa (g/cm³):	1,541	EXPAN	SÃO (%):	0,29	ISC (%):	2	



		DADOS	GERAIS DO	ENSAIO							
h _{DE} (mm):	63,58	← Descontar a	altura do disco es	paçador das altura	s medidas do cilin	dro (h ₁ , h ₂ e h ₃):	P	ONTO	5		
h ₁ (mm):	177,79	Ø ₁ (mm):	152,47	Número do cilir	dro:	PROC9	•				
h ₂ (mm):	177,96	Ø ₂ (mm):	152,47	Massa do cilind	ro (g):	4810,00	Umidade do ponto (%):		22		
h ₃ (mm):	177,77	Ø ₃ (mm):	152,47	Volume do cilindro (mm³):		2086185,40	Energia do ensaio (N / I / M):		N		
h (mm):	114,26	Ø (mm):	152,47	Volume do cilin	dro (cm³):	2086,19	Número de cam	adas:	5		
СОМРАС	CTAÇÃO:	Umidade	ótima (%):	16	γ _d (g/cm³)	1,553	Número de golp	es:	12		
			UMII	DADE DO S	OLO ENSAI	ADO	'				
Ponto:	Nº da cápsula:	Tara da cápsula (g):	Cápsula + solo úmido (g):	Peso do solo úmido (g):	Cápsula + solo seco (g):	Peso do solo seco (g):	Peso da água (g):	Umidade W (%):	Umidade média W _{med} (%):		
1	105	8,51	26,74	18,23	22,79	14,28	3,95	27,66			
2	115	11,06	29,55	18,49	25,80	14,74	3,75	25,44	26,69		
3	116	9,44	23,05	13,61	20,16	10,72	2,89	26,96	1		
EXPANSÃO							PENETRAÇÃO				
Tempo	Data	Hora	Leitura no deflectômetro (mm)	Diferença de leitura no deflectômetro	Expansão (mm)	Penetração (mm)	Carga (kg)	Carga (N)	Pressão (MPa)		
			(11111)	(mm)		0,63	9,00	88,26	0,05		
0h	30/06/2025	13h30	0,000	0,000		1,27	15,00	147,10	0,08		
24h	01/07/2025	13h30	0,290	0,290		1,90	19,00	186,33	0,10		
48h	02/07/2025	13h30	0,356	0,066	0,32	2,54	22,00	215,75	0,11		
72h	03/07/2027	13h30	0,340	-0,016		3,17	25,00	245,17	0,13		
96h	04/07/2025	09h45	0,364	0,024		3,81	28,00	274,59	0,14		
Massa o	do cilindro + sol	o úmido compact	tado (g):	871	5,00	4,44	31,00	304,01	0,16		
Mass	sa do solo úmid	o compactado M	_w (g):	390	5,00	5,08	32,00	313,81	0,16		
Ár	ea do pistão de	penetração (mm	l²):	194	9,38	6,35	36,00	353,04	0,18		
		CÁLCUL	O DO ISC			7,62	39,00	382,46	0,20		
Penetração		Pressão (MPa)		100 (0)	Fator de	8,89	42,00	411,88	0,21		
(mm)	Calculada	Corrigida	Padrão	ISC (%)	correção "C"	10,16	45,00	441,30	0,23		
2,54	0,11	0,11	6,9	1,603972573	0.00000000	11,43	48,00	470,72	0,24		
5,08	0,16	0,16	10,35	1,555367344	0,000000000	12,70	49,00	480,53	0,25		
				RESULTADO	S PARCIAIS:						
MASSA ES	SPECÍFICA AP	ARENTE SECA	pd (g/cm³):	1,478	EXPAN	SÃO (%):	0,32	ISC (%):	1		





ENSAIO DCP - CONE DE PENETRAÇÃO DINÂMICA

ABNT NBR 17091:2023 - Solos - Ensaio do Cone de Penetração Dinâmica
TRABALHO DE CONCLUSÃO DE CURSO II - MARCELO PONTICELLI
Orientadora: Prof^a M^a Cinthia Cristina Morais Rocha

Obra / Localização: ESTRADA MUNICIPAL ÂNGELO RUFFATO, DESVIO RIZZO, CAXIAS DO SUL, RS	Tipo: ≺	() (X)	BGS (Brita Graduada Simples) Solo Areia
		()	Aleia

	ENSAIG	וכ			ENSAI	OII			ENSAIC) III	
Coord.	X: 477044			Coord.	X: 477049			Coord.	X: 477050		
UTM	Y: 6768382			UTM	Y: 6768390			UTM	Y: 6768381		
Nº de Golpes	Penetração (mm)	OE	38	Nº de Golpes	Penetração (mm)	OE	38	Nº de Golpes	Penetração (mm)	OBS	8
0	45	Penetraç	ão Inicial	0	62	Penetraç	ão Inicial	0	39	Penetraçã	o Inicial
3	118			3	97			3	78		
6	184			6	134			6	102		
9	216			9	171			9	126		
12	253			12	195			12	138		
15	288			15	220			15	147		
18	345			18	264			18	156		
21	416			21	322			21	165		
24	494			24	389			24	179		
27	562			27	467			27	187		
30	631			30	546			30	199		
33	686			33	623			33	210		
36	737			36	699			36	221		
39	785			39	774			39	234		
42	835			42	842			42	248		
45	890			45	897			45	263		
48	941			48	946			48	276		
51				51				51	285		
54				54				54	305		
57				57				57	347		
60				60				60	398		
63				63				63	429		
66				66				66	454		
69				69				69	495		
72				72				72	539		
75				75				75	587		
78				78				78	641		
81				81				81	686		
84				84				84	717		
87				87				87	749		
90				90				90	781		
93				93				93	809		
	941	Penetraç	ão Final		946	Penetra	ão Final		809	Penetraçã	io Final
	48	N° de €	Golpes		48	Nº de 0	Golpes		93	Nº de G	olpes
BSG	I _{PD} calculado (r	nm/golpe):	18,67	Solo	I _{PD} calculado (mm/golpe):	18,42	Areia	I _{PD} calculado (I	mm/golpe):	8,
	ISC (%	6)	11,01	2310	ISC (9	%)	11,18	oiu	ISC (%	6)	27,
	VA	LORES ACE	ITÁVEIS (n	nm/golpe):	BSG: I _{PD} ≤	6 9	SOLO: <i>I _{PD}</i> ≤ 1	7	AREIA: <i>I</i> _{PD} ≤ 22		

Cálculo DCP $I_{PD} = \frac{(Penetração\ Final - Penetração\ Inicial)}{N^{\circ}\ de\ Golpes} \quad \begin{array}{|l|l|} & \text{EQUAÇÃO}\ DE\ REGRESSÃO\ ASTM} \\ & \text{D6951: ISC (INDICE\ DE\ SUPORTE} \\ & \text{CALIFÓRNIA)} & ISC = \frac{292}{I_{PD}}^{1,12} \end{array}$